

INSTITUTUL POLITEHNIC "TRAIAN VUIA"
FACULTATEA DE CONSTRUCȚII
TIMIȘCARA

ING. ADRIAN ISMAIL

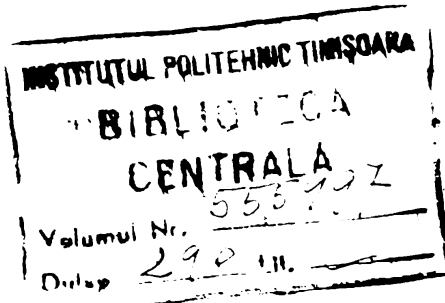
CONTRIBUȚII LA STUDIUL INFLUENȚEI CURGERII
LENTE ȘI CONTRACȚIEI ASUPRA STĂRILOR DE
EFORTURI LA CADRE DE BETON ARMAT

Teză de doctorat

BIBLIOTECĂ CENTRALĂ
UNIVERSITATEA "POLITEHNICA"
TIMIȘOARA

Coordonator științific
PROF.DR.DOC.ING. ICAN FILIMON

1990



BUPT

MULTUMIRI

Prezentarea tezei de doctorat pentru susținerea ei în fața comisiei reprezentă pentru orice inginer un moment de profunde reflexii semnimentale. Ele sunt mult mai adânci pentru cei care și-au făcut studiile profesionale în altă țară decât cea de origine.

Recunoștință deosebită țării mele de origine, Siria, care mi-a dat posibilitatea să-mi efectuez studiile universitare în România, care a devenit astfel ceea cea de a doua mea țară.

Multumiri tuturor cadrelor didactice de la Facultatea de construcții din Timișoara care, cu competență și dăruire profesională, mi-au dat posibilitatea să mă inițiez în frumoasa meserie de inginer constructor. Existența în cadrul facultății a unor personalități de prestigiu internațional ne dă dreptul, nouă celor din alte țări, să ne mîndrim că suntem absolvenți ai Facultății din Timișoara.

Recunoștință domnului prof.dr.doc.ing.Ioan Filimon, care a acceptat să-mi fie conducător de teză de doctorat și multumiri pentru sprijinul competent și de înaltă științifică acordat pe parcursul elaborării tezei. De asemenea, multumiri întregului colectiv al Catedrei CCIA pentru sprijinul acordat pe parcursul elaborării lucrării. Multumiri speciale domnului dr.ing. Victor Gioncu de la INCERC- Filiala Timișoara.

Acum la sfîrșitul unei perioade lungi din activitatea mea, cînd se încheie formarea mea de specialitate, un gînd de profundă recunoștință părinților mei și familiei mele, de care am fost despărțit o perioadă îndelungată.

Adnan Ismail

Timișoara, iulie 1990

CUPRINS

Cap.1. STADIUL ACTUAL AL PROBLEMEI	Pag.
1.1. Introducere	1
1.2. Direcții generale de cercetare	6
1.3. Principalele efecte ale curgerii lente și contractiei relevante în literatura specialitate	9
1.4. Importanța efectelor de curgere lentă și contractie	10
1.5. Concluzii privind situația cercetărilor. . .	11
1.6. Contenutul tezei de doctorat	12
Cap.2. CURGEREA LENTĂ SI CONTRACTIA BETONULUI	
2.1. Evoluția cercetărilor și a elaborării normelor de calcul.	15
2.2. Conceptii de bază în teoria viscoelasticității.	17
2.2.1. Materiale cu și fără memorie	17
2.2.2. Curgerea lentă și contractia	19
2.2.3. Linearitatea deformațiilor și prin- cipiul suprapunerii efectelor	22
2.2.4. Vîrsta betonului și paralelismul curbelor de curgere lentă	24
2.2.5. Ecuatiile constitutive	25
2.3. Deformațiile reologice ale betonului	27
2.3.1. Cauzele deformațiilor reologice . . .	27
2.3.2. Deformațiile de curgere lentă	27
2.3.3. Deformațiile de contractie	29
2.4. Curgerea lentă a betonului simplu	29
2.4.1. Mărimi caracteristice	29
2.4.2. Calculul caracteristicilor curgerii lente după diferite norme	31
2.4.3. Variatia în timp a caracteristicii curgerii lente	49

	pag.
2.4.3.1. Modelarea mecanică	49
2.4.3.2. Modelarea matematică	52
2.5. Contractiona betonului	55
2.5.1. Calculul contractionei după diferite coduri	55
2.5.2. Expresii analitice pentru variația în timp a deformațiilor din contractie.	62
2.6. Modulul de elasticitate longitudinal	63
2.6.1. Definiție	63
2.6.2. Influența vîrstei betonului la încărcare	64
Cap.3. EFECTUL CURGERII LENTE SI CONTRACTIONII BETONULUI LA STRUCTURI DIN BETON ARMAT	
3.1. Cercetări teoretice și experimentale prezente în literatură	68
3.2. Elemente ale teoriei viscoelasticității aplicate la structuri	72
3.2.1. Structuri omogene, structuri neomogene	72
3.2.2. Principiile corespondenței	73
3.3. Influența curgerii lente și contractiei la elemente de beton armat	75
3.3.1. Nedeterminarea interioară	75
3.3.2. Stilpi de beton armat comprimat central	75
3.3.3. Grinzi de beton armat	77
3.4. Influența curgerii lente și contractiei la structuri din bare de beton armat	79
3.4.1. Factorii care influențează compoziția în timp	79
3.4.2. Efectele neomogenității	80
3.4.3. Efectele schimbării schemei statice. .	87
3.4.4. Efectele contractiei împiedicate . . .	90

Cap.4. STATICA STRUCTURILOR VISCOELASTICE DIN BARE CU CARACTERISTICI DIFERITE ALE CURGERII LENTE	
4.1. Introducere	92
4.2. Ipoteze de bază	92
4.2.1. Acțiuni de lungă durată	92
4.2.2. Mărimea deformațiilor	94
4.2.3. Suprapunerea efectelor	94
4.2.4. Proprietățile fizico-mecanice ale elementelor	95
4.3. Relații dintre tensiuni și deformații	97
4.3.1. Ipoteze de bază	97
4.3.2. Formulări analitice	97
4.3.2.1. Teoria generală a corpurilor viscoelastice	97
4.3.2.2. Formularea Dischinger (teoria eredității)	99
4.3.2.3. Formularea Alexandrovski (teoria eredității modificate)	101
4.3.3. Formulări analitice aproximative	103
4.3.3.1. Metoda modulului redus	103
4.3.3.2. Formularea Trost-Bazant (teoria modulului redus modificat)	103
4.3.3.3. Metoda tensiunilor de curgere lentă medie	105
4.3.4. Formulări numerice	106
4.3.4.1. Soluții numerice pentru ecuații Volterra	106
4.3.4.2. Soluții numerice pentru ecuații Dischinger	108
4.3.4.3. Soluții numerice pentru metoda Trost-Bazant	108

IV.

pag.

4.3.4.4. Soluții numerice pentru me-	
toda tensiunilor de curgere	
lentă medie	109
4.3.4.5. Comparație între diferite me-	
tode de calcul	110
4.4. Relații dintre eforturi de deplasări	111
4.4.1. Relații pentru betonul simplu	111
4.4.2. Relații pentru betonul armat	113
4.5. Calculul deplasărilor viscoelastice	116
4.5.1. Prințipiu lucrului mecanic virtual ..	116
4.5.2. Expresia deplasărilor viscoelastice ..	118
4.6. Metode de calcul al structurilor viscoelastice..	119
4.6.1. Elemente generale	119
4.6.2. Prințipii metodelor de calcul	120
4.6.2.1. Metoda eforturilor	120
4.6.2.2. Metoda deplasărilor	121
4.6.3. Opțiune pentru metoda eforturilor . . .	121
4.7. Structuri cu schemă statică nemodificată în	
timp .	122
4.7.1. Structura de bază	122
4.7.2. Ecuațiile generale de compatibilitate..	123
4.7.3. Acțiuni directe	126
4.7.3.1. Ecuațiile de compatibilitate..	126
4.7.3.2. Starea de eforturi în structuri	
omogene	131
4.7.4. Contraction betonului	132
4.7.4.1. Deformațiile din contracție ..	132
4.7.4.2. Ecuațiile de compatibilitate..	133
4.8. Structuri cu schemă statică ce se modifică	
în timpul execuției	135

4.8.1. Structuri monolite	135
4.8.1.1. Schimbarea schemei statică în timpul execuției	135
4.8.1.2. Împărțirea structurilor în substructuri în funcție de etapele de execuție	138
4.8.1.3. Ecuațiile de compatibilitate .	139
4.8.2. Structuri prefabricate	141
4.8.2.1. Schimbarea schemei statice în timpul execuției	141
4.8.2.2. Împărțirea structurii în substructuri	143
4.8.2.3. Ecuațiile de compatibilitate .	145
4.9. Metode practice de rezolvare	147
4.9.1. Utilizarea formulării Trost-Bazant pentru operatorul J[..]	147
4.9.2. Metodă practică pentru structuri cu schemă statică nemodificată în timp . .	148
4.9.3. Metodă practică pentru efectul con- tracției betonului	156
4.9.4. Metodă practică pentru structuri cu schemă statică ce se modifică în timpul execuției	159
4.9.4.1. Structuri monolite	159
4.9.4.2. Structuri prefabricate	162
Cap.5. <u>APLICATII. INFLUENȚA TEMPOLOCIEI DE EXECUȚIE ASUPRA STARII DE EFORTURI LA STRUCTURILE DE BETON ARMAT</u>	
5.1. Introducere	166
5.2. Cadrul parter cu o deschidere	167
5.2.1. Stilpi și grinzi turnate monolit. . . .	167
5.2.1.1. Descrierea tehnologiei de execuție	167

5.2.1.2. Calculul structurii în faza inițială	168
5.2.1.3. Calculul structurii în faza finală	170
5.2.1.4. Determinarea stării de eforturi	172
5.2.1.5. Comparație cu diferite norme de calcul	178
5.2.1.6. Comparație cu metoda modulu-lui redus	181
5.2.1.7. Influența vîrstei betonului din stîlpi și grinzi asupra stării de eforturi	182
5.2.2. Stîlpi monoliți, grinzi prefabricate. .	183
5.2.2.1. Descrierea tehnologiei de execuție	183
5.2.2.2. Calculul structurii în faza inițială	185
5.2.2.3. Calculul structurii în faza finală	186
5.2.2.4. Determinarea stării de eforturi	188
5.2.2.5. Influența vîrstei betonului în stîlpi și grinzi	193
5.2.3. Stîlpi și grindă prefabricată	195
5.2.3.1. Descrierea tehnologiei de execuție	195
5.2.3.2. Influența vîrstei betonului în stîlpi și grinzi	195
5.2.4. Stîlpi de beton și grindă metalică . .	198
5.2.5. Influența contractiei	201
5.2.5.1. Contractia împiedicată a grinziei	201

5.2.5.2. Determinarea stării de eforturi	201
5.2.5.3. Comparație între efectele contracției la o structură monolită și la una cu grinzi prefabricată	202
5.3. Cadrul parter cu două deschideri	205
5.3.1. Stîlpi și grinzi turnate monolit	205
5.3.1.1. Tehnologia de execuție	205
5.3.1.2. Calculul structurii în faza inițială	205
5.3.1.3. Calculul structurii în faza finală	207
5.3.1.4. Determinarea stării de eforturi .	208
5.3.2. Stîlpi monoliti, grinzi prefabricate . .	213
5.3.2.1. Tehnologia de execuție	213
5.3.2.2. Calculul structurii în faza inițială	213
5.3.2.3. Calculul structurii în faza finală	214
5.3.2.4. Determinarea stării de eforturi	215
5.4. Cadrul parter cu două deschideri, executat monolit în două etape	219
5.4.1. Tehnologia de execuție	219
5.4.2. Calculul structurii în faza inițială . .	220
5.4.3. Calculul structurii în etapa două de execuție	221
5.4.4. Calculul structurii în faza finală . .	223
5.4.5. Comparație cu structura executată într-o singură etapă	225

Cap.6. CONCLUZII

6.1. Aspecte principale urmărite în lucrare	227
6.2. Principalele efecte ale curgerii lente și contractiei betonului	227
6.3. Calculul deformațiilor de curgere lentă și contractie .	229
6.4. Dezvoltarea unei metode de calcul pentru estimarea efectelor curgerii lente și contractiei .	230
6.5. Aspecte practice pentru proiectare	232

BIBLIOGRAFIE

Capitolul I

STADIU ACTUAL AL PROBLEMEI

1.1. Introducere

Tendința actuală în construcții este de a realiza structuri cu înălțimi și deschideri din ce în ce mai mari, utilizând materiale cu caracteristici mecanice superioare, executate cu ajutorul unor noi tehnologii, dintre care prefabricarea este cea mai semnificativă. La toate acestea se adaugă și pretenția de a realiza construcții cît mai ugoare, cu consumuri de materiale reduse și la prețuri cît mai scăzute.

Pentru a răspunde la aceste cerințe, calculul structurilor trebuie să țină seama de toți factorii care influențează comportarea lor, atât pentru a exploata toate posibilitățile de a obține soluții eficiente, cît și de a asigura o comportare satisfăcătoare pe toată durata construcțiilor.

Utilizarea în ultimul timp a calculatorului electronic a ușurat mult munca proiectanților și cercetătorilor, permitând abordarea unor probleme complexe, care înainte, cu metodele tradiționale, erau nerezolvabile. Astfel, determinarea acțiunilor pe considerente probabiliste, utilizarea unor legi constitutive a materialelor cît mai apropiate de comportarea reală, schematizarea structurii folosind cît mai puține ipoteze simplificatoare, considerarea conlucrării diferitelor componente ale structurilor, a caracterului spațial al structurii, optimizarea soluțiilor etc., au fost posibile numai grație ajutorului dat de calculatorul electronic. Totuși, acesta efectuează numai calculele care î se impun să fie făcute și de aceea, atenția cercetărilor în ultimul timp s-a îndreptat spre a analiza care sunt factorii care nu sunt în

încă suficient stăpiniți de calculele efectuate.

Unul din acești factori importanți, de cele mai multe ori neglijat la calculul structurilor, este timpul. În mod tradițional, cu toate marile posibilități de calcul de care se dispune, determinarea stării de eforturi și deformații se face în stadiul elastic, independent de factorul timp. Studiile efectuate, destul de reduse la număr în comparație cu alte probleme, au arătat că neglijarea factorului timp în calculul structurilor de beton armat schimbă într-o măsură mai mare sau mai mică imaginea reală asupra comportării acestora, funcție de tipul structurii, modul de execuție etc. Factorul timp la elementele de beton armat intervine printre două proprietăți esențiale ale betonului, curgerea lentă și contractia, ambele desfășurîndu-se în timp.

Cauzele principale ale acestei rămîneri în urmă a cercetărilor, făță de alte aspecte ale calculului, sunt în mare măsură legate de dificultățile experimentale. Studiile pentru determinarea caracteristicilor de curgere lentă și contracție ale betonului simplu, și a factorilor care influențează fenomenul, necesită un timp îndelungat de 5...8 ani. Pentru elementele de beton armat, grinzi și stilpi, studiile necesită și aparatură de laborator, blocată și ea împreună cu un spațiu corespunzător, o durată îndelungată. De studii și cercetări experimentale pe structuri complexe la scară naturală nici nu poate fi vorba, pentru că nu poate fi concepută o cercetare în care 5...6 ani, la o structură dată în folosință, se fac măsurători periodice de deformații, eforturi etc. Modelarea structurilor la scări reduse, metodă foarte utilă pentru calculul obisnuit, este foarte discutabilă pentru cazul contractiei și curgerii lente, pentru că betoanele cu agregate fine, utilizate la realizarea modelelor, au alte caracteristici ale

curgerii lente și contractiei decit betonul obisnuit.

Curgerea lentă a betonului este proprietatea acestuia de a-și modifica dimensiunile în timp sub acțiunile exterioare /12, 13/. Printre factorii care influențează mărimea deformațiilor de curgere lentă se menționează mărimea tensiunilor, vîrsta la încărcare, timpul de încărcare, mediul înconjurător, procentele de armare etc./44, 45, 76/. Se știe că dacă toate elementele unei structuri au aceleasi caracteristici de curgere lentă, starea de eforturi nu se schimbă în timp, ci vor crește numai deformațiile /53, 54/.

Caracteristicile de curgere lentă variază însă în mod inevitabil de la element la element. Astfel, la grinziile continue, diferitele deschideri pot fi decofrate sau realizate la timpi diferiți; unele deschideri au elemente prefabricate, altele sunt turnate monolit; asamblarea elementelor prefabricate se face printr-o zonă turnată monolit etc. La cadre, stilpii pot fi turnați monolit iar grinziile prefabricate; cadrele etajate se execută în etape, nivelurile inferioare fiind mai vechi decit cele superioare etc. De asemenea, atît la grinziile continue cît și la cadre, din cauza tehnologiei de execuție, schemele statice se pot schimba. Astfel, în cazul grinziilor prefabricate, lucrează la montaj ca și simplu rezemate și fiind structuri static determinate, efectul curgerii lente este numai de creștere a deformațiilor. După monolitizarea nodurilor, structura devine static nedeterminată și din efectul curgerii lente apar momente de încovoiere și în monolitizări, chiar și din încărcările din fază inițială. Ele nu vor putea atinge însă valorile corespunzătoare grinziilor continue elastice. Aceste constatări duc la concluzia că curgerea lentă va influența și starea de eforturi din structură;

problema de studiat este măsura în care această schimbare este importantă sau nu.

Contractia betonului este proprietatea acestuia de a-și reduce dimensiunile în timp datorită modificării conținutului de apă din structura pietrii de ciment /12, 13/. Dacă contractia este liberă, reducerea dimensiunilor se produce fără a se modifica starea de eforturi. Dacă însă contractia este impiedicată parțial sau total, se produc eforturi ce se suprapun peste cele din acțiuni și starea de eforturi determinată din calculul elastic se modifică. Astfel de contractii impiedicate se produc cind elementele de beton vin în contact cu elemente fără contractie (pămînt, metal etc.) sau cu elemente de beton de alte vîrste, cu contractii mai mari sau mai mici (elemente prefabricate legate de elemente monolite).

Aparent cele două aspecte sunt separate pentru că în cazul curgerii lente trebuie să intervină încărcările exterioare, pe cind contractia se produce independent de acțiuni. Totuși între ele există o interacțiune care modifică starea de eforturi în structurile de beton. Așa cum s-a arătat mai sus, contractia impiedicată introduce eforturi în structură și acestea, la rîndul lor produc o curgere lentă, funcție de mărimea acestor eforturi. Rezultă astfel o interacțiune între cele două fenomene, care în cele mai multe cazuri duce la o reducere a eforturilor din contractie, curgerea lentă avînd un efect favorabil. De aceea, assimilarea contractiei cu o scădere de temperatură, așa cum se procedează obișnuit în proiectare, nu este corectă. Cuplarea contractiei cu curgerea lentă este un fenomen complex ce nu poate fi abordat cu metode simple.

In practica proiectării structurilor de beton armat analiza influenței curgerii lente și contractiei este insuficient tratată. Într-un singur domeniu, cel al betonului precomprimat, situația este mult mai bună, din cauza că pierderile de tensiune sunt așa de mari încât pot anula efectul precomprimării. De altfel, descoperirea fenomenului de curgere lentă și contractie betonului este legată de introducerea în construcții a betonului precomprimat /40, 87/. La primele încercări s-a constatat că forța de precomprimare se reduce foarte mult, ajungindu-se chiar la anularea ei, datorită acestor deformații ce se produc în timp. Si progresele făcute în cunoașterea mai corectă a fenomenelor sunt legate de necesitatea perfecționării metodelor de calcul și execuție a elementelor de beton precomprimat.

Un al doilea domeniu în care se ține seamă în proiectare de efectul curgerii lente este cel al deformațiilor din încărcările de exploatare. Se știe că deformațiile pot crește de 2...4 ori față de cele initiale, fără ca starea de eforturi să se modifice, din cauza curgerii lente. Acest efect nu poate fi neglijat pentru că este un efect foarte important pentru verificarea stării limită de deformații /44,45/. Toate normele de calcul moderne au prevăzută și verificarea deplasărilor în timp.

În al treilea domeniu în care efectele curgerii lente nu pot fi neglijate este cel al stabilității structurilor zvelte de beton armat. Prăbușirea unor acoperișuri din plăci curbe din cauza curgerii lente /53, 54, 55/, precum și cregerea, peste limita admisibilă, a deformațiilor unor stilpi zvelți /3, 25/, au dus la introducerea acestui efect în normele de calcul.

In schimb practica proiectării nu ține seamă de efectul curgerii lente asupra stării de eforturi în structurile complexe.

Se știe că eforturile pot fi modificate în timp cu 20...40%, efect mult mai mic decât în cazul precomprimării, al calculului deformațiilor sau al stabilității și nu poate fi sesizat în exploatarea structurilor, fiind acoperit de coeficientii de siguranță sau de cei de supraîncărcare și omogenitate ai materialelor.

Cu toate acestea, acest efect nu poate fi neglijat din cauza că o creștere a eforturilor, chiar mai redusă, duce la micșorarea siguranței structurii și acțiunile accidentale, singurele care pot duce la colaps o structură bine concepută, o găsesc mai slab pregătită pentru evenimente majore.

In cele ce urmează se face o trecere în revistă a principalelor direcții de cercetare în acest domeniu.

1.2. Directii generale de cercetare

Din figura 1.1., reprodusă după /32/, numărul lucrărilor care se ocupă cu problema curgerii lente și contracției betonului și betonului armat a crescut foarte mult în ultimul timp.

Din analizare lucrărilor publicate în literatura de specialitate pot fi desprinse următoarele direcții de cercetare:

a) Determinarea mărimilor caracteristice ale curgerii lente și contracției și a factorilor care influențează fenomenul, în care se determină, pe baze experimentale, mărimile initiale, finale și evoluția în timp a acestor caracteristici pentru betonul simplu /12, 13/. Este activitatea cea mai bogată din acest domeniu și, drept rezultat, au fost redactate norme de proiectare, în permanentă îmbunătățire.

b) Modelarea matematică și mecanică a comportării în timp a betonului simplu, în care se stabilesc legile constitutive

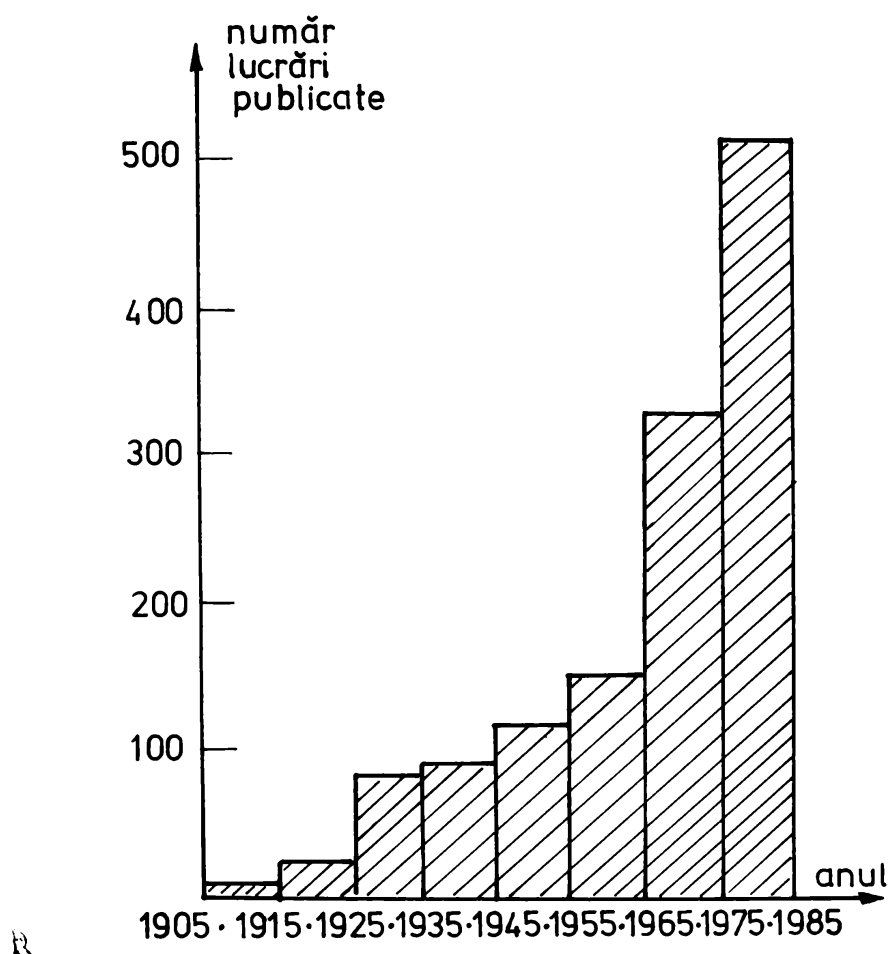


Fig.1.1.

între tensiuni și deformații /12, 13, 25, 34, 84, 92/. Deoarece fenomenul este deosebit de complex, există o mare varietate de propunerile, fiecare cu avantajele și dezavantajele sale.

c) Metode matematice de rezolvare, în care, ținând seama de complexitatea ecuațiilor matematice la care se ajunge, ecuații integrale sau diferențiale, sunt studiate metode analitice exacte sau aproximative, precum și metode numerice, apte de a fi scrise pentru calculatoare electronice /34, 82/.

d) Efectele curgerii lente și contractiei la elemente de beton armat și beton precomprimat, în care sunt studiate, la grinzi, stâlpi și plăci, redistribuirea eforturilor între beton

și armătură, pierderile de tensiune, influența fisurării, creșterea deformărilor etc. /14, 22, 44, 45, 67, 79, 80, 86/.

e) Efectul curgerii lente și contractiei la structurile de beton și beton armat, în care se analizează modificările stării de eforturi și deformații pe structuri complexe și descreșterea încărcărilor critice de pierdere a stabilității /3,5-9, 15, 16, 21, 23, 25, 30, 33, 37, 38, 53, 54, 56, 65, 66, 70, 82, 86, 89, 91/.

Deoarece obiectul tezei de doctorat se referă la influența curgerii lente și contractiei betonului la structuri, în continuare analiza direcțiilor de cercetare se va limita numai la aceste aspecte.

Cercetările privind efectele curgerii lente și contractiei la structurile de beton armat pot fi clasificate în următoarele directii, în funcție de tipul de structură:

a) Structuri din bare, în care se analizează efectele tasării reazemelor, a variației armării, a turnării succesive, a legării unor părți prefabricate cu unele monolite etc. /5-9, 15, 16, 21, 23, 25, 30, 65, 70, 82, 86/.

b) Structuri din plăci, în care cercetările cele mai semnificative sunt efectuate pentru diafragme /91/. S-au studiat efectele turnării în etape a diafragmelor: blocul de fundație, legat de terenul fără contractie și porțiuni din diafragme, egale cu înălțimea unui nivel, turnate succesiv.

c) Structuri de plăci curbe, în care se analizează redistribuția eforturilor între diferitele elemente ale structurii, placă curbă, elementele de margine, stilpii de susținere etc. /54, 55/.

Din analiza bibliografiei existente, rezultă că cercetările pentru structuri din bare nu sunt încă la nivelul cerut pentru o utilizare cupantă în proiectare.

1.3. Principalele efecte ale curgerii lentr și contractiei relevante în literatura de specialitate

Efectele curgerii lente sunt în primul rînd de reducere în timp a rigidității elementelor structurii; contractia betonului este o deformatie impusă. Principalele efecte ale deformărilor viscoase sunt /3/:

a) relaxarea eforturilor, caracteristică cazului deformațiilor impuse, cînd are loc o variație în timp a eforturilor initiale. Dacă deplasarea este instantanee, se produce o scădere a eforturilor; dacă deplasarea se produce în timp, eforturile cresc sau scad în funcție de raportul dintre vitezele deformațiilor de curgere lentă a betonului sau de producere a tasărilor;

b) redistribuția eforturilor, caracteristică structurilor compuse din materiale cu deformații viscoase diferite. Din cauză că rigiditățile elementelor nu se modifică în timp după aceeași lege se produce o redistribuire a eforturilor între diferitele elemente ale structurii, în unele părți ale ei eforturile scad, iar în altele cresc. Legarea elementelor cu proprietăți realogice diferite, poate fi făcută în paralel (de exemplu grinzi cu inima prefabricată și talpa monolită) sau în serie (cadre la care stîlpii sunt monoliti iar grinziile prefabricate);

c) amplificarea eforturilor, ca urmare a creșterii deformațiilor, caracteristică structurilor zvelte (stîlpi comprimati, arce, plăci curbe etc.). Prin creșterea acestor deformații,

crește importanța efectelor de ordinul doi și scade siguranța la stabilitate.

Dintre aceste efecte, în literatura de specialitate sunt bine studiate efectele de relaxare, de redistribuire a eforturilor elementelor legate în paralel și de amplificare a efectelor de ordinul doi. Analiza bibliografică arată că cercetările referitoare la redistribuția eforturilor structurilor realizate din elemente cu caracteristici viscoase diferite /70,82/ sunt mult mai reduse în comparație cu studiul celorlalte efecte.

1.4. Importanța efectelor de curgere lentă și contracție

Studiul stării de eforturi într-o structură este abordat în literatura de specialitate în două moduri:

a) se analizează "biografic" variația în timp a stării de eforturi din structură sub acțiunile permanente sau temporare cu durată lungă de acțiune, care servește în special studiului stării de exploatare;

b) se determină numai valorile inițiale și cele finale, necesare considerării celor două stadii caracteristice, starea de exploatare și cea limită.

Deoarece încărcările permanente și temporare de lungă durată nu reprezintă decât o parte din încărcările de calcul ale structurii (vor interveni și cele de scurtă durată și cele accidentale), deformațiile din curgere lentă și contracție nu pot duce la cedarea structurii. În timp pot însă să nu fie satisfăcute condițiile de exploatare (deformații mari, fisurare puternică); din cauza reducerii rigidității și a redistribuirii necontrolate a eforturilor, se poate ajunge la situația în care structura nu este pregătită pentru preluarea încărcărilor accidentale. Astfel, la unele cadre, din cauza redistribuției efor-

turilor și a efectului contractiei, momentele din grinzi din acțiunile permanente pot crește cu 20-40% față de calculul elastic obisnuit. Astfel, la o încărcare din zăpadă, la valoarea de calcul, pot fi depășite momentele capabile producindu-se o cedare sub acțiunea zăpezii. Cauza principală a acestui colaps rămâne însă creșterea eforturilor din încărcările permanente datorate deformațiilor din curgere lentă și contractia betonului.

1.5. Concluzii privind situația cercetărilor

Din analiza cercetărilor efectuate pe plan mondial și al aspectelor prezentate în paragrafele precedente rezultă următoarele concluzii principale:

- a) curgerea lentă și contractia betonului afectează starea de eforturi și deformații a structurilor de beton armat și nu pot fi neglijate atunci cînd se dorește cunoașterea comportării reale;
- b) pentru determinarea caracteristicilor deformațiilor viscoase există în literatura de specialitate articole, cărți și norme care oferă date suficiente pentru o evaluare corectă a acestor mărimi;
- c) efectele curgerii lente și contractiei betonului sunt bine cunoscute pentru elementele de beton armat, stilpi și grinzi, și metodele de calcul existente permit rezolvarea corectă a acestora;
- d) la structurile din bare, singurul efect bine studiat în literatura de specialitate este cel al curgerii lente la deformații impuse din tasare. Efectele neomogenității elementelor rezultate din calități diferite de betoane, turnări în etape succeseive, structuri compuse din elemente prefabricate și mono-

lite, precum și efectul schimbării schemei statice în timpul montajului, prin monolitizări succesive, sănătate studiate;

e) în prezent nu există elaborate metode generale de calcul static al structurilor realizate din materiale viscoelasticice, similare cu cele pentru materiale elastice;

f) teoria viscoelasticității, particularizată pentru cazul betonului armat, pune la dispoziție formulări teoretice și metode de rezolvare care pot fi utilizate la elaborarea unor metode de calcul capabile să abordeze problemele prezentate la punctul d.

1.6. Conținutul tezei de doctorat

Tinând seamă de aspectele prezentate în capitolul 1 "Stadiul actual al problemei", teza de doctorat este structurată astfel:

In capitolul 2 "Curgerea lentă și contractia betonului" se expun în primul rînd aspectele teoriei viscoelasticității și metodele de rezolvare a ecuațiilor constitutive. În continuare sunt prezentate principalele coduri pentru determinarea mărimilor caracteristice ale curgerii lente și contractiei betonului: CEB-FIP70, CEB-FIP76, ACI435, ACI 209, DIN 4227, BPEL83, STAS 8000/67, STAS 10107/76, STAS 10107/90 (proiect). De asemenea sunt prezentate și principalele formulări pentru variația în timp a acestor caracteristici.

In capitolul 3 "Efectele curgerii lente și contractiei la structuri din beton armat" se prezintă în primul rînd graf efectul curgerii lente și contractiei la elementele de beton armat, grinzi și stîlpi. Pe baza exemplelor relatate în literatura de specialitate, se relevă principalele efecte ale curgerii len-

te și contractiei legate de modul de alcătuire și realizare a structurilor de beton armat:

- neomogenități din armare, diferită a elementelor, din turnare succesivă și din utilizarea unor elemente monolite legate de elemente prefabricate;
- schimbarea schemei statice în timpul execuției la structurile prefabricate, asamblate prin monolitizări ale nodurilor;
- împiedicarea deformațiilor din contractie.

Capitolul 4, cel mai dezvoltat al tezei, "Statica structurilor viscoelastice din bare cu caracteristici diferite ale curgerii lente", generalizează, pentru structurile de beton armat cu proprietăți reologice, metoda eforturilor cunoscută pentru calculul structurilor elastice din bare. După analiza principalelor formulări pentru legea constitutivă $\tilde{\sigma}-\tilde{\epsilon}$, se alcătuiează legătura rezolvarea problemei, metoda Trost-Bazant a modulului redus modificat. Pentru structuri viscoelastice se generalizează principiul lucrului mecanic virtual, cunoscut la calculul structurilor elastice. Se prezintă o formulare matricială a metodei eforturilor pentru structurile viscoelastice și se obține o formulare ușor de utilizat în practica proiectării. Sunt examineate două tipuri de structuri:

- structuri cu schema statică nemodificată în timp, la care efectul curgerii lente se datorează neomogenității elementelor structurii din cauza turnării în diferite etape;
- structuri cu schema statică ce se modifică în timpul execuției, la structurile monolite, prin realizarea eşalonată a structurii, la structurile prefabricate, prin monolitizările nodurilor în diferite etape de execuție.

Capitolul 5 "Aplicații. Influența tehnologiilor de execuție asupra stării de eforturi din structurile de beton armat" cuprinde aplicarea metodei elaborate în capitolul 4 la două tipuri de structuri: cadrul parter cu o deschidere și cadrul parter cu două deschideri. Se au în vedere următoarele tehnologii de execuție:

- structură executată monolit în etape succesive;
- structură cu stâlpi monolitici și grinzi prefabricate;
- structură cu stâlpi și grinzi prefabricate;
- extinderi la o structură existentă.

Se studiază modificarea stării de eforturi din încărcările permanente sub influența curgerii lente și contracției betonului în funcție de aceste tehnologii de execuție.

Capitolul 6 "Concluzii" relevă principalele aspecte obținute din studiul efectuat, care au implicații pentru practica proiectării. Se prezintă principalele contribuții ale autorului.

Capitolul 2

CURGEREA LENTA SI CONTRACTIA BETONULUI

2.1. Evoluția cercetărilor și a elaborării normelor de calcul

Curgerea lentă și contracția betonului au fost puse în evidență pentru prima dată prin cercetările experimentale efectuate la începutul secolului nostru de către Woolson (1905), Hatt (1907) și Mc Millan (1915). Studii sistematice au fost efectuate însă numai după anul 1930, legate de utilizarea betonului precomprimat, de către Freyssinet, Glanville, Davis, Ross, Stoliarov, Seikin. După aceste studii de început interesul crește rapid și în 1946, comitetul ACI 209 (American Concrete Institute) publică prima recenzie a cunoștințelor acumulate pînă la aceea dată. Cîțiva ani mai tîrziu, Wagner (1958) sintetizează rezultatele teoretice și experimentale acumulate între timp. Urmează o perioadă de bogate acumulări, fiind rîndul lui Neville (1970) să sistematizeze cunoștințele etapei respective /74/. Apare aproape concomitent și lucrarea autorilor români Avram, Făcăoară, Filimor Mîrsu, Tertea "Rezistențele și deformațiile betonului" (1971) /12/ în care, în capitolele 9, 10 și 11, sunt prezentate rezultatele la zi ale cercetărilor. Ediția în engleză a acestei cărți "Concrete Strength and Strains" (1981) /13/ aduce la zi bibliografia din acest domeniu. Doi ani mai tîrziu apare cartea autorilor Rüsch, Jungwirth, Hilsdorf "Curgearea lentă și contracția: Efectele ei asupra comportării structurilor" (1983) /2/.

Aceste cărți sintetizează lucrările cele mai importante apărute în literatura de specialitate.

O altă activitate deosebit de importantă în această direcție este cea de elaborare de coduri, în care sunt valorifi-

cate cele mai importante rezultate practice ale studiilor experimentale. Se remarcă în mod deosebit permanenta perfecționare a acestor coduri, la intervale de 5...10 ani.

Astfel Comitetul European pentru beton (CEB) și Federația internațională a precomprimării (FIP) publică "Recomandările internaționale pentru proiectarea și execuția structurilor de beton" (1970) /98/ în care sunt prezentate prevederi pentru determinarea caracteristicilor curgerii lente și contracției. Peste numai 6 ani, Comitetul CEB-FIP publică "Codul model pentru structurile de beton" (1976) /99/ în care toate prevederile privind calculul acestor caracteristici sunt schimbate, ca rezultat al importantelor cercetări experimentale obținute între timp.

In SUA, primul cod elaborat de Comitetul ACI 435 "Deformările elementelor de beton precomprimat" (1963) /95/, care conține numai date sumare, este îmbunătățit实质ial de către redactarea efectuată de Comitetul 209, subcomitetul II "Determinarea efectelor curgerii lente, contracției și temperaturii" (1978), /96/, care este un cod complet.

In RFG, DIN 1045 "Beton și beton armat. Calcul și execuție" (1972) /100/, cu prevederi destul de reduse pentru deformările reologice ale betonului, este modernizat prin redactarea DIN 4227 "Prescripții pentru calculul și execuția betonului precomprimat" (1979) /101/, care conține date mult mai complete privind determinarea caracteristicilor curgerii lente și contracției betonului.

Unul dintre normativele cele mai complete este cel francez, publicat în 1983, BPEL83 "Reguli tehnice privind cunoașterea și calculul elementelor și construcțiilor din beton precomprimat, după metoda stărilor limită" /97/ care pentru curgerea

lentă și contractia betonului are cele mai complete prevederi.

Perfecționarea continuă a metodelor de calcul poate fi observată și după numărul parametrilor care sunt luati în considerare la definirea mărimilor caracteristice. Creșterea acestui număr de parametri este dată în /1/.

Codul	CEB-FIP.70	ACI209	CEB-FIP78	BPEL83
Anul apariției	1970	1978	1978	1983
Număr parametri	8	9	15	31

In România, trecerea de la STAS 8000-67 "Calculul elementelor de beton, beton armat și beton precomprimat" (1967) /1o2/ la STAS 10107/0-76 "Calculul și alcătuirea elementelor din beton, beton armat și beton precomprimat" (1976) /1o3/ a reprezentat o îmbogățire a prevederilor privind calculul caracteristicilor respective.

Proiectul de STAS 10107/0-90 a preluat, cu unele complementări, prevederile codului CEB-FIP 76, pentru elemente și structuri la care efectul curgerii lente și contractiei este important. La celealte, se păstrează metoda simplă din vechiul standard.

In paragraful următor se va face o prezentare a elementelor de bază din teoria viscoelasticității, necesare pentru studierea variației în timp a deformațiilor betonului.

2.2. Concepții de bază în teoria viscoelasticității

2.2.1. Materiale cu și fără memorie

Așa cum se știe din mecanica teoretică, ecuațiile de echilibru, în tensiuni, și ecuațiile de compatibilitate, în deformații, sunt valabile pentru toate materialele. În schimb, legătura între tensiunile σ și deformațiile ϵ depinde de materialul din care este alcătuită structura și este dată de ecuațiile constitutive,

sau curbele caracteristice ale materialului. Acestea sunt stabilite experimental, prin încercări directe pe epruvete, și pe baza valorilor obținute se stabilește o relație matematică de legătură $\sigma-E$.

Dacă acțiunea asupra epruvetei are o istorie de tipul celei din figura 2.1a, în care începutul este dat de timpul $t=\tau_1$, răspunsul materialului poate fi:

- a) deformăția $\varepsilon(t)$ depinde numai de valoarea tensiunii $\sigma(t)$ (fig.2.1b)

$$\varepsilon(t) = D[\sigma(t)] \quad (2.1)$$

unde: $D : R \rightarrow R$ este o funcție constantă în timp. Materialele care ascultă de legea (2.1), la care deformările depind numai de acțiunea corespunzătoare momentului considerat, se numesc materiale "fără memorie". Un exemplu de astfel de material este cel cu proprietăți elastice și de aseea, de aceste materiale se ocupă "teoria elasticității". De asemenea, întreaga statică a construcțiilor, folosită la proiectarea structurilor, este bazată pe proprietățile materialelor fără memorie;

- b) deformăția $\varepsilon(t)$ depinde de tot setul de valori ale tensiunilor între momentul încărcării τ_1 și cel de referință t , $\sigma(\tau) \quad (\tau_1 < \tau < t)$

$$\varepsilon(t) = D[\sigma(\tau)] \quad (2.2)$$

unde $D : C(\tau_1, t) \rightarrow R$, C reprezentând un set de funcții continue definite pe intervalul (τ_1, t) . Materialele care ascultă de legea (2.2), la care deformăția la timpul t depinde de întreaga istorie a stării de tensiune, se numesc materiale "cu memorie". Deoarece aceste materiale au și proprietăți viscoase, disciplina care se ocupă de legătura tensiuni-deformății este teoria viscoelasticității /34, 48, 78/, Deoarece betonul este un material cu proprietăți

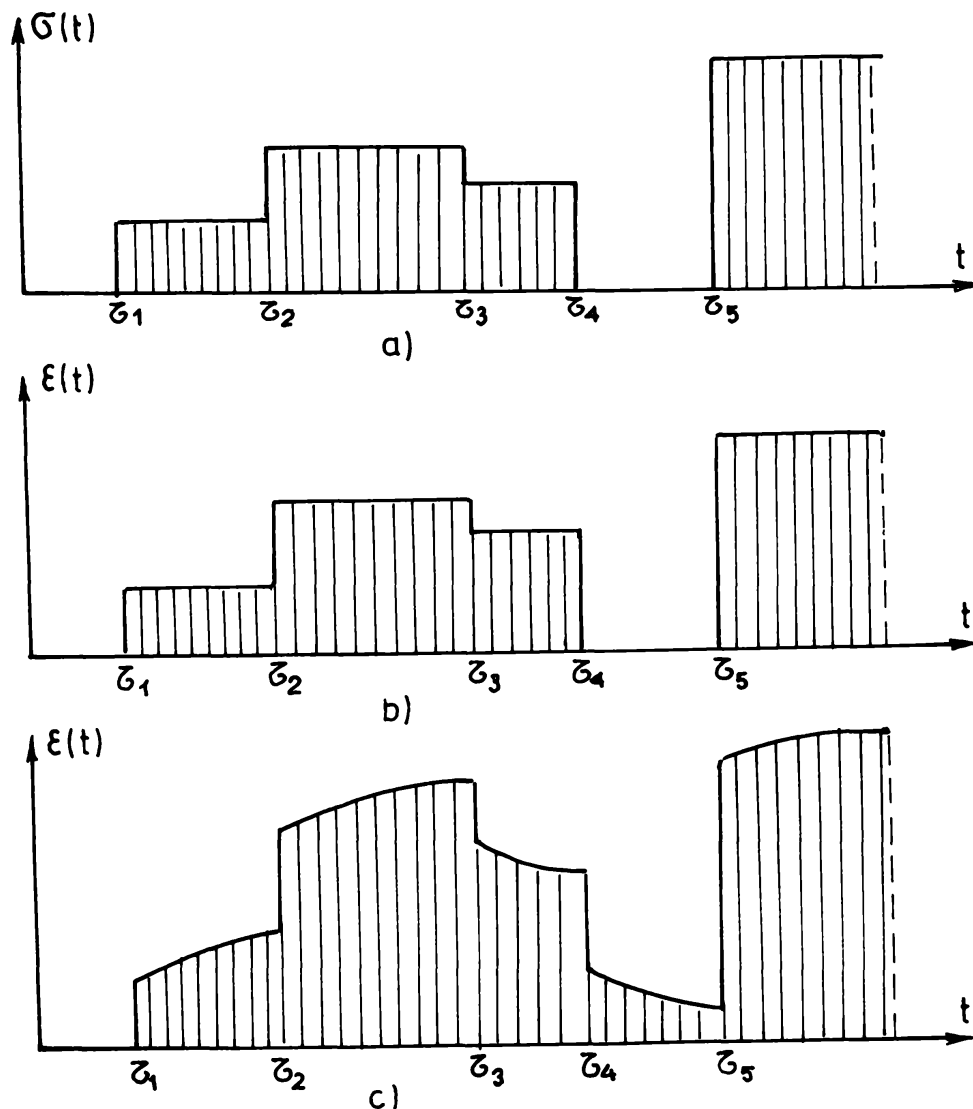


Fig. 2.1.

vîscoase pronunțate, utilizarea calculului elastic la proiectarea structurilor poate duce la denaturarea cunoașterii comportării reale și trebuie folosită teoria vîscoelasticității.

2.2.2. Curgerea lentă și relaxarea

Caracteristica principală a comportării vîscoelastice a materialelor este dependența stării de deformații sau de tensiune de factorul temp. Materialele vîscoelastice au deformații care cresc în timp pentru tensiuni constante, sau tensiunile scad în timp, dacă deformația este constantă.

Istoria aplicării unei acțiuni este caracterizată de variația tensiunii (fig.2.2a):

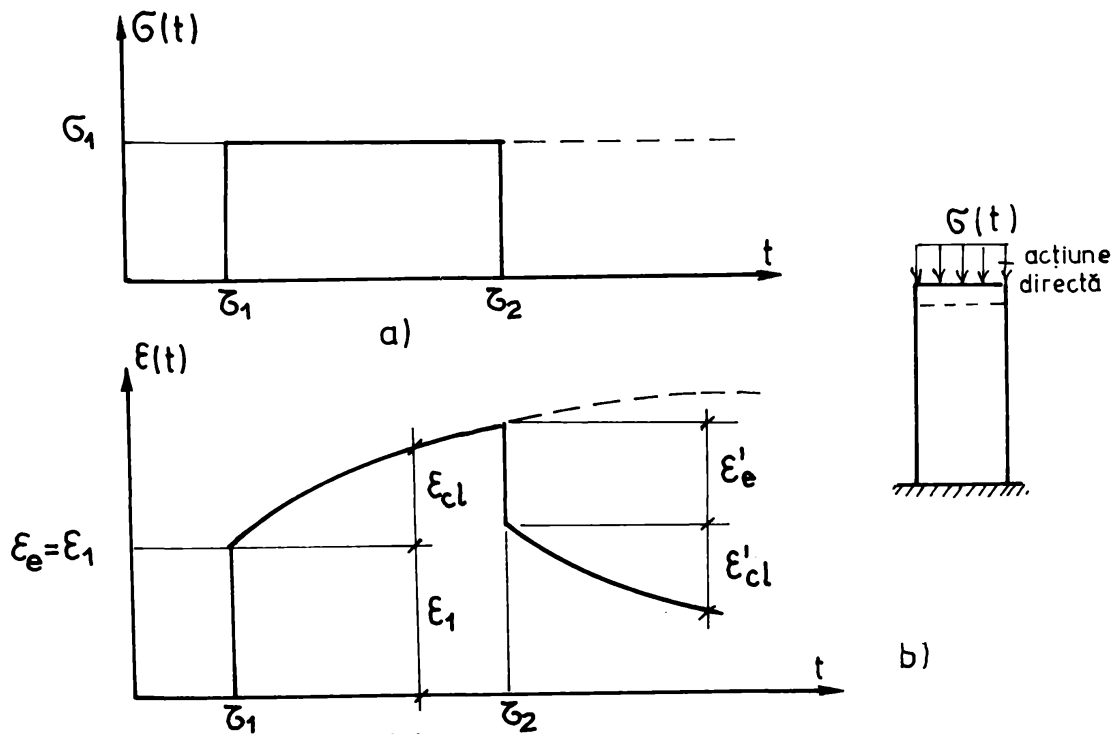


Fig.2.2.

$$\sigma(t) = \sigma_1 [H(t - z_1) - H(t - z_2)] \quad (2.3a)$$

unde H este funcția unitară definită prin

$$H(t - z_i) = \begin{cases} 0 & t < z_i \\ \frac{1}{2} & t = z_i \\ 1 & t > z_i \end{cases} \quad (2.3b)$$

Astfel, tensiunea are valoarea σ_1 pentru $z_1 < t < z_2$ și devine nulă pentru $t > z_2$, indicând închiderea acțiunii.

Istoria deformațiilor este prezentată în figura 2.2b. În momentul aplicării acțiunii, $t = z_1$, se produce o deformare elastică $\epsilon_e = \epsilon_1$, peste care în timp se suprapune o deformare ce crește și care caracterizează comportarea viscoasă a materialului, numită deformare de curgere lentă, ϵ_{cl} . Dacă acțiunea închidează la timpul z_2 , se produce o deformare instantanee de tip elastic, ϵ'_e , de semn contrar celei initiale, și o reducere a deformațiilor în timp de tip curgere lentă, ϵ'_{cl} .

Dacă o epruvetă este supusă unei deformații caracterizată de relația (fig.2.3a):

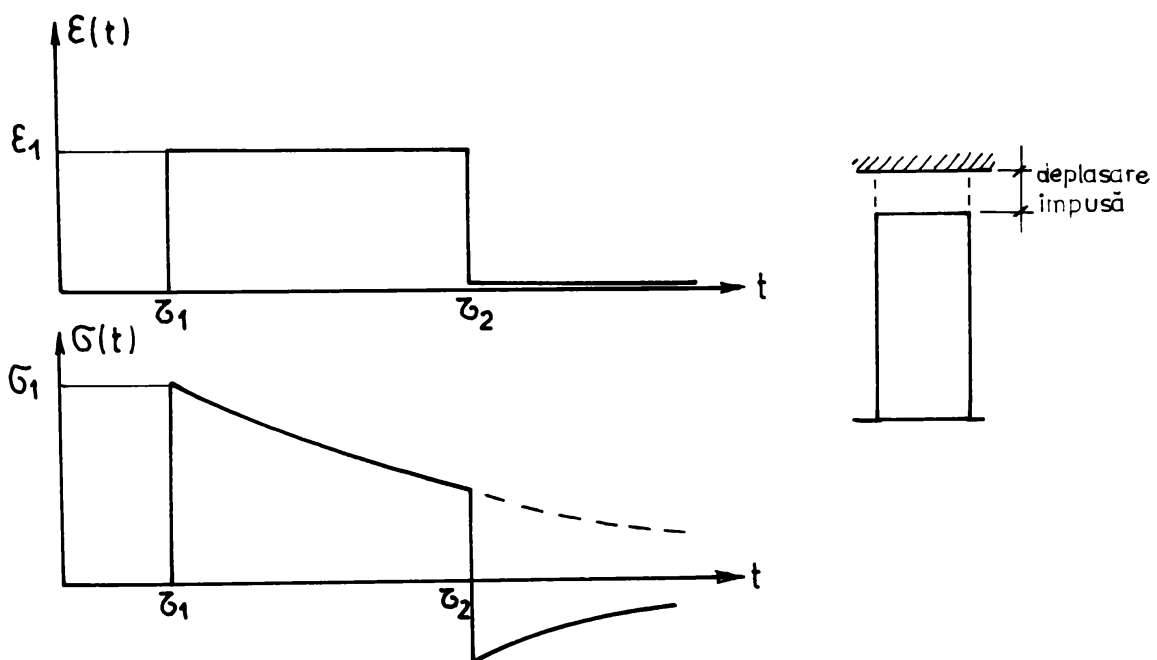


Fig.2.3.

$$\varepsilon(t) = \varepsilon_1 [H(t - \tau_1) - H(t - \tau_2)] \quad (2.4)$$

care arată că este aplicată la timpul $t = \tau_1$, este apoi constantă și își închidează acțiunea la $t = \tau_2$. În momentul aplicării deformației $t = \tau_1$, tensiunea este σ_1 . Din figura 2.3b se constată că ea scade în timp, scădere ce se numește relaxarea tensiunilor. Dacă deformația impusă dispare la timpul $t = \tau_2$, se produce o modificare bruscă a tensiunii, care poate să-și schimbe și semnul, constatare deosebit de importantă pentru materiale cu proprietăți diferite de rezistență la întindere și compresiune, cum este betonul. Astfel, la o descărcare bruscă a unei bare de beton, supusă la o deformație impusă de scurtare, se poate produce ruperea ei prin depășirea rezistențelor la întindere.

Legile de variație ale acțiunilor și deformațiilor din figurile 2.2. și 2.3. sunt simple. În realitate, structurile sunt supuse unor acțiuni și deformații impuse cu o variație foarte com-

plexă, de tipul celei din figura 2.1, care este caracterizată de relații de forma:

- pentru deformațiile de curgere lentă:

$$\sigma(t) = \mathcal{D}(\epsilon_i, \tau_i, t) \quad (2.5a)$$

- pentru relaxare:

$$\sigma(t) = \mathcal{E}(\epsilon_i, \tau_i, t) \quad (2.5b)$$

unde σ_i , ϵ_i sunt tensiunile și deformațiile aplicate la timpul τ_i , iar t este timpul corespunzător analizăi structurii.

Determinarea funcțiilor de variație \mathcal{D} și \mathcal{E} este foarte complicată și de aceea sunt necesare unele ipoteze de bază, simplificări, care vor fi prezentate în paragrafele următoare.

2.2.3. Liniaritatea deformațiilor și principiul suprapunerii efectelor

Cele mai multe materiale utilizate în construcții prezintă, pentru încărcările de scurtă durată, deformații elastice liniare pentru nivele de încărcare mici și deformații neliniare, pentru nivele finale. Separarea domeniului de comportare liniară de cel de comportare neliniară este situat la aproximativ jumătate din valoarea tensiunii limite (fig.2.4a).

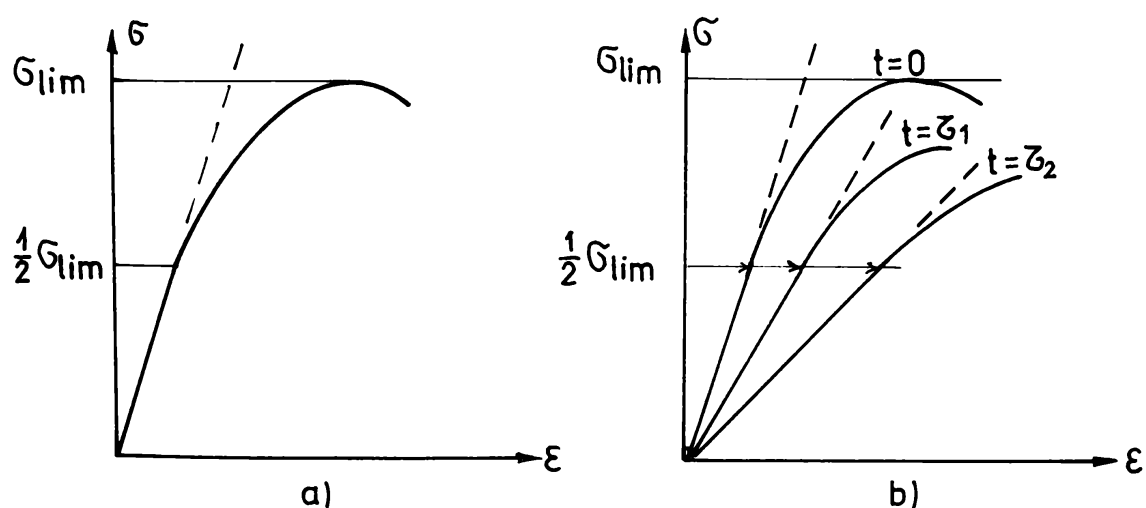


Fig.2.4.

Aceeași proprietate este valabilă și pentru deformațiile de curgere lentă. Astfel, pentru tensiunile sub limita de proporționalitate, toate deformațiile măsurate la un timp dat ζ_i se află pe o dreaptă (fig.2.4b). Această constatare a permis dezvoltarea unei teorii a curgerii lente liniare, care a dus la abordarea unor importante probleme din mecanica structurilor. Pentru structurile din beton armat, sub încărcările de exploatare, care sunt cele ce dău deformațiile de curgere lentă, nivelul de încărcare este sub 0,5 bălim și deci se poate folosi teoria curgerii lente liniare.

Conceptul de bază care rezultă din liniaritatea deformațiilor este principiul suprapunerii efectelor. Astfel, dacă tensiuniile sunt (fig.2.5a):

$$\sigma(t) = \sigma_1(t, \zeta_1) + \sigma_2(t, \zeta_2) + \sigma_3(t, \zeta_3) + \dots \quad (2.6a)$$

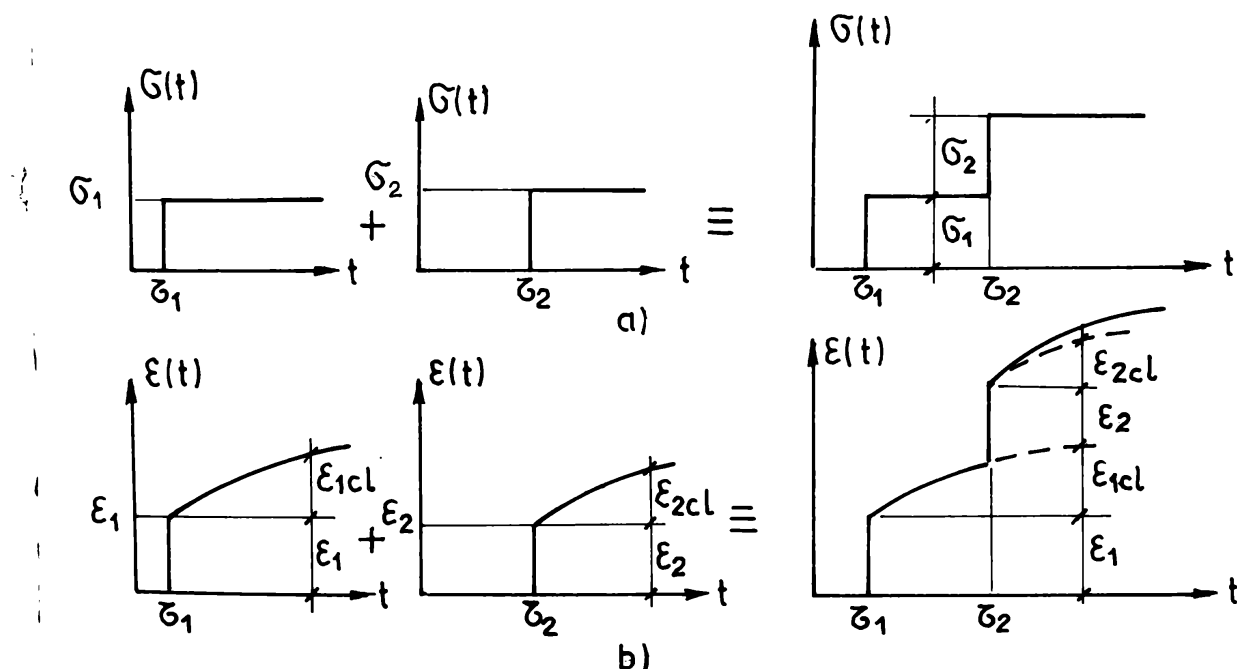


Fig.2.5.

atunci și deformațiile vor fi:

$$\dot{\varepsilon}(t) = \dot{\varepsilon}_1(t, \tau_1) + \dot{\varepsilon}_2(t, \tau_2) + \dot{\varepsilon}_3(t, \tau_3) + \dots \quad (2.6b)$$

Aplicarea acestui principiu în cadrul teoriei viscoelasticității permite utilizarea multor rezultate din cadrul teoriei elasticității liniare.

2.1.4. Vîrsta materialului și paralelismul curbelor de curgere lentă

Materialele cu deformații viscoelastice au proprietatea că rezistențele cresc în timp și scade deformabilitatea lor. Din figura 2.6 se constată că deformațiile instantanee scad dacă materialul este încărcat la vîrste din ce în ce mai mari. În schimb, cercetările experimentale au arătat că curbele de curgere lentă sunt practic paralele între ele, indiferent de vîrsta la care a fost încărcată epruveta. Aceasta este o observație deosebit de importantă, care va permite o serie de simplificări în dezvoltarea teoriei viscoelasticității liniare.

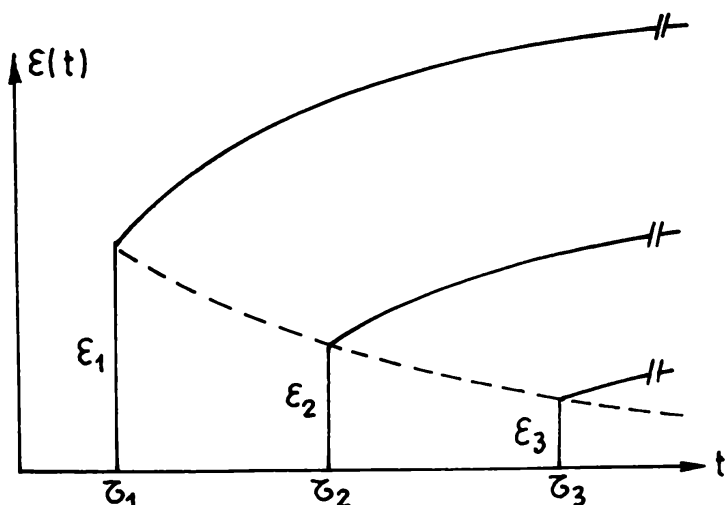


Fig.2.6.

2.1.5. Ecuatiile constitutive

Așa cum s-a arătat la începutul paragrafului, relațiile dintre tensiuni și deformații, funcție de caracteristicile mecanice ale materialului și de timp, reprezintă ecuatiile constitutive.

Pentru o istorie a tensiunilor dată de relația (fig.2.7a):

$$\sigma(t) = \sum_{i=0}^n \Delta \sigma_i(\tau_i) H(t-\tau_i) \quad (2.7a)$$

deformația va fi de forma:

$$\epsilon(t) = \sum_{i=0}^n \Delta \sigma_i(\tau_i) D(t, \tau_i) \quad (2.7b)$$

unde $D(t, \tau_i)$ este funcție numai de momentul aplicării acțiunii.

Relația (2.7b) a putut fi scrisă sub această formă ca urmare a aplicării principiului suprapunerii efectelor și a paralelismului curbelor de curgere lentă.

Dacă variația tensiunilor este continuă (fig.2.7b) relațiile(2.7) devin:

$$\sigma(t) = \int_{\tau_1}^t H(t-\tau) d\sigma(\tau) \quad (2.8a)$$

$$\epsilon(t) = \int_{\tau_1}^t D(t-\tau) d\sigma(\tau) \quad (2.8b)$$

Similar se obțin și relații pentru cazul deformațiilor impuse

$$\epsilon(t) = \int_{\tau_1}^t H(t-\tau) d\epsilon(\tau) \quad (2.9a)$$

$$\sigma(t) = \int_{\tau_1}^t E(t, \tau) d\epsilon(\tau) \quad (2.9b)$$

unde $E(t, \tau)$ este funcție numai de timpul corespunzător aplicării încărcării.

Integrând prin părți relațiile (2.8b) și (2.9b) rezultă:

$$\dot{\varepsilon}(t) = D(t, \zeta)\bar{\varepsilon}(t) + \int_{\zeta_1}^t d(t, \zeta)\bar{\varepsilon}(\zeta) d\zeta \quad (2.10a)$$

$$\bar{\varepsilon}(t) = E(t, \zeta)\dot{\varepsilon}(t) + \int_{\zeta_1}^t e(t, \zeta)\dot{\varepsilon}(\zeta) d\zeta \quad (2.10b)$$

unde:

$$d(t, \zeta) = - \frac{dD(t, \zeta)}{d\zeta} \quad (2.11a)$$

$$e(t, \zeta) = - \frac{dE(t, \zeta)}{d\zeta} \quad (2.11b)$$

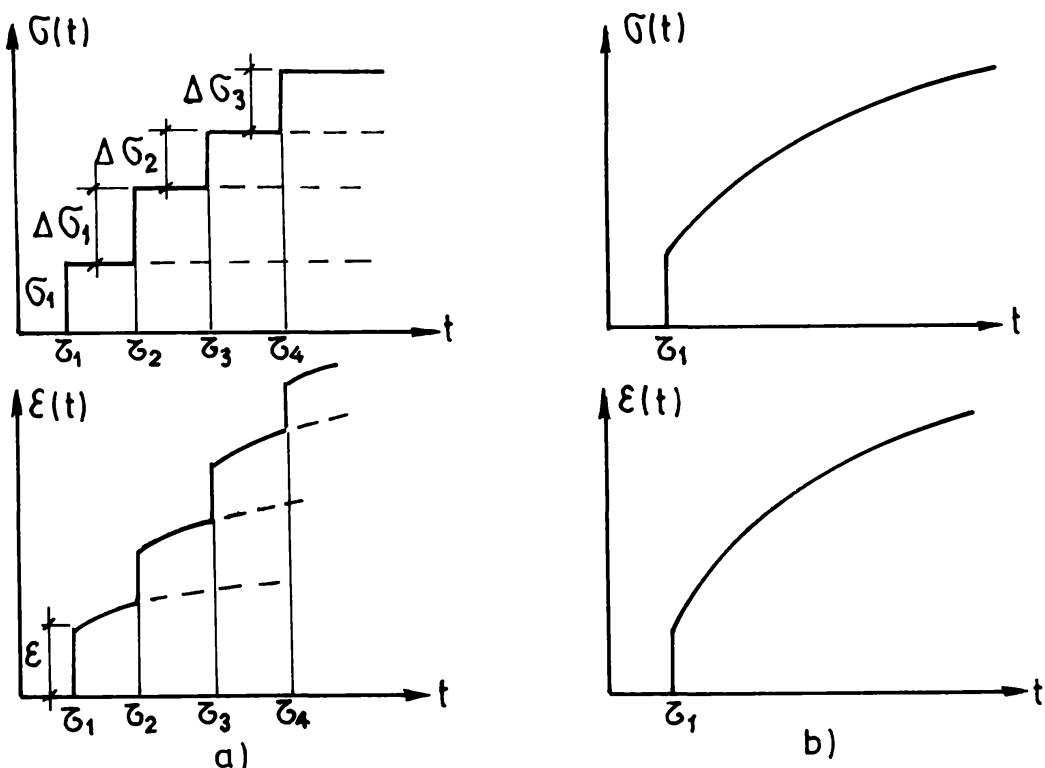


Fig.2.7.

Relațiile (2.8b, 2.9b) și (2.10a,b) reprezintă variante de exprimare ale relațiilor constitutive care descriu legăturile dintre tensiuni și deformații, funcție și de timp. Ele sunt de formă integrală și rezolvarea lor este foarte dificilă. De aceea, în paragrafele următoare, se vor prezenta metode simplificate de abordare, specifice betonului.

2.3. Deformatiile reologice ale betonului

2.3.1. Cauzele deformațiilor reologice

Deformațiile reologice ale betonului se datorează pastei de ciment, un material foarte complex, compus din fazele solidă, lichidă și gazoasă. Aceste faze sunt într-o stare de echilibru dinamic, determinat de condițiile exterioare (forțe aplicate, umiditate, temperatură) și procese fizico-chimice interne (grad de hidratare). Aceste procese și condiții sunt deosebit de importante în primele zile și primii ani de "viață" ai betonului.

Există numeroase teorii care explică deformațiile reologice ale betonului. Ele sunt prezentate pe larg în lucrările /12,13/. De asemenea în aceste lucrări sunt discutate și factorii care influențează deformațiile de curgere lentă și contractie. Deoarece scopul lucrării de față este legat de comportarea structurilor de beton armat sub diferite acțiuni, în cele ce urmează se prezintă numai aspectele legate direct de acest scop.

2.3.2. Deformațiile de curgere lentă

Deformațiile unei epruvete de beton comprimat cu efort constant sunt prezentate în figura 2.8. În momentul aplicării

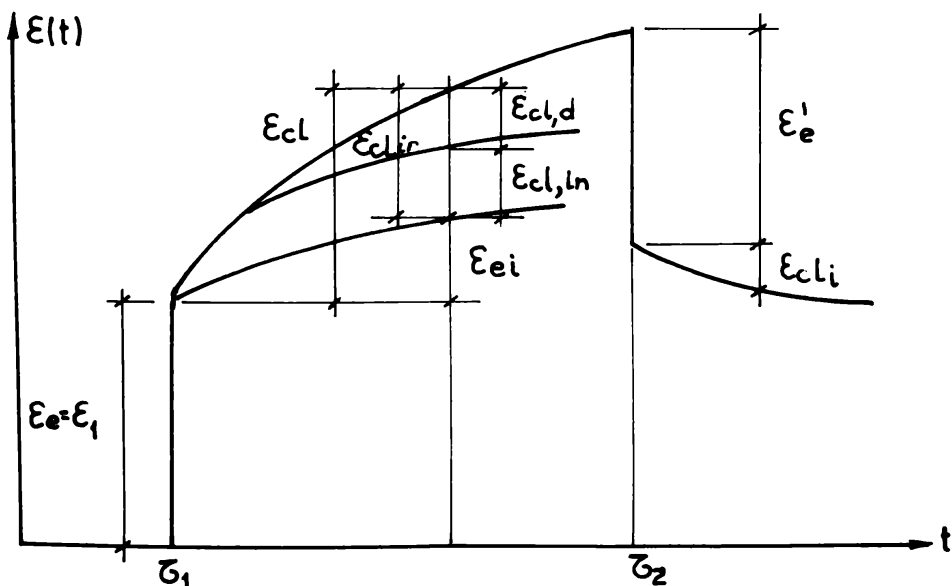


Fig.2.8*

acțiunii, la $t = \bar{t}_1$, se produce o deformație elastică instantanee, $\varepsilon_e = \varepsilon_1$. Dacă compresiunea este constantă în timp, deformațiile cresc din cauza că peste cele elastice se suprapun deformațiile de curgere lentă, ε_{cl} .

Dacă la timpul $t = \bar{t}_1$ se produce descărcarea epruvetei, o parte din deformația elastică initială își revine, $\varepsilon'_e \neq \varepsilon_e$. Diferența dintre deformația elastică initială de la $t = \bar{t}_1$ și cea de revenire de la $t = \bar{t}_2$ se datorează îmbătrînirii betonului în intervalul (\bar{t}_1, \bar{t}_2) . În timp, se constată că deformațiile scad în continuare, producindu-se o curgere lehtă în sens invers, $\dot{\varepsilon}_{cl,i}$.

Tinînd seamă de ceea ce se întimplă după descărcarea epruvetei, în /82/ se evidențiază următoarele componente ale deformației de curgere limită:

- componenta elastică întîrziată, ε_{ei} , observată pentru prima dată de Hummel în 1935, care este partea reversibilă a deformației de curgere lentă, după descărcare. Pentru beton ea poate atinge 40% din deformația elastică instantanee;

- componenta de curgere lentă ireversibilă, $\varepsilon_{cl,ir}$, care este partea de deformație ce nu-și revine în timp, după descărcare.

Rezultă astfel:

$$\varepsilon_{cl} = \varepsilon_{ei} + \varepsilon_{cl,ir} \quad (2.12a)$$

Componenta $\varepsilon_{cl,ir}$ este la rîndul ei compusă din două părți:

- componenta de curgere lentă initială, $\varepsilon_{cl,im}$ care se produce în primele zile după încărcare și are valori mari dacă încărcarea se produce la un beton insuficient întărit;

- componenta de curgere lentă de durată, $\varepsilon_{cl,d}$ care apare după un timp de la încărcare:

$$\varepsilon_{cl,ir} = \varepsilon_{cl,im} + \varepsilon_{cl,d} \quad (2.12b)$$

Factorii care influențează aceste componente sunt discutați pe larg în /12, 13, 82/.

2.3.3. Deformațiile de contractie

La o epruvetă de beton neîncărcată volumul se modifică în funcție de umiditatea mediului. În cazul epruvei păstrate în aer, volumul se micșorează, fenomenul fiind numit contractia betonului. Dacă epruveta se păstrează în apă, volumul crește, producindu-se umflarea betonului. Deoarece structurile avute în vedere în lucrare se întăresc în aer liber în cele ce urmează se prezintă numai aspectele legate de contractia betonului. În figura 2.9

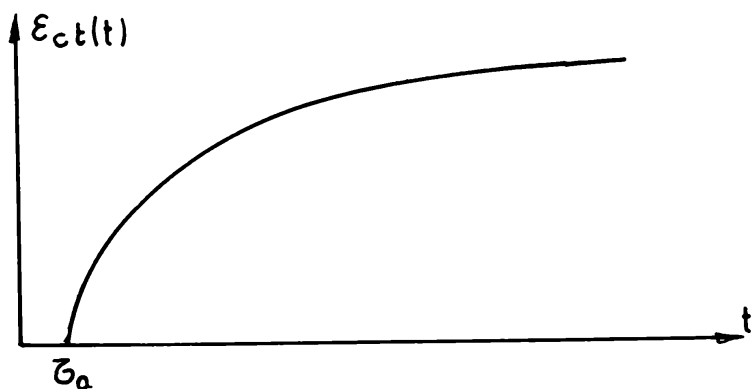


Fig.2.9.

se prezintă deformațiile de contractie, numite și deformații initiale, pentru că ele se produc indiferent dacă epruveta este încărcată sau nu. Viteza de producere a contractiei este maximă în primele zile după ce începează protejarea betonului (la timpul t_0) prin udare și deformațiile se stabilizează după circa un an.

2.4. Curgerea lentă a betonului simplu

2.4.1. Mărimi caracteristice

Pentru evaluarea deformațiilor de curgere lentă ale betonului se definesc următoarele mărimi caracteristice /44,45/:

- măsura curgerii lente, $C(t,\bar{\epsilon})$ este deformarea de curgere lentă la timpul t a unei epruvete de lungime unitară, la care la timpul $\bar{\epsilon}$ a fost aplicată tensiunea $\bar{\epsilon}(\bar{\epsilon})$:

$$C(t,\bar{\epsilon}) = \frac{\epsilon_{cl}(t,\bar{\epsilon})}{\bar{\epsilon}(\bar{\epsilon})} \quad (2.13)$$

Măsura finală a curgerii lente, \bar{C} , corespunde timpului de amortizare $t=\infty$;

- caracteristica curgerii lente, $\varphi(t,\bar{\epsilon})$, reprezintă raportul dintre deformarea de curgere lentă la timpul t și deformarea elastică instantanea $\bar{\epsilon}(\bar{\epsilon})$, corespunzătoare momentului încărcării, $t=\bar{\epsilon}$:

$$\varphi(t,\bar{\epsilon}) = \frac{\epsilon_{cl}(t,\bar{\epsilon})}{\bar{\epsilon}(\bar{\epsilon})} \quad (2.14)$$

și arată de câte ori este mai mare deformarea de curgere lentă față de cea elastică instantanea. Caracteristica finală a curgerii lente, $\bar{\varphi}$, corespunde timpului de amortizare $t=\infty$.

Tinând seamă că în momentul încărcării (relația Hooke):

$$\bar{\epsilon}(\bar{\epsilon}) = E(\bar{\epsilon}) \cdot \bar{\epsilon}(\bar{\epsilon}) \quad (2.15)$$

rezultă din relațiile (2.13) și (2.14), legătura dintre cele două mărimi caracteristice a curgerii lente:

$$\varphi(t,\bar{\epsilon}) = E(\bar{\epsilon}) \cdot C(t,\bar{\epsilon}) \quad (2.16)$$

Determinarea caracteristicii curgerii lente este foarte dificilă. De aceea toate metodele au adoptat formularea:

$$\varphi(t,\bar{\epsilon}) = F(\bar{\epsilon}) f(t-\bar{\epsilon}) \quad (2.17)$$

în care:

- $F(\bar{\epsilon})$ este o funcție ce depinde numai de proprietățile betonului în momentul încărcării $t=\bar{\epsilon}$;

- $f(t-\bar{\epsilon})$, o funcție ce depinde de timpul $t-\bar{\epsilon}$ care reprezintă perioada în care epruveta este sub sarcină.

Determinarea acestor funcții se poate baza numai pe inter-

pretarea unor rezultate experimentale. De aceea există în literatura de specialitate foarte multe propuneri, care pot fi grupate în următoarele:

a) pentru funcția $F(\zeta)$

- variație hiperbolică:

$$F(\zeta) = a + \frac{b}{c+\zeta} \quad (2.18a)$$

- variație exponentială

$$F(\zeta) = a + b e^{-c\zeta} \quad (2.18b)$$

- variație funcție de putere

$$F(\zeta) = a + b \zeta^{-c} \quad (2.18c)$$

b) pentru funcția $f(t-\zeta)$

- variație hiperbolică

$$f(t-\zeta) = \frac{a(t-\zeta)}{b+t-\zeta} \quad (2.19a)$$

- variație logaritmică

$$f(t-\zeta) = a + b \log(c+t-\zeta) \quad (2.19b)$$

- variație exponentială

$$f(t-\zeta) = a[1 - e^{-b(t-\zeta)}] \quad (2.19c)$$

- variație funcție de putere

$$f(t-\zeta) = a(t-\zeta)^b \quad (2.19d)$$

unde a , b , c sunt coeficienți numerici, determinați astfel încât valoările teoretice să corespundă cu cele experimentale.

In cele ce urmează se analizează modul cu se determină aceste mărimi constante și funcții în diferite norme, precum și de către diferiți autori.

2.4.2. Calculul caracteristicii curgerii lente după diferite norme

Toate normele de calcul al structurilor de beton armat au prevederi privind determinarea deformațiilor de curgere lentă și

contractie. In cele ce urmeaza se vor analiza cele mai semnificative norme si se va face o comparatie cu normele romanesti.

Doarece intre prevederile din diferite norme exista diferente in /82/ se propune o clasificare a acestora dupa nivelul de precizie pretins de calcule:

- metode de nivel 1, care reprezinta procedee simple ce permit o evaluare grosieră a deformațiilor finale, în funcție de puțini parametri ce influențează deformațiile reologice;

- metode de nivel 2, bazate pe procedee mai complexe, care permit determinarea deformațiilor în timp și finale în funcție de parametrii principali;

- metode de nivel 3, care sunt procedee de mare precizie, cerute de problema la care estimarea corectă a deformațiilor de curgere lentă este de mare importanță și la care numărul parametruilor luați în considerare este mare.

In afara de nivelul de precizie, metodele pot fi diferite ca formulare. Astfel, unele norme determină deformația de curgere lentă dintr-o formulă obținută ca produsul unor coeficienți, ce țin seamă de diferenți factori:

$$\varepsilon_{cl} = \varepsilon_1 \beta_1 \beta_2 \beta_3 \dots \quad (2.20a)$$

Alte norme pun curgerea lentă sub forma unei sume de diferenți coeficienți:

$$\varepsilon_{cl} = \frac{\varepsilon}{cl} + \frac{\varepsilon}{c2} + \varepsilon_{c3} + \dots \quad (2.20b)$$

In tabelul 2.1 se prezinta normele cele mai cunoscute, precizindu-se nivelul de precizie, precum si forma relatiei de calcul. Deoarece s-au prezentat atit formulările vechi cit si cele noi, ale unor coduri, din tabel rezulta foarte clar modul cum s-au perfectionat aceste prescriptii.

Tabelul 2.1

Norme pentru calculul caracteristicii curgerii lente

Nr. crt.	Norma	Anul	Nivelul	Forma
1	CEB+FIP 70	1970	2	produs
2	CEB+FIP 76	1976	3	sumă
3	ACI 435	1963	1	produs
4	ACI 209	1978	3	produs
5.	DIN 1045	1972	1	produs
6	DIN 4227	1979	3	sumă
7	BPEL 83	1983	2	sumă
8	STAS 8000/67	1967	2	produs
9	STAS 10107/0-76	1976	2	produs
10	STAS 10107/0-90 (proiect)	1990	3	sumă

In cele ce urmează se prezintă pe scurt principalele prevederi ale acestor norme.

a) CEB+FIP 70 /98/ prevede determinarea caracteristicii curgerii lente din relația

$$\varphi(t, \epsilon) = \varphi_1 \alpha_f \beta_f \epsilon^{\varphi} \quad (2.21)$$

unde:

- φ_1 este caracteristica de bază a curgerii lente și rezultă din figura 2.10a, în funcție de umiditatea mediului ambiant;

- α_f , un coeficient ce se determină din figura 2.10b, în funcție de grosimea echivalentă (raportul dintre aria secțiunii și semiperimetrul ei);

- β_f , coeficient în figura 2.10c, ce ține seamă de raportul apă/ciment și cantitatea de ciment;

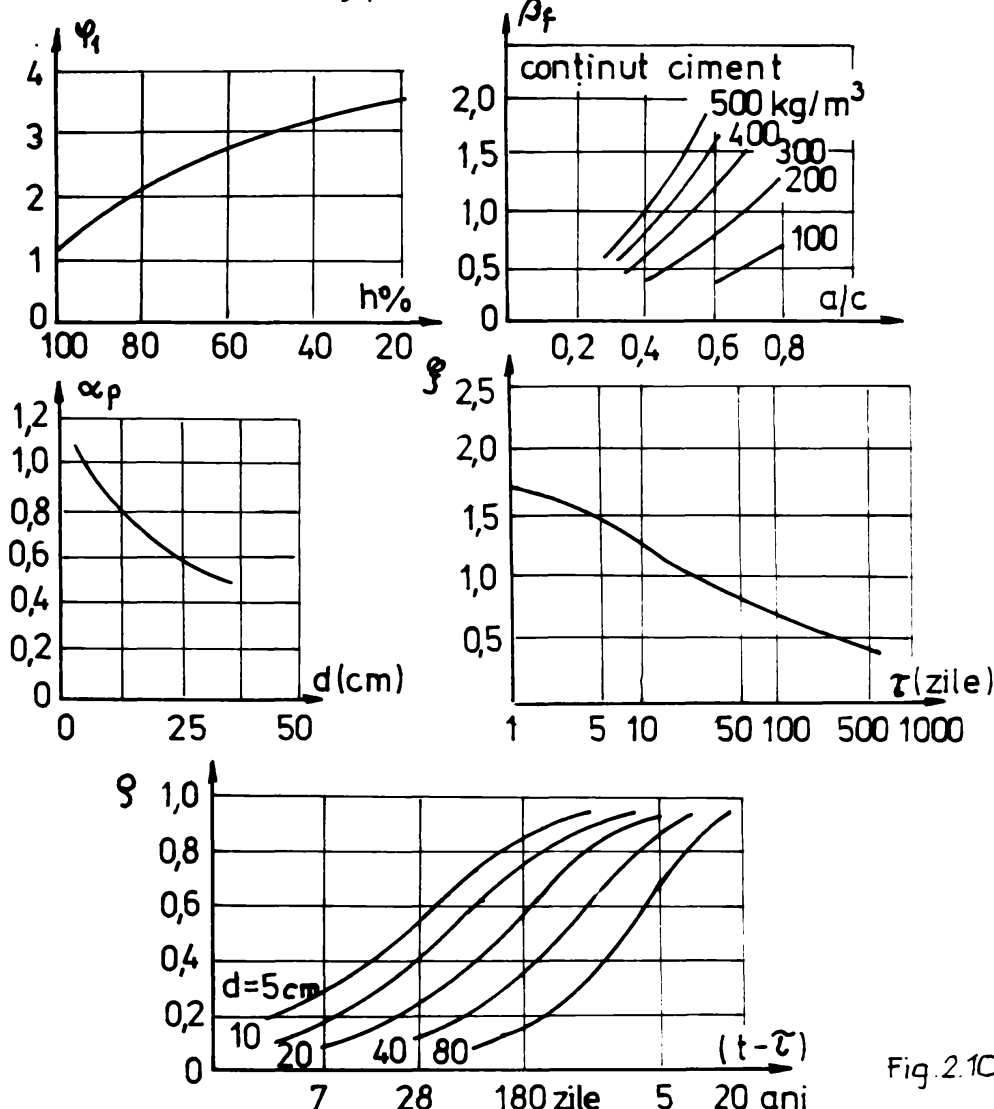


Fig. 2.10

- φ_1 , figura 2.1od, introduce vîrstă betonului în momentul aplicării încărcării;

- β , coeficient pentru variația caracteristicii în timp, figura 2.1de, în funcție și de grosimea echivalentă.

Această relație este stabilită pentru o temperatură a mediului de 20°C. Dacă betonul se află într-un mediu ambiant cu o altă temperatură, se termină o vîrstă echivalentă a betonului

$$t_{ech} = \frac{\sum \Delta t (T + t_0)}{30}$$

unde Δt este timpul în care temperatura T a fost diferită de 20°C.

b) CEB și FIP-76 /99/ reprezintă o modificare a normei din 70, prin trecerea la un nivel superior de precizie și de la

produs, la sumă:

$$\varphi(t, \zeta) = \varphi_d \beta_d(t-\zeta) + \varphi_p [\beta_p(t) - \beta_p(\zeta)] \quad (2.22)$$

unde:

- $\varphi_d = 0,4$ este un coeficient de postelasticitate;

- $\beta_d(t-\zeta)$ descrie variația în timp a deformatiei post-elasticice și rezultă din figura 2.11a;

- $\varphi_p = \varphi_{p1} \varphi_{p2}$ este un coeficient ce depinde prin φ_{p1} de umiditatea mediului;

umiditate	40%	70%	90%
φ_{p1}	3,0	2,0	1,3

și de grosimea echivalentă, conform figurii 2.11b; grosimea echivalentă se determină în funcție de aria și perimetrul prin care se face pierderea de apă și de umiditatea mediului;

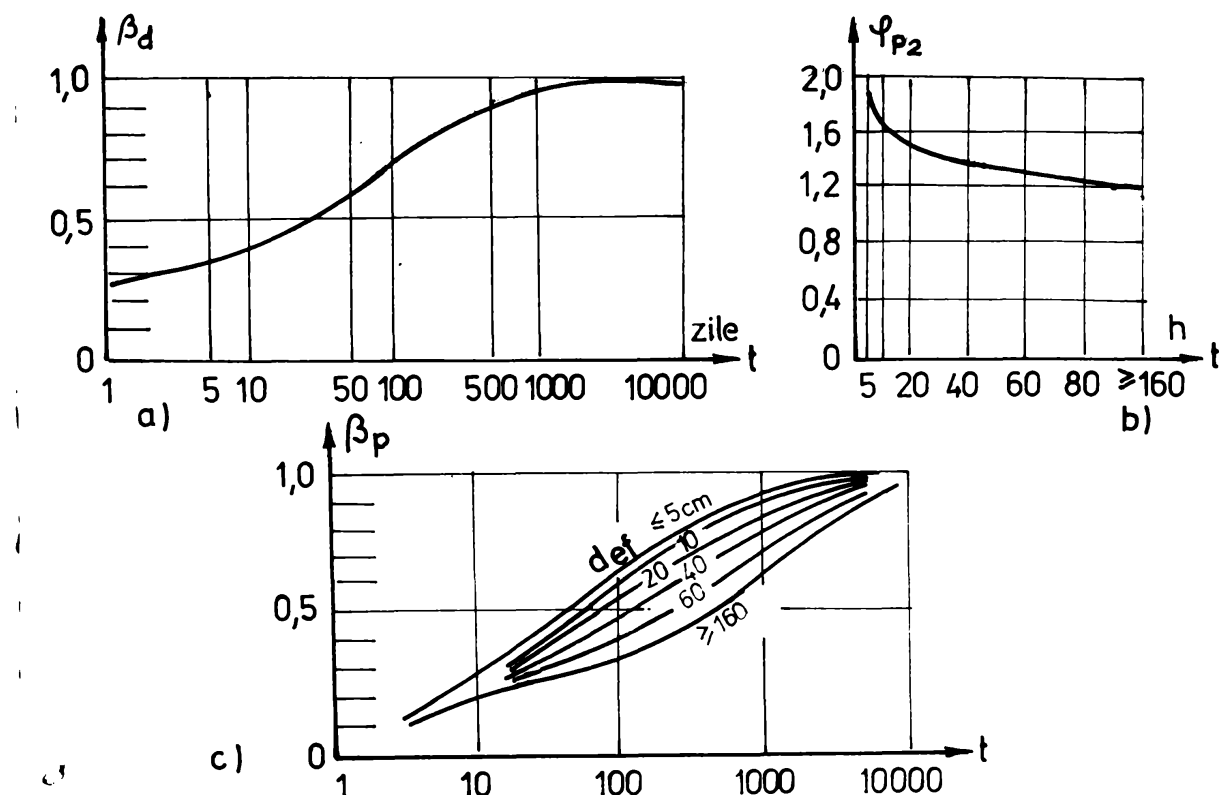


Fig.2.11

$$d_{ef} = \lambda \frac{2A}{\mu}$$

unde λ este un coeficient care ține seamă de umiditatea mediului:

$\lambda = 30$ în apă, $\lambda = 5$ pentru umiditate 90%, $\lambda = 1,5$ pentru umiditate 70% și $\lambda = 1$ pentru umiditate 40%. A este aria secțiunii (în cm^2) iar μ este perimetrul secțiunii în contact direct cu atmosfera.

- $\beta_p(t)$ ține seamă de variația în timp și de grosimea efectivă a elementului (fig. 2.11c); timpul se determină în funcție de temperatura mediului ambient și de tipul cimentului (cu întărire înceată, normală și rapidă).

c) ACI 435/95/ elaborat în 1963, determină numai valorile limită ale caracteristicii curgerii lente în funcție de marca betonului și umiditatea relativă:

umiditate	100%	70%	50%
marcă normală	1,2+2,0	1,5-3,0	2,0-4,0
marcă mare	0,7-1,5	1,0-2,5	1,5-3,5

d) ACI 209 /96/, elaborat în 1978, reprezintă o evoluție foarte importantă față de codul precedent. Se folosește o expresie sub formă de produs :

$$\varphi(t, \tau) = \bar{\varphi}_f(t-\tau) \quad (2.23)$$

unde $\bar{\varphi}$ este caracteristica finală a curgerii lente:

$$\bar{\varphi} = 2,35 \beta_{\tau_1} \beta_h \beta_d \beta_s \beta_f \beta_{ac} \quad (2.24)$$

coeficienții din această relație fiind:

- β_{τ_1} care ține seamă de vîrstă betonului în momentul aplicării încărcării și este dat de relația

$$\beta_{\tau_1} = 1,25 \tau_1^{-0,118} \quad (\tau_1 \geq 7 \text{ zile}) \quad (2.25a)$$

- β_h ia în considerare umiditatea relativă a mediului și se calculează cu relația

$$\beta_h = 1,27 - 0,0067 h \quad (h \geq 40\%) \quad (2.25b)$$

- d ține seamă de grosimea medie a elementului și se determină astfel:

a) $5 \leq d \leq 15$ cm

d (cm)	5	7,5	10	12,5	15
β_d	1,3	1,17	1,11	1,04	1,00

b) $15 < d \leq 38$ cm

$$\beta_d = 1,14 - 0,0091 d \quad (t - \tau_1 \leq 365 \text{ zile})$$

$$\beta_d = 1,11 - 0,0067 d \quad (t - \tau_1 > 365 \text{ zile}) \quad (2.25c)$$

c) $d > 38$ cm

$$\beta_d = \frac{2}{3}(1 + 1,13e^{-0,0212v/s}) \quad (2.25d)$$

unde v/s este raportul dintre volumul și suprafața elementului;

- β_s ține seamă de consistența betonului proaspăt și se calculează cu relația:

$$\beta_s = 0,82 + 0,00264 s \quad (2.25e)$$

unde s este tasarea betonului proaspăt, în mm;

- β_f ia în considerare conținutul de agregate fine și se calculează cu relația

$$\beta_f = 0,88 + 0,0024 f \quad (2.25f)$$

unde f este conținutul de particole fine ($< 4,8$ mm) ca procent din conținutul total de agregate;

- β_{ac} ține seamă de conținutul de aer al betonului și se calculează cu relația:

$$\beta_{ac} = 0,46 + 0,09 ac \geq 1 \quad (2.25g)$$

unde ac este conținutul de aer în betonul proaspăt în %.

Variatia în timp a caracteristicii curgerii lente este de formă hiperbolică:

$$f(t - \tau) = \frac{(t - \tau)^{0,6}}{10 + (t - \tau)^{0,6}} \quad (2.26)$$

e) DIN 1045 /100/ (elaborat în 1972) calculează caracteristica curgerii lente cu relația:

$$\bar{\varphi} = \varphi_0 K_1 K_2 \quad (2.27)$$

unde: φ_0 este valoarea finală dată de valorile

umiditate	Consistență tare, plastică	Consistență fluidă
90%	1,5	2,2
70%	2,0	3,0
40%	3,0	4,5

- K_1 , coeficient cu ține seamă de vîrstă betonului la încărcare (fig.2.12a);

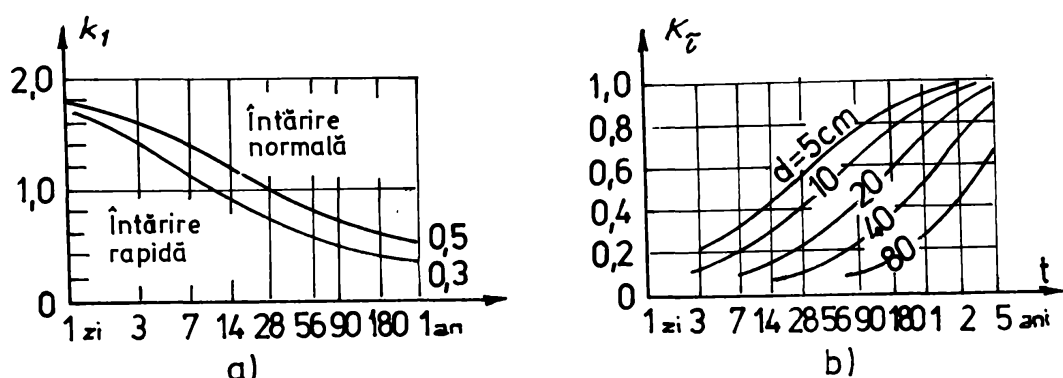


Fig.2.12.

- K_2 , ține seamă de schimbarea în timp a deformațiilor de curgere (fig.2.12b).

f) DIN 4227 /101/, elaborat în 1979, pe baza propunerilor lui Rüsch și Jungwirth, reprezintă un progres real față de DIN 1045. El se bazează pe același principiu ca și noul cod CEB-FIP-76, punindu-se formula sub formă de sumă:

$$\begin{aligned} \varphi(t, \tau) = & \varphi_{d0} \beta_d(t - \tau) + \varphi_p [\beta_p(t) - \beta_p(\tau)] - \\ & - \varphi_{d0} \beta_d(\tau_d - \tau) \beta_d(t - \tau_d) \end{aligned} \quad (2.28)$$

care este similară cu relația (2.22) dar ia în considerare prin termenul al treilea și eventualitatea descărcării la timpul τ_d .

Pentru calculul coeficientilor din relația (2.28) se precizează următoarele:

- φ_{d0} este valoarea finală a deformației elastice întărziate și se ia egală cu 0,4;

- β_d , coeficientul pentru variația în timp a elasticității întărziante, ce rezultă din figura 2.13a și tabelul 2.2;

- φ_p este valoarea de bază a curgerii lente ce rezultă din tabelul 2.3;

- β_p indică variația în timp a curgerii lente și rezultă din figura 2.13b și din tabelul 2.4. Pentru calculul diferenței $\beta_p(t) - \beta_p(0)$ se poate utiliza figura 2.13c.

In relațiile și figurile de mai sus vîrsta efectivă a betonului se calculează în relația:

$$t_{ef} = \beta_{ce} \beta_T t \quad (2.19)$$

unde:

- β_{ce} este un coeficient ce ține seamă de rata hidratării cimentului și are valori 1 pentru cimentul cu întărire înceată, 2 pentru cimentul cu întărire normală și 3 pentru cimentul cu întărire rapidă;

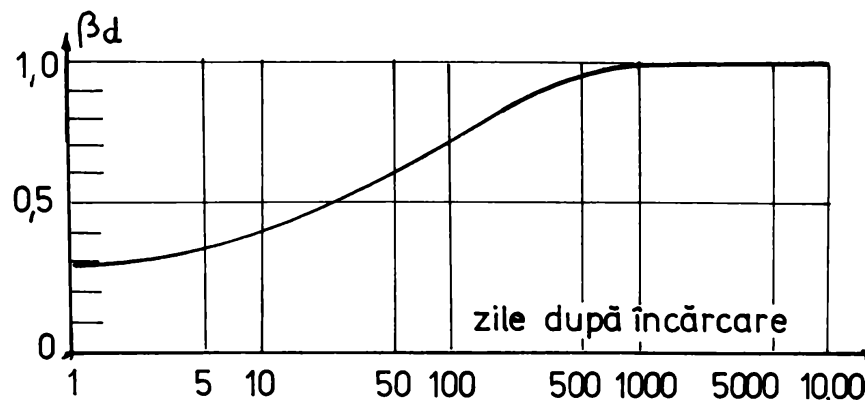
- β_T , ține seamă de influența temperaturii asupra întăririi betonului:

$$\beta_T = \sum_i \frac{T_i + 10}{30} \frac{\Delta t_i}{t} \quad (2.30)$$

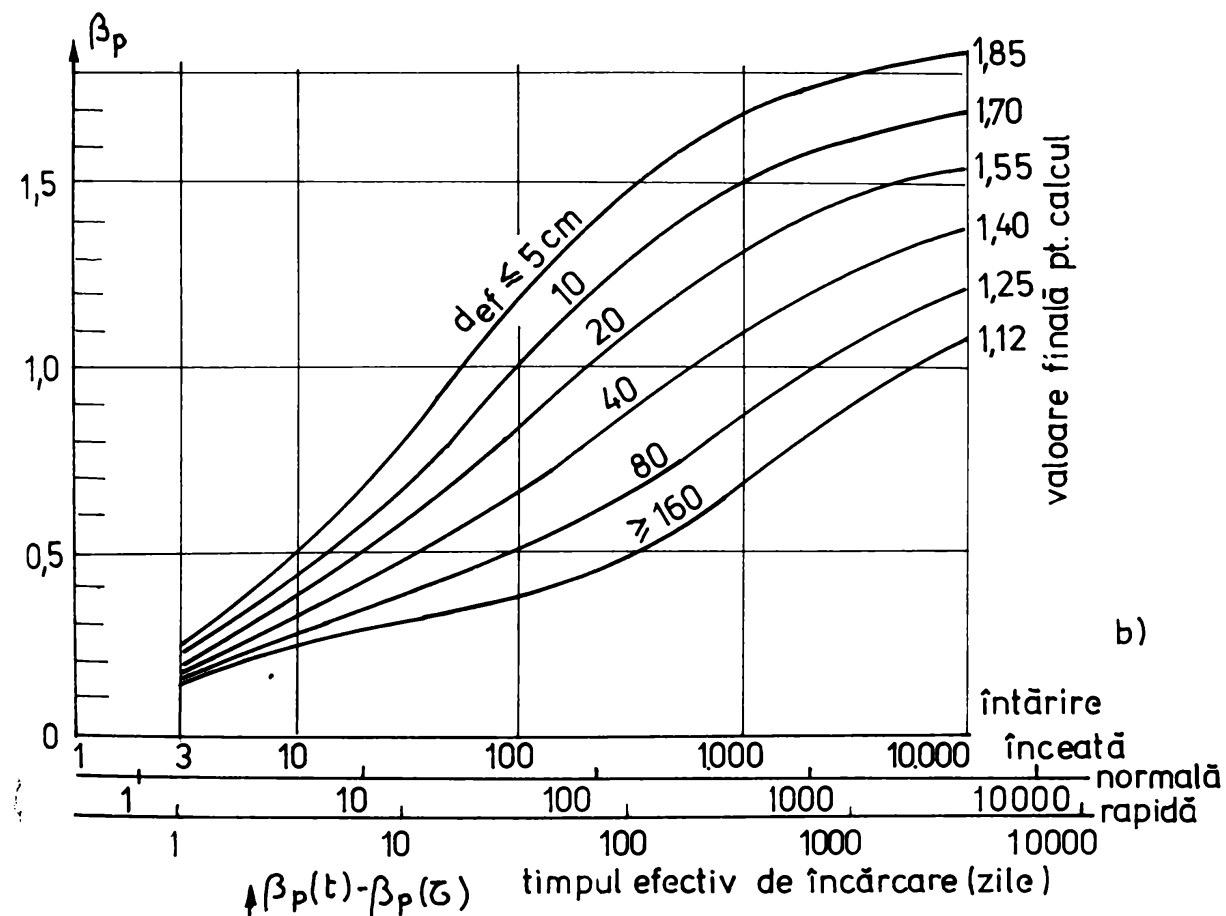
unde T este temperatura mediului în grade C (pentru $T = 20^{\circ}\text{C} = \text{const}$, rezultă $\beta_T = 1$) și Δt_i numărul de zile cu temperatură constantă T_i .

Grosimea efectivă a elementelor se determină cu relația

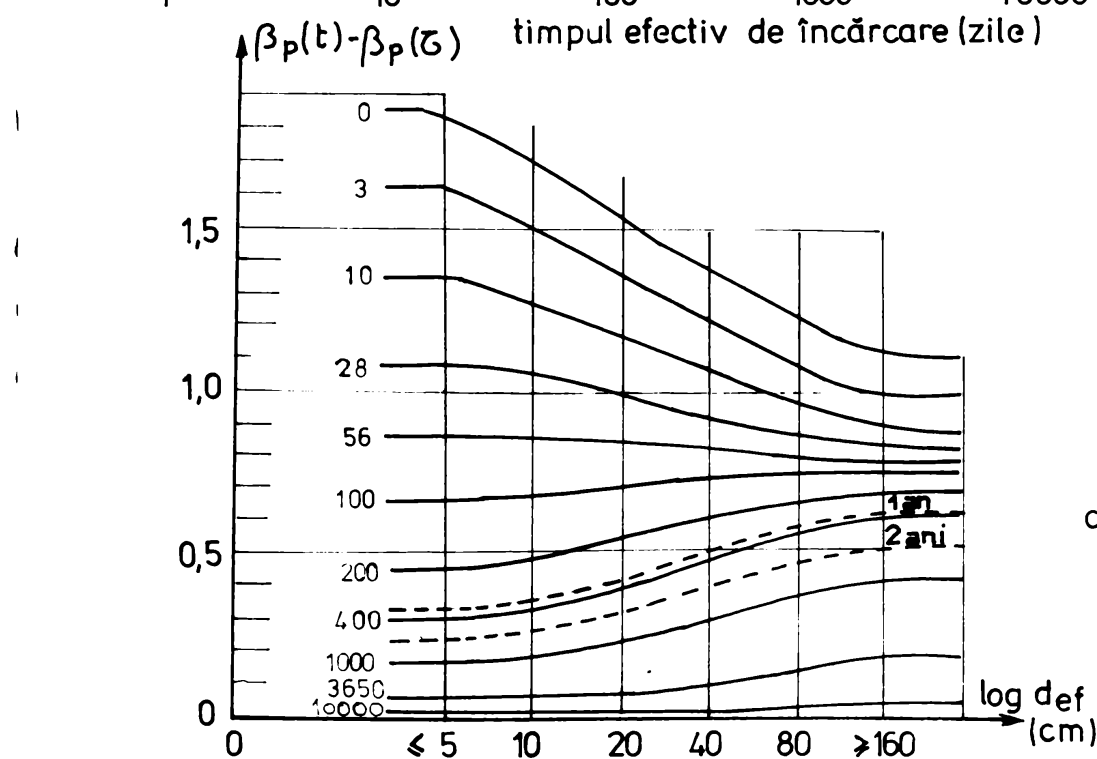
$$d_{ef} = \beta_{ef} \cdot \frac{2A}{\mu} \quad (2.31)$$



a)



b)



c)

unde:

- β_{ef} rezultă din tabelul 2.3;
- A, aria secțiunii de beton;
 - μ , perimetrul secțiunii care se uscă.

Pentru aprecierea umidității mediului se consideră următoarele valori:

- în apă 100%
- aer foarte umed 90%
- în exterior 70-80%
- în încăperi normale 60%
- în încăperi foarte uscate 50%
- în încăperi cu temperaturi ridicate 40%

Coefficientul β_d Tabelul 2.2

Timpul în zile după încărcare	d
1	0,280
2	0,300
5	0,350
10	0,400
20	0,465
50	0,580
100	0,700
200	0,830
500	0,945
1000	0,985
2000	1,000
	1,000

Coefficienții φ_p și β_{ef} Tabelul 2.3

Umiditate %	φ_p	β_{ef}
100	0,8	30
95	1,1	10
90	1,3	5
80	1,7	2,4
70	2,0	1,5
60	2,4	1,2
50	2,7	1,0
40	3,0	1,0

Valorile sunt calculate pentru o tasare medie a betonului. Pentru tasări mari sau mici valorile din tabel trebuie mărite sau micșorate cu 25%.

Coefficienții β_p pentru grosimi efective (cm)

Tabelul 2.4

Zile def ≤ 5	10	20	40	80	≥ 160
3	0.240	0.210	0.190	0.170	0.155
5	0.345	0.310	0.270	0.235	0.210
10	0.505	0.440	0.380	0.328	0.280
20	0.685	0.575	0.500	0.420	0.350
50	0.964	0.810	0.690	0.562	0.443
100	1.195	1.025	0.850	0.680	0.520
200	1.395	1.215	1.020	0.800	0.603
500	1.600	1.413	1.208	0.980	0.750
1000	1.698	1.514	1.320	1.107	0.884
2000	1.762	1.589	1.416	1.217	1.010
5000	1.820	1.660	1.510	1.370	1.148
10000	1.846	1.695	1.545	1.383	1.225
20000	1.850	1.700	1.550	1.400	1.250
∞	1.850	1.700	1.550	1.400	1.250

g) BPEL 83 /97/: caracteristica curgerii lente se determină cu relația:

$$\varphi(t, \zeta) = \frac{E_b(\zeta)}{E_b(28)} K_{fl}(\zeta) f(t-\zeta) \quad (2.32)$$

unde

- $\frac{E_b(\zeta)}{E_b(28)}$ este raportul modulelor de elasticitate la momentul încărcării epruvei și cel corespunzător încărcării la 28 zile și se calculează cu relația:

$$\frac{E_b(\zeta)}{E_b(28)} = \begin{cases} \sqrt[3]{0,685 \log(1+\zeta)} & \zeta \leq 28 \text{ zile} \\ 1 & \zeta > 28 \text{ zile} \end{cases} \quad (2.33)$$

- coeficientul $K_{fl}(\zeta)$ se calculează din relația:

$$K_{fl}(\zeta) = k_e + k_c k(\zeta) \quad (2.34a)$$

k_e fiind o constantă egală cu 0,4, k_c depinzând de umiditatea relativă h și de raza medie r_m

$$k_c = \frac{120-h}{30} + \frac{2}{3} \frac{100-h}{20+r_m} \quad (2.34b)$$

iar $k(\zeta)$ depinde de vîrstă betonului la încărcare

$$k(\zeta) = -\frac{100}{100+\zeta} \quad (2.34c)$$

- evoluția în timp este dată de relația

$$f(t-\bar{\varepsilon}) = \frac{\sqrt{t-\bar{\varepsilon}}}{\sqrt{t-\bar{\varepsilon}+5} \sqrt{r}} \quad 2.35$$

Deschiderea la $t=\bar{\varepsilon}_d$, se calculează ca o variație lento de sens contrar cu caracteristica cărării lente:

$$f_d(t, \bar{\varepsilon}, \bar{\varepsilon}_d) = \frac{E_b(\bar{\varepsilon}_d)}{E_b(28)} K_{rl}(\bar{\varepsilon}_d) \frac{g(\bar{\varepsilon}_d - \bar{\varepsilon})}{k_r(\bar{\varepsilon}_d - \bar{\varepsilon})} \leq 1 - \bar{\varepsilon}_l \quad 2.36$$

unde:

- $\frac{E_b(\bar{\varepsilon}_d)}{E_b(28)}$ se calculează cu relația (2.37) pentru $\bar{\varepsilon} = \bar{\varepsilon}_d$
- $K_{rl}(\bar{\varepsilon}_d)$, se determină din (2.34a...c) pentru $\bar{\varepsilon} = \bar{\varepsilon}_d$
- $f(\bar{\varepsilon}_l - \bar{\varepsilon})$ este dat de (2.35) pentru $\bar{\varepsilon} = \bar{\varepsilon}_l$
- k_r este funcție de timpul total al acțiunii

$$k_r(\bar{\varepsilon}_d - \bar{\varepsilon}) = 4 \sqrt{\log(\bar{\varepsilon}_d - \bar{\varepsilon})} \quad 2.37a$$

- $g(t - \bar{\varepsilon}_d)$ este funcție de variație a cărării lente și este dată de relația:

$$g(t - \bar{\varepsilon}_d) = 1 - \frac{1}{1 + t - \bar{\varepsilon}_l} \quad 2.37b$$

b) STAS 8aca/67 /la2/ care calculează valoarea ~~maximă~~ a caracteristicii cărării lente cu relația:

$$\bar{\varphi} = f_a K_1 K_2 K_3 \quad 2.38a$$

în care:

- f_a este valoarea de bază a caracteristicii lento de timp a betonului și se calculează cu relația:

$$f_a = a,3 + 2c + \frac{8}{c} \quad 2.38b$$

unde c este dozajul de ciment la ~~metru~~ cub ~~de~~ beton, în ~~ton~~ și arătă a/c este raportul apă/ciment;

- K_1 este seara de rezistență betonului în momentul încărcării;

- K_2 , ține seama de nivelul de încărcare;
- K_3 , are în vedere umiditatea mediului ambiant.

Coeficienții K_1 , K_2 , K_3 sunt date în tabelul 2.5.

Tabelul 2.5.
Coeficienții K_1 , K_2 , K_3 STAS 8000-67

Variabile	Coef. K
$\frac{R}{R_{28}} = \begin{cases} 0,6 \\ 1,0 \\ 1,2 \end{cases}$	$K_1 = \begin{cases} 1,3 \\ 1,0 \\ 0,75 \end{cases}$
$\frac{\sigma_b}{R} = \begin{cases} \leq 0,5 \\ > 0,5 \end{cases}$	$K_2 = \begin{cases} 1,0 \\ 2,0 \frac{\sigma_b}{R} \end{cases}$
$U = \begin{cases} 40\% \\ 60\% \\ 100\% \end{cases}$	$K_3 = \begin{cases} 1,3 \\ 1,0 \\ 0,5 \end{cases}$

Variatia în timp a caracteristicii curgerii lente $f(t - \tau_1)$ este dată în tabelul 2.6.

Funcția $f(t - \tau_1)$

Tabelul 2.6

Durata în zile de la încărcare	2	10	20	30	45	60	90	180	360	1080	1 an	3 ani
$f(t - \tau_1)$	0,00	0,33	0,37	0,40	0,43	0,46	0,50	0,60	0,80	1,00		

i) STAS 1067/0-76 /103/ elaborat în 1976 a păstrat structura relației (2.38) dar a precizat suplimentar unii din coeficienți. Astfel φ_0 se determină în funcție de marca betonului, conform tabelului 2.7.

Coeficienții φ_0

Tabelul 2.7

Marca betonului	150	200	250	300	400	500	600
φ_0	3,7	3,3	3,0	2,8	2,7	2,6	2,5

Coeficienții K_1 se determină în funcție de vîrstă betonului, conform tabelului 2.8.

Coeficientii K_1 Tabelul 2.8

Incărcarea aplicată la timpul	K_1
$\tau_1 = 28$ zile	1,0
60 zile	0,7
90 zile	0,6
120 zile	0,55
180 zile	0,5

Coeficientii K_2 și K_3 nu au fost modificați față de vechiul standard și sunt date în tabelul 2.5.

j. STAS lolo7/o-90 /104/ elaborat sub formă de proiect de standard în 1989-90, prevede calculul deformațiilor de curgere lentă în două variante.

Prima variantă, care reprezintă un calcul simplificat al deformațiilor de curgere lentă, păstrează întocmai procedeele vechiului STAS lolo7/o-76.

A doua variantă, care se folosește în cazul cînd acțiunile se aplică în etape, reprezintă preluarea prevederilor din codul CEB-FIP 76.

Caracteristica deformației curgerii lente $\varphi(t, \tau_1)$ se calculează cu relația:

$$\varphi(t, \tau_1) = \beta_a(\tau_1) + \varphi_d \beta_d(t - \tau_1) + \varphi_p [\beta_p(t) - \beta_p(\tau_1)] \quad (2.39a)$$

în care

$-\beta_a(\tau_1)$ este deformația de curgere lentă inițială și se calculează cu relația

$$\beta_a(\tau_1) = 0,8 \left[1 - \frac{R_b(\tau_1)}{R_b(\infty)} \right] \quad (2.39b)$$

$R_b(\tau_1)$ este rezistența betonului la compresiune pe cuburi la data încărcării

$R_b(\infty)$, rezistența finală a betonului pe cuburi.

Raportul $\frac{R_b(\zeta_1)}{R_b(\infty)}$ se determină din figura 2.14.

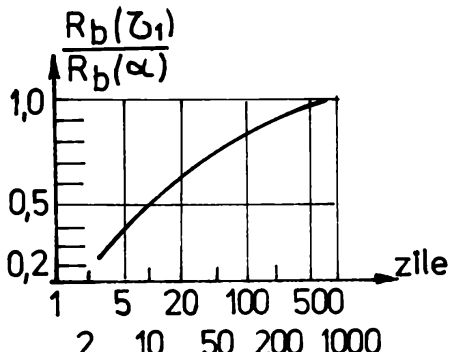


Fig.2.14.

Restul coeficienților sunt identici cu cei dați de codul CEB-FIP 76.

O comparație a valorilor obținute după diferite coduri este deosebit de interesantă.

In tabelul 2.9 se prezintă comparativ modul cum ζ_1 în seamă prescripțiile analizate mai sus de diferenții factori care intervin.

a) Calitatea betonului intervine fie direct, prin tipul cimentului, calitatea cimentului, cantitatea de agregate fine, aerul oclus, raportul apă/ciment, fie prin măriri implicate, clasa betonului, tasarea betonului proaspăt, modulul de elasticitate. Se constată că nici o normă nu ține seamă de toți factorii, ci îi selectează după cum îi consideră a fi mai importanți. Nu există unanimitate în ceea ce privește selectarea factorilor principali.

b) Cu excepția prescripțiilor ACI 435 și STAS 8000/65 și STAS 1007/76, toate celelalte norme iau în considerare și factorii legați de secțiunea transversală;

c) Toate prescripțiile țin seamă de umiditatea mediului, dar de variația temperaturii în timpul întăririi betonului nu țin seamă decât prescripțiile CEB-FIP-70, CEB-FIP-76, DIN 4227 și STA 1007/o-90 (proiect);

d) efectul vîrstei la încărcare este luat în considerare de toate prescripțiile, dar de întreruperea încărcării țin seamă numai DIN 4226 și BPEL83.

Tabelul 2.9
Considerarea diferenților factori în prescripții

Nr. crt.	Norma	Calitatea betonului						Secțiunea transversală	Mediu ambient	Vîrsta la încărcare			
		Mărimi explicite	Mărimi implicite	Tip ciment	Cantitate ciment	Agregate fine	Aer occlus	Apă/ciment	Clasa beton	Tasare	Modul elastic		
1.	CEB70	x	x							x	x	x	x
2.	CEB76	x								x	x	x	x
3.	ACI 435					x				x	x	x	
4.	ACI 209		x	x			x			x	x	x	
5.	DIN 1045	x				x			x	x		x	
6.	DIN 4227	x					x			x	x	x	x
7.	BPEL 83						x		x	x	x	x	x
8.	STAS 8000/87	x		x					x		x		
9.	STAS 10107/76				x				x		x		
10.	STAS 10107/0 90 (proiect)	x				x			x	x	x	x	

f) Prescripțiile cele mai complete sunt CEB76, ACI209, DIN 4227 și STAS 10107/0-90 (proiect).

In figura 2.15 este prezentată o comparație între valorile caracteristicii curgerii lente în funcție de vîrsta la încărcare pentru un beton cu următoarele caracteristici:

- tip ciment Pa35

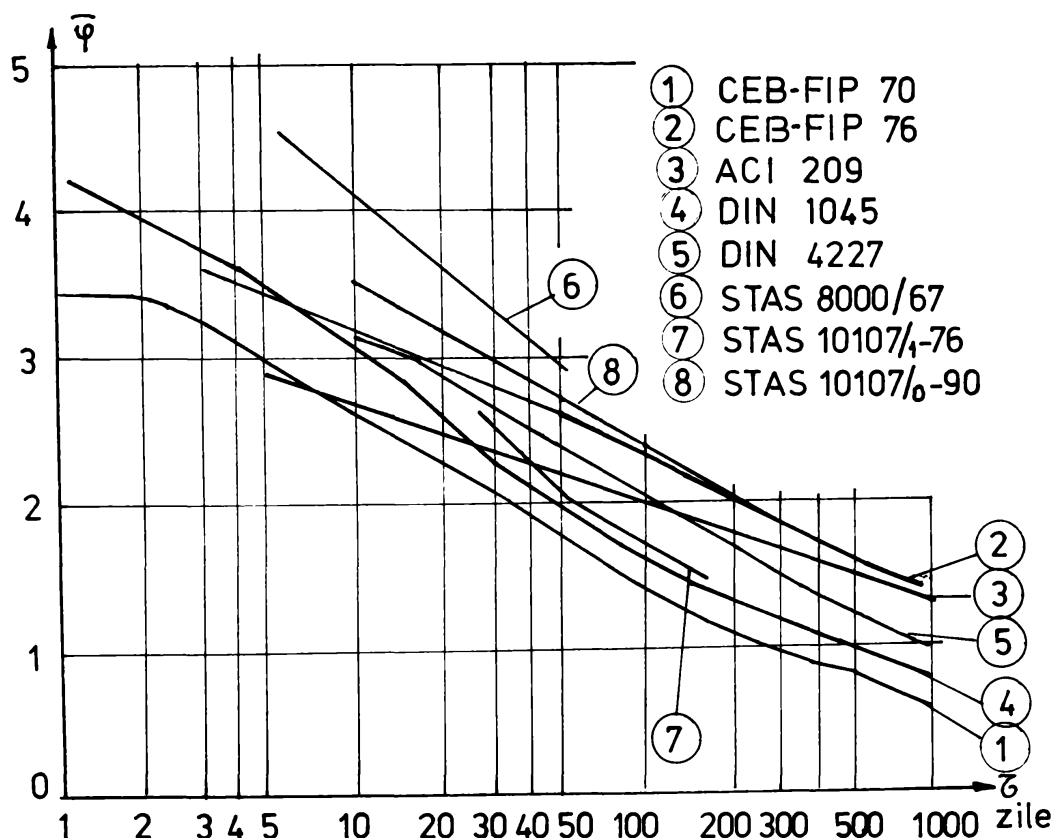


Fig.215.

- cantitate ciment 350 kg/m^3
- agregate fine ($< 5 \text{ mm}$) din total aggregate 50%
- aer oclus în betonul proaspăt 2% .
- raport apă/ciment $0,53$
- clasă beton BC $22,5$
- tasarea betonului proaspăt 150 mm
- dimensiuni grindă 50×30
- umiditate 60%
- temperatură constantă 20°C .

Se constată că există o foarte mare variație a valorilor lui $\bar{\Phi}$ după diferite prescripții, ceea ce înseamnă că nu sunt încă stăpiniți toți factorii care influențează fenomenul.

Ultima variantă a normelor românești se incadrează între valorile prescripțiilor străine.

2.4.3. Variatia in timp a caracteristicii curgerii lente

La calculul structurilor de beton armat mărimea finală a caracteristicii lente stabilește valorile finale ale eforturilor. Ea poate fi determinată din valorile date de una din normele prezентate mai înainte. Dar în același timp, esențială pentru calculul structurilor este și variația în timp a acestei caracteristici. În paragraful 2.4.1 s-au dat diferite variante propuse în literatură pentru această varietate. În teoria structurilor viscoelastice se ajunge la ecuații integrale pentru rezolvarea cărora nu există soluții decât pentru unele forme analitice particulare ale caracteristicii curgerii lente. De aceea, există în literatura de specialitate mai multe abordări, din care cele mai semnificative sunt modelarea mecanică și cea matematică.

2.3.4.1. Modelarea mecanică

Modelarea mecanică utilizează două tipuri de elemente simple, resortul elastic de tip Hooke și amortizorul viscos de tip Newton (fig.2.16), legate în serie sau în paralel, formate dintr-un singur element sau din mai multe etc.

În modelarea mecanică se disting două tipuri de modele și anume modele elementare și modele specifice betonului.

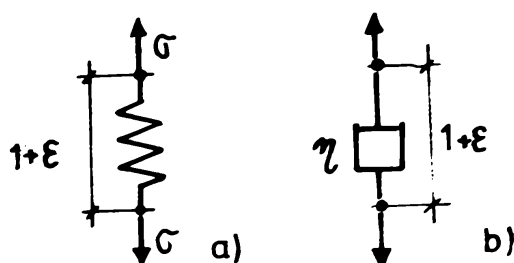


Fig.2.16

În tabelul 2.10 sunt prezentate principalele modele elementare și relațiile $\epsilon - \sigma$ pentru cazurile de încărcare constantă,

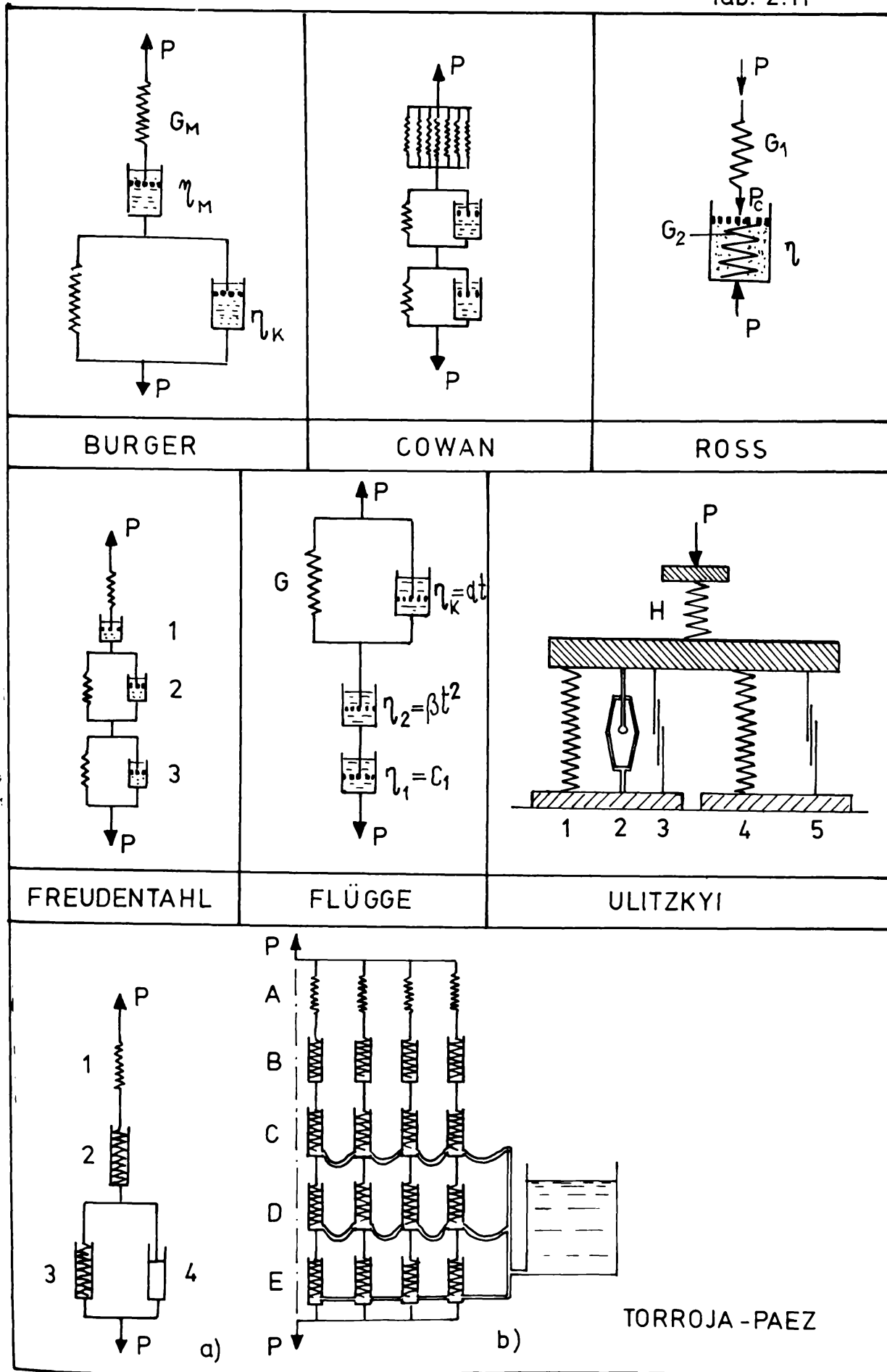
MODELE MECANIQUE

Page 2/10

Schema	Nom	Equation différentielle
	POCKE	$\ddot{x} = E/E$
	NEWTON	$\ddot{x} = \frac{E}{m}$
	WATSON	$\frac{\ddot{x}}{m} + \frac{\dot{x}}{c} = \frac{E}{m}$
	KELVIN	$\ddot{x} = E/E - \frac{c}{m}\dot{x}$
	STANDARD	$\ddot{x}_1 = E_1/E_2 - \ddot{x}_2 =$ $E_1 \cdot E_2 \ddot{x} - E_2 \ddot{x}_2 = 0$
	ZENER	$\frac{\ddot{x}_1}{E_1} + \frac{\ddot{x}_2}{E_2} = \frac{\ddot{x}_1}{E_1} + \frac{E_1 \ddot{x}_2}{E_2 E_1} = 0$
	WATSON KELVIN	$\ddot{x}_1 = \frac{1}{m} \left(\frac{\ddot{x}_1}{E_1} + \frac{\ddot{x}_2}{E_2} + \frac{E_1 \ddot{x}_2}{E_2 E_1} \right) =$ $\ddot{x}_1 = \frac{E_1 \ddot{x}_2}{E_2 E_1}$

MODELE MECANICE PENTRU BETON

Tab. 2.11



respectiv pentru deplasare constantă. Studiul complet al acestor modele este prezentat în /12, 13, 34, 84, 92/.

In tabelul 2.11 sunt prezentate principalele modele utilizate pentru deformațiile betonului. O descriere detaliată a acestor modele este făcută în /12, 13/.

Acstea modele servesc numai la înțelegerea fenomenelor ce se produc și nu pot sta la baza unor relații pentru proiectarea curentă.

2.4.3.2. Modelarea matematică

Dacă modelarea mecanică a avut drept scop conceperea unor modele fizice care să fie capabile să descrie mai mult intuitiv comportarea materialului viscoelastic, relațiile matematice legate de aceste modele au mai mult un caracter teoretic, neputind sta la baza unei teorii matematice coerente pentru cazul betonului.

De aceea s-au dezvoltat și o serie de modele matematice, care vor fi descrise mai pe larg în cele ce urmează.

a) Formularea Dischinger, sau teoria eredității, a fost elaborată în 1937 și se bazează pe observația experimentală că rata de creștere a deformației de curgere lentă este constantă pentru un timp t , nedepinzând de momentul încărcării. Astfel, curbele deformațiilor de curgere lentă sunt paralele (fig.217).

Astfel, caracteristica curgerii lente este dată de relația:

$$\varphi(t, \zeta) = \bar{\varphi} [1 - e^{-\alpha(t-\zeta)}] \quad (2.40a)$$

unde $\bar{\varphi}$ este măsura finală a curgerii lente, independentă de momentul încărcării:

$$\varphi(\infty, \zeta) = \bar{\varphi} \quad (2.40b)$$

iar coeficientul α se determină astfel ca rezultatele experimentale să corespundă cu cele teoretice. Pe baza acestei formulări s-au obținut multe rezultate valoroase în teoria structurilor viscoelastice.

Criticile aduse acestei formulări se leagă de faptul că experimentări mai noi au arătat că totuși caracteristica curgerii lente depinde și de vîrsta betonului la încărcare.

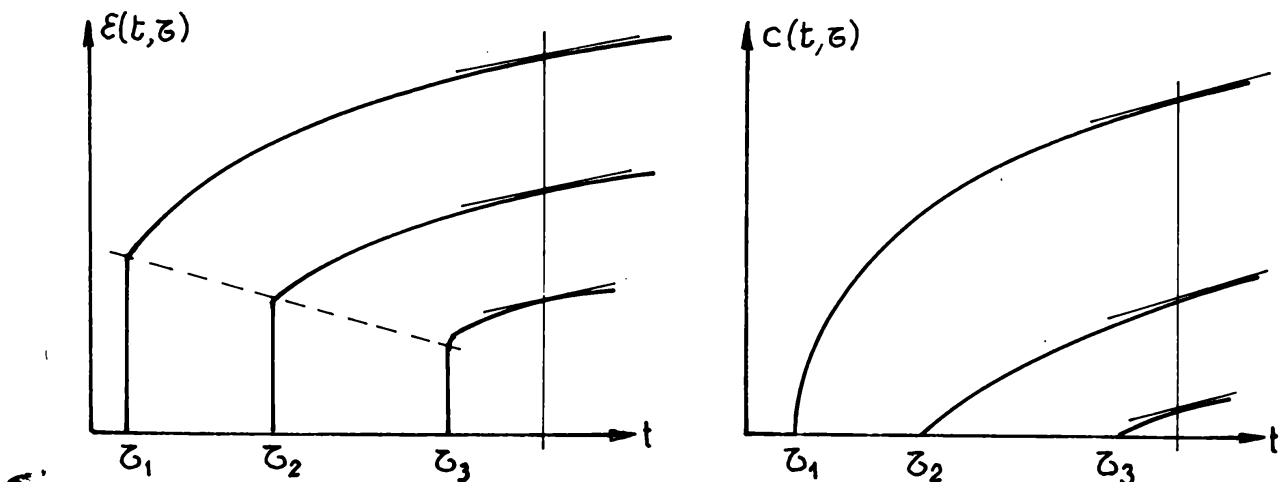


Fig. 2.17.

b) Formularea Glainville - Dischinger sau teoria îmbătrânerii, elaborată în 1939, ține seama și de momentul încărcării probei, caracteristica curgerii lente fiind dată de relația:

$$\varphi(t, \zeta) = \bar{\varphi} e^{-\alpha(t-\zeta)} [1 - e^{-\alpha(t-\zeta)}] \quad (2.41a)$$

și astfel valoarea finală a caracteristicii curgerii lente

$$\varphi(\infty, \zeta) = \bar{\varphi} e^{-\alpha\zeta} \quad (2.41b)$$

dépende și de vîrsta betonului la încărcare. Metoda este criticată în literatura de specialitate pentru că deformarea de curgere a betonului este complet inversibilă la descărcare, ceea ce este în contradicție cu realitatea.

c) Formularea Arutunian /9/ ține seama de asemenea de vîrsta betonului în momentul încărcării, printr-o relație de forma

$$\varphi(t, \zeta) = (\varphi_0 + \frac{\varphi_1}{\zeta}) [1 - e^{-\alpha(t-\zeta)}] \quad (2.42a)$$

φ_1, φ_2 fiind coeficienți numerici. Valoarea finală a caracteristicii curgerii lente este:

$$\varphi(\infty, \zeta) = \varphi_0 + \frac{\varphi_1}{\zeta} \quad (2.42b)$$

și depinde de vîrsta betonului la încărcare. Formularea (2.42a)

este similară cu (2.41a), diferențele rezultând numai ca expresie matematică pentru influența vîrstei de încărcare.

d) Formularea Illston-Jordaan /25/ caută să înălăture inconvenientul formulării Gainville- Dischinger în ceea ce privește descărcarea epruvetei. Astfel caracteristica curgerii lente este pusă sub forma:

$$\varphi(t, \tau) = \varphi_i(t, \tau) + \varphi_r(t, \tau) \quad (2.43a)$$

φ_i și φ_r fiind componentele inversibile, respectiv reversibile ale caracteristicii curgerii lente, ele fiind date de relațiile:

$$\varphi_i(t, \tau) = \bar{\varphi}_i e^{-\alpha_1 \tau} [1 - e^{-\alpha_1 (t-\tau)}] \quad (2.43b)$$

$$\varphi_r(t, \tau) = \bar{\varphi}_r e^{-\alpha_2 \tau} [1 - e^{-\alpha_2 (t-\tau)}] \quad (2.43c)$$

în care $\bar{\varphi}_i$ și $\bar{\varphi}_r$ sunt valorile finale ale componentelor caracteristicii curgerii lente inversibile, respectiv reversibile, iar α_1 și α_2 sunt coeficienți numerici, determinați astfel ca valorile teoretice să corespundă cu cele experimentale. Această formulare se încadrează în noua tendință de a scrie caracteristica curgerii lente sub forma unei sume și este în concordanță cu formulările noi ale normelor CEB și DIN, cele mai moderne la ora actuală.

e) Formularea Rüsch, Jungwirth și Hilsdorf /82/ sau teoria îmbunătățită a îmbătrînirii folosește aceeași relație (2.43a), dar propune ca valoarea componentei φ_r să fie constantă, simplificare justificată experimental:

$$\varphi_r(t, \tau) \approx 0,4 \quad (2.44)$$

și astfel:

$$\varphi(t, \tau) = \bar{\varphi}_i e^{-\alpha_1 \tau} [1 - e^{-\alpha_1 (t-\tau)}] + 0,4$$

Se constată că relația (2.44) poate fi privită ca o îmbunătățire a relației (2.41a) pentru a descrie mai bine procesul

de descărcare. De aceea această formulare este cunoscută și sub numele de teoria îmbunătățită a îmbătrînirii.

2.5. Contractia betonului

2.5.1. Calculul contractiei după diferite coduri

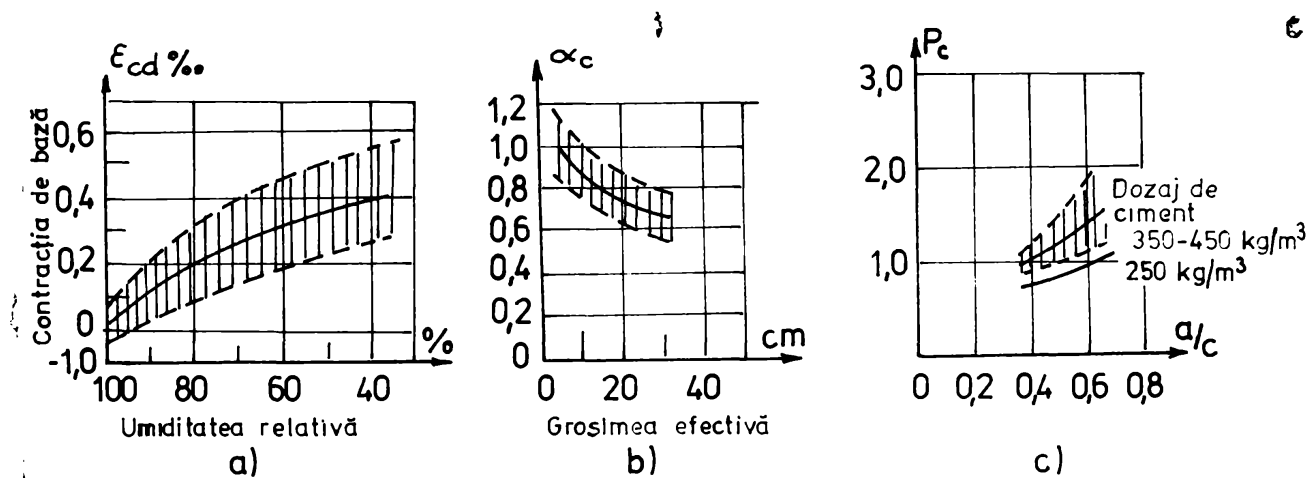
Principalele coduri analizate sunt cele prezentate în tabelul 2.1 pentru curgerea lentă a betonului.

a) Codul CEB-FIP-70 /98/ propune o relație de forma

$$\varepsilon_{ct} = \varepsilon_c f(t) \quad (2.45)$$

ε_c este contractia finală iar $f(t)$ variația în timp a contractiei. Ele se determină astfel:

$$\varepsilon_c = \varepsilon_{co} \alpha_c \beta_c \quad (2.46)$$



. Fig.2.18

unde:

- ε_{co} este contractia de bază, dată, în funcție de umiditatea relativă a aerului, în figura 2.18a;

- α_c , coeficient dat în figura 2.18b, care ține seamă de grosimea def;

- β_c , coeficient dat în figura 2.18c, ce ține seamă de raportul apă/ciment și de dozajul de ciment la m^3 de beton.

b) Codul CEB-FIP -76 /99/ propune o relație de forma:

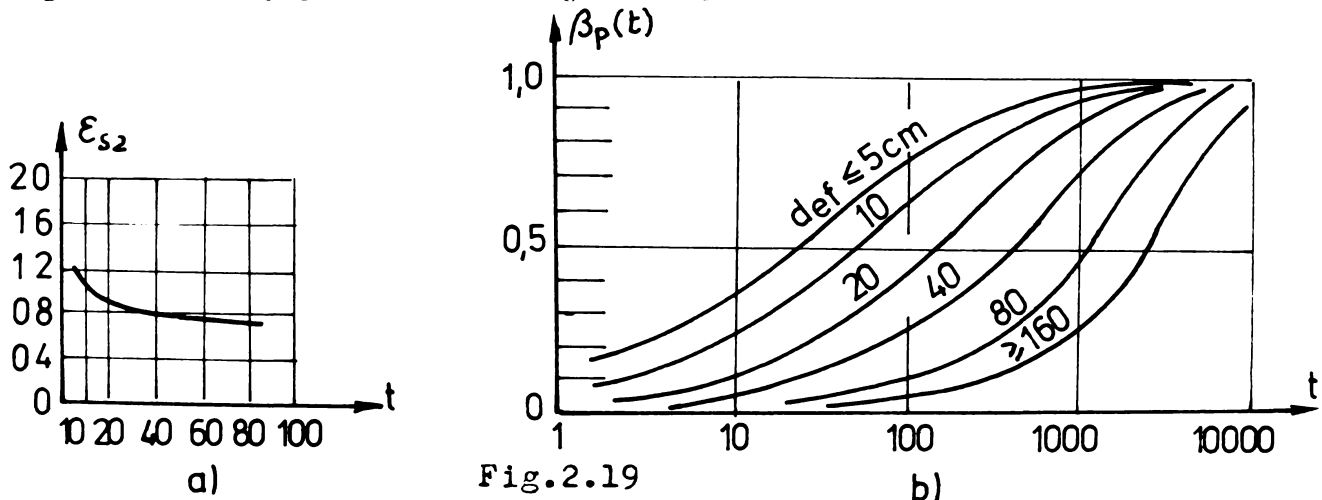
$$\epsilon_{ct} = \epsilon_c [\beta_c(t) - \beta_c(\epsilon_0)] \quad (2.47)$$

unde

$-\epsilon_c$ este coeficientul de bază al contractiei și se calculează din produsul $\epsilon_c = \epsilon_{cl} \cdot \epsilon_{c2}$, unde ϵ_{cl} depinde de umiditatea mediului ambiant ($+0,10 \text{ mm/m}$, în apă, $-0,10 \text{ mm/m}$ în atmosferă cu umiditate 90%, $-0,25 \text{ mm/m}$ în exterior, $-0,40 \text{ mm/m}$ în spații cu umiditate redusă 40%) și ϵ_{c2} se calculează în funcție de grosimea efectivă d_{ef} din figura 2.19a;

$-\beta_c$ indică variația în timp a contractiei și depinde de grosimea efectivă a elementului și este dat în figura 2.19b;

și pentru contractie se aplică aceleasi corectii ca la curgerea lentă, privind variația temperaturii mediului.



c) Codul ACI-209 /96/ prevede calculul cu relația:

$$\epsilon_{ct} = \epsilon_c \beta_{cp} \beta_h \beta_d \beta_s \beta_f \beta_{ce} \beta_{ac} \quad (2.48)$$

unde:

$-\epsilon_c$ este contractia de bază și are valoarea 78×10^{-6} ;

$-\beta_{cp}$, un coeficient ce ține seamă de perioada de întreținere după turnare, diferită de cea prescrisă de 7 zile:

tratament în zile	1	3	7	14	28	90
β_{cp}	1,2	1,1	1,0	0,93	0,86	0,75

$-\beta_h$ coeficient ce ține seamă de efectul umidității mediului

lui

$$\beta_h = 1,40 - 0,01 h \quad 40 \leq h \leq 80\% \quad (2.49a)$$

$$\beta_h = 3,00 - 0,03 h \quad 80 \leq h \leq 100\% \quad (2.49b)$$

- β_d , coeficient ce ține seamă de grosimea medie a elementului și se calculează astfel:

- $5 \leq d \leq 15$ cm

d	5	7,5	10	12,5	15
β_d	1,35	1,25	1,17	1,08	1,00

- $15 < d \leq 38$ cm

$$\beta_d = 1,23 - 0,015 d \quad t - \tau_0 \leq 365 \text{ zile} \quad (2.50a)$$

$$\beta_d = 1,17 - 0,011 d \quad t - \tau_0 > 365 \text{ zile} \quad (2.50b)$$

- $d > 38$ cm

$$\beta_d = 1,2 e^{-0,047 v/s} \quad (2.50c)$$

unde v/s este raportul dintre volumul și suprafața de uscare a elementului;

- β_s , coeficient ce ține seamă de consistența betonului

$$\beta_s = 0,89 + 0,00162s \quad (2.51)$$

unde s este tasarea betonului proaspăt în mm;

- β_f , coeficient ce ține seamă de finețea agregatelor:

$$\beta_f = 0,30 + 0,0014f \quad f \leq 50\% \quad (2.52a)$$

$$\beta_f = 0,90 + 0,002 f \quad f > 50\% \quad (2.52b)$$

unde f este conținutul de agregate fine ($< 4,8$ mm), în procente;

- β_{ce} , coeficient ce indică efectul conținutului de ciment:

$$\beta_{ce} = 0,75 + 0,00061 c \quad (2.53)$$

unde c este cantitatea de ciment în kg/m^3 ;

- β_{ca} , coeficient care estimează efectul aerului conținut în beton:

$$\beta_{ca} = 0,95 + 0,008 ac \geq 1 \quad (2.54)$$

unde ac este conținutul de aer în betonul proaspăt, în procente.

Variația în timp a contracției este dată de relația

$$f(t) = \frac{t}{35+t} \quad (2.55) \text{ BUPT}$$

unde t este timpul de uscare în aer.

d) Codul DIN 1045 /100/ determină contractia cu relația:

$$\varepsilon_{ct} = k \varepsilon_c \quad (2.56)$$

unde ε_c rezultă din tabelul 2.12.

Tabelul 2.12

Coeficientii ε_c după DIN 1045

Umiditate %	ε_c
90	0,10
70	0,25
40	0,40

Coeficientul k rezultă din figura 2.12b, în funcție de grosimea efectivă a elementului, calculat ca în cazul curgerii lente.

e) Codul DIN 4227 /101/ determină contractia din relația:

$$\varepsilon_{ct} = \varepsilon_c [\beta_c(t) - \beta_c(\zeta_0)] \quad (2.57)$$

unde:

ε_c este contractia de bază și rezultă din tabelul 2.13:

Contractia ε_c după DIN 4223 Tabelul 2.13

Umiditate %	ε_c
100	+10
95	0
90	-10
80	-20
70	-25
60	-30
50	-35
40	-40

Valorile sunt calculate

pentru o tasare medie. Pentru tasări mari sau mici, valoriile din tabel trebuie mărite sau micșorate cu 25%.

$-\beta_c$ arată variația de timp a contractiei și este dat în figura 2.20a, iar diferența $\beta_c(t) - \beta_c(\zeta_0)$ în 2.20b; de asemenea, el este dat în tabelul 2.14.

Tabelul 2.14

Coefficientii β_c după DIN 4227

Timpul în zile	≤ 5	10	20	40	80	≥ 160
1	0,110	0.040	0.010	0.0	0.0	0.0
2	0.170	0.080	0.020	0.0	0.0	0.0
5	0.290	0.160	0.055	0.005	0.005	0.0
10	0.420	0.240	0.100	0.030	0.020	0.00
20	0.560	0.340	0.160	0.060	0.030	0.0
50	0.760	0.510	0.270	0.120	0.055	0.010
100	0.900	0.650	0.375	0.185	0.085	0.020
200	1.020	0.780	0.490	0.260	0.120	0.045
500	1.110	0.910	0.660	0.410	0.210	0.090
1000	1.160	0.980	0.770	0.550	0.340	0.175
2000	1.190	1.040	0.840	0.660	0.500	0.310
5000	1.200	1.050	0.885	0.750	0.660	0.510
10000	1.200	1.050	0.895	0.790	0.725	0.640
20000	1.200	1.050	0.900	0.800	0.750	0.700
	1.200	1.050	0.900	0.800	0.750	0.700

Influența variației temperaturii este dată de relația

$$t_s = \beta_T t \quad (2.88)$$

unde

- t_s este vîrstă echivalentă;

- β_T ține seama de variația temperaturii și se calculează relația (2.30).

f) STAS 8000-67 /102/ prevede calculul cu relația

$$\varepsilon_{ct} = K_3 K_4 \varepsilon_c \quad (2.59)$$

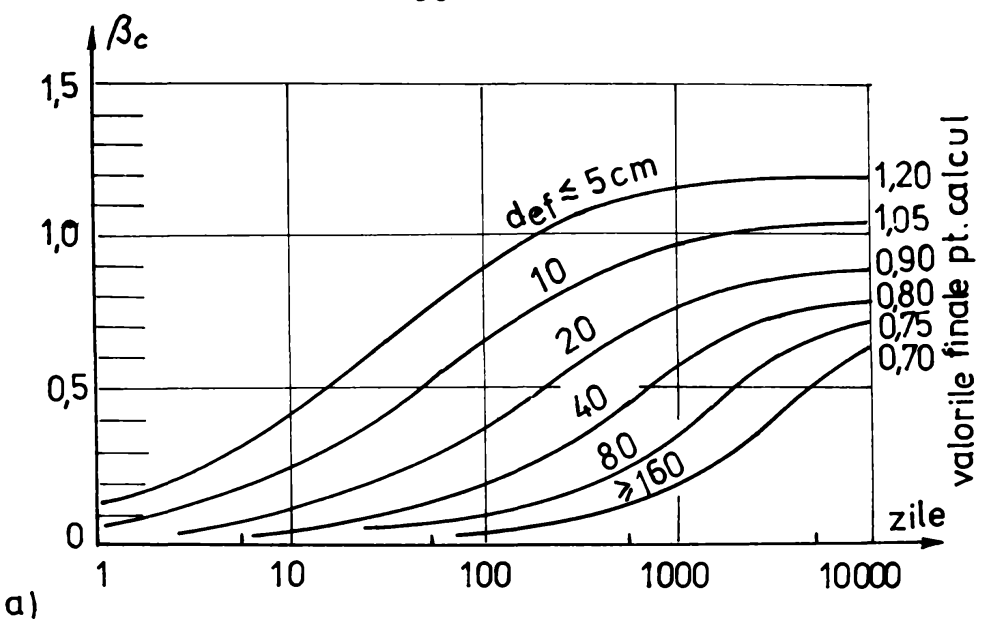
unde:

- ε_c este contractia de bază și are valoarea 0,25 mm/m pentru o umiditate de 60% și dimensiunea minimă mai mare de 10 cm.

- K_3 rezultă din tabelul 2.5

- K_4 $\begin{cases} 1,3 - 0,01b & \text{pentru } b < 30 \text{ cm} \\ 1,0 & \text{pentru } b > 30 \text{ cm.} \end{cases}$

- 60 -



a)

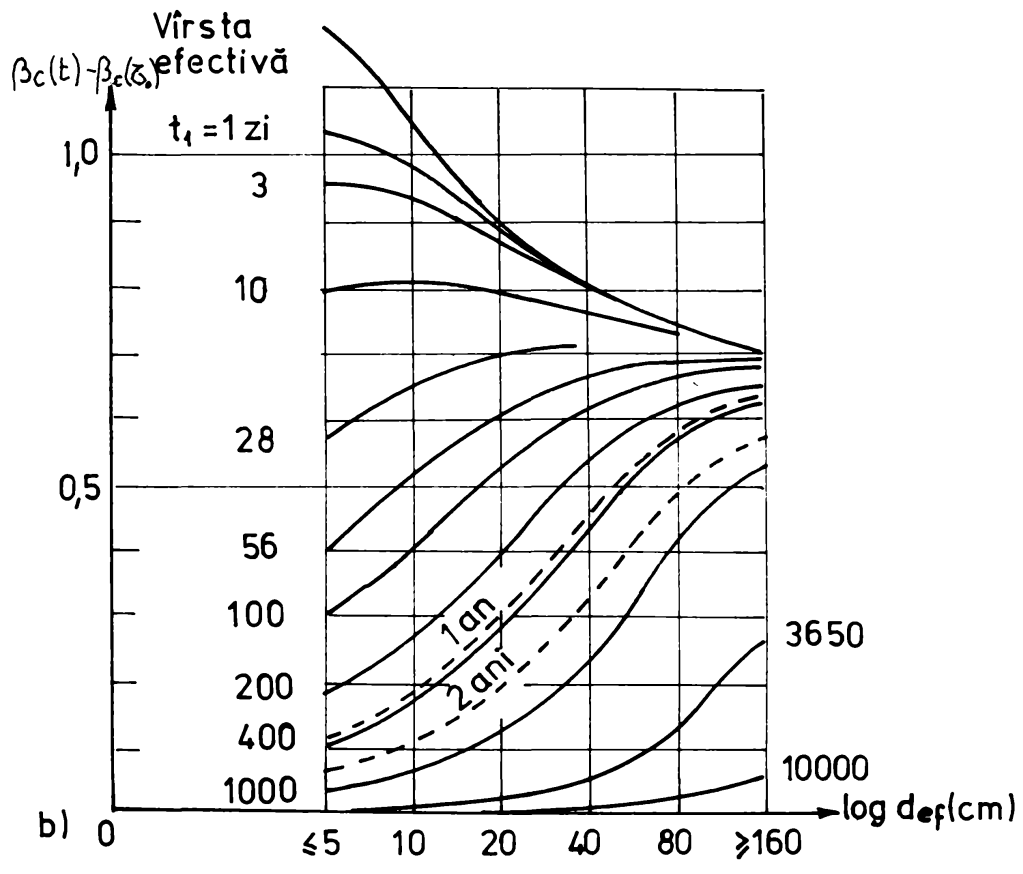


Fig.2.2o

g) STAS 10.07/0-76 /103/ păstrează nemodificate valorile propuse de vechiul standard.

h) STAS 10.07/0-90 (proiect) /104/ preia în întregime prevederile din cadrul CEB-FIP-76.

In tabelul 2.15 se prezintă principali factori luate în considerare de prescripțiile analizate. Se constată astfel că:

Tabelul 2.15

Considerarea diferenților factori în prescripții

Nr. crt.	Norma	Calitatea betonului						Mediu ambient		
		Cantitate ciment	Calitate ciment	Agregat fine	Aer occlus	Apă/ciment	Umiditate	Secțiunea transversală	Tratament	Umiditate
1.	CEB-FIP-70				x		x		x	
2.	CEB-FIP-76	x	x				x		x	x
3.	ACI 209	x	x	x	x	x	x	x	x	
4.	DIN 1045						x		x	
5.	DIN 4227					x	x		x	x
6.	STAS 10107				x	x		x		
7.	STAS 10107/o-90 (proiect)	x	x	x	x		x	x	x	x

a) diferitele norme iau în considerare diferenții factori presupunând că cei mai importanți, numai dimensiunile secțiunii transversale și umiditatea mediului sunt luate în considerare de toate normele;

b) cele mai complete prescripții sunt E876, ACI 209 și DIN 4227 și STAS 10107/o-90.

Pentru betonul analizat la calculul caracteristicii lente s-au calculat, după diverse coduri, valorile finale ale contracției, trecute în tabelul 2.16.

Din analiza acestor valori se constată că există diferențe mari a valorilor lui ξ_c calculate după diverse prescripții.

Tabelul 2.16

Comparatie intre valorile ε_c date de diferite norme

Nr. crt.	Norma	$\varepsilon_c \%$
1.	CEB-FIP-70	0,229
2.	CEB-FIP-70	0,220
3.	ACI 209	0,227
4.	DIN 1045	0,285
5.	DIN 4227	0,260
6.	STAS 10107/0-76	0,250
7.	STAS 10107/0-90 (proiect)	0,220

2.5.2. Expresii analitice pentru variația în timp a deformatiilor din contractie

Pentru variația în timp a contracției betonului s-au propus relații similare cu cele pentru curgerea lentă date de relațiile (2.19). Pentru a simplifica calculele, atât studiile teoretice, cât și prescripțiile de calcul, admit că deformațiile în timp ale contracției variază după aceeași lege ca cea admisă pentru caracteristica curgerii lente.

Similitudinea acestor curbe rezultă din figura 2.21 reprodusă după /9/.

De aceea variația în timp a contracției poate fi scrisă sub forma:

$$\varepsilon_{ct}(t, \tau_0) = \frac{\varepsilon_c}{\bar{\varphi}} \varphi(t, \tau_0) \quad (2.60)$$

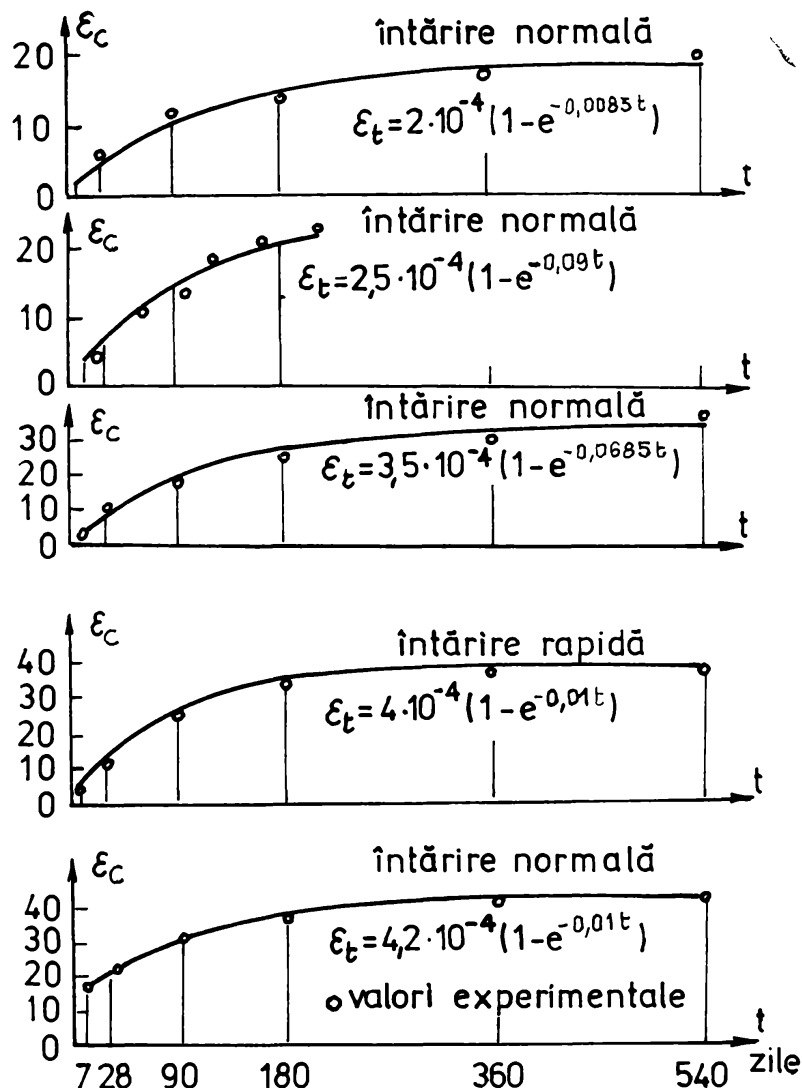


Fig.2.21.

2.6. Modulul de elasticitate longitudinal

2.6.1. Definītie

Modulul de elasticitate longitudinal este o caracteristică fizico-mecanică care va interveni în calculele următoare prin două aspecte și anume valoarea lui în momentul primei încărcări și variația lui în timp pentru încărcările ulterioare.

Definirea modulului de elasticitate este dificilă, pentru că relația $G - \epsilon$ este neliniară (fig. 2.22). Se pot defini următoarele valori:

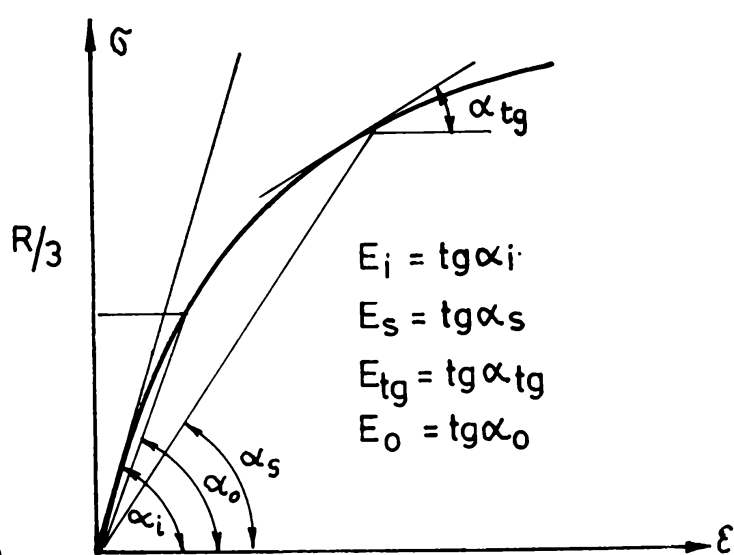


Fig.2.22

- modulul de elasticitate initial, E_i , care se calculează din tangenta la origine a curbei;
- modulul de elasticitate secant, E_s , determinat de tangenta unghiului secant;
- modul de elasticitate tangent, E_{tg} determinat de tangenta la curba $\sigma-\epsilon$ într-un punct dat.

In /82/ se consideră că modulul de elasticitate de bază E_0 trebuie determinat ca modul secant pentru valoarea $R_c/3$, R_c fiind rezistența la compresiune a betonului.

2.6.2. Influenta vîrstei betonului la încărcare

Modulul de elasticitate E_0 , determinat la 28 de zile de la turnare, este dat în tabelul 2.15, după STAS 10107/o-76 în funcție de clasa betonului:

Modulul de elasticitate E_0

Tabel 2.17

Clasa betonului	B_{c10}	B_{c15}	B_{c20}	B_{c25}	B_{c30}
$E_0(28)$ daN/cm ²	170000	210000	240000	270000	290000

Dacă betonul este încărcat la altă vîrstă decât cea de

28 zile codurile CEB-FIP-76 /99/ și ACI 209 /96/ permit determinarea modulului de elasticitate dintr-o relație de forma:

$$E_c(t) = \beta_e E_o(28) \quad (2.61a)$$

unde

$$\beta_e = \sqrt{\frac{R(t)}{R(28)}} \quad (2.61b)$$

în care $R(t)$ și $R(28)$ sunt rezistențele betonului la timpul t , respectiv la 28 zile. Coeficientul β_c poate fi determinat din curbele figurii 2.23, în funcție de vîrstă betonului în momentul încărcării și timpul cimentului folosit.

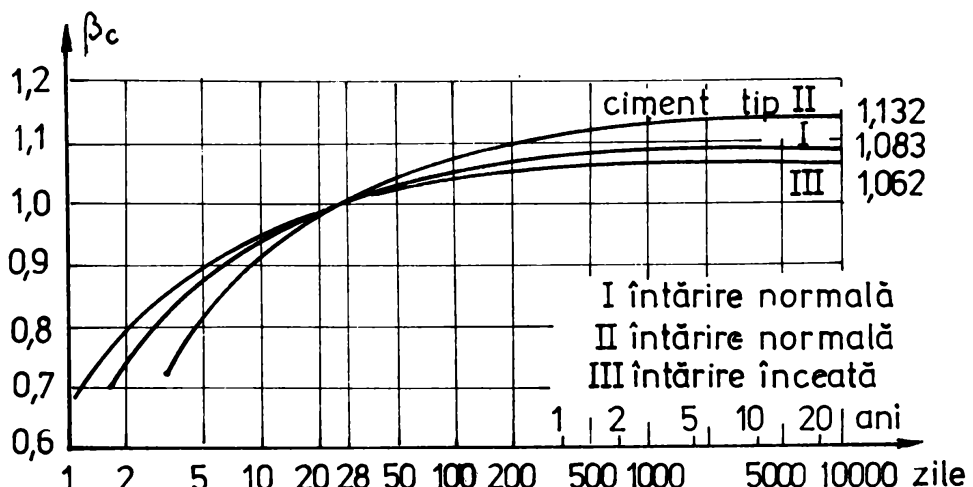


Fig. 2.23

Pentru variația în timp a modulului de elasticitate există și alte propuneri (citate după /12/). Astfel, Graf propune relația:

$$E_o(t) = \frac{1000}{0,17 + \frac{36}{R_c(t)}} \quad (\text{N/mm}^2) \quad (2.61)$$

unde R_c este rezistență determinată pe cuburi; Ros utilizează relația:

$$E_c(t) = \frac{5500}{15 + R_p(t)} \quad (\text{N/mm}^2) \quad (2.62)$$

în care R_p este rezistență determinată pe prisme. Cum rezistențele variază în timp, se schimbă și valoarea lui E . Calculul rezistențelor betonului în funcție de timp poate fi făcut cu ajutorul curbelor din figura 2.24.

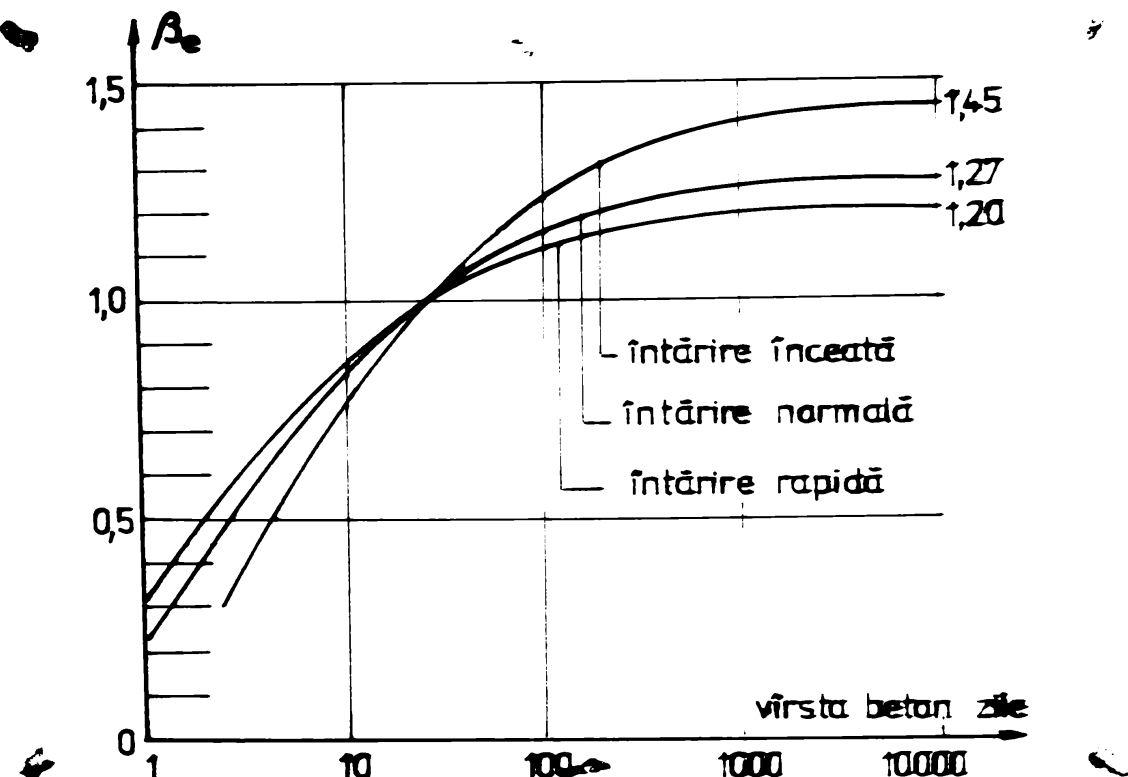


Fig.2.24.

Recomandările CEB-FIP-76 /99/ și DIN 1045 /199/ prescriu valoarea

$$E_0(t) = 210000 \sqrt{R_{ci}(t)} \quad (\text{daN/cm}^2) \quad (2.63)$$

unde R_{ci} este rezistența determinată pe cilindrii.

In /9/ se propune o variație de forma

$$E_0(t) = E(\infty) [1 - \alpha e^{-\beta t}] \quad (2.64)$$

In care $E(\infty)$ este modulul de elasticitate final, și β fiind determinată experimental. In Figura 2.25 sunt prezentate, după /9/, cîteva curbe de variație în timp, care ilustrează relația (2.64).

In /65/ se propune o variație a modulului de elasticitate de forma

$$E_0(t) = \frac{E_0(28)}{1 - k \varphi(t)} \quad (2.65)$$

Coefficientul k poate fi determinat experimental; pentru

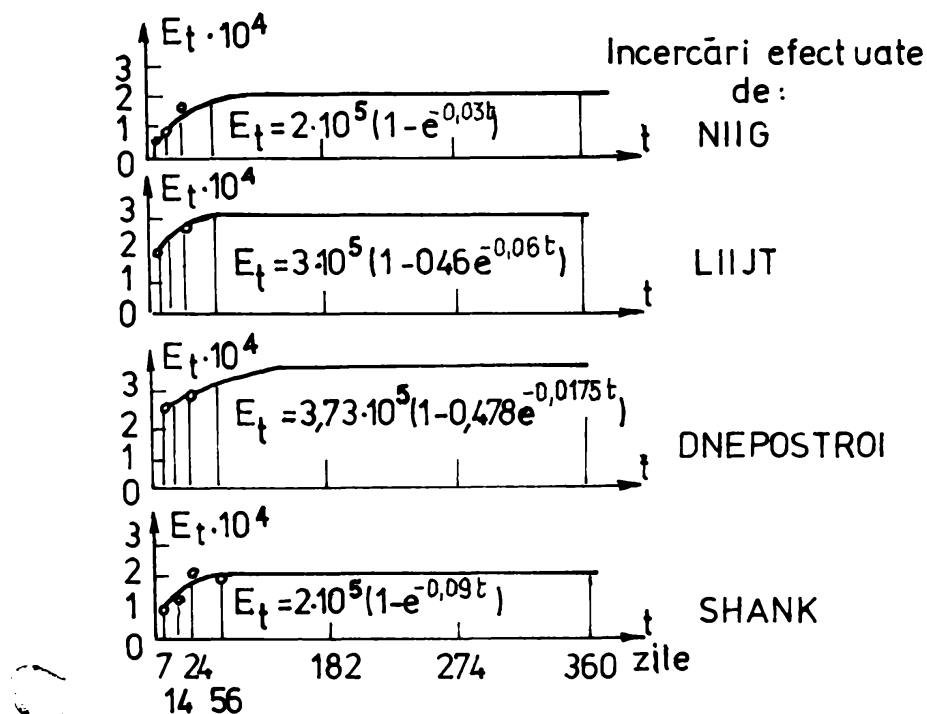


Fig.2.25.

calculele practice se poate fi luat $k = 0,085 \dots 0,095$. Tot în /65/ se propune și calculul lui $E_0(t)$ din relația lui Skramtaev:

$$E_0(t) = \frac{10^6}{1,7 + \frac{360}{R(t)}} \quad (2.66)$$

unde

$$R(t) = \frac{1}{5} \frac{1000 - t}{1 + \frac{100}{R(28)}} \log \frac{28}{t} \quad (2.67)$$

Capitolul 3

EFFECTUL CURGERII LENTE SI CONTRACTIEI BETONULUI LA STRUCTURI DE BETON ARMAT

3.1 Cercetări teoretice și experimentale prezentate în literatură

Spre deosebire de cercetările sistematice efectuate pentru betonul simplu, prezentate în capitolul precedent, cercetările referitoare la structurile de beton armat sunt mult mai reduse.

Prima relatată referitoare la efectul curgerii lente la structuri de beton armat este cea privind podul Veurdre din Franța. Podul cu o deschidere de 72,5 m, realizat din arce cu trei articulații a fost turnat monolit în 1910. Imediat a început să prezinte deformații mari la mijlocul deschiderii, care peste un an au dvenit așa de mari încât indicau posibilitatea pierderii stabilității. Freyssinet a decis că este nevoie de o intervenție rapidă pentru a împiedica prăbușirea podului. Astfel au fost blocate cele trei articulații, transformând arcele din arce cu trei articulații în arce încastrate, salvând structura.

Acest accident a dus la efectuarea unui intens program de cercetări teoretice privind efectele curgerii lente la structurile de beton armat, dar fără rezultate semnificative. Primele soluții analitice sunt obținute în 1937 de către Dischinger, care a studiat starea de eforturi și deformații a arcelor cu tiranji metalici. De la Dischinger începe propriu-zis cercetarea efectelor curgerii lente și contractiei la structurile de beton armat.

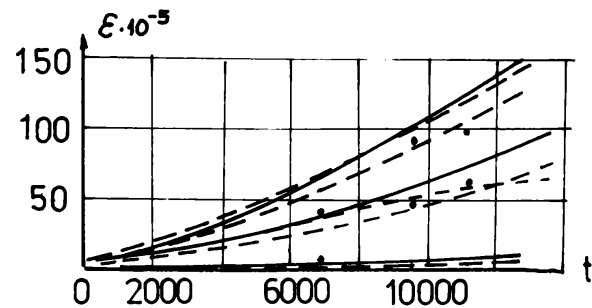
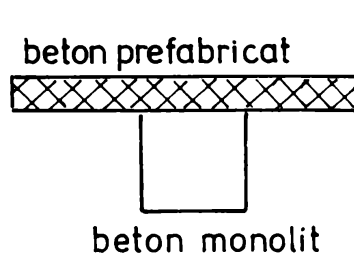


Fig. 3.1

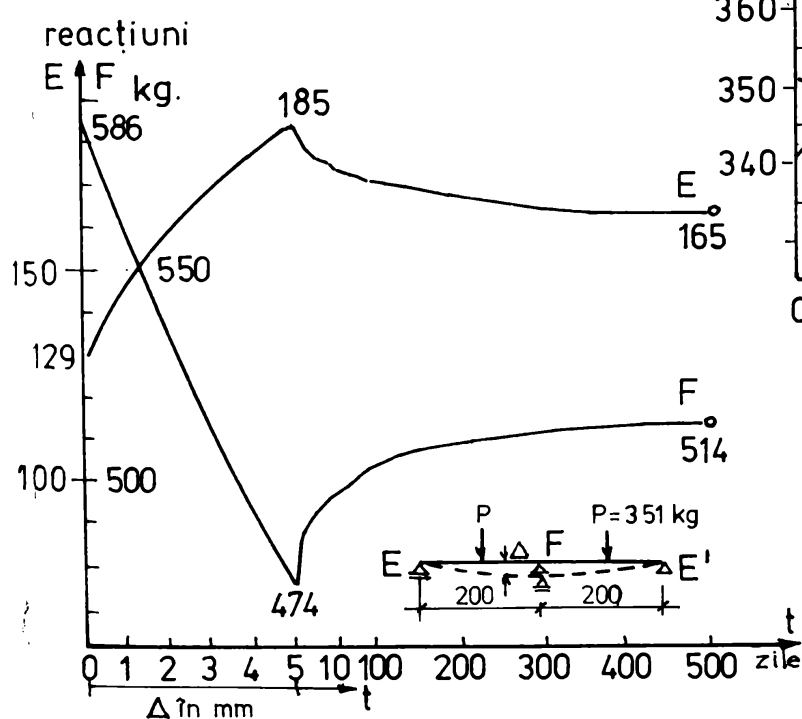


Fig. 3.2

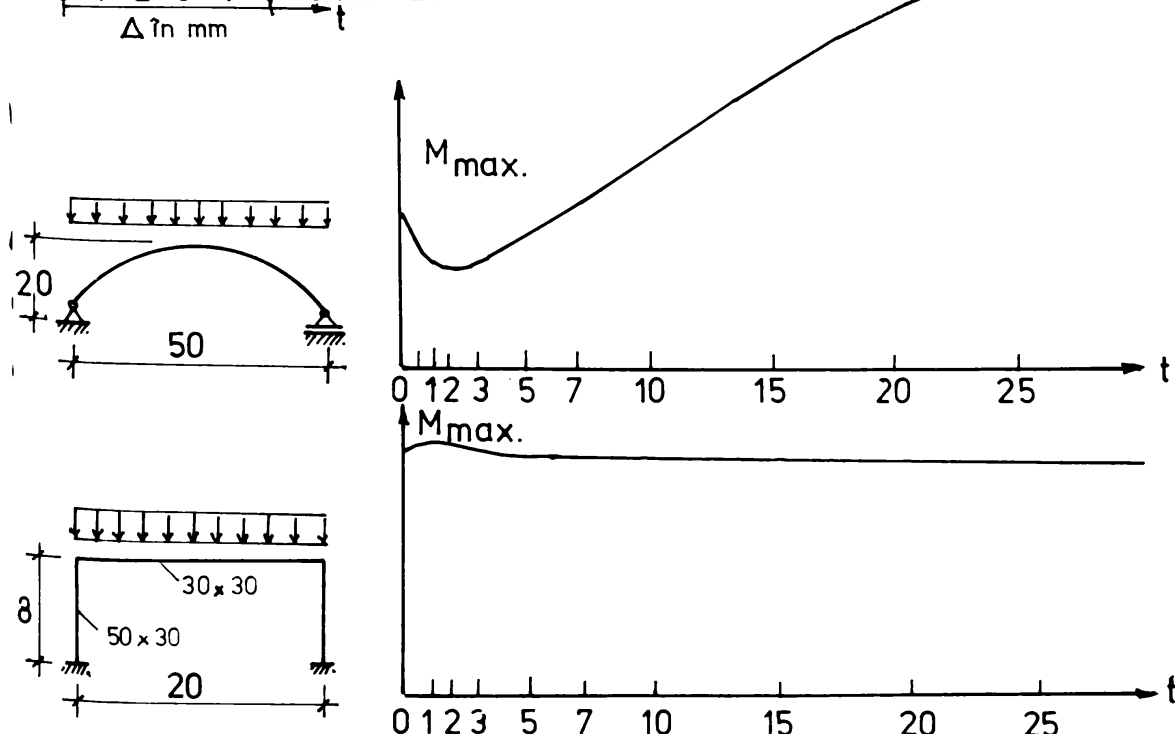
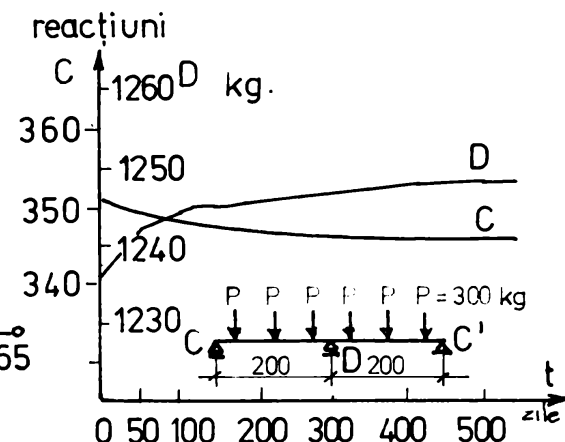


Fig. 3.3

Perioada recentă este bogată în rezultate, dar nu acoperă toate cazurile care se întâlnesc în practică. În cele ce urmează se descriu pe scurt unele din principalele cercetări relatate în literatură.

In 1957, Röhle /79, 80/ studiază comportarea grinzelor prefabricate la care tălpile sunt turnate monolit, grinzele fiind compuse astfel din două betoane cu vîrste diferite. Este primul studiu privind efectul neomogenității betoanelor. În figura 3.1 sunt prezentate cîteva rezultate experimentale. Se observă că din cauza neomogenității betonului, distribuția tensiunilor este diferită de cea cunoscută.

La grinzi continue, cercetări sistematice au fost efectuate în 1961 de către Tertea /86/. Pentru o grindă cu două deschideri, încărcată uniform distribuit, în figura 3.2a se prezintă variația reacțiunilor în timp. În figura 3.2b, la aceeași grindă dar cu o tasare a reazemului central, se prezintă variația în timp a reacțiunii. Se constată, în ambele cazuri, modificări importante ale reacțiunii.

Cadrele din beton armat rezemate pe terenuri de fundație deformabile în zimp sunt studiate în 1973 de Bota /21/. În figura 3.3 sunt prezentate variațiile efortului în timp la un arc dublu încastrat și la un cadru cu o singură deschidere, pentru diferite viteze de producere a deformațiilor de curgere lentă și tasare a fundațiilor. Studii similare sunt efectuate în 1972 de către Anastasescu /6,7,8/ și publicate pe larg în /15,16/.

Sistematizarea cercetărilor efectuate la structuri de beton armat este făcută în /82/.

Cercetările experimentale la structuri sunt reduse la

număr, din cauza dificultăților prezentate în primul capitol. Singurele structuri la care sunt posibile măsurători de lungă durată sunt podurile de beton armat. În figura 3.4. este prezentat

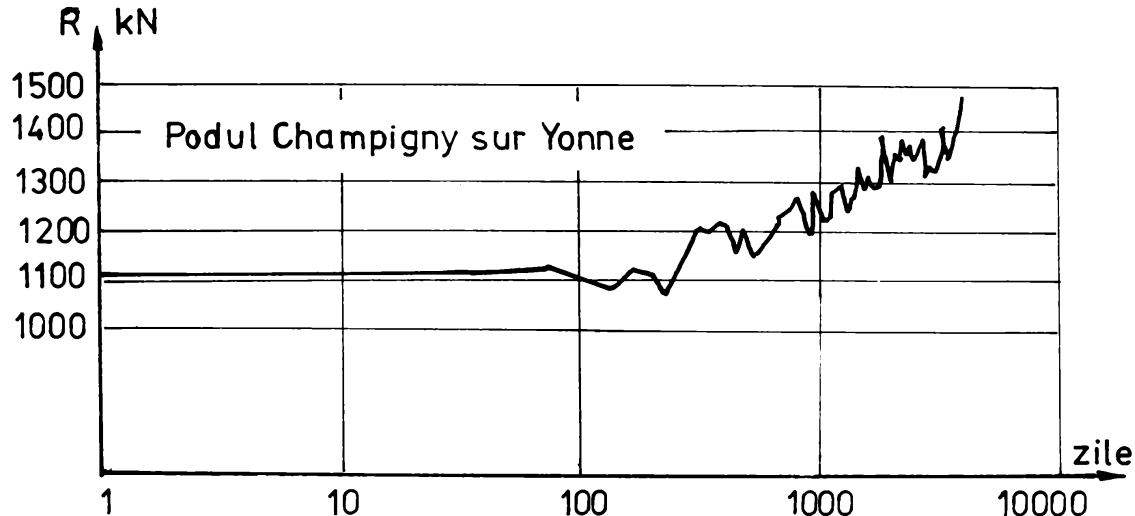


Fig.3.4.

cazul podului Champigny - sur - Yonne, iar în figura 3.5, cel al podului Chateau - Thierry, ambele din Franța la care au fost

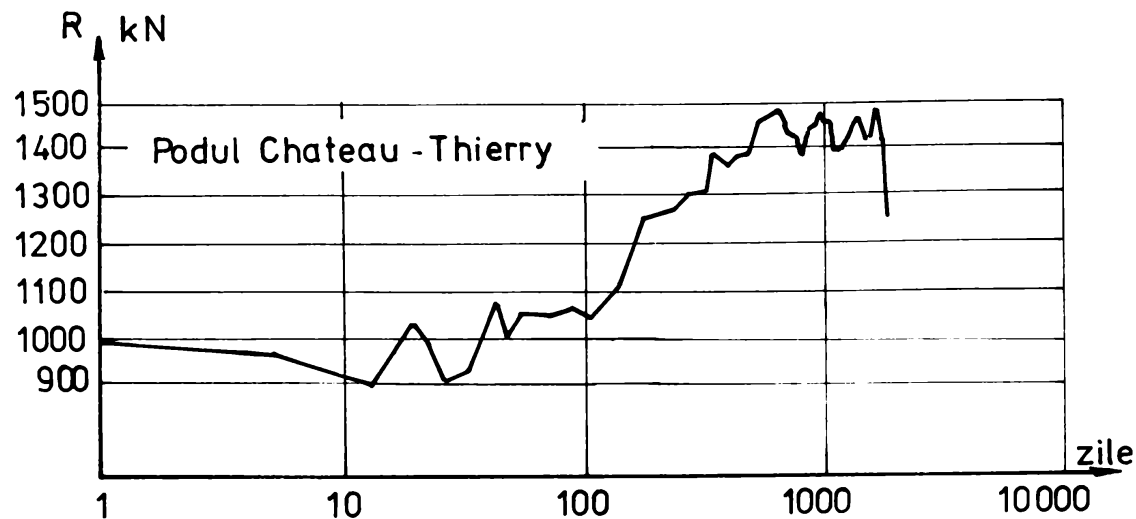


Fig.3.5.

măsurate reacțiunile pe durațe de 11, respectiv 6 ani. Se constată o variație importantă a acestor reacțiuni, ceea ce indică importanța mare pe care o are efectul curgerii lente.

In cele ce urmează, după prezentarea rezultatelor obținute la aplicarea teoriei viscoelasticității la structuri, se trec în revistă pe scurt, rezultatele cercetărilor efectuate la ele-

mentele de beton armat (grinzi și stâlpi) și se face o sistematizare a efectelor curgerii lente și contractiei la structurile din bare de beton armat.

3.2. Elemente ale teoriei viscoelasticității aplicate la structuri

3.2.1. Structuri omogene, structuri neomogene

Din punctul de vedere al deformațiilor viscoase în teoria viscoelasticității, structurile pot fi clasificate în:

- a) structuri viscoelastice omogene, la care toate elementele componente au aceleași caracteristici ale curgerii lente și contractiei;
- b) structuri viscoelastice neomogene, la care există diferențe între caracteristicile viscoase ale elementelor componente.

Structurile de beton armat se încadrează în categoria două, cea cu deformații viscoelastice neomogene, din următoarele motive:

- secțiunile de beton armat sunt compuse din beton și armătură, primul material având proprietăți viscoase, al doilea numai elastice și astfel, există o primă neomogenitate pe secțiune;

- diferitele elemente ale unei structuri monolite sunt realizate în etape diferite. Astfel, între timpul turnării parteturui și cel al ultimului etaj al unei clădiri etajate, pot să fie diferențe de 5 - 6 luni și astfel elementele structurii vor avea caracteristici de viscozitate diferite;

- structurile mixte formate din elemente monolite și prefabricate (de exemplu stâlpi monoliti, grinzi prefabricate) au, în mod evident, caracteristici ale curgerii lente diferite;

- structurile prefabricate pot avea în componentă elemen-

te realizate la tempi diferiți (de exemplu grinziile turnate în ateliere de prefabricate, stîlpi prefabricați turnați pe șantier);

Toate aceste aspecte fac ca să existe diferențe ale caracteristicilor de curgere lentă între diferitele elemente ale unei structuri.

3.2.2. Principiile corespondenței

Pentru structurile viscoelastice omogene, Alfrey și Henry (citați după /53, 54/) au enunțat următoarele principii cunoscute sub numele de principiile corespondenței, analogia viscoelastică sau metoda corespondenței.

Primul principiu se enunță astfel:

- dacă unei structuri omogene cu deformații viscoelastice liniare i se aplică o încărcare simplă, la care toate forțele exterioare variază în timp după aceeași lege (fig. 3.6a), eforturile din toate punctele structurii și reacțiunile static nedeterminate se modifică în timp, după aceeași lege (fig. 3.6.b) și

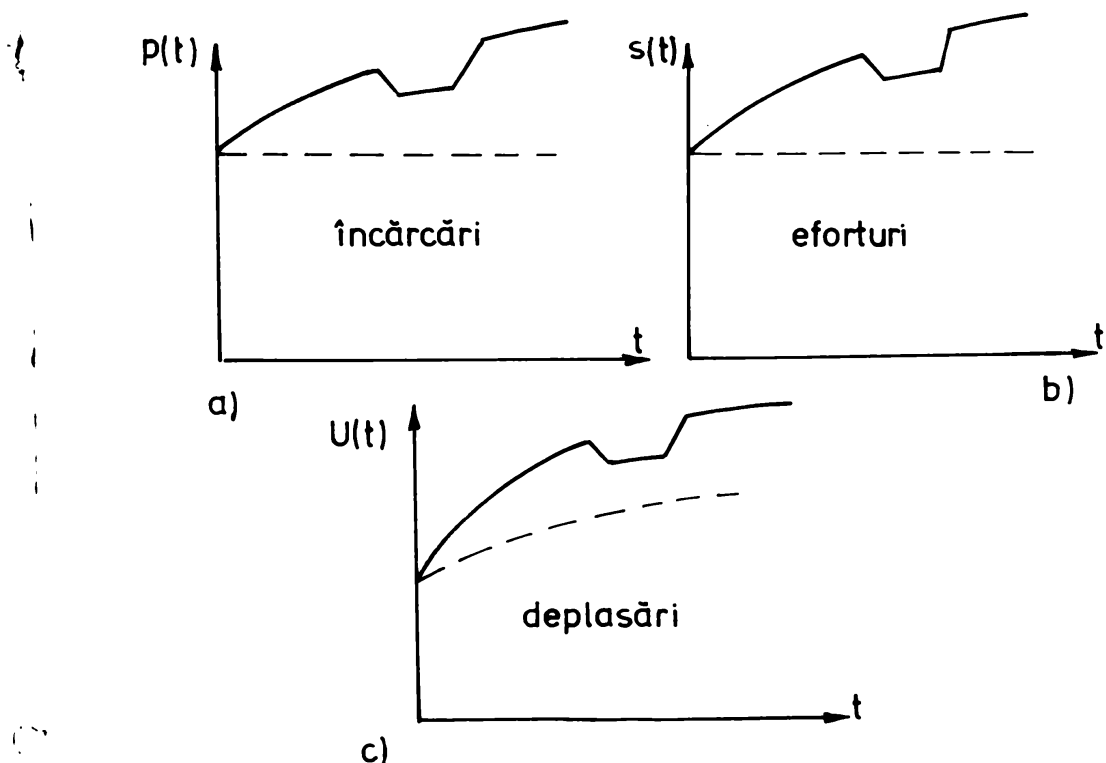


Fig. 3.6.

sint egale in orice moment cu cele ce se produc in structura perfect elastică, sub acțiunea acelorași forțe. Deplasările și deformațiile se modifică după aceeași lege cu cea a unei prisme cu aceeași caracteristici de viscozitate și aceeași variație a încărcărilor (fig.3.6c). Pentru cazul încărcărilor constante în timp, eforturile din structură rămân nemodificate în timp, crescind deformațiile.

Enunțul celui de al doilea principiu este:

- dacă unei structuri omogene cu deformații viscoelastică liniare i se dă o deplasare impusă care variază în timp după o lege cunoscută (fig.3.7a), toate deplasările și deformațiile din orice punct al structurii se modifică în timp după aceeași lege (fig. 3.7b) și sint egale cu cele ce se produc în structura perfect elastică, căreia i se imprimă deformația impusă corespunzătoare timpului respectiv. Eforturile și reacțiunile static neterminate sunt proportionale cu cele ale structurii perfect elastice (fig.3.7c), iar coeficientul de proporționalitate este identic

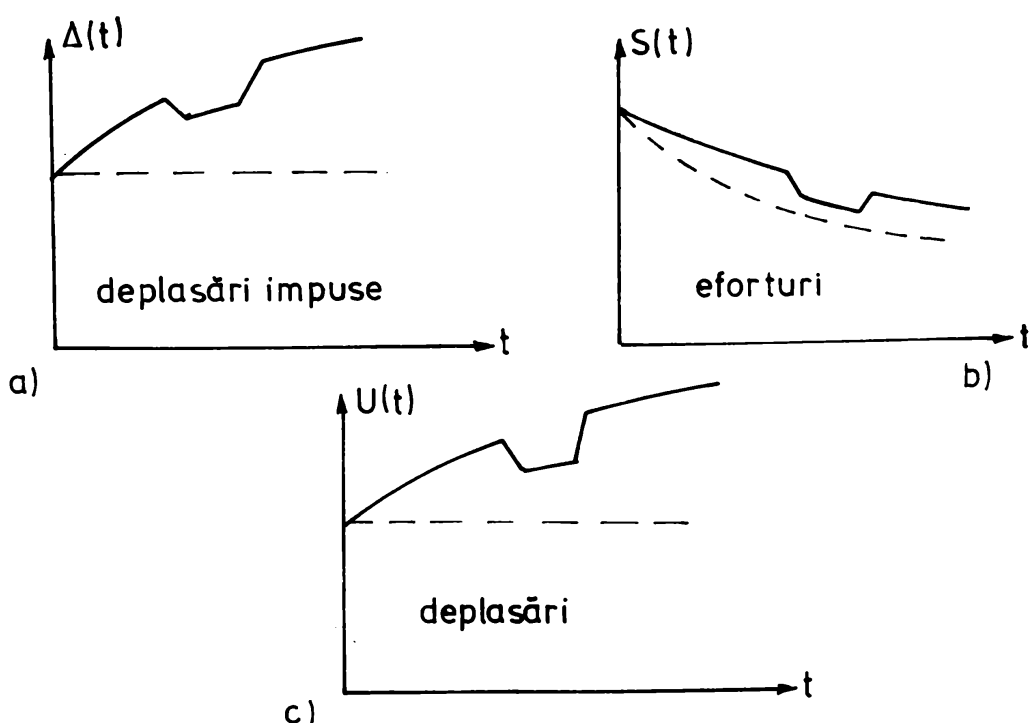


Fig. 3.7

cu cel al unei prisme cu aceleasi caracteristici de viscozitate si cu aceeași deformatie impusă.

Astfel din punctul de vedere al unei structuri de beton armat, se disting două situații:

a) dacă acțiunile sunt încărcări simple, efectul curgerii lente este introdus numai de către variația caracteristicilor viscoase pe structură;

b) dacă acțiunile sunt deplasări impuse, de exemplu din contractie sau tasarea reazemelor, eforturile se modifică în timp, indiferent de variația caracteristicilor viscoase.

3.3. Influența curgerii lente și contractiei la elemente de beton armat

3.3.1. Nedeterminarea interioară

Din cauză că betonul armat este alcătuit din două materiale cu caracteristici mecanice diferite, o secțiune de beton armat este static nedeterminată interior, pentru că nu se poate calcula direct distribuția tensiunilor în beton și armătură, fără a se apela la o condiție suplimentară. Tinând seamă de aderența dintre beton și armătură se poate scrie condiția că deformațiile celor două materiale sunt egale și astfel se introduce relația suplimentară necesară. Deoarece betonul are proprietăți reologice, pe cind armătura nu, se va produce o redistribuire în timp a tensiunilor între cele două materiale.

3.3.2. Stilpi de beton armat comprimat centric

Influența curgerii lente și contractiei betonului la stilpi este bine studiată în literatura de specialitate /44, 45/.

Se știe că într-un stilp de beton armat se produce o redistribuire în timp a eforturilor între armătură și beton, din cauza că armăturile se opun deformațiilor viscoase ale betonului.

Același efect îl are și contracția betonului, care mărește tensiunile din armături și le scade în timp pe cele ale betonului.

Variatia tensiunilor în timp din armături și beton sunt date de relațiile /86/:

$$\bar{\sigma}_a(t) = \bar{\sigma}_a(\tau_1) [1 + \varphi_a(t, \tau_1)] - \frac{E_{ct} E_a}{\bar{\varphi}} \varphi_a(t, \tau_1) \quad (3.1a)$$

$$\bar{\sigma}_b(t) = \bar{\sigma}_b(\tau_1) [-1 + n_0 \mu \varphi_a(t, \tau_1)] - \frac{E_{ct} E_b}{\bar{\varphi}} \varphi_b(t, \tau_1) \quad (3.1b)$$

în care s-au introdus notatiile:

- $\bar{\sigma}_a(t)$, $\bar{\sigma}_b(t)$, tensiunea în armătură, respectiv în beton la timpul t ;

- $\bar{\sigma}_a(\tau_1)$, $\bar{\sigma}_b(\tau_1)$, idem, la timpul τ_1 ;

- $\varphi_a(t, \tau_1)$, caracteristica curgerii lente a betonului armat, dată de relația:

$$\varphi_a(t, \tau_1) = \frac{1 - e^{-\delta \varphi t}}{n_0 \varsigma} \quad (3.2)$$

- E_{ct} , valoarea finală a contractiei;

- $\bar{\varphi}$, valoarea finală a caracteristicii curgerii lente;

- E_a , E_b , modulul de elasticitate al armăturii, respectiv betonului:

$$n_0 = \frac{E_a}{E_b} \quad (3.3)$$

- μ , coeficientul de armare:

$$\mu = \frac{A_a}{A_b} \quad (3.4)$$

și sunt date în relațiile:

$$\delta = \frac{n_0 \varsigma}{1 + n_0 \varsigma} \quad (3.5)$$

$$\varsigma = \mu + \frac{I_a}{I_b} \quad (3.6)$$

- I_a , I_b , momentele de inerție ale secțiunilor de armătură, respectiv beton.

In figura 3.8 se prezintă, după /34/ variația în timp a acestor eforturi în funcție de procentul de armare. Se constată

că tensiunile din armături pot crește mai mult de două ori față

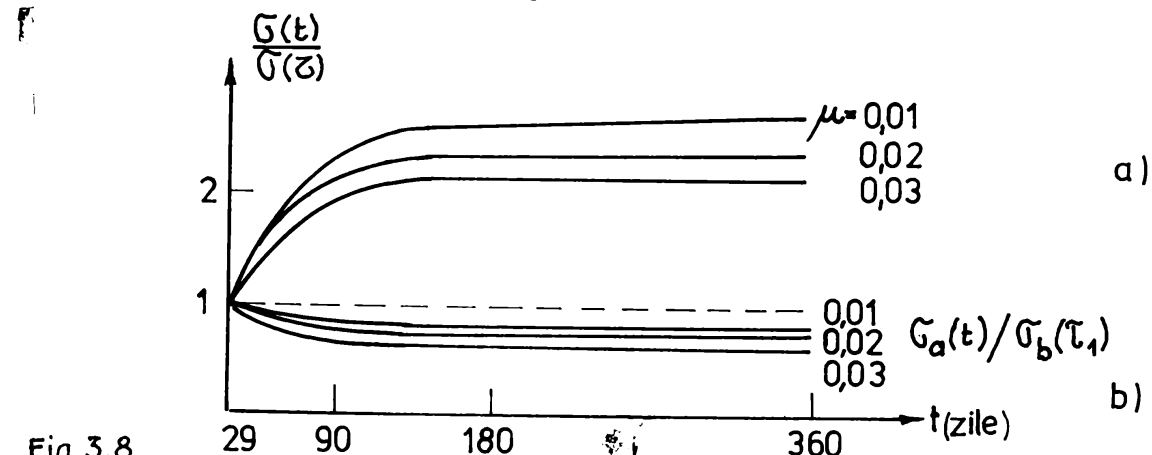


Fig. 3.8

de valorile initiale, datorită redistribuției tensiunilor.

3.3.3. Grinzi de beton armat

Studiul modificărilor în timp a tensiunilor la grinziile de beton armat a fost efectuat de Hobel (1957), Fluck (1958), Pieper (1958), Leonhardt (1959), Mehner (1959), Franz (1960), Tertea (1961) Szalai (1962), Gesund (1962), Trostel (1960), Wippel (1963), Mayer (1967) /67/.

Si în cazul grinziilor de beton armat are loc o redistribuție a tensiunilor între beton și armătură datorită curgerii lente și contractiei. Această redistribuție este foarte importantă în cazul secțiunilor nefisurate și mai redusă, dacă se ține seamă de această fisurare.

Variatia în timp a tensiunilor într-o grindă de beton armat nefisurată este dată de relațiile /86/:

$$\bar{\sigma}_a(t) = \bar{\sigma}_a(z_1) \left[1 + \varphi_a(t, z_1) \right] - \frac{Ect}{\bar{\varphi}} \varphi_a(t, z_1) \quad (3.7a)$$

- în fibra extremă a betonului comprimat

$$\bar{\sigma}_b(t) = \bar{\sigma}_b(z_1) \left[1 + \frac{h_0 - x_0}{x_0} m_0 \left(\mu - \frac{S_{aU}}{I_b} \right) \varphi_a(t, z_1) \right] - \frac{Ect}{\bar{\varphi}} \left(\mu - \frac{S_{aU}}{I_b} \right) \varphi_a(t, z_1) \quad (3.7b)$$

- în fibra extremă a betonului întins:

$$\bar{\sigma}'_b(t) = \bar{\sigma}'_b(z_1) \left[1 - \frac{h_0 - x_0}{x_0} m_0 \left(\mu + \frac{S_{aU}}{I_b} \right) \varphi_a(t, z_1) \right] + \frac{Ect}{\bar{\varphi}} \left(\mu + \frac{S_{aU}}{I_b} \right) \varphi_a(t, z_1) \quad (3.7c)$$

în care:

- h_0 este înălțimea utilă a secțiunii;
- x_0 , distanța de la fibra comprimată la axa neutră;
- S_a , momentul static al secțiunii de armătură;
- u , v , distanțele de la axa neutră la fibra comprimată, respectiv întinsă a secțiunii.

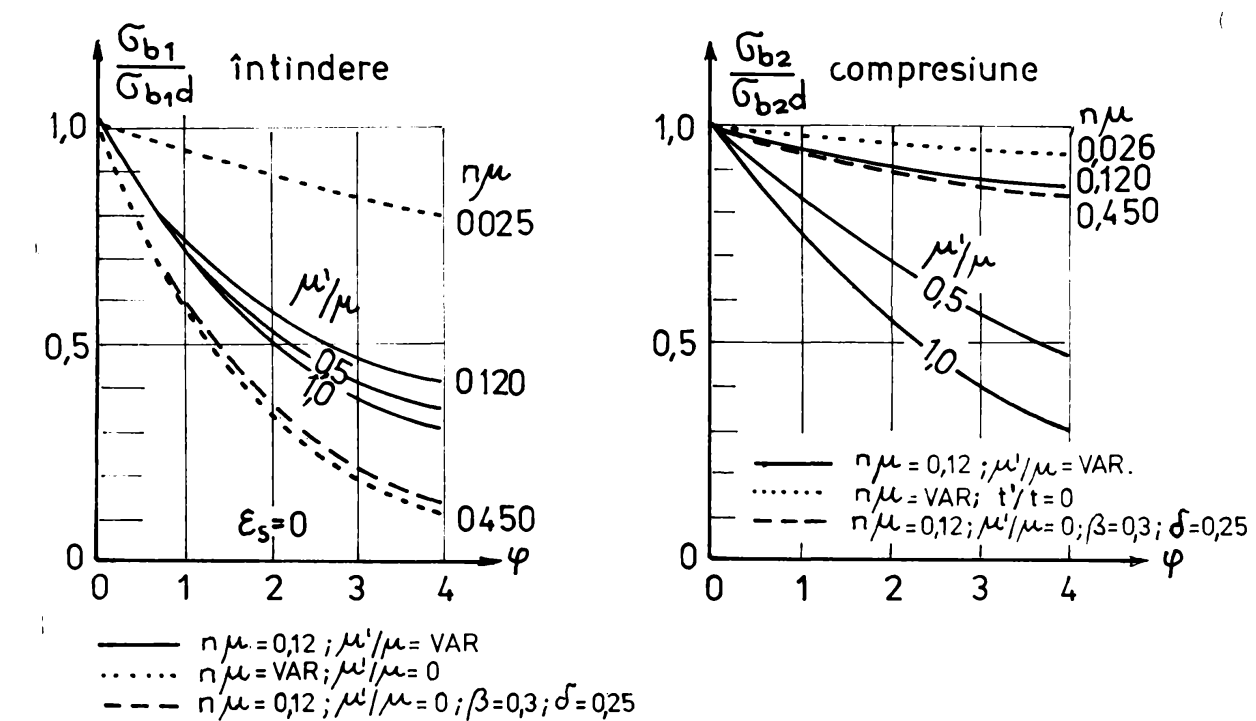


Fig.3.9.

In cazul secțiunilor fără suruburi (stadiul II), variația eforturilor în armătură și beton este dată de relațiile /86/:

$$\sigma_a(t) = \frac{3 - \xi(t)}{3 - \xi(t_1)} \sigma_a(t_1) \quad (3.8a)$$

$$\sigma_b(t) = \frac{\xi(t_1)}{\xi(t)} \frac{3 - \xi(t_1)}{3 - \xi(t)} \sigma_b(t_1) \quad (3.8b)$$

în care $\xi(t_1)$ și $\xi(t)$ precizează poziția axei neutre la timpul t_1 , respectiv t :

$$\xi(t_1) = m_0/\mu \left(-1 + \sqrt{1 + \frac{2}{m_0/\mu}} \right) \quad (3.9)$$

iar $\xi(t)$ rezultă din ecuația

$$C\xi^3(t) - (4C+1)\xi^2(t) + (3C-D)\xi(t) + D = 0 \quad (3.10)$$

în care

$$C = n_0 \mu \left[1 + \varphi(t, \zeta_1) - \frac{1}{1 + \delta \varphi(t, \zeta_1)} \right] \frac{1}{\xi(\zeta_1) [3 - \xi(\zeta_1)]} \quad (3.11a)$$

$$D = n_0 \mu \left[1 + \varphi(t, \zeta_1) + \frac{1}{1 + \delta \varphi(t, \zeta_1)} \right] \quad (3.11b)$$

δ fiind un coeficient ce ține seama de variația în timp a modulului de elasticitate.

In figura 3.9 se prezintă, după /67/, variația tensiunilor în beton, pentru o secțiune de beton nefisurată (stadiul I).

In figura 3.10 se prezintă, după /82/, variația tensiunilor pentru cazul secțiunii fisurate (stadiul II). Se constată că creșterea tensiunilor în armătură este mai mică în cazul secțiunii fisurate decât în cel al secțiunii nefisurate.

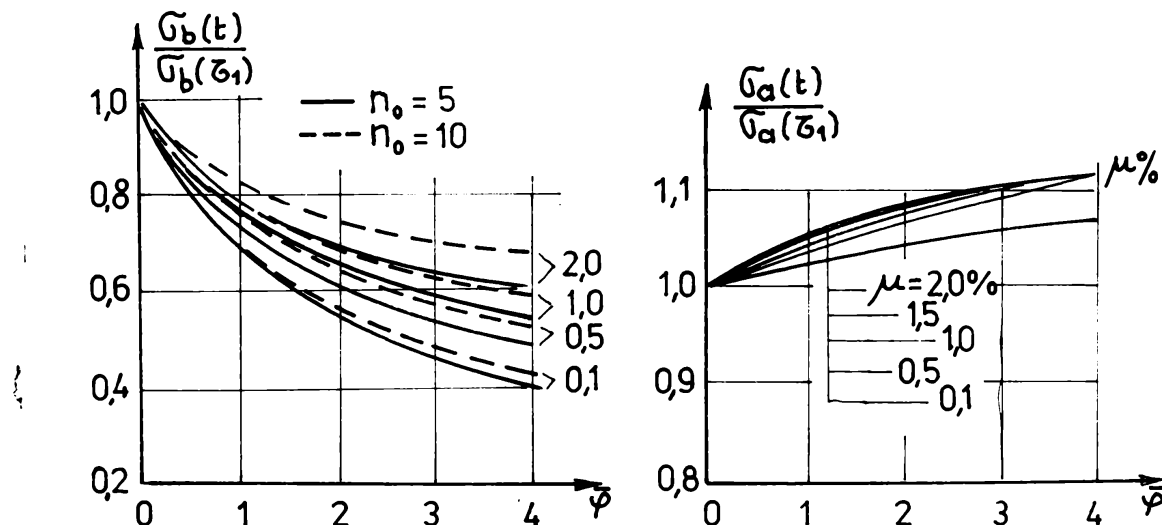


Fig.3.10.

3.4. Influenta curgerii lente și contracției la structuri din bare de beton armat

3.4.1. Factorii care influențează comportarea în timp

Din literatura de specialitate, privind influența curgerii lente și contracției betonului la structurile din beton armat, se evidențiază următorii factori principali:

- a) efectul neomogenității, în care diferite părți ale

structurii au caracteristici de curgere lentă și contractie diferite, din cauza armării diferite, turnării la timpi diferiți, betoane de calități diferite, și ca urmare se produc redistribuirile de eforturi;

b) Efectul schimbării schemei statice, care se manifestă în special la structurile prefabricate, cind în prima fază a montajului elementele nu sunt legate și lucrează ca simplu rezemate, la o parte din încărcari. Abia după realizarea monolitizărilor, structura lucrează în conformitate cu schema statică la care se dimensionază în mod curent. Se vor produce astfel redistribuirile de eforturi după scheme greu de anticipat;

c) efectul contractiei impiedicate, în care unele părți ale structurilor de beton armat sunt legate de elemente fără contractie, sau cu contractii diferite;

d) efectul tasării diferențiale, cind unele reazeme ale structurii au tasări mai mari decât celelalte, în structură producindu-se eforturi ce scad sau cresc în timp.

Dintre acești factori, singurul care este bine studiat în literatura de specialitate, pentru care există numeroase rezultate teoretice și experimentale, este efectul tasării diferențiale.

Pentru ceilalți factori, exemplele sunt puține și nesistematische.

In cele ce urmează se prezintă, pentru primii trei factori menționați mai înainte, câteva exemple relatate în literatura de specialitate, pentru a se putea trage concluzii privind orientarea cercetărilor.

3.4.2. Efectele neomogenității

a) Neomogenitate din cauza armării diferite

a1) Grinda continuă este analizată în /87/. Astfel în

figura 3.11a este prezentată o grindă continuă cu două deschideri egale, acționată cu o încărcare uniformă distribuită. Grinda se calculează cu o rigiditate variabilă ținându-se seamă de fisurarea zonei întinse. Rigiditatea la $t = 0$ și $t = \infty$, este prezentată în figura 3.11b; rigiditatea mai mare pe rezeme este cauzată de procentul de armare mai mare. Momentele determinate dintr-un calcul elastic, considerînd grinda nefisurată, sunt trasate în figura 3.11c,

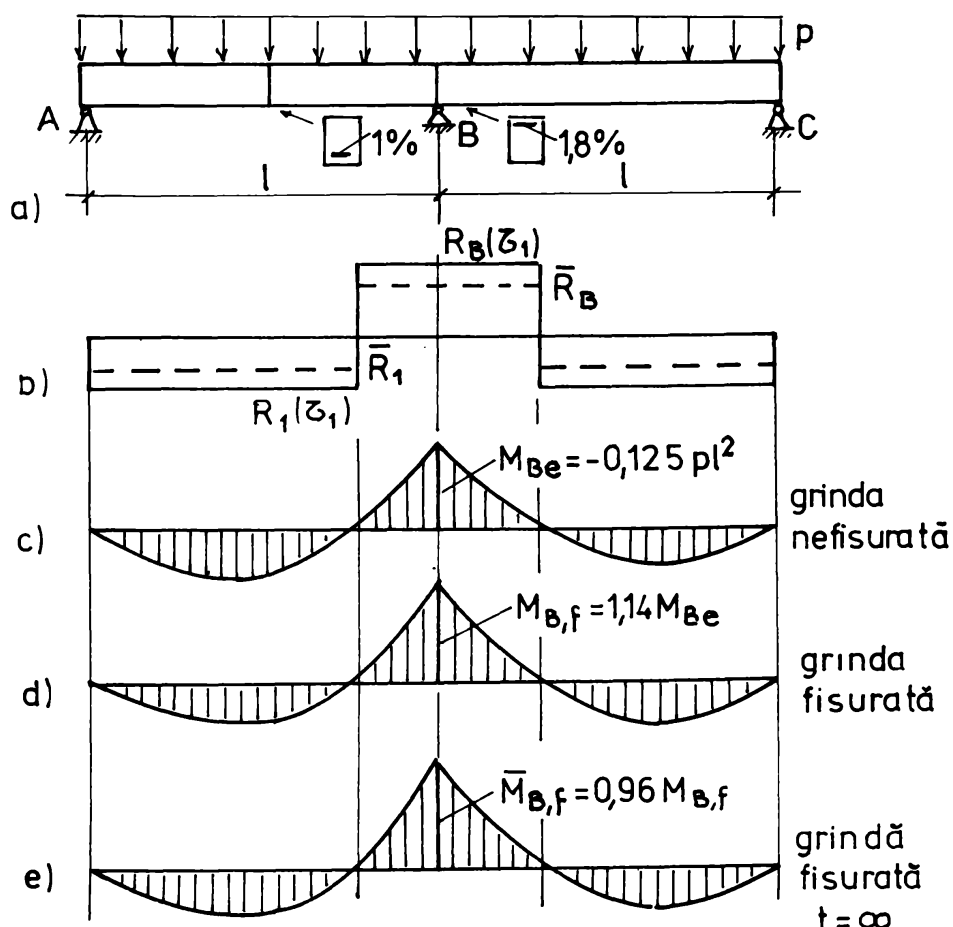


Fig.3.11.

iar dacă se ține seamă de fisurare, în figura 3.11d. Se constată că momentul de pe rezemul central a crescut cu 14% față de calculul grinziei nefisurate. Diagrama de momente, ținînd seamă de variația în timp a rigidității, este prezentată în figura 3.11e. Se con-

stată că momentul de pe reazem scade în timp cu 4%. Prin urmare în acest caz efectul curgerii lente este redus.

a2) Cadrul cotit, din figura 3.12a, este analizat în /65/. Reazemul A este încastrat, iar reazemul C articulat; încărcarea este uniform distribuită; caracteristica curgerii lente, $\bar{\varphi}=2$, $E(\zeta_1)=3,5 \times 10^5$ daN/cm²; $E_a=2,1 \times 10^6$ daN/cm². Variatia rigidității

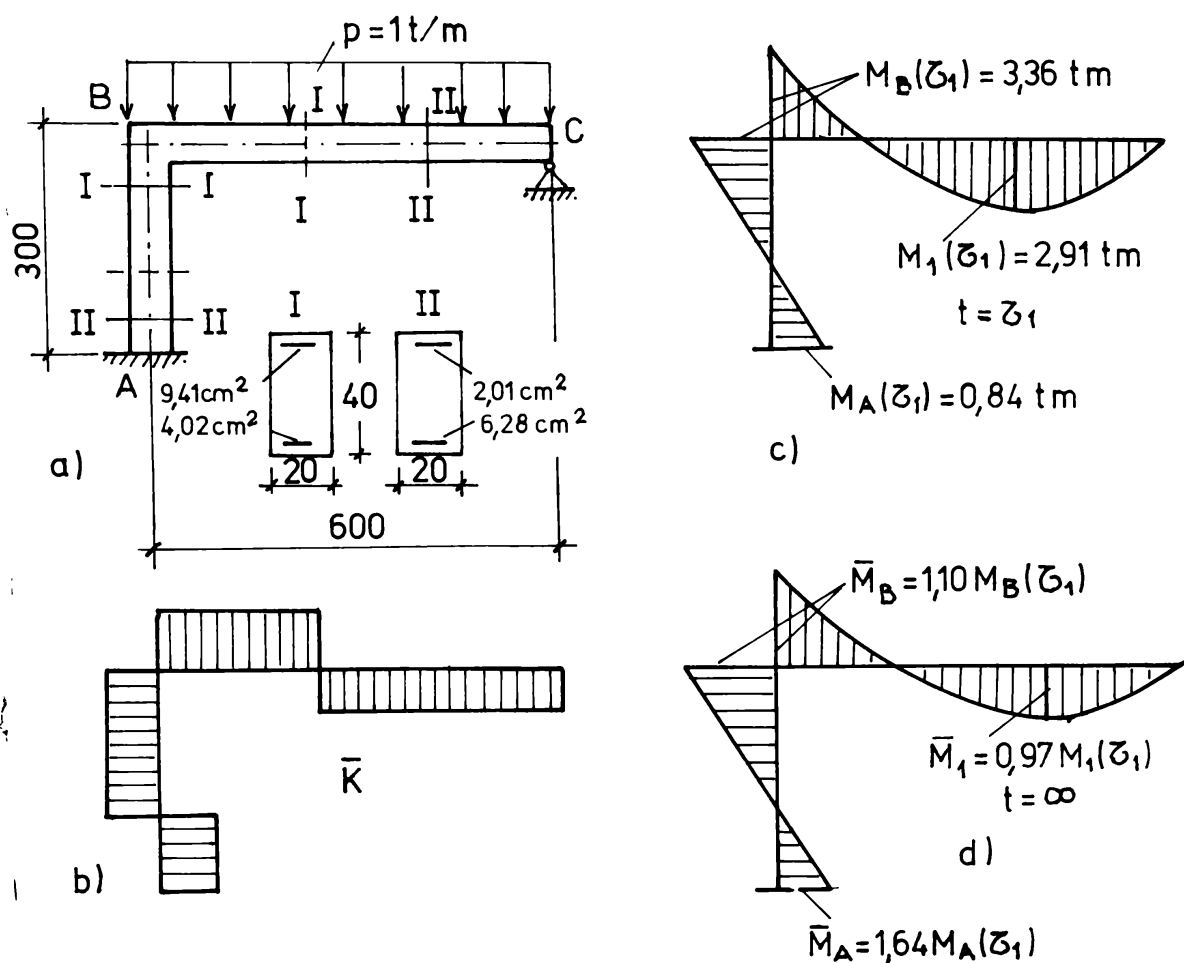


Fig.3.12.

cadrului este dată în figura 3.12b și depinde de procentul de urmare: la calculul rigidității s-a luat seama de fisurarea betonului întins. Diagrama de momente la timpul $t=0$ este prezentată în figura 3.12c, iar la timpul $t=\infty$ în 3.12d. Se constată o creștere a momentului de pe reazemul B cu loz, ca efect al curgerii

lente și o scădere mică a momentului din cimp, nesemnificativă.

Efectul mare apare la momentul în reazemul A, care crește cu 64%.

a3) Cadrul cu trei deschideri este analizat în /65/ și este prezentat în figura 3.13a. Caracteristicile curgerii lente pentru stîlpii $\bar{\varphi}=1,8$, iar pentru rîgle $\bar{\varphi}=1,9$.

Armarea cadrului este prezentată în figura 3.13b, iar diagramele de momente, pentru $t=0$ și $t=\infty$, în figura 3.13c. Se constată o variație relativ redusă a momentelor de încovoiere datorită curgerii lente.

Din exemplele prezentate mai sus rezultă că efectul variației armării în diferitele secțiuni ale structurii poate să nu

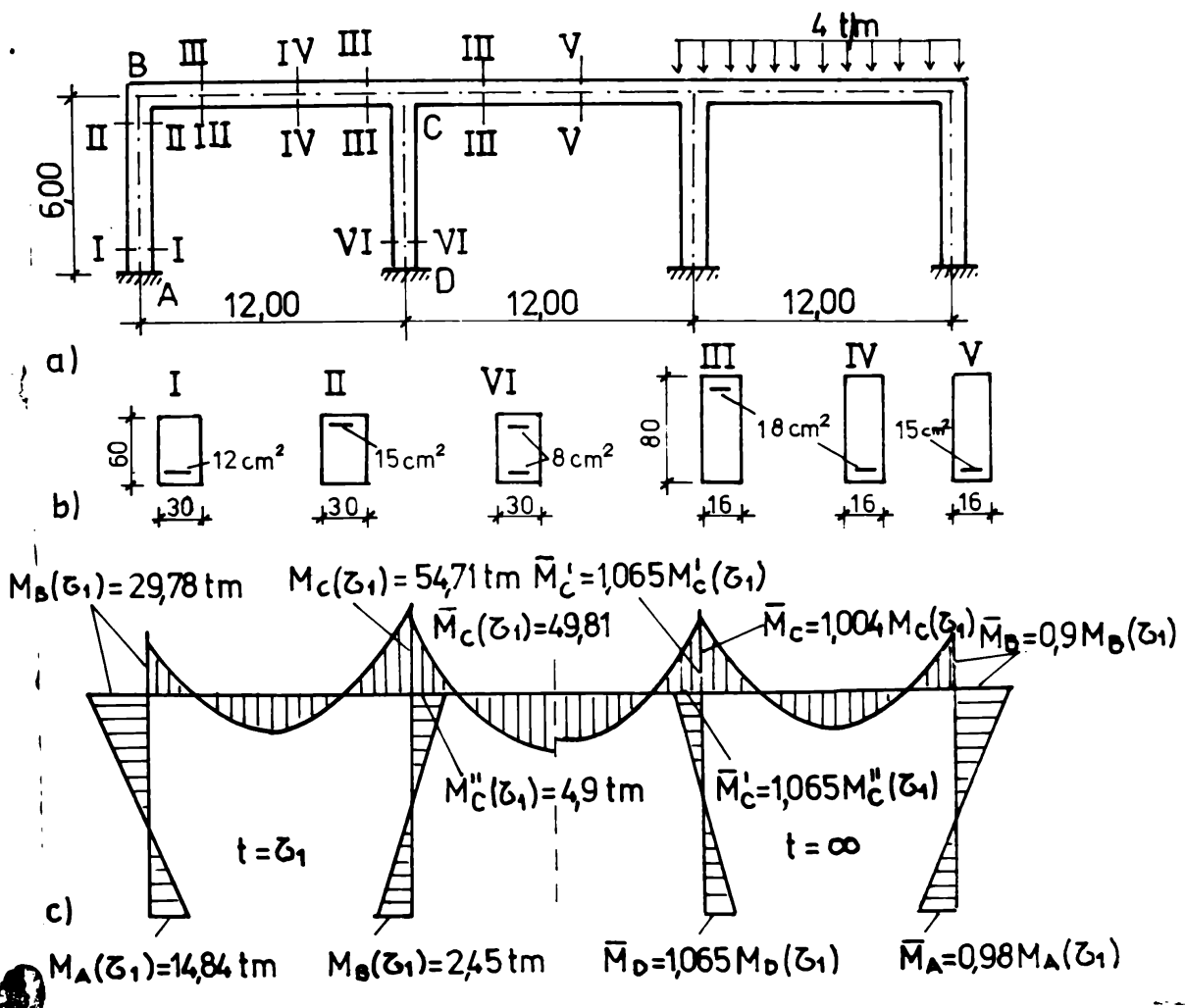


Fig. 3.13.

influențeze prea mult starea de eforturi la unele structuri, iar la altele să aibă efecte importante.

b) Neomogenitate din cauza turnării successive

In /82/ se prezintă cazul unei grinzi continue cu două deschideri (fig. 3.14a), la care se execută cele două deschideri la tempi diferiți. Astfel, (fig.3.14b) deschiderea 1 se toarnă la $\zeta_0=0$, considerat timpul inițial și se decofrează la $\zeta_1 = 15$ zile. Turnarea deschiderii 2 se face la $\zeta_2=30$ zile iar decofrarea ei la

$\zeta_3=45$ zile de la turnarea primei deschideri. Astfel, cele două deschideri se execută la un interval de 30 zile, din care cauză va exista, pentru un timp $t > 45$ zile, diferențe între caracteristi-

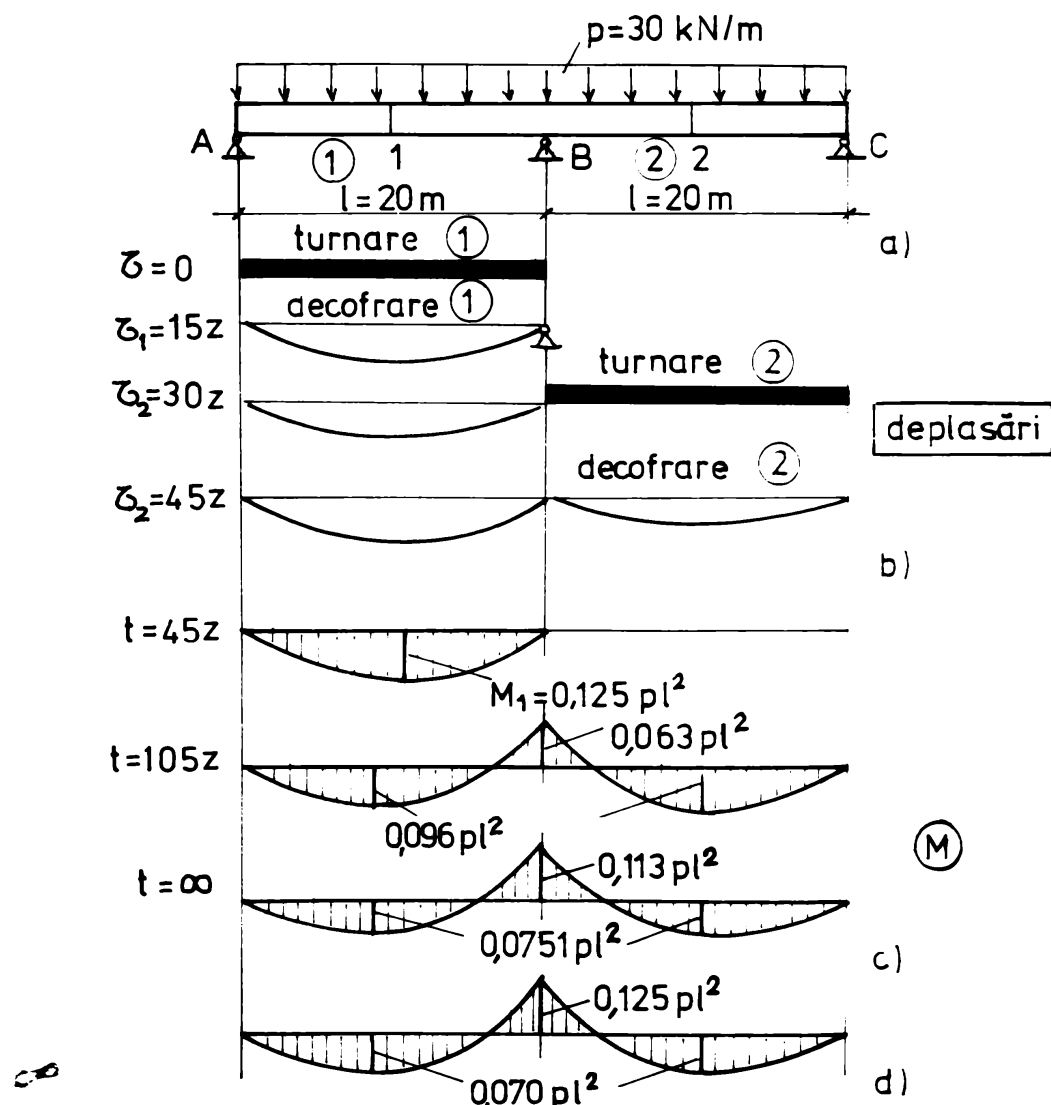


Fig.3.14.

cile curgerii lente ale celor două deschideri.

Momentele vor varia în modul următor (fig.3.14c):

a) pe intervalul 1, (ζ_1, ζ_3) = 15...45 zile deschidere 1 este simplu rezemată și momentul din mijlocul deschiderii este:

$$M_1(15,45) \approx \frac{pl^2}{8} = 0,125pl^2$$

b) la sfârșitul intervalului la $\zeta_3 = 45$ zile, la decofrarea deschiderii 2, prima deschidere nu influențează comportarea structurii și de aceea grinda continuă lucrează ca și cum ar fi încărcată numai deschiderea 2, momentul de pe reazemul B este:

$$M_B(45) = -\frac{pl^2}{16} = -0,063pl^2$$

iar momentele din deschiderile 1 și 2 vor fi:

$$M_1(45) = M_2(45) = \frac{49}{512}pl^2 = 0,096pl^2$$

c) după decofrarea deschiderii 2, din cauza deformațiilor de curgere lentă, cresc deplasările deschiderii 1 și ea lucrează acum ca o grindă continuă, crescând astfel momentul de pe reazem, în măsura în care cresc și deformațiile grinzi;

d) la timpul $t = \infty$, cind s-au consumat deformațiile de curgere lentă, rezultă /din /82/:

$$\bar{M}_B = 0,90 \frac{pl^2}{8} \approx 0,113pl^2$$

iar

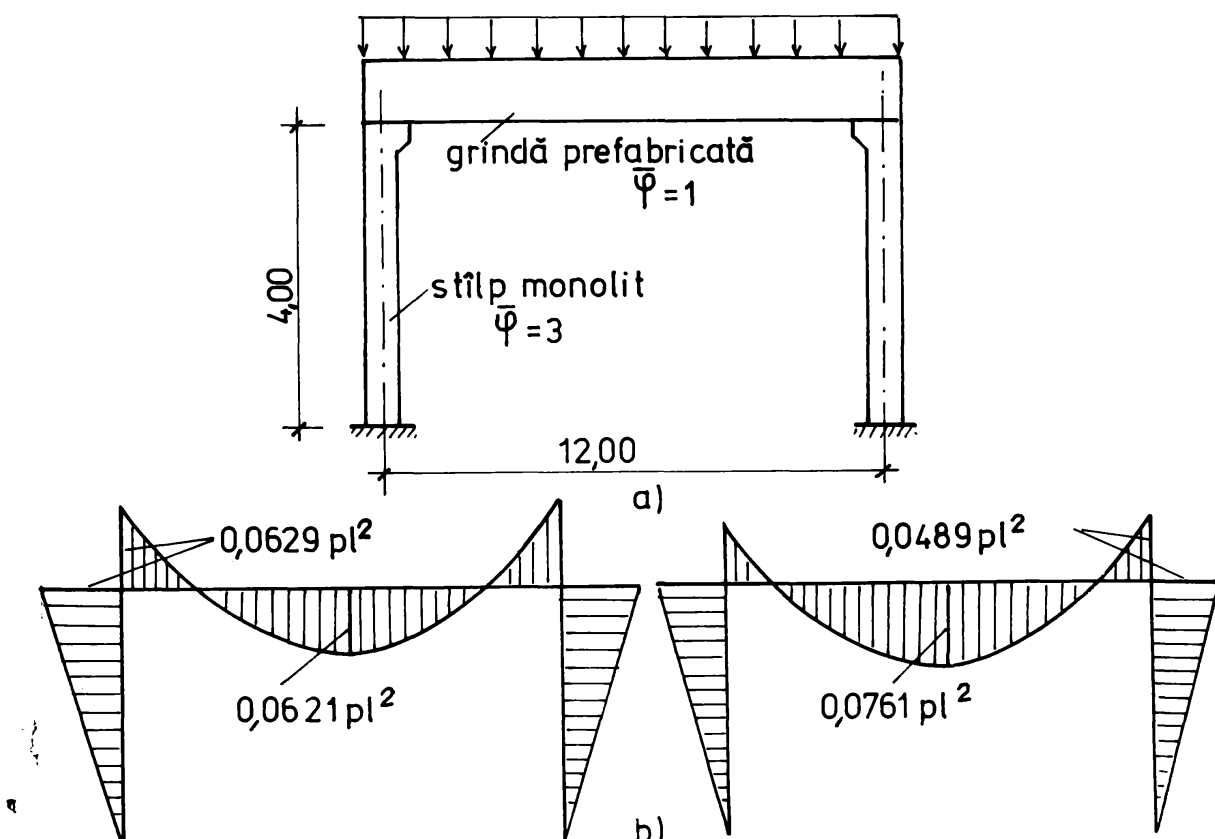
$$\bar{M}_1 + \bar{M}_2 = \frac{9,61}{128}pl^2 = 0,0751pl^2$$

Dacă calculele nu ar ține seama de modul de realizare, ar rezulta momentele trecute în figura 3.14d. Astfel în cazul că se ține seama de efectul turnării succesive, momentul pe reazem este cu 10% mai mic, iar momentele din cimp cresc cu 7%.

Rezultă astfel că efectul turnării successive poate duce la modificări importante în starea de eforturi la o structură de beton armat.

c) Neomogenitate la structuri compuse beton monolit + beton prefabricat

Cazul unui cadru portal realizat din stîlpi monoliți și grindă prefabricată este studiat în /82/ și este prezentat în figura 3.15a. Din cauza că stîlpii sunt monoliți, $\bar{\varphi}=3$, iar grinda fiind încărcată la o perioadă mare de la turnare, $\bar{\varphi}=1$.



- Fig.3.15.

In stadiul initial momentele de cîmp și reazeme sunt (fig.3.15b):

$$M_A(\zeta_1) = 0,0621 \text{ pl}^2; M_B(\zeta_1) = -0,0620 \text{ pl}^2$$

iar în faza finală, după ce s-a redus rigiditatea stîlpilor, mai mult ca cea a grinzi (fig.3.15c):

$$\bar{M}_A(\infty) = 0,0761 \text{ pl}^2; \bar{M}_B = -0,0489 \text{ pl}^2$$

Se constată că momentele din colțurile cadrului scăd în timp cu 23%, pe cînd cele din cîmp cresc tot cu 23%.

Rezultă că neomogenitatea structurii, cauzată de legarea unor elemente monolite cu altele prefabricate, duce la schimbări importante ale stării de eforturi.

3.4.3. Efectele schimbării schemei statice

a) Grinda continuă prefabricată. Cazul unei grinzi continue cu două deschideri egale realizate din două grinzi prefabricate asamblate prin monolitizare (fig.3.16a) pe reazemul central este studiat în /82/.

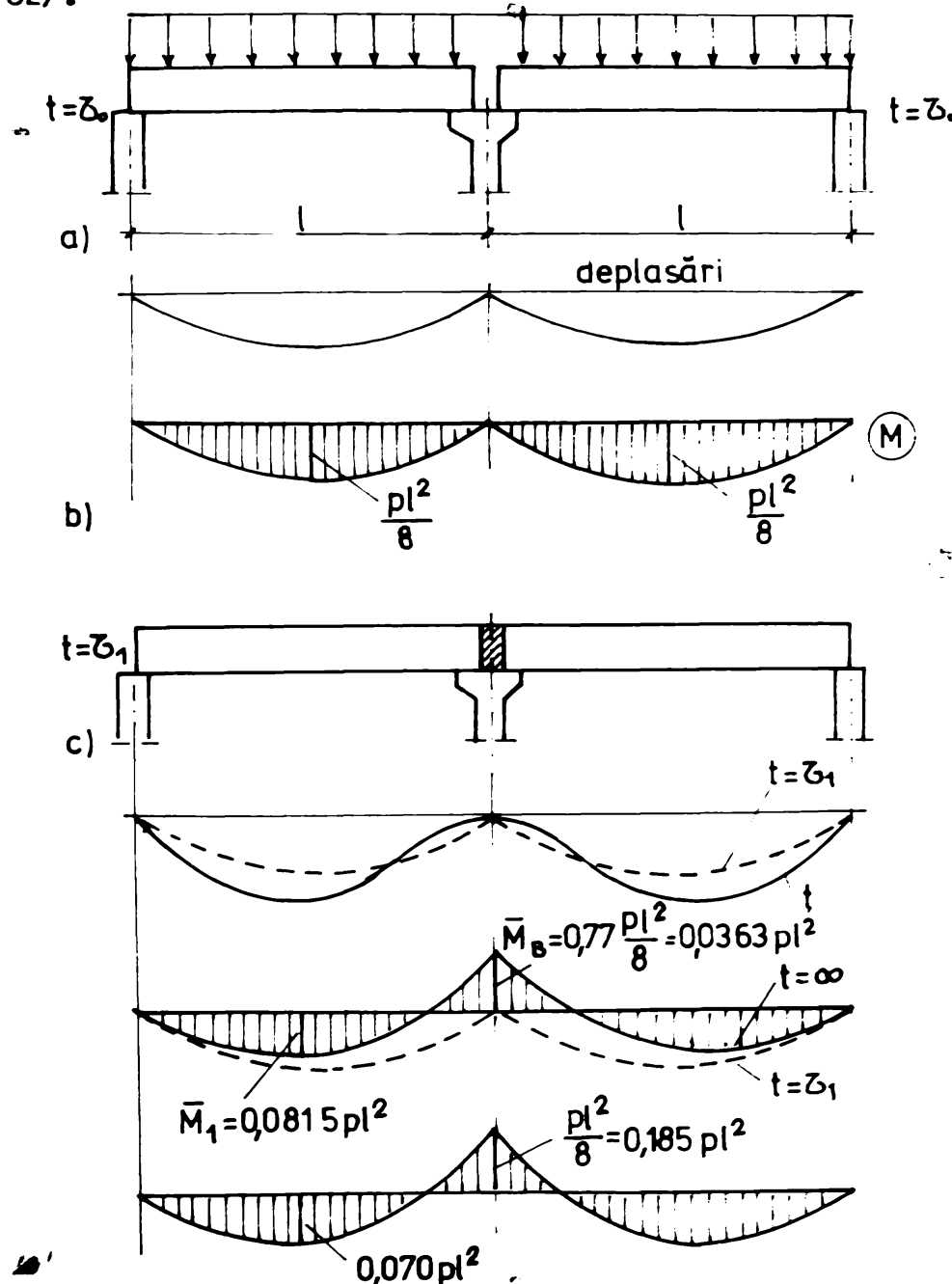
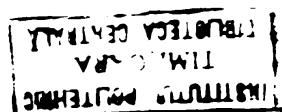


Fig.3.16.



Se disting următoarele etape:

- la timpul ζ_0 grinziile prefabricate se montează pe reazeme și, nefiind legate, lucrează sub greutatea proprie ca și două grinzi simplu rezemate. Din cauza efectelor curgerii lente deformațiile cresc (fig.3.16b);

- la timpul ζ_1 se realizează monolitizarea grinziilor (fig.3.16c), momentul de reazemul central fiind nul. În timp însă deformațiile cresc din cauza curgerii lente, dar la timpul t, structura lucrează ca o grindă continuă și momentul de pe reazem începe să crească. Valoarea finală a momentului de pe reazem, determinată în /82/, pentru $\bar{\varphi} = 2$, este:

$$\bar{M}_B = -0,77 \frac{pl^2}{8} = -0,0963 pl^2$$

iar momentele în cîmp:

$$\bar{M}_1 = 0,0815 pl^2$$

Dacă se calculează structura ca o grindă continuă, rezultă pe reazem:

$$M_B = -0,125 pl^2$$

iar în cîmp:

$$M_1 = 0,070 pl^2$$

Se constată că sub acțiunea greutății proprii și a deformațiilor de curgere lentă momentele de pe reazeme cresc, dar nu pot atinge valoarea calculată elastic, fiind cu 23% mai mici. Drepă urmare momentele în cîmp cînt mai mari cu 16% decît cele calculate pe schema finală de grindă continuă.

b) Cadrul portal cu stilpi monoliti și grindă prefabricată

Cadrul portal din figura 3.15a a fost studiat în /82/ ținîndu-se seama și de etapele de realizare. Se disting astfel următoarele secvențe (fig.3.17):

- la timpul ζ_0 se toarnă stilpii în poziție verticală (fig.3.17a)

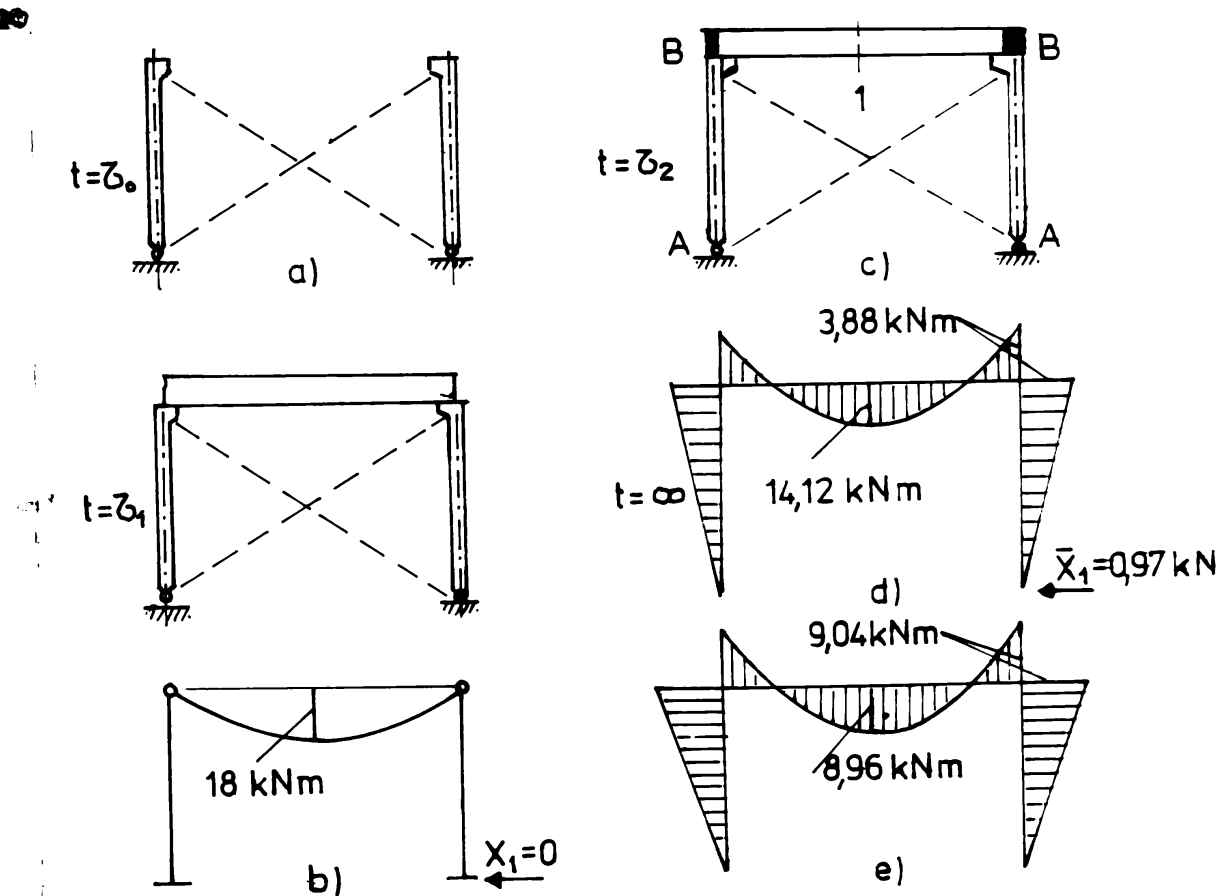


Fig.3.17.

- la timpul Z_1 se montează grinda prefabricată, care lucrează ca o grindă simplu rezemată, la un moment corespunzător în mijlocul deschiderii (fig.3.17b);

- la timpul Z_2 se realizează monolitizarea (fig.3.17c); din cauza că deformatiile cresc în continuare ca urmare a curgerii lente, structura lucrează ca un cadru. În /82/ se determină împingerea orizontală finală la valoarea:

$$X = 0,97 \text{ kN}$$

din care rezultă momentele încovoietoare (fig.3.17d):

$$\bar{M}_b = -3,88 \text{ kNm} \text{ și } \bar{M}_l = 14,12 \text{ kNm}$$

Diagrama de momente rezultă dintr-un calcul de cadru, fără a se ține seama de secvențele de construcție, este prezentată în figura 3.17e. Se constată că momentele de pe reazeme sunt mai mici cu 57%, pe cind momentul din cimp este mai mare cu 58%, față de calculul care ține seama de modul de execuție.

Din cele două exemple prezentate rezultă că efectul schimbării schemei statice, din cauza tehnologiei de execuție, este deosebit de important și nu poate fi neglijat în calculele de rezistență.

3.4.4. Efectele contractiei impiedicate

Efectele contractiei impiedicate sunt bine studiate pentru structurile din plăci. La structurile din bare există numai unele rezolvări pentru cazuri particulare.

a) Cadrul cotit din figura 3.18a este studiat în /65/ pentru o valoare finală a contractiei de $\varepsilon_{ct} = 3 \times 10^{-5}$. Diagrama de momente rezultată din contractie, este dată în fig. 3.18b; valoarea maximă din reazemul A este de același ordin de mărimea cu cea din încărcări (fig.3.18c) și astfel efectul contractiei nu poate fi neglijat.

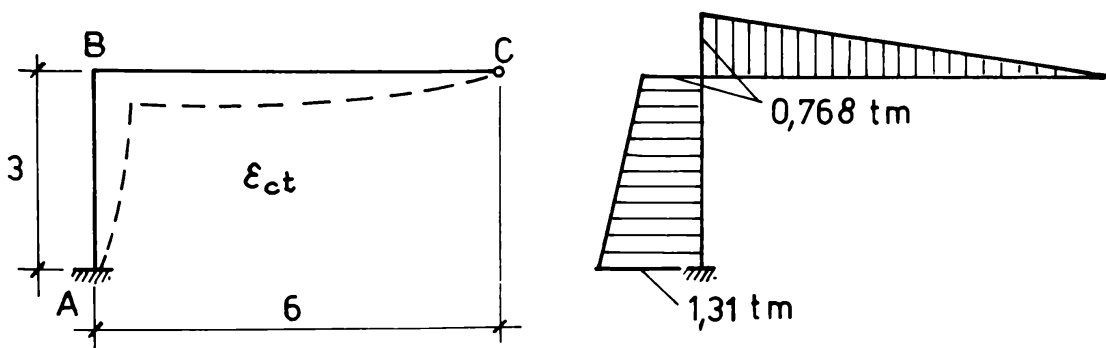


Fig.3.18.

b) Cadrul portal din figura 3.19a este studiat în /82/ pentru o contractie a grinzi de $\varepsilon_{ct} = 10x10^{-5}$.

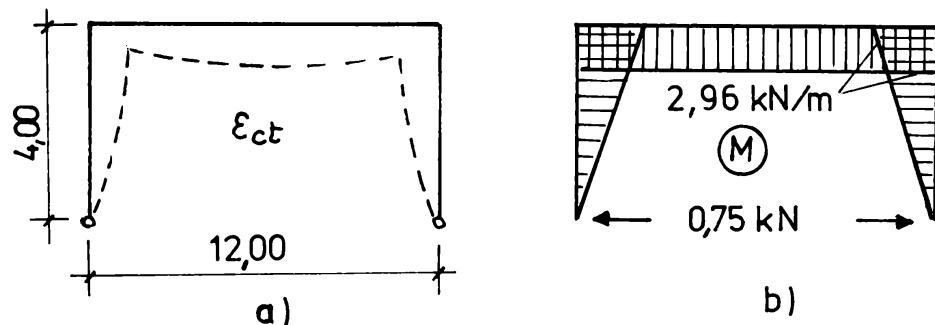


Fig.3.19.

Rezultă o împingere de 0,75 kN și diagrama de momente din figura 3.19b. Contractia reduce momentele din colțurile cadrului și mărește momentul din cimp de la 14,12 kNm (fig.3.19c) la 17,08 kNm, ceea ce reprezintă o creștere de 21%.

Capitolul 4

STATICA STRUCTURILOR VISCOELASTICE DIN BARE CU CARACTERISTICI DIFFERITE ALE CĂRGERII LENTE

4.1. Introducere

Statica structurilor se ocupă cu determinarea stării de eforturi și deplasări din forțele exterioare, variații de temperatură, cedări de reazeme etc. Pentru calculul acestor structuri se folosesc ipoteze simplificatoare ca cele ale deformațiilor mici, suprapunerea efectelor, considerarea materialului ca omogen, continuu, izotrop și având proprietăți elastice etc. La o examinare însă atentă a acestor ipoteze, majoritatea lor nu mai rămân valabile pentru structurile din beton armat: deformațiile cresc de 3-4 ori față de cele elastice și datorită efectului curgerii lente, apar deformații neliniare, în care suprapunerea efectelor nu mai este valabilă; din cauza fisurării unor porțiuni din elemente, materialul nu mai este continuu; din cauza modului de lucru și a executării la tempi diferiți, caracteristicile mecanice sunt diferite pentru fiecare element; peste deformațiile elastice se suprapun cele viscoase de curgere lentă etc. De aceea, în cele ce urmează se va face o analiză atentă a acestor ipoteze și vor fi reținute numai cele care corespund comportării reale.

4.2. Ipoteze de bază

4.2.1. Acțiuni de lungă durată

Asupra unei structuri acționează un ansamblu de forțe verticale, precum și deformații impuse. Forțele verticale provin din greutatea proprie a structurii, a finisajelor și din încărcările utile cu durată scurtă sau lungă de acțiune. Cele orizontale provin din încărcările corespunzătoare vîntului și seismului.

Deplasările impuse rezultă din tasări de reazeme, variații și temperatură, sau contracția betonului.

Deoarece în cele ce urmează se va analiza numai efectul deformațiilor viscoelastice ce sunt de lungă durată, dintre acțiunile asupra structurii vor fi reținute numai acțiunile permanente și cele temporare de lungă durată. Acțiunile orizontale din vînt și seism sunt de scurtă durată și nu sunt influențate de deformațiile viscoase. De asemenea variațiile de temperatură la valorile maxime și minime prescrise în normele au o perioadă scurtă de acțiune și eforturile nu pot fi influențate de curgerea lentă. În lucrare nu se iau în considerare deformații impuse din tasarea neuniformă a reazemelor, deoarece această problemă este bine rezolvată în literatura de specialitate și nu face obiectul studiului de față. Rezultă astfel că structurile analizate vor fi acționate din:

- greutatea proprie și încărcări utile de lungă durată, la nivelul valorilor normate, ca acțiuni verticale $\{P\}$ (fig.4.1a):

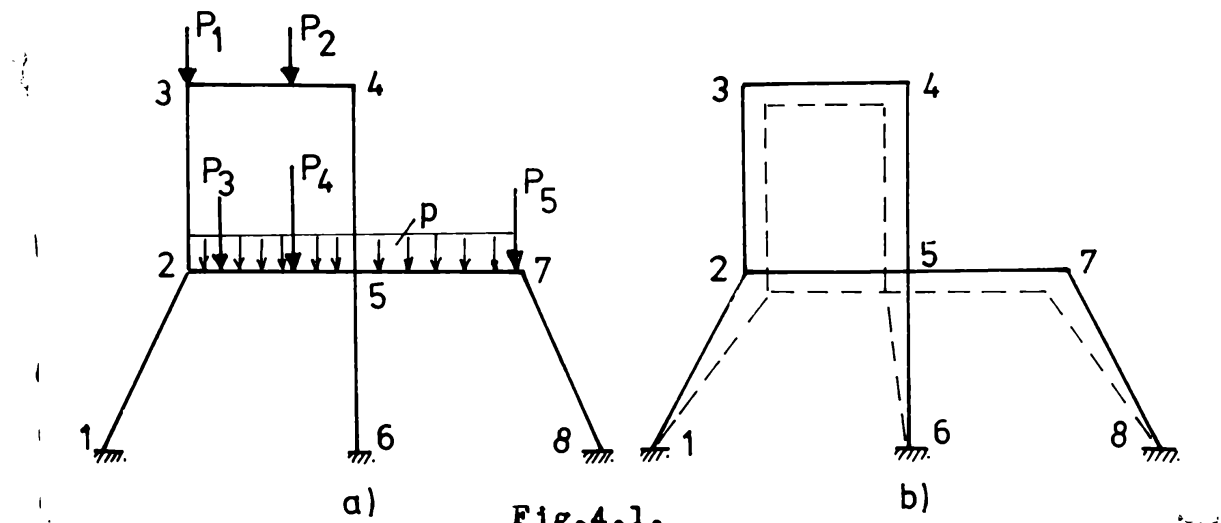


Fig.4.1.

$$\{P\} = \begin{Bmatrix} P_1 \\ P_2 \\ \vdots \\ P_m \end{Bmatrix} \quad (4.1a)$$

- deplasările impuse (atât deplasări cât și rotiri) provin din scurtarea barelor $\{U_c\}$ ca urmare a contractiei betonului (fig.4.1b):

$$\{U_c\} = \begin{Bmatrix} U_{c1} \\ U_{c2} \\ \vdots \\ U_{ck} \end{Bmatrix} \quad (4.1b)$$

unde k este numărul deplasărilor libere ale nodurilor structurii.

4.2.2. Mărimea deformațiilor

In calculul static obisnuit se consideră că deplasările ce se produc din acțiuni sunt mici și de aceea ecuațiile de echilibru pot fi scrise pe structura nedeplasată. Din cauza curgerii lente deplasările inițiale cresc de 3...4 ori. Totuși ele rămân mici și ecuațiile de echilibru vor fi scrise tot pentru situația inițială, nedeplasată.

4.2.3. Suprapunerea efectelor

In statica structurilor elastice se folosește principiul suprapunerii efectelor, care presupune că fiecare acțiune aplicată pe structură produce efecte proportionale cu mărimea sa, indiferent de celelalte acțiuni aplicate. Acest principiu este valabil în ipoteza micilor deformații ale structurii.

Așa cum s-a arătat la punctul 2.2.3, acest principiu este valabil și în cazul curgerii lente liniare, pentru solicitări ce nu depășesc jumătate din valoarea lor limită. Deoarece determinarea influenței curgerii lente se face pentru încărcările normale și numai pentru o parte din ele (cele de scurtă durată nu sunt luate în considerare), eforturile care sunt afectate de curgere lată sint relativ mici și poate fi aplicat, și în acest caz, principiul suprapunerii efectelor.

4.2.4. Proprietățile fizico-mecanice ale elementelor

Pentru calculul elastic al structurilor se folosește ipoteza că materialul este omogen, continuu și izotrop. Această ipoteză nu mai poate fi păstrată pentru calculul structurilor visco-elastice și trebuie considerată o variație a acestei proprietăți pentru fiecare element. Această variație provine din următoarele motive:

- la structurile monolite, tehnologia de execuție, prin turnarea și decofrarea diferențiată în timp a elementelor de structură;
- la structurile prefabricate, elementele sunt executate la tempi diferiți, iar asamblarea lor introduce zone monolite realizate mult mai târziu decât elementele prefabricate;
- la structurile compuse din elemente prefabricate și monolite, vîrstele betoanelor utilizate sunt de asemenea diferite.

O altă problemă importantă pentru calculul structurilor este cea a reducerii rigidității, ca urmare a fisurării elementelor în zonele intinse. O structură calculată exact ar trebui să țină seama de această situație și fiecare bară din structură ar trebui să fie introdusă cu rigiditatea ei reală, variabilă în lungul axei. Pentru a face acest lucru ar trebui cunoscute eforturile exacte și cum acestea nu se cunosc, calculul este iterativ. Un asemenea calcul este foarte dificil de efectuat în proiectare, chiar și astăzi cînd disponem de calculatoare electronice foarte puternice. Se admit și calcule simplificate, considerindu-se o rigiditate redusă globală pentru fiecare element. Calculurile curente însă se fac pentru o structură neafectată de fisurare.

Si în cazul elementelor viscoelastice, fisurarea zonei intinse va afecta deformațiile de curgere lentă, reducindu-le, și

va contribui la diferențierea caracteristicilor de curgere lenta a diferitelor elemente. Totuși folosirea în calculele curente pentru considerarea influenței curgerii lente și contractiei a unor rigidități reduse în urma fisurării duce la complicații de calcul insurmontabile deocamdată. De aceea, în cele ce urmează se consideră că elementele structurii nu sunt fisurate. Această ipoteză simplificatoare se bazează și pe constatarea că încărcările de lungă durată la care se manifestă efectul curgerii lente renrezintă numai o parte din încărcările totale. De aceea nu toate elementele structurii lucrează la aceste acțiuni în stare fisurată.

Prin urmare pentru calculul structurilor viscoelastice trebuie dezvoltată o metodă care să țină seama de proprietățile fizico-mecanice (modulul de elasticitate, caracteristica curgerii lente, coeficient de îmbătrînire) $\{M_{ij}\}$ diferite pentru fiecare element (fig.4.2):

$$\{M_{ij}\} = \begin{Bmatrix} E_{ij} \\ \varphi_{ij} \\ \alpha_{ij} \end{Bmatrix} \quad (4.2)$$

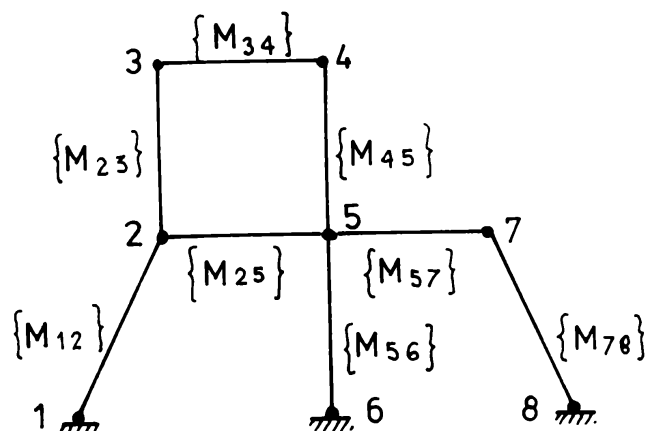


Fig.4.2.

4.3. Relațiile dintre tensiuni și deformații

4.3.1. Ipoteze de bază

Așa cum s-a arătat la punctul 2.2.5, relațiile dintre tensiuni și deformații reprezintă ecuațiile constitututive. Ele se vor trata în primul rînd pentru betonului simplu, trecindu-se apoi la betonul armat.

Se admit următoarele ipoteze:

- pentru acțiunile initiale, este valabilă proporționalitatea dintre tensiuni și deformații (legea lui Hooke);
- pentru acțiunile de durată, există o proporționalitate între deformațiile elastice și cele de curgere lentă, solicitarea fiind în domeniul curgerii lente liniare;
- relațiile dintre tensiuni și deformații sunt valabile atât la întindere, cât și la compresiune;
- timpul origine $\bar{\tau}_0$ este considerat momentul cînd începează tratamentul de protecție al betonului și începe efectul de contracție;
- timpul $\bar{\tau}_1$ este cel corespunzător aplicării primei acțiuni iar $\bar{\tau}_i$, cel al aplicării acțiunii i .

Formulările prezentate în continuare vor introduce ipoteze suplimentare, necesare rezolvării problemei, care vor fi precizate în paragrafele respective.

4.3.2. Formulări analitice

4.3.2.1. Teoria generală a corpurilor viscoelastice

Acțiunile se aplică succesiv la timpii $\bar{\tau}_1, \bar{\tau}_2, \bar{\tau}_3, \dots, \bar{\tau}_k$ și produc tensiunile elastice (fig.4.3a):

- la timpul $\bar{\tau}_1$; $\bar{\sigma}_1 = \sigma_1$
- la timpul $\bar{\tau}_2$; $\bar{\sigma}_2 = \sigma_1 + \Delta\sigma_1$ (4.3)
- la timpul $\bar{\tau}_3$; $\bar{\sigma}_3 = \sigma_2 + \Delta\sigma_2 = \sigma_1 + \Delta\sigma_1 + \Delta\sigma_2$
- la timpul $\bar{\tau}_k$; $\bar{\sigma}_k = \sigma_{k-1} + \Delta\sigma_{k-1} = \sigma_1 + \Delta\sigma_1 + \Delta\sigma_2 + \dots + \Delta\sigma_{k-1}$

La timpul t , deformațiile produse de aceste acțiuni sunt (fig.4.3b)

- din $\tilde{\sigma}_1: \tilde{\epsilon}_1(t) = \frac{\tilde{\sigma}_1(\tilde{\sigma}_1)}{E(\tilde{\sigma}_1)} + \tilde{\sigma}_1(\tilde{\sigma}_1)C(t, \tilde{\sigma}_1)$
- din $\Delta\tilde{\sigma}_1: \Delta\tilde{\epsilon}_1(t) = \frac{\Delta\tilde{\sigma}_1(\tilde{\sigma}_2)}{E(\tilde{\sigma}_2)} + \Delta\tilde{\sigma}_1(\tilde{\sigma}_2)C(t, \tilde{\sigma}_2)$
- din $\Delta\tilde{\sigma}_2: \Delta\tilde{\epsilon}_2(t) = \frac{\Delta\tilde{\sigma}_2(\tilde{\sigma}_3)}{E(\tilde{\sigma}_3)} + \Delta\tilde{\sigma}_2(\tilde{\sigma}_3)C(t, \tilde{\sigma}_3)$ (4.4)
- din $\Delta\tilde{\sigma}_{k-1}: \Delta\tilde{\epsilon}_{k-1}(t) = \frac{\Delta\tilde{\sigma}_{k-1}(\tilde{\sigma}_k)}{E(\tilde{\sigma}_k)} + \Delta\tilde{\sigma}_{k-1}(\tilde{\sigma}_k)C(t, \tilde{\sigma}_k)$

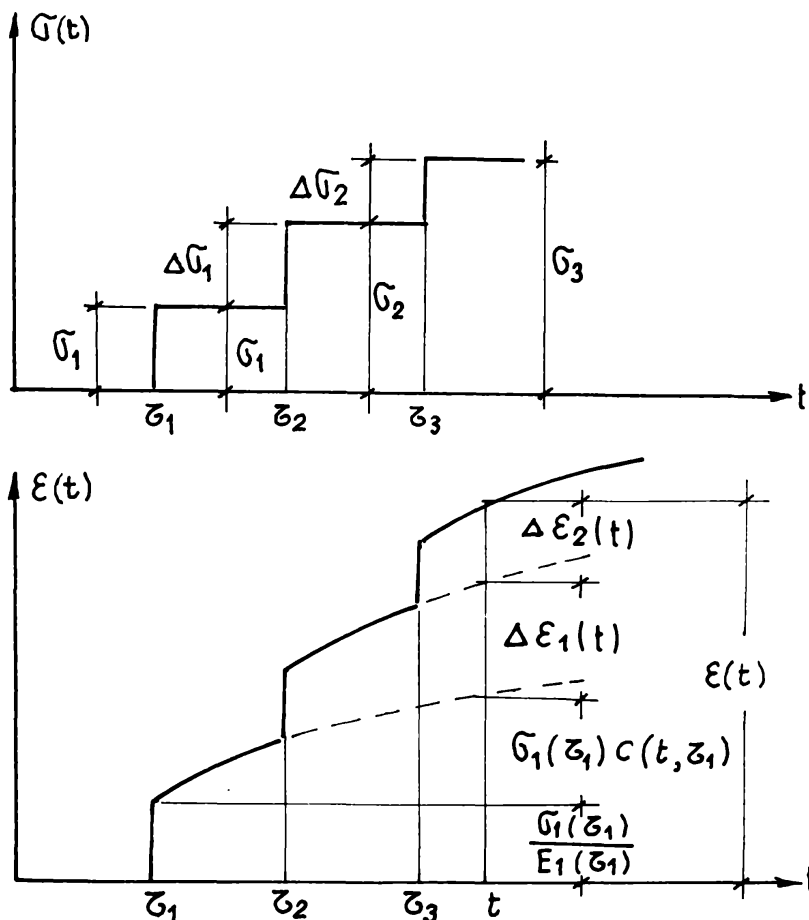


Fig.4.3.

In relațiile (4.4) primul termen reprezintă deformația elastică instantanee iar al doilea, cea de curgere lentă. $C(t, \tilde{\sigma}_k)$ este măsura curgerii lente, definită la pct.2.4.1.

Aplicând principiul suprapunerii efectelor, rezultă

$$\begin{aligned}\mathcal{E}(t) = & \sigma_1(\zeta_1) \left[\frac{1}{E(\zeta_1)} + C(t, \zeta_1) \right] + \Delta \sigma_1(\zeta_2) \left[\frac{1}{E(\zeta_2)} + C(t, \zeta_2) \right] + \dots \\ & + \Delta \sigma_2 \left[\frac{1}{E(\zeta_3)} + C(t, \zeta_3) \right] + \dots + \Delta \sigma_{k-1} \left[\frac{1}{E(\zeta_k)} + C(t, \zeta_k) \right]\end{aligned}\quad (4.5)$$

Dacă în locul unor creșteri discontinue ale acțiunilor de introduce o creștere continuă:

$$\Delta \sigma(\zeta) = \frac{d\sigma(\zeta)}{d\zeta} d\zeta \quad (4.6)$$

suma din relația (4.5) se transformă într-o integrală :

$$\mathcal{E}(t) = \sigma_1(\zeta_1) \left[\frac{1}{E(\zeta_1)} + C(t, \zeta_1) \right] + \int_{\zeta_1}^t \frac{d\sigma(\zeta)}{d\zeta} \left[\frac{1}{E(\zeta)} + C(t, \zeta) \right] d\zeta \quad (4.7)$$

Dacă în această relație se înlocuiește măsura curgerii lente prin caracteristica curgerii lente, rezultă folosind relația (2.16):

$$\mathcal{E}(t) = \frac{\sigma_1(\zeta_1)}{E(\zeta_1)} \left[1 + \varphi(t, \zeta_1) \right] + \int_{\zeta_1}^t \frac{d\sigma(\zeta)}{d\zeta} \frac{1 + \varphi(t, \zeta)}{E(\zeta)} d\zeta \quad (4.8)$$

Ecuatiile (4.7) și (4.8) sunt ecuații integrale de tip Volterra și reprezintă forma cea mai generală pentru studiul structurilor viscoelastice. Dar dificultățile de rezolvare sunt extrem de mari, existând puține soluții. De aceea s-au introdus ipoteze simplificatoare suplimentare, care au condus la unele formulări mai simple, ce vor fi prezentate în paragrafele următoare.

4.3.2.2. Formularea Dischinger (teoria eredității)

A fost formulată de Dischinger în 1937 /37/ pe baza observațiilor experimentale ale lui Whitney din (1932). Este cea mai cunoscută și utilizată teorie pentru calculul structurilor.

Pe lîngă ipotezele prezentate mai înainte, se admite și ipoteza paralelismului curbelor de curgere lentă. Astfel, în fig. 4.4. sunt trasate curbele măsurării curgerii lente. Se observă că viteza de dezvoltare a deformațiilor de curgere lentă (tangenta la curbă) este independentă de vîrstă betonului în momentul încăr-

cărui (suprafețele hagurate sunt congruente).

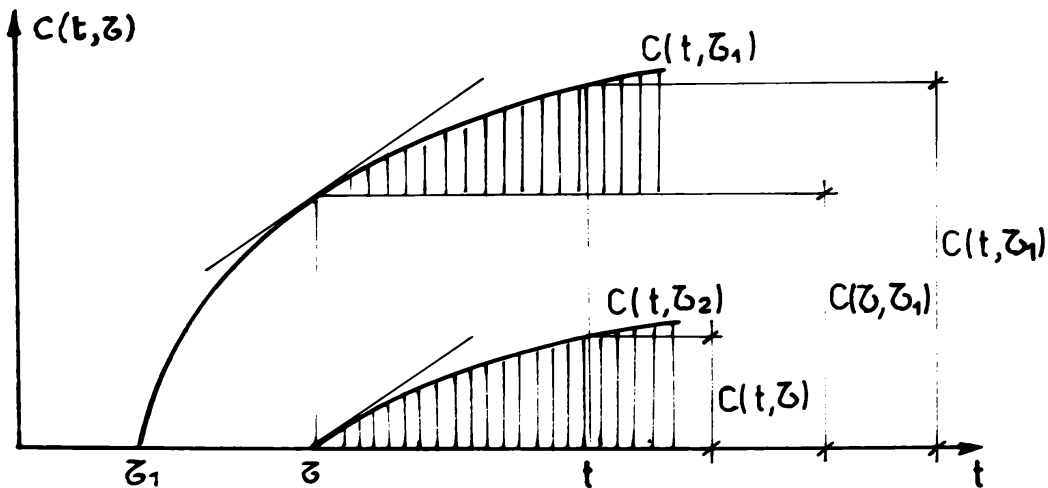


Fig.4.4.

Considerind timpul \bar{z}_1 drept origine pentru încărcare, rezultă:

$$C(t, z) = C(t, \bar{z}_1) - C(\bar{z}, \bar{z}_1) \quad (4.9)$$

unde

- $C(t, z)$ este măsura curgerii lente la timpul t , pentru o încărcare aplicată la timpul \bar{z}_1 ;
- $C(\bar{z}, \bar{z}_1)$ este măsura curgerii lente la timpul \bar{z} pentru o încărcare aplicată la timpul \bar{z}_1 .

Tinând seama de relația (2.16) rezultă:

$$\frac{\varphi(t, z)}{E(z)} = \frac{\varphi(t, \bar{z}_1) - \varphi(\bar{z}, \bar{z}_1)}{E(\bar{z}_1)} \quad (4.10)$$

Introducind (4.10) în (4.8), rezultă:

$$\mathcal{E}(t) = \frac{E(\bar{z}_1)}{E(\bar{z}_1)} \left[1 + \varphi(t, \bar{z}_1) \right] + \frac{1}{E(\bar{z}_1)} \int_{\bar{z}_1}^t \frac{dE(\bar{z})}{d\bar{z}} \left[\frac{E(\bar{z}_1)}{E(\bar{z})} + \varphi(t, \bar{z}_1) - \varphi(\bar{z}, \bar{z}_1) \right] d\bar{z} \quad (4.11)$$

Dacă se admite că modulul de elasticitate variază în timp după relația (vezi capitolul 2, relația (2.65)):

$$\frac{E(\bar{z})}{E(\bar{z}_1)} = \frac{E(\bar{z}_1)}{1 - k \varphi(\bar{z}, \bar{z}_1)} \quad (4.12)$$

unde k este un coeficient numeric, determinat experimental, rezultă din (4.11):

$$\mathcal{E}(t) = \frac{\sigma(\zeta_1)}{E(\zeta_1)} [1 + \varphi(t, \zeta_1)] + \frac{\sigma(t) - \sigma(\zeta_1)}{E(\zeta_1)} [1 + \varphi(t, \zeta_1)] - \frac{1+k}{E(\zeta_1)} \int_{\zeta_1}^t \frac{d\sigma(\zeta)}{d\zeta} \varphi(\zeta, \zeta_1) d\zeta \quad (4.13)$$

Se obține astfel relația simplificată /5/

$$\mathcal{E}(t) = \frac{\sigma(t)}{E(\zeta_1)} [1 + \varphi(t, \zeta_1)] - \frac{1+k}{E(\zeta_1)} \int_{\zeta_1}^t \frac{d\sigma(\zeta)}{d\zeta} \varphi(\zeta, \zeta_1) d\zeta \quad (4.14)$$

Ecuatiile (4.11) și (4.14) reprezentă două variante ale ecuației constitutive pentru betonul simplu, scrise sub formă integrală (ecuații de tip Volterra), în formularea teoriei eredității.

In teoria structurilor elasto-viscoase se utilizează și forme diferențiale. Astfel, pentru o integrală de forma:

$$I = \int_{\zeta_1}^t F(t, \zeta) d\zeta$$

se știe că

$$\frac{dI}{dt} = F(t, t) + \int_{\zeta_1}^t \frac{dF(t, \zeta)}{dt} dt$$

Aplicând această operație ecuației (4.11) rezultă:

$$\frac{d\mathcal{E}(t)}{dt} = \frac{1}{E(t)} \frac{d\sigma(t)}{dt} + \frac{\sigma(t)}{E(\zeta_1)} \frac{d\varphi(t, \zeta_1)}{dt} \quad (4.15)$$

Dacă aceeași operație se aplică relației (4.14) se obține

$$\frac{d\mathcal{E}(t)}{dt} = \frac{1-k\varphi(t, \zeta_1)}{E(\zeta_1)} \frac{d\sigma(t)}{dt} + \frac{\sigma(t)}{E(\zeta_1)} \frac{d\varphi(t, \zeta_1)}{dt} \quad (4.16)$$

Ecuatiile (4.15) și (4.16) reprezentă variantele diferențiale ale ecuațiilor constitutive, utilizate în unele cazuri pentru calculul structurilor viscoelastice.

4.3.2.3. Formularea Alexandrovski (teoria eredității modificate /5/)

Deoarece în formularea mai corectă a variației curbelor de curgere lentă, dată de Arutiunian (paragraful 2.4.3) nu se mai păstrează paralelismul curbelor, Alexandrovski (prezentată după /65/) a propus o variantă modificată a metodei Dischinger. Astfel, în figura 4.5, construită în ipoteza neparalelismului curbelor de curgere lentă, se duce din punctul t de pe curba $C(t, \zeta)$ o curbă paralelă

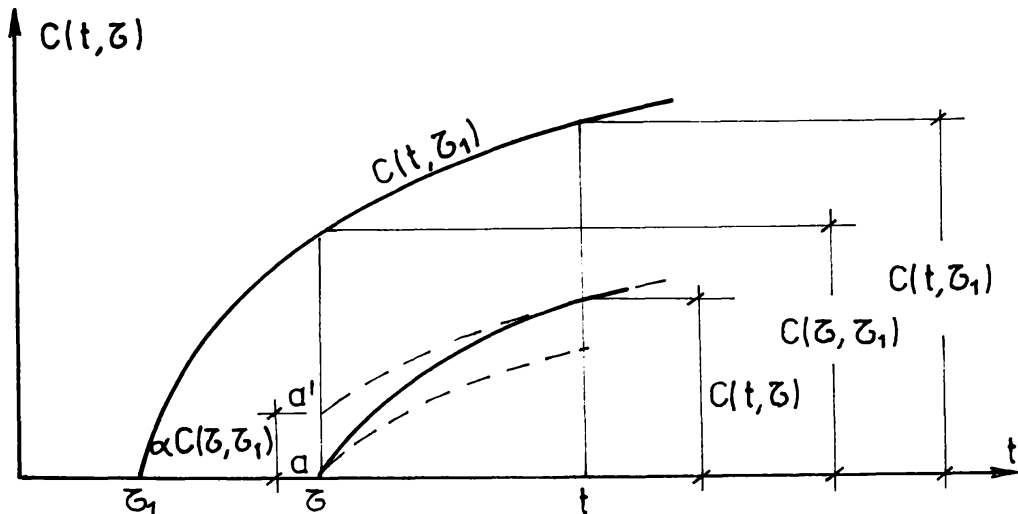


Fig.4.5.

cu $C(t, \bar{z}_1)$ care intersectează dreapta $t = \bar{z}$ în punctul a' . Notând distanța $aa' = \alpha C(\bar{z}, \bar{z}_1)$ unde α este un coeficient ce se determină din valorile experimentale, rezultă în locul relației (4.9), bazate pe paralelismul curbelor, relația:

$$C(t, \bar{z}) = C(t, \bar{z}_1) - C(\bar{z}, \bar{z}_1) + \alpha C(\bar{z}, \bar{z}_1) = C(t, \bar{z}_1) - (1-\alpha)C(\bar{z}, \bar{z}_1) \quad (4.17)$$

Cu ajutorul acestei valori modificate, relațiile deduse în formularea Dischinger devin:

- în formularea integrală, relația (4.11) devine:

$$\mathcal{E}(t) = \frac{G(\bar{z}_1)}{E(\bar{z}_1)} \left[1 + \varphi(t, \bar{z}_1) \right] + \frac{1}{E(\bar{z}_1)} \int_{\bar{z}_1}^t \frac{dG(\bar{z})}{d\bar{z}} \left[\frac{E(\bar{z}_1)}{E(\bar{z})} + \varphi(t, \bar{z}_1) - (1-\alpha)\varphi(\bar{z}, \bar{z}_1) \right] d\bar{z} \quad (4.18a)$$

iar relația (4.14) se transformă în:

$$\mathcal{E}(t) = \frac{G(t)}{E(\bar{z}_1)} \left[1 + \varphi(t, \bar{z}_1) \right] - \frac{1-\alpha+\alpha}{E(\bar{z}_1)} \int_{\bar{z}_1}^t \frac{dG(\bar{z})}{d\bar{z}} \varphi(\bar{z}, \bar{z}_1) d\bar{z} \quad (4.18b)$$

- în formularea diferențială, relația (4.15) devine:

$$\frac{d\mathcal{E}(t)}{dt} = \left[\frac{1}{E(t)} + \alpha \varphi(t, \bar{z}_1) \right] \frac{dG(t)}{dt} + \frac{G(t)}{E(\bar{z}_1)} \frac{d\varphi(t, \bar{z}_1)}{dt} \quad (4.19a)$$

iar relația (4.16) se transformă în:

$$\frac{d\mathcal{E}(t)}{dt} = \frac{1-(k-\alpha)\varphi(t, \bar{z}_1)}{E(\bar{z}_1)} \frac{dG(t)}{dt} + \frac{G(t)}{E(\bar{z}_1)} \quad (4.19b)$$

Teoria eredității modificate este elegantă cu expunere, dar așa cum afirmă Livșit /65/ lipsesc date experimentale suficiente pentru calculul coeficientului α . Pentru calculele practice Livșit propune $\alpha = 0,45 \dots 0,5$.

4.3.3. Formulări analitice aproximative

4.3.3.1. Metoda modulului redus

Deoarece rezolvarea ecuațiilor diferențiale sau integrale prezentate mai înainte este foarte dificilă, s-au propus și metode analitice aproximative. Una din acestea (cea mai simplă) este metoda modulului redus.

Dacă betonul este solicitat de o încărcare constantă în timp $d\sigma/d\epsilon=0$, din relația (4.11) rezultă:

$$\epsilon(t) = \frac{\sigma(\epsilon_1)}{E(\epsilon_1)} \left[1 + \varphi(t, \epsilon_1) \right] \quad (4.20)$$

care poate fi scrisă sub forma:

$$\epsilon(t) = \frac{\sigma(\epsilon_1)}{E_r(t, \epsilon_1)} \quad (4.21)$$

unde:

$$E_r(t, \epsilon_1) = \frac{E(\epsilon_1)}{1 + \varphi(t, \epsilon_1)} \quad (4.22)$$

este modulul de elasticitate redus. Utilizarea acestui modul redus în calculul structurilor este corectă dacă starea de eforturi rămîne constantă în timp. Cum însă eforturile se schimbă în timp, chiar din cauza curgerii lente, metoda nu dă rezultate destul de exacte. De aceea au fost dezvoltate alte metode care corectează acest neajuns.

4.3.3.2. Formularea Trost-Bazant (teoria modulului redus

modificat) /17, 19, 82, 88, 90/.

Dacă elementul de beton este încărcat la timpul ϵ_1 , producindu-se tensiunea $\sigma(\epsilon_1)$, modulul de elasticitate redus, corespunzător timpului ϵ_1 , este $E_r(\epsilon_1)$. Dacă se produce variația în timp a stării de eforturi, deformațiile nu mai pot fi calculate cu modulul redus $E_r(\epsilon_1)$, pentru că modulul instantaneu s-a modificat,

betonul îmbătrînind. De aceea, pentru încărcările ulterioare timpului se introduce un modul de elasticitate redus modificat E_{rm} , ce ține seama de îmbătrînirea betonului.

Deformația specifică va fi:

$$\varepsilon(t) = \frac{\sigma(z_1)}{E_r(z_1)} + \frac{\sigma(t) - \sigma(z_1)}{E_{rm}(t, z_1)} \quad (4.33)$$

unde:

$$E_{rm} = \frac{E(z_1)}{1 + \alpha(t, z_1) \varphi(t, z_1)} \quad (4.34a)$$

cu notația

$$\alpha(t, z_1) = \frac{E(z_1)}{E(z_1) - E(t, z_1)} - \frac{1}{\varphi(t, z_1)} \quad (4.34b)$$

care este un coeficient de relaxare sau de îmbătrînire. În figura 4.6 este prezentat după /47/ acest coeficient. Se constată că după o perioadă relativ scurtă rămâne constant în timp. În tabelul 4.1. sunt date, /82/, valorile calculate de Bazant. Se observă că pentru cazuri curente (coeficienți de curgere lentă, încărcare și durată de acțiune normale), variația lui α este mică, cuprinsă între 0,8 și 1,0.

Astfel, în locul ecuațiilor integrale de tip Volterra se utilizează ecuația mult mai simplă:

$$\varepsilon(t) = \frac{\sigma(z_1)}{E(z_1)} [1 + \varphi(t, z_1)] + \frac{\sigma(t) - \sigma(z_1)}{E(z_1)} [1 + \alpha(t, z_1) \varphi(t, z_1)] \quad (4.35)$$

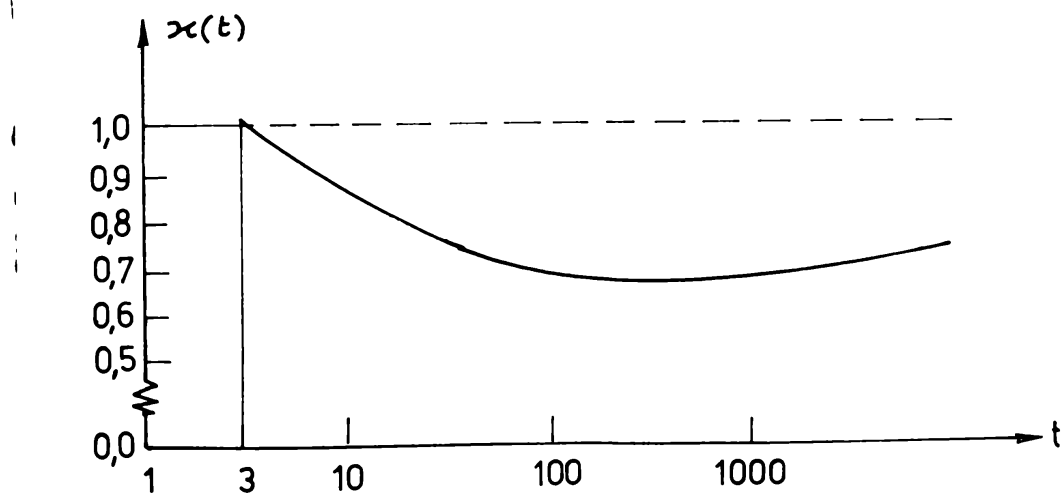


Fig.4.6.

Dacă se compară relația (4.35) cu ecuațiile (4.11), (4.14) se constată că simplificarea introdusă de Trost și Bazant constă în aproximarea integralei care ține seamă de variația în timp a deformației specifice, cu o expresie algebrică, care face mult mai ușor de aplicat această metodă în calculele statice.

Valorile coeficientului φ

Tabelul 4.1.

$t - \zeta_1$ zile	$\bar{\varphi}$	χ			
		10^0	10^2	10^3	10^4
10^1	0,5	0,525	0,804	0,811	0,809
	1,5	0,720	0,826	0,825	0,820
	2,5	0,774	0,842	0,837	0,830
	3,5	0,806	0,856	0,848	0,839
10^2	0,5	0,505	0,888	0,916	0,915
	1,5	0,739	0,919	0,932	0,928
	2,5	0,804	0,935	0,943	0,938
	3,5	0,839	0,946	0,951	0,946
10^3	0,5	0,511	0,912	0,973	0,981
	1,5	0,732	0,943	0,981	0,985
	2,5	0,795	0,956	0,985	0,988
	3,5	0,830	0,964	0,987	0,990
10^4	0,5	0,501	0,899	0,976	0,994
	1,5	0,717	0,934	0,983	0,995
	2,5	0,781	0,949	0,986	0,996
	3,5	0,818	0,958	0,989	0,997

4.3.3.3. Metoda tensiunilor de curgere lentă medii

Metoda este utilizată curent la calculul elementelor de beton precomprimat și stă la baza calculului deformațiilor de durată ale betonului în proiectul de standard 1007/0-90 /104/. Ea a fost aplicată în /82/ cu rezultate bune și la calculul structurilor.

Simplificările admise de această metodă constau din utilizarea unor valori medii pentru tensiunile și modulul de elasticitate (fig.4.7). Astfel, coarda se înlocuiește cu secanta.

Relația deformație-tensiune devine:

$$\varepsilon(t) = \frac{\sigma(\zeta_1)}{E(\zeta_1)} + \frac{\sigma(t) - \sigma(\zeta_1)}{Em(t, \zeta_1)} + \frac{\sigma(t) + \sigma(\zeta_1)}{2Em(t, \zeta_1)} \varphi(t, \zeta_1) \quad (4.36a)$$

- 106 -

unde

$$E_m(t, \zeta_1) = \frac{E(t, \zeta_1) + E(\zeta_1)}{2}$$

4.36b)

Metoda dă rezultate bune dacă variația în timp a tensiunilor nu este prea mare.

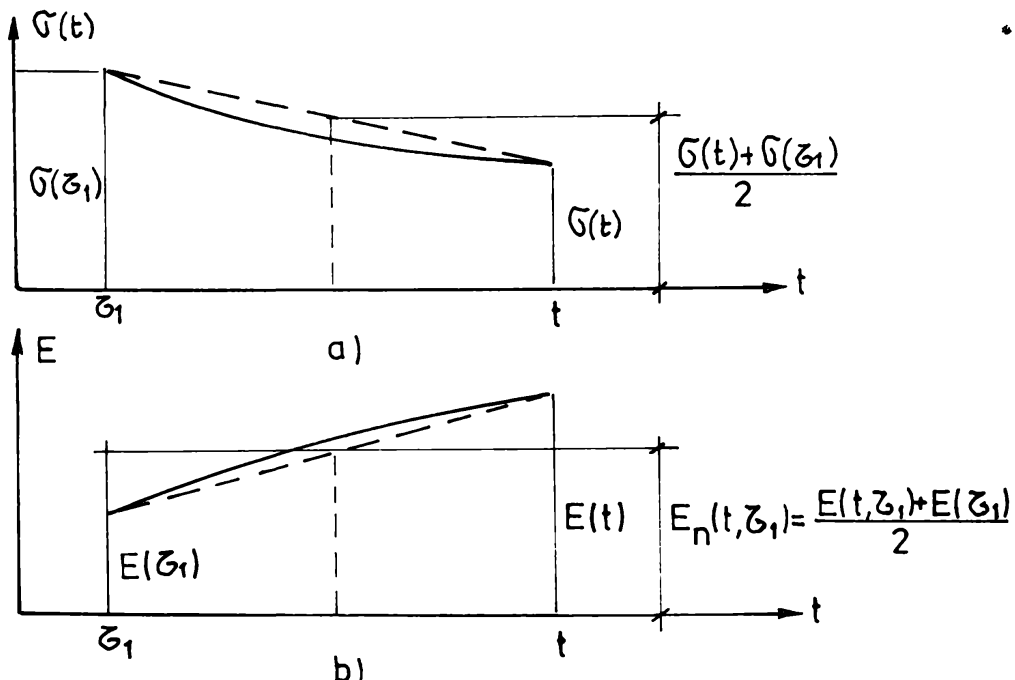


Fig.4.7.

4.3.4. Formulări numerice

4.3.4.1. Solutii numerice pentru ecuatii Volterra /34/

Fie ecuația de tip Volterra (4.8) care poate fi scrisă și sub forma:

$$\mathcal{E}(t) = \mathcal{E}(\zeta_1) [1 + \varphi(t, \zeta_1)] + \int_{\zeta_1}^t \mathcal{E}(\zeta) [1 + \varphi(t, \zeta)] d\zeta \quad (4.37)$$

Dacă se notează

$$h(t) = \mathcal{E}(\zeta_1) [1 + \varphi(t, \zeta_1)] \quad (4.38a)$$

$$K(t, \zeta) = 1 + \varphi(t, \zeta) \quad (4.38b)$$

Ecuatia (4.37) devine:

$$\mathcal{E}(t) = h(t) + \int_{\zeta_1}^t K(t, \zeta) \mathcal{E}(\zeta) d\zeta \quad (4.39)$$

Dacă se împarte intervalul de timp (ζ_1, t) în n -l părți

egale $\Delta \zeta$ (fig. 4.8) rezultă $\zeta_1 = \bar{\zeta}_1$ și $\zeta_n = t$ și astfel (4.39)

devine

$$\mathcal{E}(\zeta_n) = h(\zeta_n) + \int_{\zeta_1}^{\zeta_n} K(\zeta_n, \zeta) \mathcal{E}(\zeta) d\zeta \quad (4.40)$$

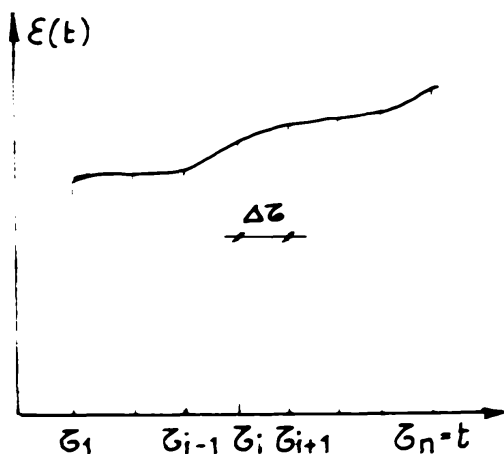


Fig.4.8.

Dacă pentru integrare se folosește metoda trapezului, rezultă:

$$\begin{aligned} \mathcal{E}(\zeta_n) &= h(\zeta_n) + \frac{1}{2} \sum_{i=1}^{n-2} [r'(\zeta_n, \zeta_i) \mathcal{E}(\zeta_i) + r'(\zeta_n, \zeta_{i+1}) \mathcal{E}(\zeta_{i+1})] \Delta \zeta + \\ &+ \frac{1}{2} [K(\zeta_n, \zeta_{n-1}) \mathcal{E}(\zeta_{n-1}) + K(\zeta_n, \zeta_n) \mathcal{E}'(\zeta_n)] \Delta \zeta \end{aligned} \quad (4.41)$$

Tinând seama că $\mathcal{E}'(\zeta_n)$ este cuprinsă în ambițiile termenii, rezultă:

$$\mathcal{E}(\zeta_n) = \frac{2h(\zeta_n) + K(\zeta_n, \zeta_{n-1}) \mathcal{E}(\zeta_{n-1}) \Delta \zeta + S}{2 - K(\zeta_n, \zeta_n) \Delta \zeta} \quad (4.42)$$

unde s-a introdus notația

$$S = \sum_{i=1}^{n-2} [K(\zeta_n, \zeta_i) \mathcal{E}'(\zeta_i) + K(\zeta_n, \zeta_{i+1}) \mathcal{E}'(\zeta_{i+1})] \Delta \zeta \quad (4.43)$$

Relația (4.12) este o ecuație de recurență, pentru că $\mathcal{E}(\zeta_n)$ se determină în funcție de $\mathcal{E}'(\zeta_{n-1})$ și astfel integrarea ecuației (4.39) se face prin metoda pas cu pas.

4.3.4.2. Soluții numerice pentru ecuația Dischinger /65/

Folosind aceeași împărțire a intervalului (\bar{z}_1, t) în $n-1$ intervale (fig.4.9) ecuația (4.14) poate fi scrisă sub forma

$$\mathcal{E}(\bar{z}_n) = \frac{\bar{E}(\bar{z}_n)}{E(\bar{z}_1)} [1 + \varphi(\bar{z}_n, \bar{z}_1)] - \frac{1+k}{E(\bar{z}_1)} \sum_{i=2}^n \int_{\bar{z}_{i-1}}^{\bar{z}_i} \frac{d\bar{G}(\bar{z})}{d\bar{z}} \varphi(\bar{z}, \bar{z}_1) d\bar{z} \quad (4.44)$$

Tinând seama că pe intervalul scurt $(\bar{z}_{i-1}, \bar{z}_i)$ atât \bar{G} cît și φ pot fi considerate ca variind liniar rezultă:

$$\int_{\bar{z}_{i-1}}^{\bar{z}_i} \frac{d\bar{G}(\bar{z})}{d\bar{z}} \varphi(\bar{z}, \bar{z}_1) d\bar{z} = [\bar{G}(\bar{z}_i) - \bar{G}(\bar{z}_{i-1})] \frac{\varphi(\bar{z}_i, \bar{z}_1) + \varphi(\bar{z}_{i-1}, \bar{z}_1)}{2} \quad (4.45)$$

și astfel:

$$\mathcal{E}(\bar{z}_n) = \frac{1}{E(\bar{z}_1)} \left\{ \bar{G}(\bar{z}_n) [1 + \varphi(\bar{z}_n, \bar{z}_1)] - (1+k) \sum_{i=2}^n [\bar{G}(\bar{z}_i) - \bar{G}(\bar{z}_{i-1})] \frac{\varphi(\bar{z}_i, \bar{z}_1) + \varphi(\bar{z}_{i-1}, \bar{z}_1)}{2} \right\} \quad (4.46)$$

Efectuind toate calculele, rezultă:

$$\mathcal{E}(\bar{z}_n) = \frac{1}{E(\bar{z}_1)} \left\{ \frac{1+k}{2} \sum_{i=2}^{n-1} [\bar{G}(\bar{z}_{i-1}) - \bar{G}(\bar{z}_{i+1})] \varphi(\bar{z}_i) + \bar{G}(\bar{z}_n) \left[1 + \frac{1-k}{2} \varphi(\bar{z}_n) + \frac{1+k}{2} \varphi(\bar{z}_{n-1}) \right] \right\} \quad (4.47)$$

relație care permite determinarea deformației la un timp $t = \bar{z}_n$, tinându-se seama de variația în timp a încărcării și a modulului de elasticitate a betonului.

4.3.4.3. Soluții numerice în metoda Trost-Bazant /82/

Soluțiile precedente, pentru a fi cît mai exacte, cer o împărțire a intervalului (\bar{z}_1, t) în cît mai multe diviziuni, ceea ce constituie un mare dezavantaj.

Metoda Trost-Bazant prezentată în paragraful 4.3.3.2, are dezavantajul că înlocuiește modul de elasticitate cu unul redus, calculat pe un interval mare și ca urmare, există diferențe față de soluția exactă, dacă valorile inițiale și cele finale sunt mult diferite.

Tinând seama de aceste observații, în /82/ s-a poposit o metodă numerică și pentru formularea Trost-Bazant, dar utilizând un număr mic de intervale (2 sau maximum 3, figura 4.9b).

Rezultă astfel relația (4.35) modificată:

$$\begin{aligned} \tilde{\epsilon}(t_4) = & \frac{\tilde{\sigma}(t_1)}{E(t_1)} [1 + \varphi(t_4, t_1)] + \frac{\tilde{\sigma}(t_2) - \tilde{\sigma}(t_1)}{E(t_1)} [1 + \alpha(t_2, t_1) \varphi(t_2, t_1)] + \\ & + \frac{\tilde{\sigma}(t_3) - \tilde{\sigma}(t_2)}{E(t_2)} [1 + \alpha(t_3, t_2) \varphi(t_3, t_2)] + \frac{\tilde{\sigma}(t_4) - \tilde{\sigma}(t_3)}{E(t_3)} [1 + \alpha(t_4, t_3) \varphi(t_4, t_3)] \quad (4.48) \end{aligned}$$

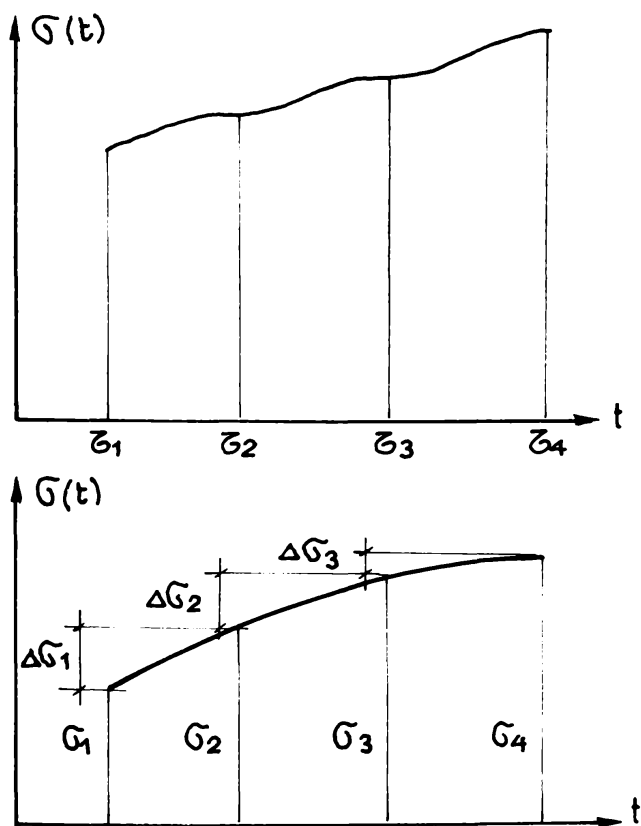


Fig.4.9.

Metoda are avantajul că corecția făcută prin intermediul coeficientului de relaxare α se face pe intervale mai scurte decât în formularea originală și deci rezultatul final este mai exact.

4.3.4.4. Solutii numerice în metoda tensiunilor de curgere lentă medie /82/

Precizia metodei tensiunilor de curgere lentă medie poate

fi îmbunătățită dacă se aleg intervale de variație mai scurte. Impărțind intervalul total în 2-3 diviziuni și aplicând relația (4.36a) pe aceste intervale, eroile făcute de înlocuirea coardei cu secanta sănt mult mai reduse și precizia de calcul mult mai bună.

4.3.4.5. Comparatie între diferitele metode de calcul

Pentru cazul unei bare căreia i s-a imprimat o deformare constantă în timp, în figura 4.10 se prezintă, după /82/, variația în timp a tensiunilor, calculate după mai multe metode. Se consideră drept cea mai corectă valoare curba 2, determinată analitic, ținându-se seamă și de componentele reversibile și ireversibile ale curgerii lente (vezi cap.2).

1. - Soluția Dischinger
2. Soluția Dischinger modificată
3. Soluția Trost Bazant cu modul redus modificat
4. Soluția integrare pas cu pas
5. Soluția modulului redus.

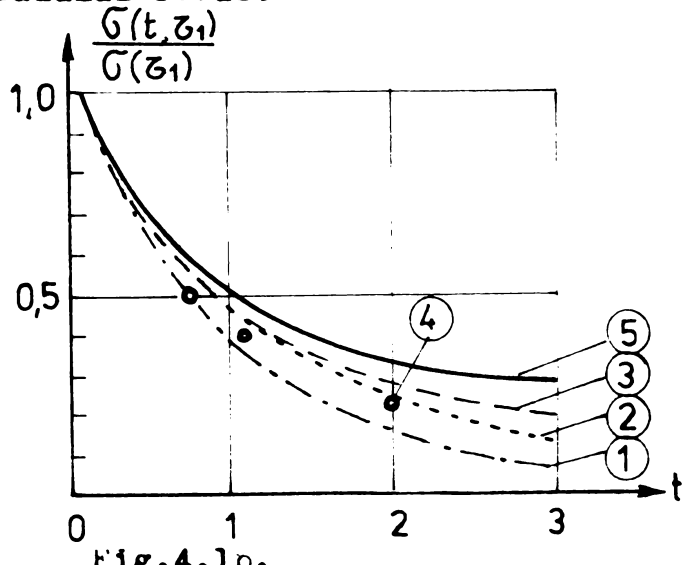


Fig.4.10.

Se constată că metoda analitică clasică a lui Dischinger dă valoarea cea mai mică, pe cînd utilizarea modulului redus, valoarea cea mai mare. Metoda modulului redus modificat, metoda curgerii lente medie precum și metoda pas cu pas dau valori apropiate de calculul exact.

4.4. Relații dintre eforturi și deplasări

4.4.1. Relații pentru betonul simplu

Fiecare metodă de calcul se bazează pe un tip de relație între eforturi și deplasări, care rezultă din relațiile constitutive între tensiuni și deformații. Trecerea de la relația tensiune-deformație la cea de efort-deplasare se face pe baza unor ipoteze suplimentare (ipoteza lui Bernoulli și a aderenței între armătură și beton).

Astfel relația tensiune-deformație este o opțiune de bază în cadrul fiecărei metode. Metodele de calcul elastice se bazează pe cunoscuta relație a lui Hooke:

$$\epsilon = \frac{1}{E} \sigma \quad (4.49)$$

Care în fond este un operator algebric care leagă tensiunea de deformație. În acest sens trebuie să fie scrise și relațiile constitutive din teoria viscoelasticității, dar cu operatori mai complicați. În paragrafele precedente s-au analizat mai multe formulări existente în literatură. Ele leagă tensiunile de deformații prin operatori analitici în metodele analitice sau operatori algebrici în metodele analitice aproximative sau cele numerice. De aceea este necesară o generalizare a cunoscutei relații a lui Hooke sub forma:

$$\epsilon(t) = \frac{1}{E(\zeta)} J[\sigma(t)] \quad (4.50)$$

Operatorul $J[...]$ din această relație a fost introdus în mecanica structurilor pentru prima dată în lucrările /53,54/.

Pe baza formulărilor prezentate anterior a fost întocmit tabelul 4.2., cuprinzînd principalele opțiuni posibile.

In tabelul 4.2. s-au introdus operatorii:

Operatorii

Tabelul 4.2.

Nr. crt	Formularea	$\mathcal{J}[\dots]$
1. Dischinger (4.11)	$(\dots)_1 [1 + \varphi(t, \zeta_1)] + \int_{\zeta_1}^t \frac{d(\dots)}{\zeta_1 d\zeta} \left[\frac{E(\zeta_1)}{E(\zeta)} + \varphi(t, \zeta_1) - \varphi(\zeta, \zeta_1) \right] d\zeta$	
2. Dischinger (4.14)	$(\dots)_1 [1 + \varphi(t, \zeta_1)] - (1+k) \int_{\zeta_1}^t \frac{d(\dots)}{\zeta_1 d\zeta} \varphi(\zeta, \zeta_1) d\zeta$	
3. Alexandrovski (4.18a)	$(\dots)_1 [1 + \varphi(t, \zeta_1)] + \int_{\zeta_1}^{\zeta} \frac{d(\dots)}{\zeta_1 d\zeta} \left[\frac{E(\zeta_1)}{E(\zeta)} + \varphi(t, \zeta_1) - (1-\alpha) \varphi(\zeta, \zeta_1) \right] d\zeta$	
4. Modul redus (4.22)	$(\dots)_1 [1 + \varphi(t, \zeta_1)]$	
5. Trost-Bazant (4.33)	$(\dots)_1 [1 + \varphi(t, \zeta_1)] + [(\dots) - (\dots)_1] [1 + \chi_1(t, \zeta_1) \varphi(t, \zeta_1)]$	
6. Tensiuni de curgere lentă medie (4.36a)	$(\dots)_1 + \frac{E(\zeta_1)}{E_m(t, \zeta_1)} [(\dots) - (\dots)_1 + \frac{(\dots) + (\dots)_1}{2} \varphi(t, \zeta_1)]$	

- $(\dots)_1$ se introduce $\tilde{\sigma}(\zeta_1)$ adică tensiunea de la începutul încărcării ζ_1 ;

- (\dots) , se introduce $\tilde{\sigma}(\zeta)$, adică tensiunea la un timp intermediar ζ ;

In mod similar se poate scrie și relația:

$$\tilde{\sigma}(t) = E(\zeta_1) L[\varepsilon(t)] \quad (4.51)$$

unde $L(\dots)$ este operatorul invers al lui $J(\dots)$ /53,54/:

$$L[\dots] = \mathcal{J}^{-1}[\dots] \quad (4.52)$$

De exemplu, dacă încărcarea este constantă în timp $\frac{d\tilde{\sigma}}{d\zeta} = 0$

$$\mathcal{J}[\dots] = (\dots) [1 + \varphi(t, \zeta_1)] \quad (4.53a)$$

$$L[\dots] = \frac{(\dots)}{1 + \varphi(t, \zeta_1)} \quad (4.53b)$$

Pentru încărcări variabile, relațiile sunt mai complicate, dar nu este necesar să fie deduse, nefiind utilizate în continuare explicit.

Pentru cazul unei bare comprimate, (fig.4.11) deformată elastică este:

$$du = \frac{N}{EA} ds ; \quad N = EA \frac{du}{ds} \quad (4.54a,b)$$

Folosind relațiile (4.49) și (4.51), pentru materiale viscoelastice

$$du(t) = \frac{\mathcal{J}[N(t)]}{E(\zeta_1) A} ds \quad (4.55a)$$

$$N(t) = E(\zeta_1) A \frac{d}{ds} \{L[du(t)]\} \quad (4.55b)$$

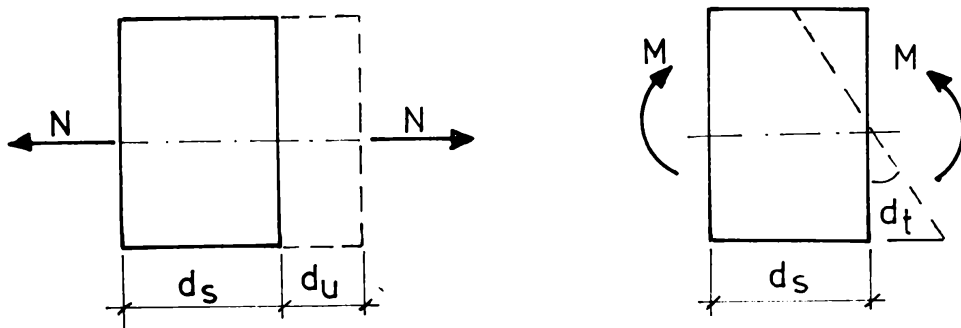


Fig. 4.11.

Pentru cazul unor acțiuni constante în timp, din (4.53) rezultă:

$$du(t) = \frac{N}{E(\zeta_1) A} [1 + \varphi(t, \zeta_1)] ds \quad (4.56a)$$

iar în cazul unor deplasări constante în timp:

$$N(t) = \frac{E(\zeta_1) A}{1 + \varphi(t, \zeta_1)} \frac{du}{ds} \quad (4.56b)$$

Pentru cazul unei bare incovoiate rotirea elastică (fig. 4.11b) este):

$$d\theta = \frac{M}{EI} ds ; \quad M = EI \frac{d\theta}{ds} \quad (4.57a,b)$$

iar pentru materiale viscoelastice rezultă:

$$d\theta(t) = \frac{\mathcal{J}[M(t)]}{E(\zeta_1) I} ds \quad (4.58a)$$

$$M(t) = E(\zeta_1) I \frac{d}{ds} \{L[d\theta(t)]\} \quad (4.58b)$$

Dacă acțiunile sunt constante în timp, din (4.53) rezultă:

$$d\theta(t) = \frac{M(t)}{E(\zeta_1)I} [1 + \varphi(t, \zeta_1)] ds \quad (4.59a)$$

iar dacă deplasările sunt constante în timp:

$$M(t) = \frac{E(\zeta_1)I}{1 + \varphi(t, \zeta_1)} \frac{d\theta}{ds} \quad (4.49b)$$

Dacă se compară relațiile pentru materialele elastice și cele viscoelastice rezultă aceeași structură, cu diferențe în ceea ce privește factorul timp.

Sub forma generală rezultă relațiile:

$$dU(t) = \frac{\mathcal{J}[S(t)]}{R(\zeta_1)} ds \quad (4.60a)$$

sau

$$S(t) = R(\zeta_1) \frac{d}{ds} \{L[dU(t)]\} \quad (4.60b)$$

unde:

- $U(t)$ este deplasarea generalizată (deplasare, rotire);
- $S(t)$, solicitarea barei (forță axială sau moment);
- $R(\zeta_1)$, rigiditatea barei (produsul dintre modulul de elasticitate și caracteristica geometrică a secțiunii).

4.4.2. Relații pentru betonul armat

In paragraful 4.3 s-au prezentat diferite formulări pentru relațiile tensiune-deformație ale betonului simplu și s-au indicat și moduri de rezolvare. Dacă se compară relațiile (4.55) și (4.58) cu (4.49) se constată că structura lor a rămas practic aceeași cind s-a trecut de la tensiuni-deformații la eforturi-deplasări, intervenind numai caracteristicile geometrice. De aceea boatele metodele de abordare analitice, exacte sau aproximative, precum și cele numerice, rămân valabile și cind se trece de la tensiuni la eforturi.

Influența curgerii lente asupra stării de tensiune și deformație este studiată în multe lucrări /12, 13/. Rezultatele

sint puse sub diferite forme analitice. Pentru a putea utiliza metodele prezentate in paragrafele precedente la calculul structurilor de beton armat, forma cea mai convenabila este de a introduce un coeficient de corectie a caracteristicii curgerii lente, de forma celui utilizat in formularea Trost-Bazant (vezi paragraful 4.3.3.2) pentru imbătrînirea betonului.

Dintre metodele prezentate mai sus, formularea lui Mayer /67/ este cea mai apropiata de cea necesara la calculul structurilor. Astfel, caracteristica curgerii lente a betonului armat $\varphi_a(t, \zeta_1)$ este pusă sub forma

$$\varphi_a(t, \zeta_1) = \gamma \varphi(t, \zeta_1) \quad (4.61)$$

unde $\varphi(t, \zeta)$ este caracteristica curgerii lente a betonului simplu, iar γ tine seama de efectul armaturii.

Pentru elementele de beton armat ce lucreaza in stadiul I (fară fisuri, figura 4.12a)

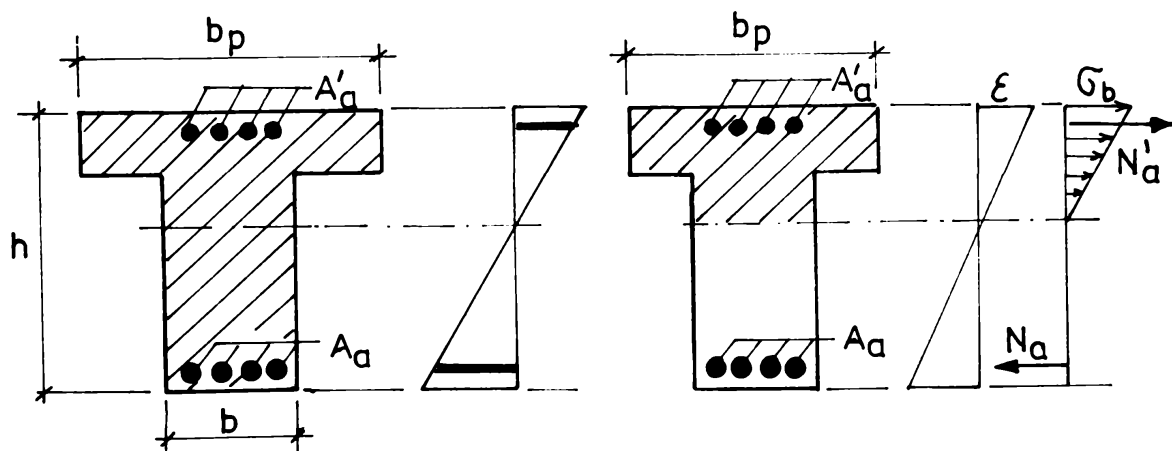


Fig.4.12

$$\gamma_I = \gamma_I^{(4)} d + \frac{4-\varphi}{40d} \quad (4.63)$$

in care

- β_I este coeficientul de corecție a curgerii lente a betonului simplu ținând seama de influența armăturii;
- $\beta_I^{(4)}$ același coeficient, determinat pentru armarea simplă și o curgere lentă $\varphi = 4$, obținut din figura 4.13a;
- d , coeficient de corecție pentru armarea zonei comprimate obținut din figura 4.13b;
- $\frac{4 - \varphi}{4\alpha d}$, coeficient care corectează valoarea lui β_I pentru alte valori ale caracteristicii curgerii lente.

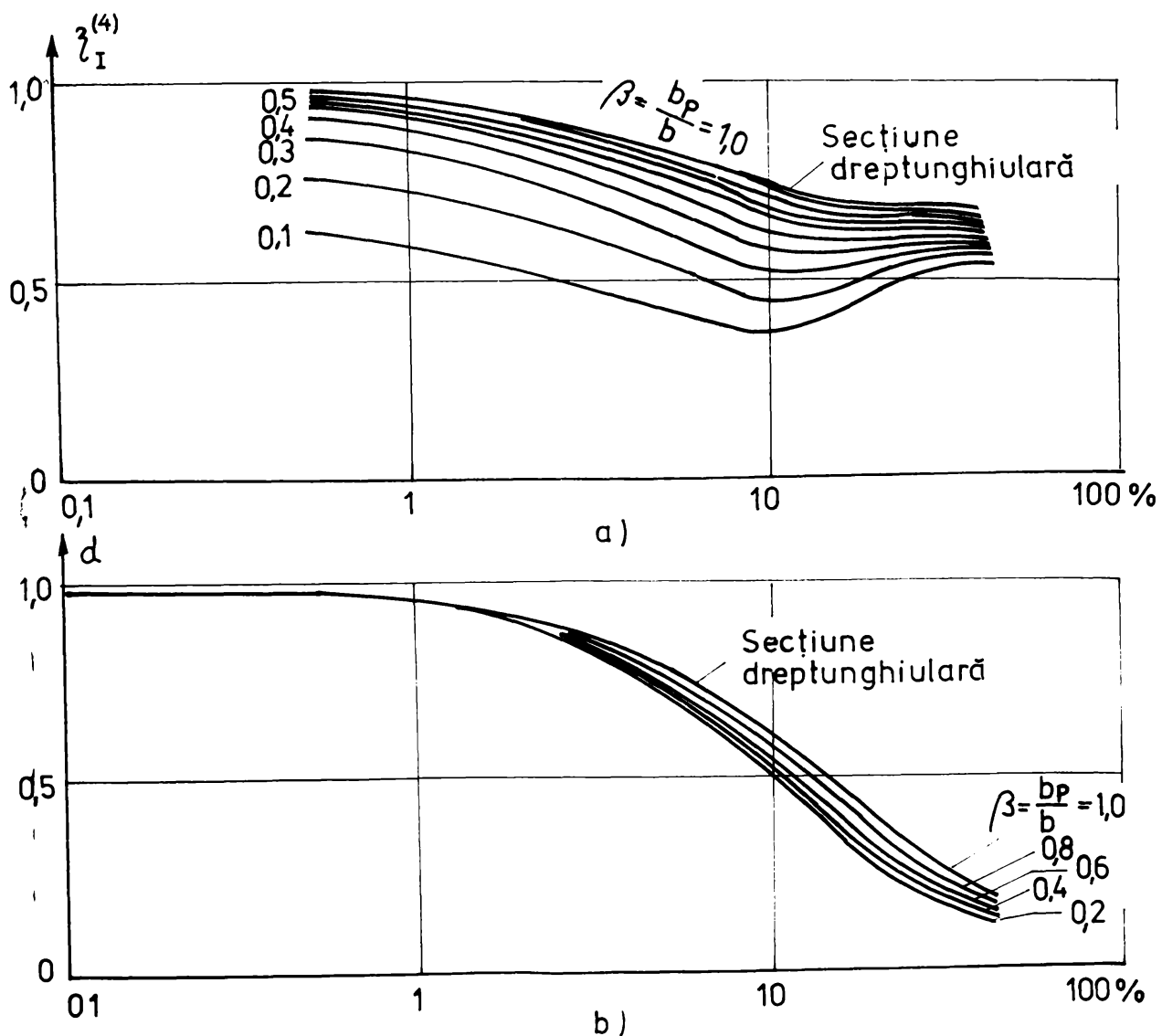


Fig.4.13.

Pentru elementele de beton armat ce lucrează în stadiul II cu fisuri (fig.4.12b), coeficientul γ_{II} poate fi calculat din relația aproximativă:

$$\gamma_{II} = \frac{1}{12} \sqrt{100 n \mu} - \frac{1}{1 + \frac{\mu}{\mu'}} \quad (4.64a)$$

unde:

$$n = \frac{E_a}{E_b} \quad (4.64b)$$

Astfel, pentru elementele de beton armat în operatorii $\mathcal{J}[\dots]$ prezentați în tabelul 4.2 se înlocuiește caracteristica curgerii lente a betonului simplu $\varphi(t, \zeta_1)$ cu cea a betonului armat $\varphi_a(t, \zeta_1)$.

4.5. Calculul deplasărilor viscoelastice

4.5.1. Principiul lucrului mecanic virtual

Fie elementul de structură din figura 4.14a acționat de sistemul de forțe $\{P(t)\}$

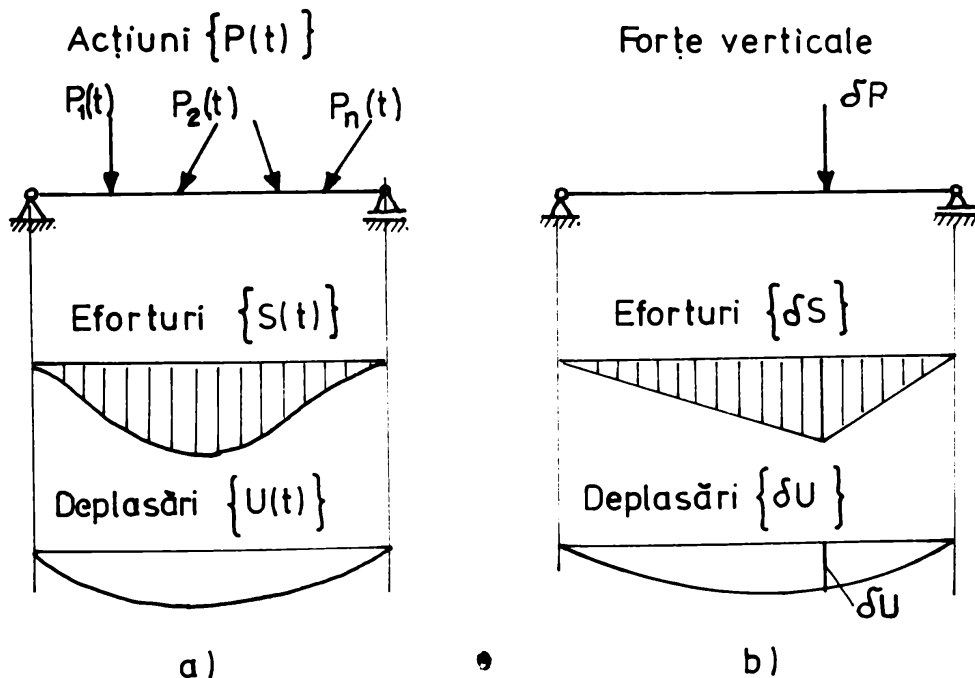


Fig.4.14.

$$\{P(t)\} = \begin{Bmatrix} P_1(t) \\ P_2(t) \\ \vdots \\ \vdots \\ P_n(t) \end{Bmatrix} \quad (4.65)$$

care își schimbă valorile în timp. Din aceste acțiuni rezultă eforturile $\{S(t)\}$

$$\{S(t)\} = \begin{Bmatrix} N(t) \\ M(t) \end{Bmatrix} \quad (4.66)$$

și ele variabile în timp, atât datorită încărcărilor, cât și a deformațiilor viscoase. Se menționează că din cele trei eforturi, moment, forță axială și forță tăietoare, s-au reținut numai primele două, pentru că la structurile din bare obișnuite, efectul forței tăietoare este redus. De asemenea, din acțiuni rezultă și deplasările

$$\{U(t)\} = \begin{Bmatrix} u(t) \\ w(t) \\ \theta(t) \end{Bmatrix} \quad (4.67)$$

Dacă la timpul t se aplică o forță virtuală P (fig.4.14b), rezultă eforturile virtuale:

$$\{\delta S\} = \begin{Bmatrix} \delta N \\ \delta M \end{Bmatrix} \quad (4.68)$$

și deplasările virtuale:

$$\{\delta U\} = \begin{Bmatrix} \delta u \\ \delta w \\ \delta \theta \end{Bmatrix} \quad (4.69)$$

Principiul lucrului mecanic virtual pentru sisteme conservative se enunță astfel /60, 61, 62/ :

O structură se află în echilibru, sub acțiunea unui sistem de forțe, dacă pentru orice forțe virtuale $\{\delta P\}$ lucrul mecanic complementar este egal cu energia potentială complementară virtuală. Rezultă astfel:

forțe și eforturi virtuale în echilibru

$$\{U(t)\}^T \{\delta P\} = \int_l \{dU(t)\}^T \{\delta S\} dl \quad (4.70)$$

deplasări reale compatibile.

Tinând seamă de relația (4.60a) rezultă:

$$\{U(t)\}^T \{\delta P\} = \frac{1}{R(z_1)} \int_l J[\{S(t)\}^T] \{\delta S\} dl \quad (4.71)$$

iar dacă se explicitează $\{S\}$ și $\{\delta S\}$ din relațiile (4.66), (4.68) rezultă:

$$\{U(t)\}^T \{\delta P\} = \frac{1}{E(\zeta_1)A} \int_{\ell} J[N(t)] \{\delta N\} d\ell + \frac{1}{E(\zeta_1)I} \int_{\ell} J[M(t)] \{\delta M\} dt \quad (4.72)$$

4.5.2. Expresia deplasărilor viscoelastice

Pentru calculul deplasărilor dintr-o structură viscoelastică se folosește principiul lucrului mecanic virtual prezentat în paragraful precedent. Astfel, în punctul și pe direcția deplasării căutate se aplică o forță virtuală unitară $\delta P=1$, din care rezultă eforturile:

$$\{\tilde{S}\} = \begin{Bmatrix} \tilde{N} \\ \tilde{M} \end{Bmatrix} \quad (4.73)$$

Din (4.71) se obține

$$\{U(t)\}^T = \frac{1}{R(\zeta_1)} \int_{\ell} J[S(t)] \tilde{S} d\ell \quad (4.74)$$

care este expresia deplasării căutate. Dacă se explicită $\{S\}$ rezultă:

$$\{U(t)\}^T = \frac{1}{E(\zeta_1)A} \int_{\ell} J[N(t)] \tilde{N} d\ell + \frac{1}{E(\zeta_1)I} \int_{\ell} J[M(t)] \tilde{M} d\ell \quad (4.75)$$

Din relația (4.75) se pot obține expresiile cunoscute.

Astfel, dacă structura este elastică, $E(\zeta_1) = E$, iar $J[\{S(t)\}^T] = \{S\}$ se obțin deplasările elastice:

$$\{U\}_{\ell}^T = \frac{1}{EA} \int_{\ell} N \tilde{N} d\ell + \frac{1}{EI} \int_{\ell} M \tilde{M} d\ell \quad (4.76)$$

Dacă eforturile interioare sunt constante în timp (cazul structurilor static determinante), operatorul $J(...)$ rezultă din relația (4.53a) și (4.75) devine

$$\{U(t)\}^T = \frac{1}{E(\zeta_1)A} \int_{\ell} N(\zeta_1) \tilde{N}[1 + \varphi(t, \zeta_1)] d\ell + \frac{1}{E(\zeta_1)I} \int_{\ell} M(\zeta_1) \tilde{M}[1 + \varphi(t, \zeta_1)] d\ell \quad (4.77)$$

și astfel se obține relația cunoscută

$$\{U(t)\}_{\ell}^T = \{U\}_{\ell}^T [1 + \varphi(t, \zeta_1)] \quad (4.78)$$

Relația (4.75) va permite calculul deplasărilor viscoelastice necesare pentru rezolvarea structurilor static nedeterminate. Ea reprezintă generalizarea, pentru deformații viscoelastice, a cunoșnutei relații Maxwell-Wohr pentru calculul deformațiilor elastice, /60, 61,62/.

4.6. Metode de calcul al structurilor viscoelastice

4.6.1. Elemente generale

Pentru structurile static nedeterminate trebuie să fie satisfăcute simultan:

- ecuațiile de echilibru static;
- ecuațiile de compatibilitate a deplasărilor;
- ecuațiile constitutive (relații deplasări-eforturi).

Între calculul structurilor elastice și cel al structurilor viscoelastice nu există deosebiri esențiale, intervenind în plus numai factorul timp. Astfel, în calculul elastic ecuațiile de echilibru, de compatibilitate se scriu pentru fază inițială a încărcării. Cum ecuațiile constitutive nu se schimbă în timp, soluțiile rămân valabile pentru orice moment al existenței structurii. În cazul structurilor viscoelastice, ecuațiile constitutive conțin și factorul timp și prin urmare eforturile determinante inițial se schimbă în timp.

Deoarece ecuațiile de echilibru și de compatibilitate a deplasărilor sunt, în principiu, același la structurile elastice și viscoelastice, principiile metodelor de calcul cunoscute în statica construcțiilor nu se schimbă. Structurile statice nedeterminate vor fi rezolvate introducând necunoscute eforturi $X(t)$ sau deplasări $U(t)$ care însă se vor determina folosind metoda separării variabilelor:

$$\begin{Bmatrix} x(t) \\ U(t) \end{Bmatrix} = \begin{Bmatrix} x \\ U \end{Bmatrix}^T \begin{Bmatrix} F_x(t) \\ F_u(t) \end{Bmatrix} \quad (4.79)$$

in care:

- necunoscutele $\{X\}$, $\{U\}$ se determină fie pentru faza inițială, $t=0$, fie pentru cea finală, $t=\infty$, fără a se ține seama de efectele viscoase, folosind metodele staticii structurilor elastice;

- funcția $\{F(t)\}$ ține seama de variația în timp a necunoscutelor statice și astfel cu ajutorul ei, poate fi determinată starea de eforturi și deformații în structură în orice moment al existenței ei. Ea va fi determinată cu ajutorul relațiilor stabilite în paragrafele precedente și calculul ei este scopul principal al lucrării de față.

In cele ce urmează se vor analiza cele două metode cunoscute din statica construcțiilor, metoda eforturilor și metoda deplasărilor, pentru a stabili care dintre ele este cea mai indicată a fi dezvoltată.

4.6.2. Principiile metodelor de calcul

4.6.2.1. Metoda eforturilor

Deoarece structura este static nedeterminată, se eliberează un număr suficient de legături interioare sau exterioare pînă ce structura devine static determinată. Necunoscutele problemei sunt forțele de legătură, care sunt în echilibru cu forțele exterioare. Din aceste forțe necunoscute și exterioare se calculează deplasările structurii în punctele caracteristice, unde au fost eliberate legăturile, folosind ecuațiile constitutive $\{U\} = f[\{S\}]$. Deoarece pe structura static determinată deplasările nu sunt continue, necunoscutele se vor determina din condițiile de compatibilitate care refac continuitatea deplasărilor. Astfel, dacă în situația inițială erau satisfăcute două tipuri de ecuații, ecuațiile de echilibru și cele constitutive, prin stabilirea unui set de valori $\{X(t)\}$ se

satisfac și al treilea set de ecuații, cele de compatibilitate.

4.6.2.2. Metoda deplasărilor

In metoda deplasărilor se aleg drept necunoscute deplasările nodurilor (rotiri și translații) astfel ca să fie satisfăcute ecuațiile de compatibilitate, precum și ecuațiile constitutive, scrise sub forma $\{S\} = f[\{U\}]$. Punând condiția initială că toate aceste deplasări sunt nule, se obține o structură de bază care este geometric determinată. Această structură satisfac două dintre cele trei tipuri de ecuații și anume ecuațiile de compatibilitate și ecuațiile constitutive. Necunoscutele problemei se determină din ecuațiile de echilibru static, obținindu-se un set de valori care satisfac toate cele trei condiții.

4.6.3. Căsiunea pentru metoda eforturilor

Deoarece nu există deosebiri esențiale între metodele staticii structurilor elastice și structurilor viscoelastice, pot fi dezvoltate ambele metode. Totuși, în teza de doctorat s-a optat pentru metoda eforturilor din următoarele motive:

- în formularea relațiilor constitutive dintre eforturi și deplasări cele mai elaborate și mai puse la punct sunt, așa cum rezultă din paragraful 4.3, cele care determină variația deplasărilor în funcție de variația eforturilor $\{U(t)\} = f[\{S(t)\}]$.

Pentru aceste relații sunt stabilite și metode approximative (Trost-Bazant, Alexandrovski, curgere lentă medie etc.), care au dat rezultate foarte bune în exemplele studiate în literatură. Trecerea de la aceste relații la cele inverse, efort-deplasare, este posibilă din punct de vedere teoretic, dar implică complicații de calcul destul de mari (de exemplu, în metoda Trost-Bazant, recalcularea tuturor coeficienților de îmbătrînire \mathcal{K}). Forma directă deplasare-efort este utilizată numai în metoda eforturilor;

- Cele mai multe exemple de calcul existente în literatură sunt rezolvate în metoda eforturilor. Acest criteriu este important pentru că s-a considerat necesar ca teoria generală elaborată în lucrare să fie verificată cu ajutorul unor exemple simple, tratate în literatură;

- calculul structurilor prefabricate, la care schema statică se schimbă în timpul execuției, ne conduce în mod natural spre metoda eforturilor, pentru că schemele premergătoare executării monolitizărilor din noduri corespunde foarte bine cu cele ale structurilor de bază din această metodă, necunoscutele fiind chiar eforturile din monolitizări.

4.7. Structuri cu schemă statică nemodificată în timp

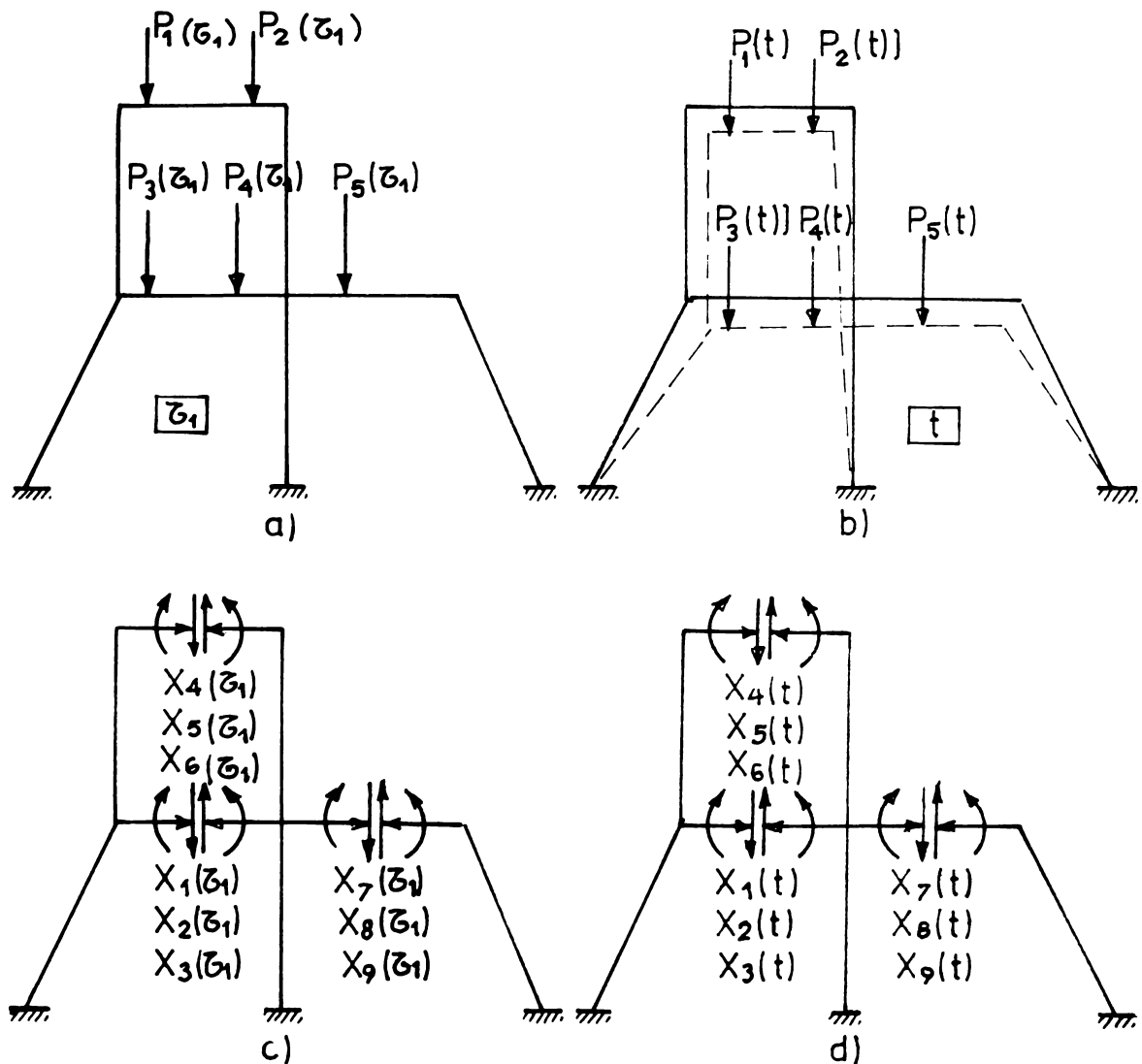
4.7.1. Structura de bază

In acest capitol se discută structuri la care toate elementele sunt încărcate la același timp inițial ζ_1 , iar schema statică rămâne nemodificată pe toată perioada de existență a structurii.

Așa cum se știe din statica construcțiilor /61,62/ în cazul structurilor static nedeterminate ecuațiile de echilibru nu sunt suficiente pentru calculul structurii, pentru că numărul de necunoscute este mai mare decât numărul ecuațiilor. De aceea trebuie utilizate condiții suplimentare, care să completeze numărul de ecuații lipsă. Cum în metoda eforturilor necunoscute sunt eforturile eliberate astfel ca structura să fie static determinată, condițiile suplimentare sunt cele de compatibilitate a deformației structurii.

Fie structura din figura 4.15a executată la timpul ζ_0 și încărcată la timpul ζ_1 cu sistemul de forțe $\{P(\zeta_1)\}$:

$$\{P(\zeta_1)\} = \left\{ \begin{array}{c} P_1(\zeta_1) \\ P_2(\zeta_1) \\ \vdots \\ P_m(\zeta_1) \end{array} \right\} \quad (4.80)$$



- Fig.4.15.

toate fiind acțiuni de lungă durată (m este numărul forțelor aplicate pe structură).

Pentru calculul eforturilor din structură la timpul z_1 se utilizează unul din procedeele cunoscute /62/, care transformă structura static nedeterminată într-o structură static determinată, evidențiindu-se eforturile necunoscute $\{X(z_1)\}$ (fig.4.15b)

$$\{X(z_1)\} = \begin{Bmatrix} X_1(z_1) \\ X_2(z_1) \\ \vdots \\ X_m(z_1) \end{Bmatrix} \quad (4.81)$$

unde n este gradul de nedeterminare statică. Din condițiile de

compatibilitate a deformațiilor la timpul ζ_1 , se obțin valorile necunoscutele $\{X(\zeta_1)\}$ și se pot calcula eforturile $\{S(\zeta_1)\}$ din structură.

Dacă se examinează structura la timpul t , cind acțiunile s-au modificat, intervenind curgerea lentă și contractia betonului (fig.4.15c):

$$\{P(t)\} = \begin{Bmatrix} P_1(t) \\ P_2(t) \\ \vdots \\ P_m(t) \end{Bmatrix} \quad (4.82)$$

și se procedează la aceeași transformare a structurii ca în cazul încărcării la $t = \zeta_1$, rezultă eforturile necunoscute (fig.4.15d):

$$\{X(t)\} = \begin{Bmatrix} X_1(t) \\ X_2(t) \\ \vdots \\ X_n(t) \end{Bmatrix} \quad (4.83)$$

Cu ajutorul acestor eforturi necunoscute pot fi calculate eforturile din structură la timpul t , $\{S(t)\}$. Diferența

$$\{\Delta S(t)\} = \{S(t)\} - \{S(\zeta_1)\}$$

este datorată creșterii în timp a încărcărilor, efectului contractiei și curgerii lente a betonului. Problema tratată în teza de doctorat este cea de determinare a acestor variații în timp ale eforturilor, problemă nerezolvată de statica corpurilor elastice.

4.3.2. Ecuatiile generale de compatibilitate

Secțiunile efectuate în structura static nedeterminată, care au transformat-o într-una static determinată, au permis evidențierea eforturilor necunoscute (fig.4.15). Ca urmare a acestor secțiuni, se produc deplasări după direcția fiecărui efort necunoscut. Aceste necunoscute se vor determina din condiția ca deformata structurii static determinante să fie identică cu cea a structurii static nedeterminată. Deplasarea relativă pe structura

static determinată pentru fiecare necunoscută trebuie să fie nulă, pentru că deformata structurii static nedeterminate este continuă. Astfel, pentru necunoscuta $X_i(t)$, deplasarea va fi:

$$U_i(t) = a_{i1}(t)X_1(t) + a_{i2}(t)X_2(t) + \dots + a_{ij}(t)X_j(t) + \dots + a_{in}(t)X_n(t) + U_{ip}(t) + U_{ic}(t) = 0 \quad (4.84)$$

în care:

- $a_{ij}(t)$ este deplasarea la timpul t din punctul de aplicare și după direcția necunoscutei $X_i=1$ produsă de aplicarea pe structura de bază a necunoscutei $X_j=1$;
- $U_{ip}(t)$, deplasarea la timpul t, în punctul de aplicare și după direcția necunoscutei $X_i=1$, produsă de aplicarea pe structura de bază a forțelor exterioare;
- $U_{ic}(t)$, deplasarea la timpul t, în punctul de aplicare și după direcția necunoscutei $X_i=1$, produsă pe structura de bază de contracția betonului.

Relația (4.84) este ecuația de compatibilitate din metoda eforturilor.

Dacă se scrie această ecuație după direcția fiecărei necunoscute, se obține un sistem de n ecuații cu n necunoscute din care se determină valorile acestor necunoscute.

Sub formă matriceală acest sistem de ecuații poate fi scris astfel:

$$\{U_x(t)\} = [A_{xx}(t)]\{X(t)\} + \{U_{xp}(t)\} + \{U_{xc}(t)\} = 0 \quad (4.85)$$

în care

- $\{U_x(t)\}$ este vectorul deplasărilor după direcțiile necunoscutelor la timpul t:

$$\{U_x(t)\} = \begin{Bmatrix} U_1(t) \\ U_2(t) \\ \vdots \\ U_i(t) \\ \vdots \\ U_n(t) \end{Bmatrix} \quad (4.86)$$

- $[A_{xx}(t)]$ este matricea de flexibilitate, care este o matrice pătrată $n \times n$:

$$[A_{xx}(t)] = \begin{vmatrix} x_1=1 & x_2=1 & x_j=1 & x_n=1 \\ a_{11}(t) & a_{12}(t) & \dots & a_{1j}(t) & \dots & a_{1n}(t) \\ a_{21}(t) & a_{22}(t) & \dots & a_{2j}(t) & \dots & a_{2n}(t) \\ | & | & | & | & & | \\ a_{i1}(t) & a_{i2}(t) & \dots & a_{ij}(t) & \dots & a_{in}(t) \\ | & | & | & | & & | \\ a_{n1}(t) & a_{n2}(t) & \dots & a_{nj}(t) & \dots & a_{nn}(t) \end{vmatrix} \quad (4.87)$$

care conține deplasările relative după direcțiile necunoscute produse de aplicarea succesivă pe structură a necunoscutelelor unitare:

- $\{X(t)\}$ este vectorul eforturilor necunoscute, dat de relația (4.83);

- $\{U_{xp}(t)\}$ este vectorul deplasărilor relative după direcția necunoscuteelor produse de aplicarea pe structura de bază a forțelor exterioare:

$$\{U_{xp}(t)\} = \begin{Bmatrix} U_{1p}(t) \\ U_{2p}(t) \\ \vdots \\ U_{ip}(t) \\ \vdots \\ U_{np}(t) \end{Bmatrix} \quad (4.88)$$

și se calculează din relația:

$$\{U_{xp}(t)\} = [B \times P(t)] \{P(t)\} \quad (4.89a)$$

în care

$$[B \times P(t)] = \begin{vmatrix} P_1=1 & P_2=1 & \dots & P_j=1 & \dots & P_m=1 \\ b_{11}(t) & b_{12}(t) & \dots & b_{1j}(t) & \dots & b_{1m}(t) \\ b_{21}(t) & b_{22}(t) & \dots & b_{2j}(t) & \dots & b_{2m}(t) \\ | & | & | & | & & | \\ b_{i1}(t) & b_{i2}(t) & \dots & b_{ij}(t) & \dots & b_{im}(t) \\ | & | & | & | & & | \\ b_{n1}(t) & b_{n2}(t) & \dots & b_{nj}(t) & \dots & b_{nm}(t) \end{vmatrix} \quad (4.89b)$$

este o matrice dreptunghiulară $n \times m$ în care elementul b_{ij} reprezintă deplasarea relativă după direcția necunoscutei X_i , produsă de încărcarea $P_j = 1$; vectorul $\{P(t)\}$ conține toate forțele aplicate pe structură și este dat de relația (4.82);

- $\{U_{xc}(t)\}$ este vectorul deplasărilor după direcția necunoscutelor produse de contracția betonului:

$$\{U_{xc}(t)\} = \begin{Bmatrix} u_{1c}(t) \\ u_{2c}(t) \\ \vdots \\ u_{ic}(t) \\ \vdots \\ u_{nc}(t) \end{Bmatrix} \quad (4.90)$$

4.7.3. Acțiuni directe

4.7.3.1. Ecuatiile de compatibilitate

In cazul acțiunilor directe (încărcări pe structură), ecuația (4.85) devine:

$$[A_{xx}(t)]\{X(t)\} + \{U_{xp}(t)\} = 0 \quad (4.91)$$

Pentru calculul coeficienților matricei (4.87) se folosește relația (4.74). Dacă solicitările determinate pentru $x=1$, pe structura de bază sint:

$$\{S\}_{j=1} = \{s_j\} \quad (4.92a)$$

coeficienții $a_{ij}(t)$ pot fi determinați, înindu-se seamă că $a_{ij}(t)x_j(t)$ reprezintă deplasarea după direcția forței $X_i=1$, considerată forță virtuală, la timpul t , produsă de efortul necunoscut $X_j(t)$ care dă în structură eforturile:

$$\{S_{kj}(t)\} = \{s_{kj}(z_1)\}x_j(t) \quad (4.92b)$$

Rezultă astfel din (4.74):

$$a_{ij}(t)x_j(t) = \sum_k \frac{1}{R_k(z_1)} \int_t \{s_{ki}(z_1)\}^T J_k [\{s_{kj}(z_1)\}x_j(t)] dt \quad (4.93)$$

unde:

- k este numărul de bare din structură;
- $R_k(\tau_1)$, rigiditatea la timpul τ_1 a barei k ;
- $J_k[\dots]$, operatorul integrală din tabelul 4.2, diferit pentru fiecare bară, din cauza modulelor de elasticitate și a caracteristicilor curgerii lente diferite;
- $\{\delta_{ki}(\tau_1)\}$, vectorul eforturilor din bara k , rezultat din $x_i = 1$;
- $\{\delta_{kj}(\tau_1)\}$ vectorul eforturilor din bara k , rezultat din $x_j = 1$.

Deoarece eforturile δ_{ki} și δ_{kj} se determină pe structura de bază, care este static determinată, valorile lor nu se schimbă în timp și cele determinate la timpul t sunt egale cu cele calculate pentru τ_1 .

Tinând seamă că $\delta_{kj}(\tau_1)$ este constant în timp, relația (4.93) poate fi scrisă sub forma:

$$a_{ij}(t)x_j(t) = \sum_k a_{ij,k} J_k[x_j(t)] \quad (4.94)$$

în care

$$a_{ij,k} = \frac{1}{R_k} \int_{lk} \{\delta_{ki}(\tau_1)\}^T \{\delta_{kj}(\tau_1)\} dl_k \quad (4.95)$$

care este contribuția barei k la calculul coeficientului elastic

$$a_{ij} = \sum_k a_{ij,k} \quad (4.96)$$

relație care tine seamă că pentru

Dacă variația în timp a necunoscutei $x_j(t)$ este evidențiată prin funcția $F_j(t)$:

$$x_j(t) = x_j F_j(t) \quad (4.97)$$

rezultă din (4.94)

$$a_{ij}(t)x_j(t) = \left[\sum_k a_{ij,k} J_k[F_j(t)] \right] x_j \quad (4.98)$$

Pentru calculul coeficientilor $b_{ij}(t)$ din matricea

(4.89b) se folosește tot relația (4.74), ținându-se seamă că aceștia reprezintă deplasarea structurii de bază după direcția efortului $X_i=1$ (considerată forță virtuală), produsă de încărcarea P_j , din care se obțin eforturile:

$$\{S_{kj}(t)\} = \{\delta_{kj}^P(\bar{z}_1)\} P_j(t) \quad (4.99)$$

în care $\{\delta_{kj}^P(\bar{z}_1)\}$ este vectorul eforturilor din bare k, rezultat din încărcarea $P_j=1$. Rezultă similar ca la relația (4.93):

$$b_{ij}(t) P_j(t) = \sum_k \frac{1}{R_k(\bar{z}_1)} \int_{lk} \{\delta_{ki}(\bar{z}_1)\}^T J_k [\{\delta_{kj}^P(\bar{z}_1)\} P_j(t)] dl_k \quad (4.100)$$

Tinând seamă că efortul $\delta_{kj}^P(\bar{z}_1)$ este constant în timp, rezultă:

$$b_{ij}(t) P_j(t) = \sum_k b_{ij,k} J_k [P_j(t)] \quad (4.101)$$

unde s-a introdus notația:

$$b_{ij,k} = \frac{1}{R_k(\bar{z}_1)} \int_{lk} \{\delta_{ki}(\bar{z}_1)\}^T \{\delta_{kj}^P(\bar{z}_1)\} dl_k \quad (4.102)$$

cărespunzătoare calculului elastic:

$$b_{ij} = \sum_k b_{ij,k} \quad (4.103)$$

Dacă variația în timp a încărcărilor este dată de funcția $p_j(t)$:

$$P_j(t) = P_j p_j(t) \quad (4.104)$$

rezultă din (4.101)

$$b_{ij}(t) P_j(t) = \left[\sum_k b_{ij,k} J_k [p_j(t)] \right] P_j \quad (4.105)$$

relația asemănătoare cu (4.98). Deosebirea constă în faptul că în (4.98) funcția $F_j(t)$ este necunoscută, pe cind în (4.104), este cunoscută, indicând variația în timp a încărcărilor. Dacă acestea

sunt constante în timp rezultă din tabelul 4.2:

$$J_k[p_j(t)] = 1 + \varphi_k(t, b_1) \quad (4.106)$$

și astfel:

$$b_{ij}(t) = \sum_k b_{ij,k} J_k[1 + \varphi_k(t, b_1)] \quad (4.107)$$

Tinând seama de (4.98) și (4.105) deplasarea $U_i(t)$ dată de relația (4.84) devine:

$$\begin{aligned} U_1(t) &= \left[\sum_k a_{11,k} J_k[F_1(t)] \right] X_1 + \left[\sum_k a_{12,k} J_k[F_2(t)] \right] X_2 + \dots \\ &\dots + \left[\sum_k a_{ij,k} J_k[F_j(t)] \right] X_j + \dots + \left[\sum_k a_{in,k} J_k[F_n(t)] \right] X_n + \\ &+ \left[\sum_k b_{i1,k} J_k[p_1(t)] \right] P_1 + \dots + \left[\sum_k b_{ij,k} J_k[p_j(t)] \right] P_j + \dots \\ &+ \dots + \left[\sum_k b_{im,k} J_k[p_m(t)] \right] P_m = 0 \end{aligned} \quad (4.108)$$

Deoarece valorile lui X_j sunt cunoscute din calculul elastic, efectuat la timpul \bar{t}_1 , prin rezolvarea sistemului de ecuații (4.85):

$$[A_{xx}] \{X\} + \{U_{xp}\} = 0 \quad (4.109)$$

rezultă că în (4.108) necunoscute devin funcțiile $F_j(t)$. Astfel prin calculul coeficienților (4.98) și (4.105) sistemul de ecuații (4.85) se transformă în:

$$\{U_x(t)\} = [C_{xx}(\cdot)] \{F(t)\} + [D_{xp}(\cdot)] \{p(t)\} = 0 \quad (4.110)$$

în care:

$-[C_{xx}(\cdot)]$ este un operator sub formă de matrice patrată $n \times n$

$$[C_{xx}(\cdot)] = \begin{vmatrix} F_1(t) & F_2(t) & \dots & F_n(t) \\ C_{11}(\cdot) & C_{12}(\cdot) & \dots & C_{1j}(\cdot) & \dots & C_{1n}(\cdot) \\ C_{21}(\cdot) & C_{22}(\cdot) & \dots & C_{2j}(\cdot) & \dots & C_{2n}(\cdot) \\ \vdots & \vdots & \ddots & \vdots & \ddots & \vdots \\ C_{i1}(\cdot) & C_{i2}(\cdot) & \dots & C_{ij}(\cdot) & \dots & C_{in}(\cdot) \\ \vdots & \vdots & \ddots & \vdots & \ddots & \vdots \\ C_{n1}(\cdot) & C_{n2}(\cdot) & \dots & C_{nj}(\cdot) & \dots & C_{nn}(\cdot) \end{vmatrix} \quad (4.111)$$

cu operatorii $c_{ij}(\cdot)$ rezultăți din (4.98):

$$c_{ij}(\cdot) = \left[\sum_k a_{ij,k} \right]_k \quad (4.112)$$

- $[D_{xp}(\cdot)]$ este un operator sub formă de matrice dreptunghiulară $n \times m$

$$\left[D_{P_x}(\cdot) \right] = \begin{vmatrix} P_1(t) & P_2(t) & P_j(t) & P_m(t) \\ d_{11}(\cdot) & d_{12}(\cdot) & \cdots & d_{1j}(\cdot) & \cdots & d_{1m}(\cdot) \\ d_{21}(\cdot) & d_{22}(\cdot) & \cdots & d_{2j}(\cdot) & \cdots & d_{2m}(\cdot) \\ \vdots & \vdots & \ddots & \vdots & \ddots & \vdots \\ d_{i1}(\cdot) & d_{i2}(\cdot) & \cdots & d_{ij}(\cdot) & \cdots & d_{im}(\cdot) \\ \vdots & \vdots & \ddots & \vdots & \ddots & \vdots \\ d_{n1}(\cdot) & d_{n2}(\cdot) & \cdots & d_{nj}(\cdot) & \cdots & d_{nm}(\cdot) \end{vmatrix} \quad (4.113)$$

cu coeficienții:

$$d_{ij}(\cdot) = \left[\sum_k b_{ij,k} \right]_k P_j \quad (4.114)$$

- vectorul funcțiilor de timp ale necunoscutelor:

$$\{F(t)\} = \begin{Bmatrix} f_1(t) \\ f_2(t) \\ \vdots \\ f_j(t) \\ \vdots \\ f_n(t) \end{Bmatrix} \quad (4.115)$$

- vectorul funcțiilor de timp ale încărcărilor:

$$\{p(t)\} = \begin{Bmatrix} p_1(t) \\ p_2(t) \\ \vdots \\ p_j(t) \\ \vdots \\ p_m(t) \end{Bmatrix} \quad (4.116)$$

Operatorii $c_{ij}(\cdot)$ și $d_{ij}(\cdot)$ din relațiile (4.112) și (4.114) pot fi de formă analitică sau numerică în funcție de metoda de rezolvare adoptată, adică după modul de scriere a operatorului dat în tabelul 4.2. Dacă se adoptă formularea Dischinger sau Alexandrovski, ei sunt operatorii analitici și sistemul (4.110) este de tip integral. Dacă se utilizează formularea Trost-Bazant, sistemul (4.110) devine un sistem de ecuații numerice.

Prin urmare metoda elaborată constă din rezolvarea succesiivă a două sisteme de ecuații:

- sistemul de ecuații (4.109) care determină necunoscutele $\{x\}$ corespunzătoare primei încărcări la timpul ζ_1 , care nu ține seama de efectul curgerii lente;

- sistemul de ecuații (4.110) care determină funcțiile $\{F(t)\}$ care indică variația în timp a necunoscutele detorită efectului curgerii lente.

Cunoscând valorile inițiale ale necunoscutele și variația în timp a acestora, starea de eforturi din structură poate fi determinată la orice timp dorit.

4.7.3.2. Starea de eforturi în structuri omogene

Pentru structurile omogene din punctul de vedere al deformațiilor viscoase, operatorii $J_k[\dots]$ sunt aceeași pentru toate barele

$$J_1[\dots] = J_2[\dots] = \dots J_k[\dots] = J[\dots] \quad (4.117)$$

iar încărcările variază după aceeași lege:

$$J[p_1(t)] = J[p_2(t)] = \dots = J[p_m(t)] = J[p(t)] \quad (4.118)$$

Din ecuația (4.108) rezultă, pentru timpul t:

$$\begin{aligned} U_i(t) = & a_{i1} X_1 J[F_1(t)] + a_{i2} X_2 J[F_2(t)] + \dots + a_{ij} X_j J[F_j(t)] + \\ & + \dots + a_{in} X_n J[F_n(t)] + \{ b_{i1} P_1 + b_{i2} P_2 + \dots \\ & \dots + b_{ij} P_j + \dots + b_{im} P_m \} J[p(t)] = 0 \end{aligned} \quad (4.119)$$

în care s-au utilizat relațiile (4.96) și (4.103).

Din sistemul elastic, pentru ζ_1 , avem

$$\begin{aligned} U_1(\zeta_1) = & a_{i1} X_1 + a_{i2} X_2 + \dots + a_{ij} X_j + \dots \\ & + a_{in} X_n + b_{i1} P_1 + b_{i2} P_2 + \dots \\ & + b_{ij} P_j + \dots + b_{im} P_m = 0 \end{aligned} \quad (4.120)$$

Scriind aceste ecuații pentru $i=1\dots n$, rezultă sistemele de ecuații:

$$- \text{ la timpul } t: [A_{xx}] \{X\}^T J[\{F(t)\}] + [B_{xp}] \{P\}^T J[\{p(t)\}] = 0 \quad (4.121a)$$

$$- \text{ la timpul } \tau_1: [A_{xx}] \{X\} + [B_{xp}] \{P\} = 0 \quad (4.121b)$$

în care $[A_{xx}]$ și $[B_{xp}]$ sunt cunoscute matrici ale calculului elastic. Deoarece cele două ecuații trebuie să fie satisfăcute simultan, rezultă necesară condiția :

$$J[\{F(t)\}] \cdot J[\{p(t)\}] \quad (4.122)$$

și prin urmare

$$F_1(t) = F_2(t) = \dots = F_j(t) = \dots = F_n(t) = p(t) \quad (4.123)$$

Astfel, toate necunoscutele variază după aceeași lege ca cea a încărcărilor. Dacă acestea sunt constante, și eforturile sunt constante în structură.

Rezultă astfel o observație foarte importantă și anume că variația în timp a eforturilor din structurile static nedeterminate din cauza curgerii lente se produce numai la structurile neomogene, adică la cele la care caracteristicile curgerii lente ale barelor sunt diferite din diverse motive (execuție la tempi diferiți, calități diferite ale betonului etc.).

4.7.4. Contractia betonului

4.7.4.1. Deformațiile din contractie

Pentru elementele liniare de beton simplu, contractia betonului produce scurtări axiale ce sunt nule la timpul τ_1 și cresc pînă la valoarea finală, la $t = \infty$. Pentru betonul armat, scurtările sunt mai mici, deoarece armătura are un efect de frînare a deformațiilor de contractie. Dacă armarea este nesimetrică, în afara scurtării axiale apar și rotiri din contractie, pentru că efectul de frînare este diferit la cele două feje ale secțiunii de beton armat.

Mărimea finală a contractiei depinde de foarte mulți factori și determinarea ei, prezentată în paragraful 2.5, se face cu

o aproximatie destul de mare. In acelasi timp efectul armării nu este foarte important. In aceste conditii, in cele ce urmează, calculul deformatiilor de contractie se face ca pentru betonului simplu.

4.7.4.2. Ecuatiile de compatibilitate

In cazul contractiei betonului, ecuatie (4.85) devine:

$$[A_{xx}(t)]\{X(t)\} + \{U_{xc}(t)\} = 0 \quad (4.124)$$

Pentru calculul coeficientilor matricei $[A_{xx}(t)]$ se folosesc relatiile (4.94), (4.95). Cum insă în cadrul contractiei valoarea initială a esforțurilor este nulă, necunoscutele $X_j(t)$ trebuie să fie scrise în funcție de valoarea finală, pentru $t=\infty$:

$$X_j(t) = X_j(\infty) F_j^c(t) = \bar{X}_{j0} F_j^c(t) \quad (4.25)$$

unde \bar{X}_{j0} este valoarea finală a necunoscutei X_j din contractie dacă nu se ține seamă de efectul favorabil al curgerii lente, care reduce esforțurile din contractie;

- $F_j^c(t)$ indică variația în timp a necunoscutei X_j , cauzată de interacțiunea contractiei cu curgerea lentă (este nulă la timpul t_0). Astfel din relația (4.94) rezultă:

$$a_{ij}(t)X_j(t) = \left[\sum_k a_{ij,k} f_k^c(t) \right] \bar{X}_{j0} \quad (4.126)$$

Pentru calculul coeficientilor $\{U_{xc}(t)\}$ se aplică relatiile (4.70), (4.73) din care rezultă

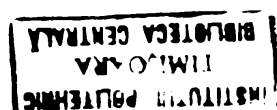
$$\{U_{xc}(t)\} = \int_t \{dU_c(t)\}^T \{\tilde{N}\} dt \quad (4.127)$$

în care:

- $\{dU_c(t)\}$ este factorul deplasărilor pe structura de bază din contractia betonului;

- $\{\tilde{N}\}$, vectorul forțelor axiale produse de necunoscutele $\{X\} = 1$.

In (4.127) s-au neglijat rotirile barelor din contractie,



conform ipotezei de la pct. 4.7.4.1.

Deoarece deplasările din contracție pot fi scrise sub forma dată de relația (2.60) (deformațiile de contracție sunt affine cu cele de curgere lentă):

$$dU_C(t) = d\bar{U}_C \frac{\varphi(t, t_0)}{\varphi} \quad (4.128)$$

unde:

- $d\bar{U}_C$ este scurtarea barei calculată pentru mărime finală a contracției;
- $\frac{\varphi(t, t_0)}{\varphi}$ indică variația în timp a deformației de contracție, considerată a fi afină cu cea de curgere lentă.

Rezultă astfel că deplasarea dată de (4.127) poate fi calculată de relația:

$$\{U_{XC}(t)\} = \{\bar{U}_{XC} \frac{\varphi(t, t_0)}{\varphi}\} \quad (4.129)$$

unde

$$\{\bar{U}_{XC}\} = \int_{\ell} \{d\bar{U}_C\}^T \{\tilde{N}\} d\ell \quad (4.130)$$

rezintă deplasările finale pe structura de bază din contracție.

Rezultă astfel că ecuația de compatibilitate (4.84) poate fi scrisă sub forma

$$\begin{aligned} U_i(t) &= \left[\sum_k a_{i1,k} \bar{J}_k [F_1^c(t)] \right] \bar{X}_{10} + \left[\sum_k a_{i2,k} \bar{J}_k [F_2^c(t)] \right] \bar{X}_{20} + \dots \\ &\quad + \dots + \left[\sum_k a_{ij,k} \bar{J}_k [F_j^c(t)] \right] \bar{X}_{j0} + \dots + \\ &\quad + \left[\sum_k a_{in,k} \bar{J}_k [F_n^c(t)] \right] \bar{X}_{n0} + \sum_k \bar{U}_{ic,k} \frac{\varphi(t, t_0)}{\varphi} \end{aligned} \quad (4.131)$$

Deoarece valorile \bar{X}_{jo} sint cunoscute din calculul elastic efectuat la timpul $t = \infty$, pentru valoarea finală a contracției:

$$[A_{xx}] \{\bar{X}_o\} + \{\bar{U}_{xc}\} = 0 \quad (4.132)$$

rezultă că în ecuația (4.131) necunoscutele devin $F_j^c(t)$.

Astfel ecuația (4.131) devine:

$$[C_{xx}^c(\cdot)]\{F^c(t)\} + \left\{ \bar{U}_{xc} \frac{\varphi(t, \zeta_0)}{\bar{\varphi}} \right\} = 0 \quad (4.132)$$

unde $[C_{xx}^c(\cdot)]$ este o matrice operator de tipul (4.111), în care

$$c_{ij}(\cdot) = \left[\sum_k a_{ij,k} J_k[\cdot] \right] \bar{x}_{j_0} \quad (4.134)$$

Prin urmare metoda de calcul determină eforturile în două etape:

- se calculează din sistemul de ecuații (4.132) necunoscutele $\{\bar{x}_0\}$ corespunzătoare valorilor contractiei finale, fără să se țină seamă de efectul curgerii lente;
- se determină din sistemul de ecuații (4.133) funcțiile $\{F^c(t)\}$ care indică variația în timp a necunoscuteelor datorită efectului curgerii lente.

Se știe că efectul curgerii lente se manifestă prin reducerea eforturilor produse din contractie, astfel că $\{F^c(t)\} \leq 1$.

4.8. Structuri de schemă statică ce se modifică în timpul execuției

4.8.1. Structuri monolite

4.8.1.1. Schimbarea schemei statice în timpul execuției

Structurile monolite pot fi executate astfel ca schema statică să fie de la început cea definitivă. Dar există multe situații în care diferite părți ale structurii se realizează în etape diferite și astfel schema statică a structurii se schimbă în timpul execuției. Se discută astfel două tipuri de structuri:

a) Hala parter cu anexă din figura 4.16a care se execută în două etape. Astfel, la timpul $t = \zeta_0$ se toarnă cadrul corespunzător etapei I, care este un cadru portal încastrat. El este deforat și încărcat la timpul $t = \zeta_1$, cînd se produc deplasările

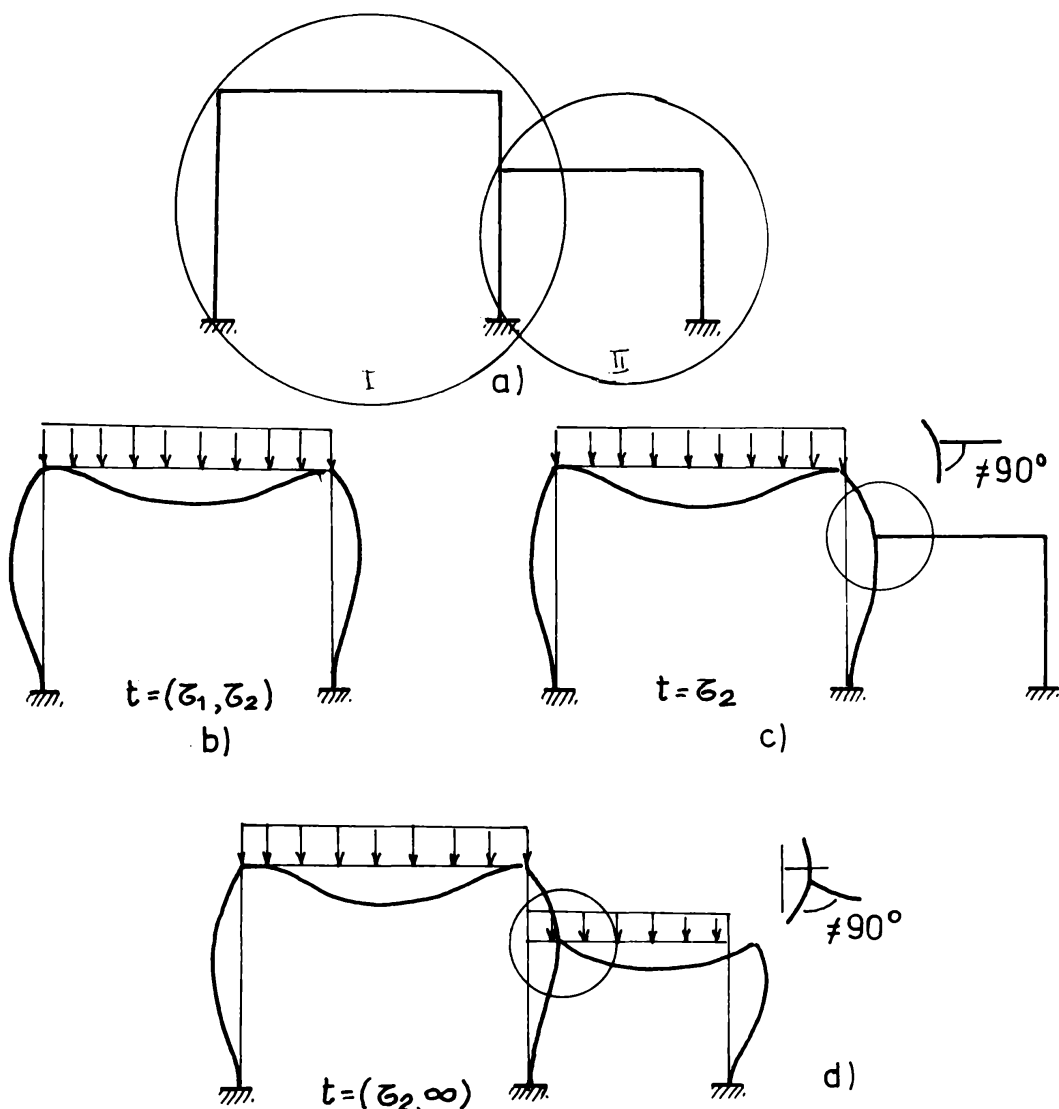


Fig. 4.16.

instantanee, peste care în timp se suprapun deformațiile din curgerea lentă (fig.4.16b). După o perioadă, se realizează anexa prevăzută în etapa II-a de execuție (fig.4.16c), care este decofrată la timpul $t = \zeta_2$, cind se produc deplasările instantanee, peste care se suprapun în timp cele corespunzătoare curgerii lente (fig. 4.16d). Dacă structura se calculează pe baza schemei finale, aşa cum se procedează în mod obișnuit, nu se ține seama de două aspecte foarte importante:

- în intervalul $[\zeta_1, \zeta_2]$ structura lucrează ca un cadru portal, cu eforturi mai mari decât cele corespunzătoare cadrului cu anexă;

- în momentul intrării în lucru a anexei, rigiditatea aparentă a stîlpului CE este mai mică decît cea inițială, din cauza deformațiilor de curgere lentă.

b) Cadrul etajat din figura 4.17a, care se realizează de asemenea în două etape. La timpul ζ_0 se toarnă primul cadrul,

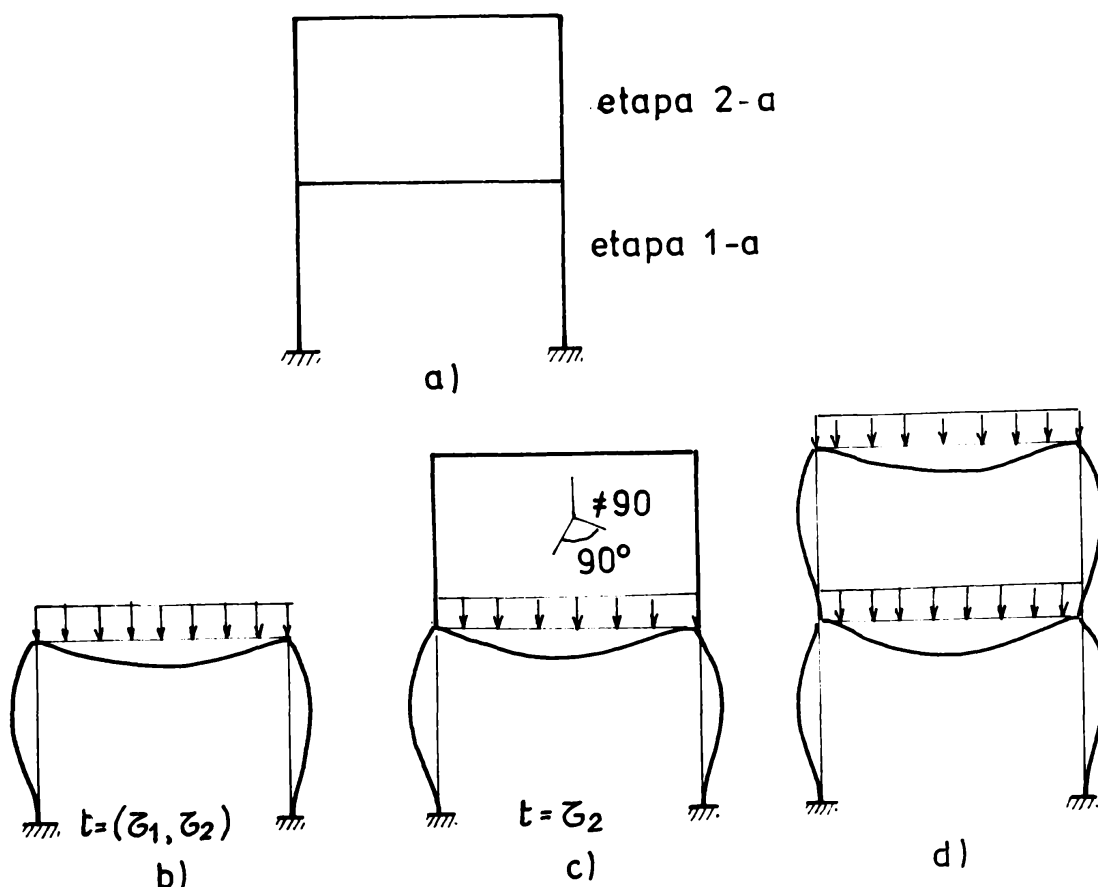


Fig.4.17.

care se decofrează și încarcă la timpul $t = \zeta_1$ (fig.4.17b). În perioada $[\zeta_1, \zeta_2]$, peste deplasările elastice instantanee se suprapun deplasările din curgerea lentă. În toată această perioadă structura lucrează ca un cadrul portal parter. La sfîrșitul perioadei se toarnă cadrul de la etajul întâi, care se decofrează la

timpul ζ_2 (fig.4.17c). În perioada $[\zeta_2, \infty)$ structura lucrează ca un cadru etajat. Diferențele de calcul între cel care se face pe schema finală și cel care ține seamă de modul de execuție sunt aceleasi ca la cadrul precedent.

4.8.1.2. Impărțirea structurilor în substructuri

în funcție de etapele de execuție

Executarea structurii în etape introduce în mod natural ideea de a lucra pe substructuri. Astfel, la structura din figura 4.18, în prima etapă la $t = \zeta_1$ se execută primul nivel. În etapa a doua, la $t = \zeta_2$, cind se realizează nivelul 2, cadrul 1 poate fi tratat ca o substructură formată dintr-un cadru portal, iar nivelul

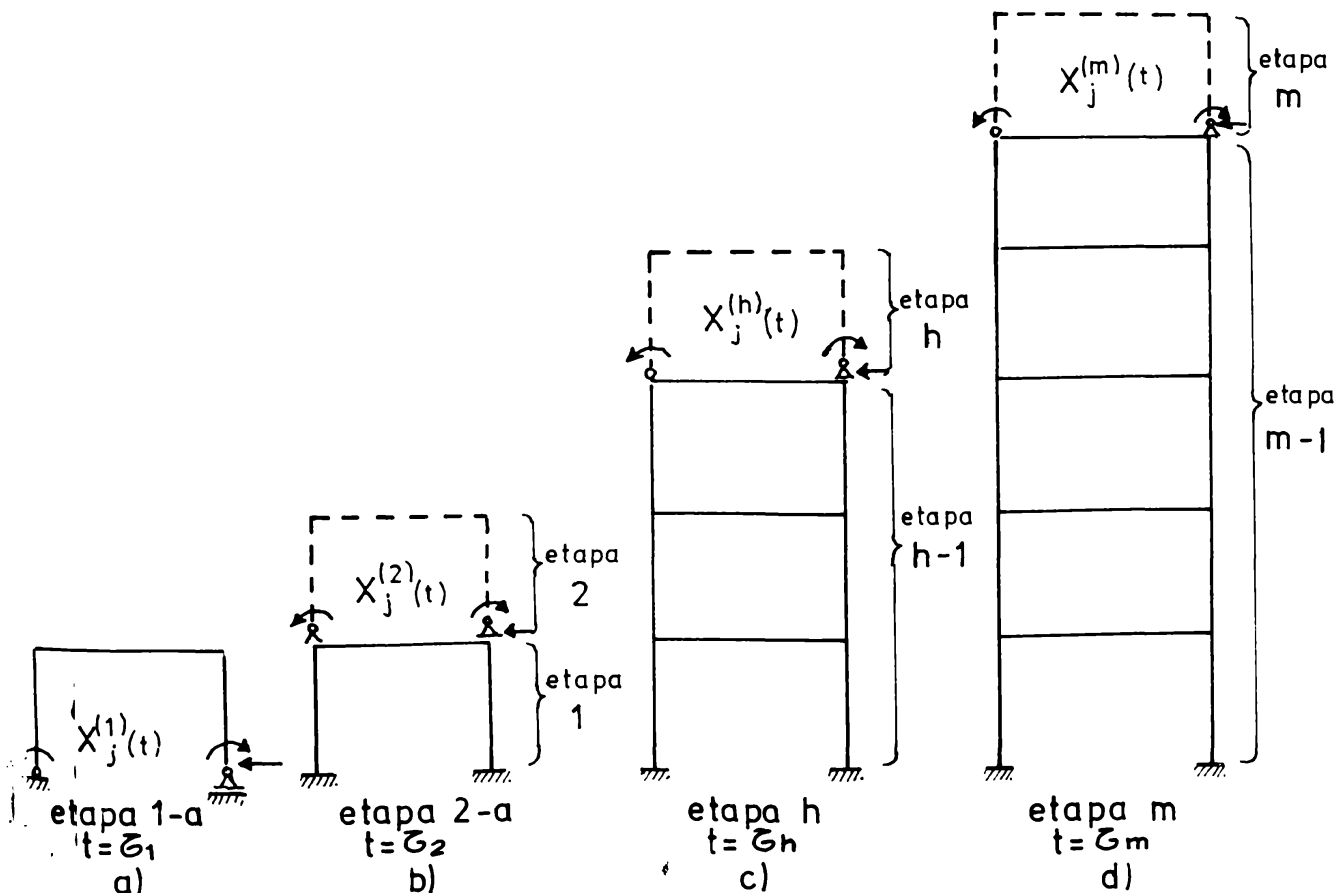


Fig.4.18.

2 ca o altă substructură. Astfel la timpul intermediar $t = \zeta_h$, cadrul cu $h-1$ niveluri poate fi considerat ca o substructură complexă, legată de substructura ultimului nivel. În fine, în ultima etapă,

la $t = \bar{t}_m$, sunt legate două substructuri, cea cu m-l niveluri și ultimul nivel.

4.8.1.3. Ecuatiile de compatibilitate

Pentru calculul structurii în diferite etape se utilizează structura de bază a etapei h, care constă din substructura corespunzătoare etapei h-1 și nivelul turnat în etapa h. Se recomandă ca necunoscutele să fie alese astfel ca să reprezinte legătura dintre cele două subsisteme:

$$\left\{ X_j^{(h)}(\bar{t}_h) \right\} = \begin{Bmatrix} x_1^{(h)}(b_h) \\ x_2^{(h)}(b_h) \\ \vdots \\ x_s^{(h)}(b_h) \end{Bmatrix} \quad (4.135)$$

în care s este gradul de nedeterminare a substructurii realizate în etapa h.

Ecuatiile de compatibilitate se determină pentru fiecare etapă de execuție. Astfel, în prima etapă se evidențiază necunoscutele etapei 1 $\{X^{(1)}(\bar{t}_1)\}$ (fig.4.18a), care se determină din condițiile de compatibilitate:

$$[A_{xx}^{(1)}(\bar{t}_1)]\{X^{(1)}(\bar{t}_1)\} + [B_{xp}^{(1)}(\bar{t}_1)]\{p^{(1)}(\bar{t}_1)\} = 0 \quad (4.136)$$

în care matricele $[A_{xx}^{(1)}(\bar{t}_1)]$ și $[B_{xp}^{(1)}(\bar{t}_1)]$ se determină din relațiile (4.87) și (4.89b) pentru structura 1. Variatia în timp a eforturilor rezultă din ecuația:

$$[C_{xx}^{(1)}(.)]\{F^{(1)}(t)\} + [D_{xp}^{(1)}(.)]\{p^{(1)}(t)\} = 0 \quad (4.137)$$

unde matricele $[C_{xx}^{(1)}(.)]$ și $[D_{xp}^{(1)}(.)]$ rezultă din (4.111) și (4.113).

În etapa h de ecuație, la timpul $t = \bar{t}_h$, necunoscutele etapei h sunt $\{X^{(h)}(\bar{t}_h)\}$ (fig.4.18c), care se determină din condiția

$$[A_{xx}^{(h)}(\bar{t}_h)]\{X^{(h)}(\bar{t}_h)\} + [B_{xp}^{(h)}(\bar{t}_h)]\{p^{(h)}(\bar{t}_h)\} = 0 \quad (4.138)$$

unde

$$\left| A_{xx}^{(h)}(\bar{t}_h) \right| = \begin{vmatrix} x_1^{(h)} & x_2^{(h)} & x_j^{(h)} & x_\Delta^{(h)} \\ a_{11}^{(h)}(\bar{t}_h) & a_{12}^{(h)}(\bar{t}_h) & a_{1j}^{(h)}(\bar{t}_h) & a_{1\Delta}^{(h)}(\bar{t}_h) \\ a_{21}^{(h)}(\bar{t}_h) & a_{22}^{(h)}(\bar{t}_h) & a_{2j}^{(h)}(\bar{t}_h) & a_{2\Delta}^{(h)}(\bar{t}_h) \\ a_{i1}^{(h)}(\bar{t}_h) & a_{i2}^{(h)}(\bar{t}_h) & a_{ij}^{(h)}(\bar{t}_h) & a_{i\Delta}^{(h)}(\bar{t}_h) \\ a_{\Delta 1}^{(h)}(\bar{t}_h) & a_{\Delta 2}^{(h)}(\bar{t}_h) & a_{\Delta j}^{(h)}(\bar{t}_h) & a_{\Delta \Delta}^{(h)}(\bar{t}_h) \end{vmatrix} \quad (4.139a)$$

$$\left| B_{xp}^{(h)}(\bar{t}_h) \right| = \begin{vmatrix} P_1 & P_2 & P_j & P_\Delta \\ b_{11}^{(h)}(\bar{t}_h) & b_{12}^{(h)}(\bar{t}_h) & b_{1j}^{(h)}(\bar{t}_h) & b_{1\Delta}^{(h)}(\bar{t}_h) \\ b_{21}^{(h)}(\bar{t}_h) & b_{22}^{(h)}(\bar{t}_h) & b_{2j}^{(h)}(\bar{t}_h) & b_{2\Delta}^{(h)}(\bar{t}_h) \\ b_{i1}^{(h)}(\bar{t}_h) & b_{i2}^{(h)}(\bar{t}_h) & b_{ij}^{(h)}(\bar{t}_h) & b_{i\Delta}^{(h)}(\bar{t}_h) \\ b_{\Delta 1}^{(h)}(\bar{t}_h) & b_{\Delta 2}^{(h)}(\bar{t}_h) & b_{\Delta j}^{(h)}(\bar{t}_h) & b_{\Delta \Delta}^{(h)}(\bar{t}_h) \end{vmatrix} \quad (4.139b)$$

In relația (4.138) $\{P^{(h)}(\bar{t}_h)\}$ sunt forțele aplicate numai pe nivelul h (forțele pe structura h-l nu acționează asupra ultimului nivel).

In relațiile (4.139):

- coeficienții $a_{ij}^{(h)}(\bar{t}_h)$ reprezintă deplasările relative la timpul $t=\bar{t}_h$ după direcția $x_i^{(h)}$ produse de necunoscuta $x_j^{(h)}=1$;
- coeficienții $b_{ij}^{(h)}(\bar{t}_h)$ reprezintă deplasările relative la timpul $t=\bar{t}_h$ după direcția necunoscutei $x_i^{(h)}$, produse din încărcarea $P_j^{(h)}=1$.

Deplasările relative se referă la diferențele de deplasare ale suprastructurii h-l față de nivelul executat la $t=\bar{t}_h$.

La calculul deplasării substructurii h-l se ține seamă, prin variația caracteristicilor curgerii lente, că nivelurile au fost executate la tempi diferiți. Deplasările absolute ale substructurilor static nedeterminate se determină după regulile staticii construcțiilor /60, 61, 62/.

Variatia in timp a necunoscutelelor rezulta din conditia:

$$[C_{xx}^{(h)}(\cdot)] \{F^{(h)}(t)\} + [D_{xp}^{(h)}(\cdot)] \{p^{(h)}(t)\} = 0 \quad (4.14a)$$

unde

$$\begin{bmatrix} C_{xx}^{(h)}(\cdot) \end{bmatrix} = \begin{bmatrix} F_1^{(h)} & F_2^{(h)} & F_j^{(h)} & F_k^{(h)} \\ C_{11}^{(h)}(\cdot) & C_{12}^{(h)}(\cdot) & C_{1j}^{(h)}(\cdot) & C_{1k}^{(h)}(\cdot) \\ C_{21}^{(h)}(\cdot) & C_{22}^{(h)}(\cdot) & C_{2j}^{(h)}(\cdot) & C_{2k}^{(h)}(\cdot) \\ C_{i1}^{(h)}(\cdot) & C_{i2}^{(h)}(\cdot) & C_{ij}^{(h)}(\cdot) & C_{ik}^{(h)}(\cdot) \\ C_{j1}^{(h)}(\cdot) & C_{j2}^{(h)}(\cdot) & C_{jj}^{(h)}(\cdot) & C_{jk}^{(h)}(\cdot) \\ d_{11}^{(h)}(\cdot) & d_{12}^{(h)}(\cdot) & d_{1j}^{(h)}(\cdot) & d_{1k}^{(h)} \\ d_{21}^{(h)}(\cdot) & d_{22}^{(h)}(\cdot) & d_{2j}^{(h)}(\cdot) & d_{2k}^{(h)} \\ d_{i1}^{(h)}(\cdot) & d_{i2}^{(h)}(\cdot) & d_{ij}^{(h)}(\cdot) & d_{ik}^{(h)} \\ d_{j1}^{(h)}(\cdot) & d_{j2}^{(h)}(\cdot) & d_{sj}^{(h)}(\cdot) & d_{sk}^{(h)}(\cdot) \end{bmatrix} \quad (4.14a)$$

$$\begin{bmatrix} D_{xp}^{(h)}(\cdot) \end{bmatrix} = \begin{bmatrix} d_{11}^{(h)}(\cdot) & d_{12}^{(h)}(\cdot) & d_{1j}^{(h)}(\cdot) & d_{1k}^{(h)} \\ d_{21}^{(h)}(\cdot) & d_{22}^{(h)}(\cdot) & d_{2j}^{(h)}(\cdot) & d_{2k}^{(h)} \\ d_{i1}^{(h)}(\cdot) & d_{i2}^{(h)}(\cdot) & d_{ij}^{(h)}(\cdot) & d_{ik}^{(h)} \\ d_{j1}^{(h)}(\cdot) & d_{j2}^{(h)}(\cdot) & d_{sj}^{(h)}(\cdot) & d_{sk}^{(h)}(\cdot) \end{bmatrix} \quad (4.14b)$$

in care s-au introdus operatorii

$$C_{ij}^{(h)}(\cdot) = \left[\sum_k a_{ij,k}^{(h)}(\zeta_h) f_k^{(h)}(\cdot) \right] X_j^{(h)}(\zeta_h) \quad (4.142a)$$

$$d_{ij}^{(h)}(\cdot) = \left[\sum_k b_{ij,k}^{(h)}(\zeta_h) f_k^{(h)}(\cdot) \right] P_j^{(h)}(\zeta_h) \quad (4.142b)$$

Procedind astfel, etapă cu etapă, se ajunge la fază finală pentru $t = \zeta_m$.

4.8.2. Structuri prefabricate

4.8.2.1. Schimbarea schemei statice în timpul execuției

In cazul structurilor prefabricate, in timpul montajului, intervin situații in care grinziile sunt așezate pe reazem și lucrează ca și grinzi simplu rezemate, pînă la realizarea și întărirea monolitizării. Se prezintă cîteva cazuri semnificative.

a) Grinda continuă prefabricată din figura 4.19a este realizată din două grinzi prefabricate, monolitizate pe reazemul B.

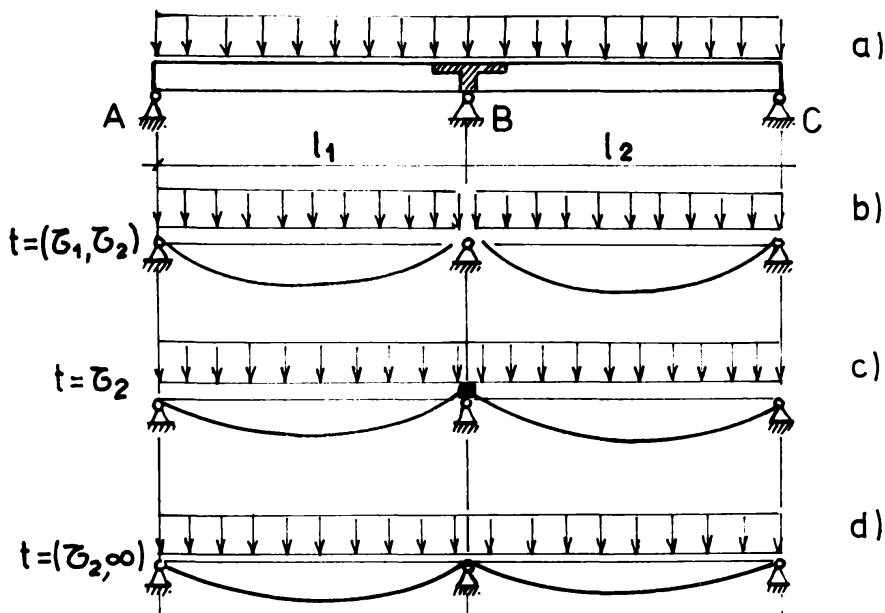


Fig.4.19.

La timpul ζ_1 se montează cele două grinzi prefabricate, care lucrează ca două grinzi simplu rezemate și sub acțiunea încărcărilor corespunzătoare acestei perioade, se produc deplasările elastice instantanee precum și cele din curgere lentă (fig.4.19b), unghiul dintre cele două grinzi micșorându-se în timp. La $t=\zeta_2$ se realizează monolitizarea și pentru perioada $t=[\zeta_2, \infty)$ grinda lucrează ca una continuă, unghiul dintre cele două grinzi rămânind constant, dar rotindu-se în ansamblu. Diferența dintre calculul obișnuit de grindă continuă, care nu ține seamă de schimbarea schemei statice în timpul execuției structurii, constă în neglijarea perioadei când cele două grinzi lucrează ca simplu rezemate, deformările elastice și o parte din cele de curgere lentă fiind consumate în momentul monolitizării.

b) Cadrul portal prefabricat din figura 4.20 este realizat în mai multe etape. La timpul ζ_0 se montează stîlpii cadrului, care lucrează ca două console independente (fig.4.20b). La timpul

ζ_1 se montează grinda prefabricată, care lucrează ca o grindă simplu rezemată, producindu-se deplasările verticale instantanee și cele de curgere lentă (fig.4.2oc). La timpul ζ_2 se realizează

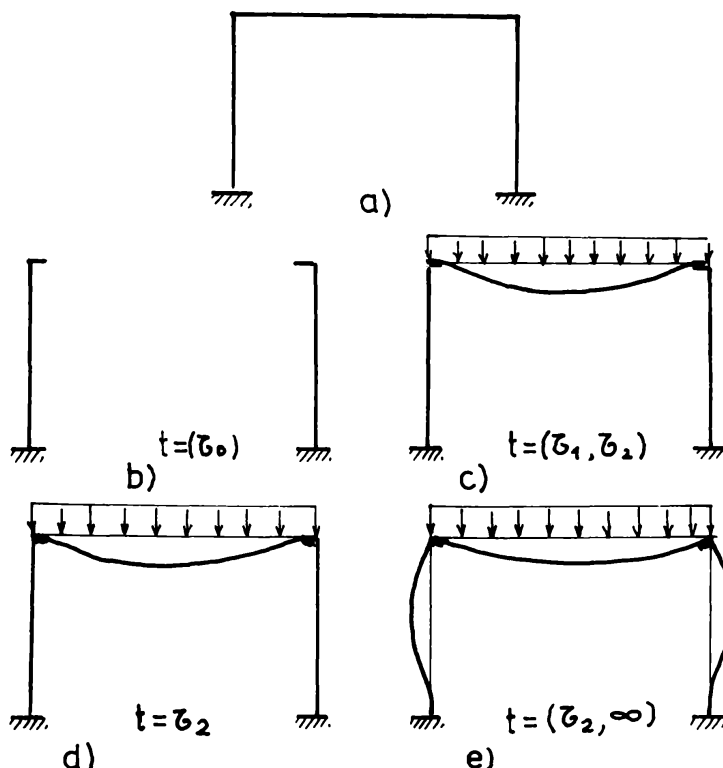


Fig.4.2o

monolitizarea nodurilor (fig.4.2od), după care structura lucrează ca un cadru portal (fig.4.2oe). Diferențele dintre calculul obisnuit de cadru portal și cel care ține seamă de echimbări la produse în schema statică sint cele prezentate la grinda continuă prefabricată.

4.8.2.2. Impărțirea structurii în substructuri

Si în cazul structurilor prefabricate, execuția în etape introduce în mod natural ideea de a se lucra pe substructuri, similar ca în cazul structurilor monolite. În schimb însă, în cadrul fiecărei etape există mai multe operații care se fac la tempi

diferiți, care influențează comportarea structurii.

Astfel, în etapa 1a (fig.4.21) se montează stâlpii verticali care lucrează ca și console. Urmează așezarea grinzelor prefabricate în etapa 1b, cînd încărcările din greutate proprie (a grinzelii și eventual a planseelor prefabricate) produc deformațiile elastice instantanee și încep să se producă și deformațiile de

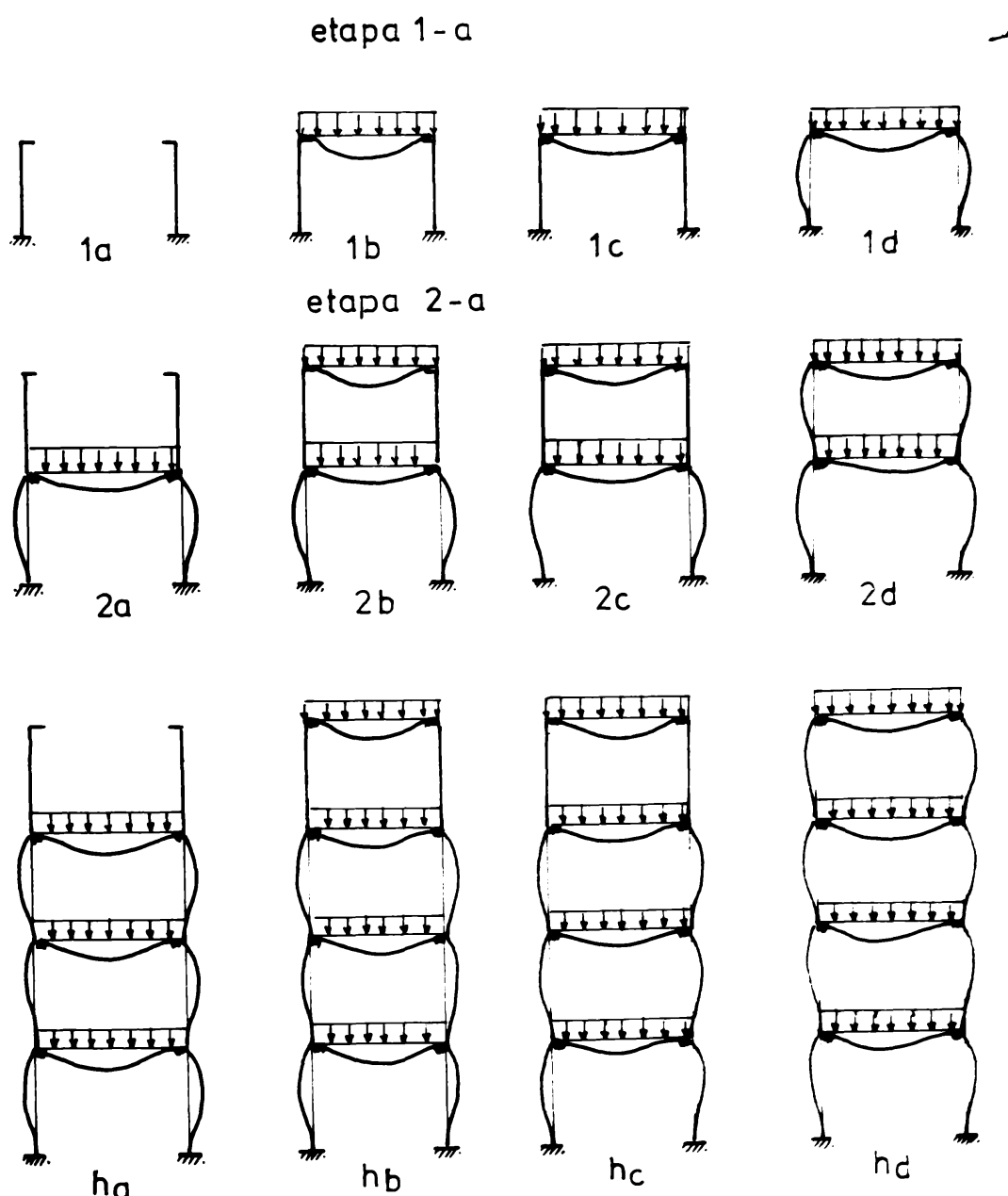


Fig.4.21

curgere lentă. În această perioadă grinziile prefabricate lucrează ca și grinzi simplu rezemate. La timpul $t = \bar{\zeta}_{1c}$ se realizează monolitizarea nodurilor după care structura lucrează, pentru restul deformațiilor de curgere lentă, ca un cadru portal.

Etapă 2-a începe cu montarea stîlpilor de la nivelul doi ($t = \bar{\zeta}_{2a}$), montarea grinziilor prefabricate ($t = \bar{\zeta}_{2b}$), monolitizarea nodurilor ($t = \bar{\zeta}_{2c}$), după care structura lucrează ca un cadru cu două niveluri.

Trecind din etapă în etapă, se ajunge la nivelul h , la care se disting aceleasi etape: montarea stîlpilor ($t = \bar{\zeta}_{ha}$), montarea grinziilor prefabricate, care lucrează ca simplu rezemate ($t = \bar{\zeta}_{hb}$), monolitizarea nodurilor ($t = \bar{\zeta}_{hc}$) și astfel numai pentru $t > \bar{\zeta}_{hc}$ structura lucrează ca un cadru cu h niveluri.

Astfel, modul de execuție a structurii indică o înșiruire de substructuri. În etapa h , se leagă două substructuri, prima executată în cele $h-1$ etape anterioare, care este un cadru static nedeterminat cu $h-1$ niveluri, și a doua, cea corespunzătoare ultimului nivel.

4.8.2.3. Ecuatiile de compatibilitate

În mod natural necunoscutele structurii de bază în etapa h se aleg eforturile de legătură dintre elementele prefabricate, în dreptul monolitizărilor. Astfel, în etapa h , necunoscutele de la nivelul h vor fi (fig.4.22):

$$\{X_j^{(h)}(t)\} = \begin{Bmatrix} x_1^{(h)}(t) \\ x_2^{(h)}(t) \\ \vdots \\ x_s^{(h)}(t) \end{Bmatrix} \quad (4.143)$$

unde s este gradul de nedeterminare statică a substructurii nivelului h . Ecuatiile de compatibilitate sunt:

$$[A_{xx}^{(h)}(t)]\{X^{(h)}(t)\} + \{U_{xp}^{(h)}(t)\} = 0 \quad (4.144)$$

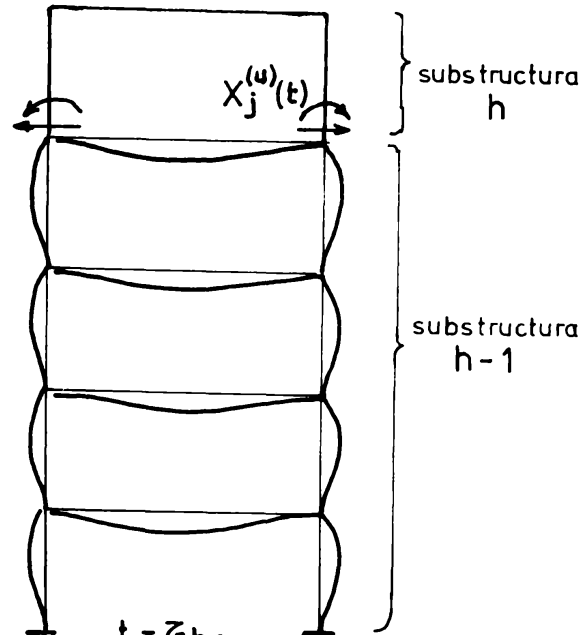


Fig.4.22.

Deoarece valorile inițiale ale necunoscutelor $\{x_j^{(h)}\}$ sunt nule, trebuie să se lucreze cu valorile finale. Rezultă astfel

$$\{x_j^{(h)}(t)\} = \{\bar{x}_{j0}^{(h)}\}^T \{F_j^{(h)}(t)\} \quad (4.145)$$

unde:

- $\bar{x}_{j0}^{(h)}$ este valoarea necunoscutei calculată fără să se țină seamă de etapele de execuție;

- $F_j^{(h)}(t)$ ține seamă de schimbarea schemei statice și modul diferit de acțiune a curgerii lente în diferitele etape de execuție.

Necunoscutele $\{\bar{x}_0^{(h)}\}$ vor rezulta din rezolvarea ecuațiilor:

$$[\bar{A}_{xx}^{(h)}] \{\bar{x}_0^{(h)}\} + \{\bar{U}_{xp}\} = 0 \quad (4.146)$$

Așa cum s-a procedat în exemplele precedente, după ce $\bar{x}_0^{(h)}$ sunt determinate, se calculează funcțiile $\{F_j^{(h)}(t)\}$ din ecuația

$$[C_{xx}^{(h)}(.)] \{F_j^{(h)}(t)\} + [D_{xp}^{(h)}(.)] \{p(t)\} = 0 \quad (4.147)$$

în care matricele $[C_{xx}^{(h)}(.)]$ și $[D_{xp}^{(h)}(.)]$ sunt date de (4.141), dar în care operatorii $C_{ij}^{(h)}(.)$ și $D_{ij}^{(h)}(.)$ sunt:

$$c_{ij}^{(h)}(.) = \left[\sum_k \bar{a}_{ij,k}^{(h)} \right] \bar{x}_{j0}^{(h)} \quad (4.148a)$$

$$d_{ij}^{(h)}(.) = \left[\sum_k \bar{b}_{ij,k}^{(h)} \right] \bar{P}_j^{(h)} \quad (4.148b)$$

4.9. Metode practice de rezolvare

4.9.1. Utilizarea formulării Trost-bazant pentru operatorul $\tilde{J}[\dots]$.

In paragrafele precedente s-a elaborat o metodă analitică generală care permite să fie stabilită starea de eforturi și deformații la orice tip t, măsurat de la un timp t_1 , considerat timp reper. Analizând această stare la diferite perioade, se poate stabili o "biografie" a structurii, din momentul realizării ei, pînă cînd efectele curgerii lente și contracției se amortizează.

Totuși pentru proiectarea curentă este mai puțin importantă cunoașterea stării de eforturi în fiecare moment, deoarece aceste valori cresc sau scad continuu. De aceea este suficient că fie cunoscută starea de eforturi și deformație inițială și finală, pentru a avea o imagine clară asupra modificărilor petrecute în structură.

In această situație trebuie analizată care dintre metodele de calcul prezentate în capitolul precedent este cea mai adecvată.

Astfel, folosirea metodelor analitice Dischinger sau Alexandrovski introduce complicații inutile, pentru că ele se referă la cunoașterea stării de eforturi și deformații în orice moment, starea finală, ce ne interesează, fiind numai un caz limită.

Dintre metodele numerice aproximative, formularea Trost-bazant pentru operatorul $\tilde{J}[\dots]$ este cea mai simplă și metodele practice ce se vor dezvolta în continuare vor utiliza această formulare.

Astfel operatorii $J_k[\dots]$ din ecuațiile de compatibilitate pot fi scriși sub forma:

$$J_k[F_j(t)] = F_j[1 + \varphi_k(t, b_1)] + [F_j(t) - F_j][1 + \chi_k(t, b_1) \varphi_k(t, b_1)] \quad (4.149)$$

Dacă se iau în considerare valorile finale:

$$F_j(\infty) = \bar{F}_j; \varphi_k(\infty, \bar{\epsilon}_1) = \bar{\varphi}_k; x_k(\infty, \bar{\epsilon}_1) = \bar{x}_k \quad (4.150a)$$

și cele initiale:

$$F_j = 1 \quad (4.150b)$$

relația (4.149) devine:

$$\bar{J}_k[\bar{F}_j] = 1 + \bar{\varphi}_k + (\bar{F}_j - 1)(1 + \bar{x}_k \bar{\varphi}_k) = (1 + \bar{x}_k \bar{\varphi}_k)\bar{F}_j + (1 - \bar{x}_k)\bar{P}_k \quad (4.151)$$

relație ce va fi utilizată în continuare în ecuațiile de compatibilitate.

4.9.2. Metodă practică pentru structuri cu schema statică nemodificată în timp

Dacă se introduce relația (4.149) în (4.112) rezultă:

$$\begin{aligned} c_{ij}(\bar{F}_j) &= \left[\sum_k a_{ij,k} \bar{J}_k(\bar{F}_j) \right] X_j = \left[\sum_k a_{ij,k} [(1 + \bar{x}_k \bar{\varphi}_k)\bar{F}_j + (1 - \bar{x}_k)\bar{P}_k] \right] X_j \\ &= \bar{f}_{ij}\bar{F}_j + \bar{g}_{ij}X_j \end{aligned} \quad (4.152)$$

în care s-au folosit notațiile:

$$\bar{f}_{ij} = \left[\sum_k a_{ij,k} (1 + \bar{x}_k \bar{\varphi}_k) \right] X_j \quad (4.153a)$$

$$\bar{g}_{ij} = \sum_k a_{ij,k} (1 - \bar{x}_k) \bar{\varphi}_k \quad (4.153b)$$

Tinând seama că acțiunile nu se modifică în timp, rezultă din (4.114):

$$d_{ij}(\infty) = \bar{d}_{ij} = \sum_k b_{ij,k} (1 + \bar{\varphi}_k) \quad (4.154)$$

Astfel relația (4.110) se modifică în:

$$[\bar{F}_{xx}] \{ \bar{F} \} + [\bar{G}_{xx}] \{ X \} + [\bar{D}_{xp}] \{ P \} = 0 \quad (4.155)$$

în care:

$[\bar{F}_{xx}]$ este matricea de flexibilitate asociată:

$$[\bar{F}_{xx}] = \begin{vmatrix} \bar{f}_1 & \bar{f}_2 & \bar{f}_j & \bar{f}_n \\ \bar{f}_{11} & \bar{f}_{12} & \cdots & \bar{f}_{1j} & \cdots & \bar{f}_{1n} \\ \bar{f}_{21} & \bar{f}_{22} & \cdots & \bar{f}_{2j} & \cdots & \bar{f}_{2n} \\ \vdots & \vdots & & \vdots & & \vdots \\ \bar{f}_{i1} & \bar{f}_{i2} & \cdots & \bar{f}_{ij} & \cdots & \bar{f}_{in} \\ \vdots & \vdots & & \vdots & & \vdots \\ \bar{f}_{n1} & \bar{f}_{n2} & \cdots & \bar{f}_{nj} & \cdots & \bar{f}_{nn} \end{vmatrix} \quad (4.156)$$

$[\bar{G}_{xx}]$ - matricea asociată necunoscutelelor inițiale x_n

$$[\bar{G}_{xx}] = \begin{vmatrix} x_1 & x_2 & \dots & x_j & \dots & x_n \\ \bar{g}_{11} & \bar{g}_{12} & \dots & \bar{g}_{1j} & \dots & \bar{g}_{1n} \\ \bar{g}_{21} & \bar{g}_{22} & \dots & \bar{g}_{2j} & \dots & \bar{g}_{2n} \\ \vdots & \vdots & & \vdots & & \vdots \\ \bar{g}_{i1} & \bar{g}_{i2} & \dots & \bar{g}_{ij} & \dots & \bar{g}_{in} \\ \vdots & \vdots & & \vdots & & \vdots \\ \bar{g}_{n1} & \bar{g}_{n2} & \dots & \bar{g}_{nj} & \dots & \bar{g}_{nn} \end{vmatrix} \quad (4.157)$$

$[\bar{D}_{xp}]$ - matricea acțiunilor exterioare

$$[\bar{D}_{xp}] = \begin{vmatrix} \bar{d}_{11} & \bar{d}_{12} & \dots & \bar{d}_{1j} & \dots & \bar{d}_{1m} \\ \bar{d}_{21} & \bar{d}_{22} & \dots & \bar{d}_{2j} & \dots & \bar{d}_{2m} \\ \vdots & \vdots & & \vdots & & \vdots \\ \bar{d}_{i1} & \bar{d}_{i2} & \dots & \bar{d}_{ij} & \dots & \bar{d}_{im} \\ \vdots & \vdots & & \vdots & & \vdots \\ \bar{d}_{n1} & \bar{d}_{n2} & \dots & \bar{d}_{nj} & \dots & \bar{d}_{nm} \end{vmatrix} \quad (4.158)$$

De asemenea, în (4.156) s-au introdus vectorii:

- $\{F\}$ a valorilor finale ale funcțiilor de variație în timp:

$$\{\bar{F}\} = \left\{ \begin{array}{c} \bar{F}_1 \\ \bar{F}_2 \\ \vdots \\ \bar{F}_i \\ \vdots \\ \bar{F}_n \end{array} \right\} \quad (4.159)$$

- $\{P\}$, a încărcărilor inițiale pe structură, dat de relația (4.80);

- $\{X\}$, a eforturilor necunoscute inițiale, dat de relația (4.81).

Prin urmare problema s-a redus la rezolvarea sistemului de ecuații:

$$[A_{xx}]\{X\} + [B_{xp}]\{P\} = 0 \quad (4.160a)$$

$$[\bar{F}_{xx}]\{\bar{F}\} + [\bar{G}_{xx}]\{X\} + [\bar{D}_{xp}]\{P\} = 0 \quad (4.160b)$$

Sistemul de ecuații (4.160) cuprinde două grupuri de necunoscute:

- $\{X\}$, necunoscutele în fază inițială ce se obțin din rezolvarea sistemului (4.160a):

$$\{X\} = -[A_{xx}]^{-1}[B_{xp}]\{P\} \quad (4.161a)$$

$\{\bar{F}\}$, funcția de timp din faza finală ce arată creșterea sau descreșterea în timp a necunoscutelor inițiale:

$$\{\bar{F}\} = -[\bar{F}_{xx}]^{-1} \left\{ [\bar{G}_{xx}] [A_{xx}]^{-1} [B_{xp}] + [\bar{D}_{xp}] \right\} \{P\} \quad (4.161b)$$

Prin rezolvarea sistemului de ecuații (4.160) se obțin valorile $\{X\}$ și $\{\bar{F}\}$ și astfel se pot calcula din relația (4.96) valorile finale ale necunoscutelor:

$$\{\bar{x}\} = \{x\}^T \{\bar{F}\} \quad (4.162)$$

și cu aceste valori pot fi trase diagramele de eforturi finale, după consumarea curgerii lente.

In cele ce urmează se va aplica metoda elaborată la două cadre pentru care există rezultate folosind ale metode.

a) Cadru dublu articulat din figura 4.23 este calculat în /82/ (pagina 173) cu următoarele caracteristici
 bara 1 : $\ell = 4,00\text{m}$; $E_1 = 3 \times 10^6 \text{ N/cm}^2$; $I_1 = 72 \times 10^{-4} \text{ m}^4$; $\bar{\varphi}_1 = 3$
 bara 2 : $\ell = 12,00\text{m}$; $E_2 = 3 \times 10^6 \text{ N/cm}^2$; $I_2 = 105 \times 10^{-4} \text{ m}^4$; $\bar{\varphi}_2 = 1$

Cadrul este odată static nedeterminat și se alege drept necunoscută împingerea simplă X_1 .

Calculul coeficienților a_{ij} rezultă din figura 4.23c,d:

$$a_{11,1} = \frac{1}{3} \frac{h^3}{E_1 I_1} ; \quad b_{1p,1} = 0$$

$$a_{11,2} = \frac{\ell h^2}{E_2 I_2} ; \quad b_{1p,2} = -\frac{h \ell^3}{12 E_2 I_2}$$

Rezultă astfel pentru faza inițială la timpul :

$$[A_{11}] = a_{11} = 2a_{11,1} + a_{11,2} = -\frac{\ell h^2}{E_2 I_2} \left(1 + \frac{2}{3} \beta \right)$$

$$[B_{1p}] = b_{1p} = 2b_{11,1} + b_{11,2} = -\frac{h \ell^3}{12 E_2 I_2}$$

iar necunoscuta X se obține din sistemul (4.109):

$$a_{11} X_1 + b_{1p} p = 0$$

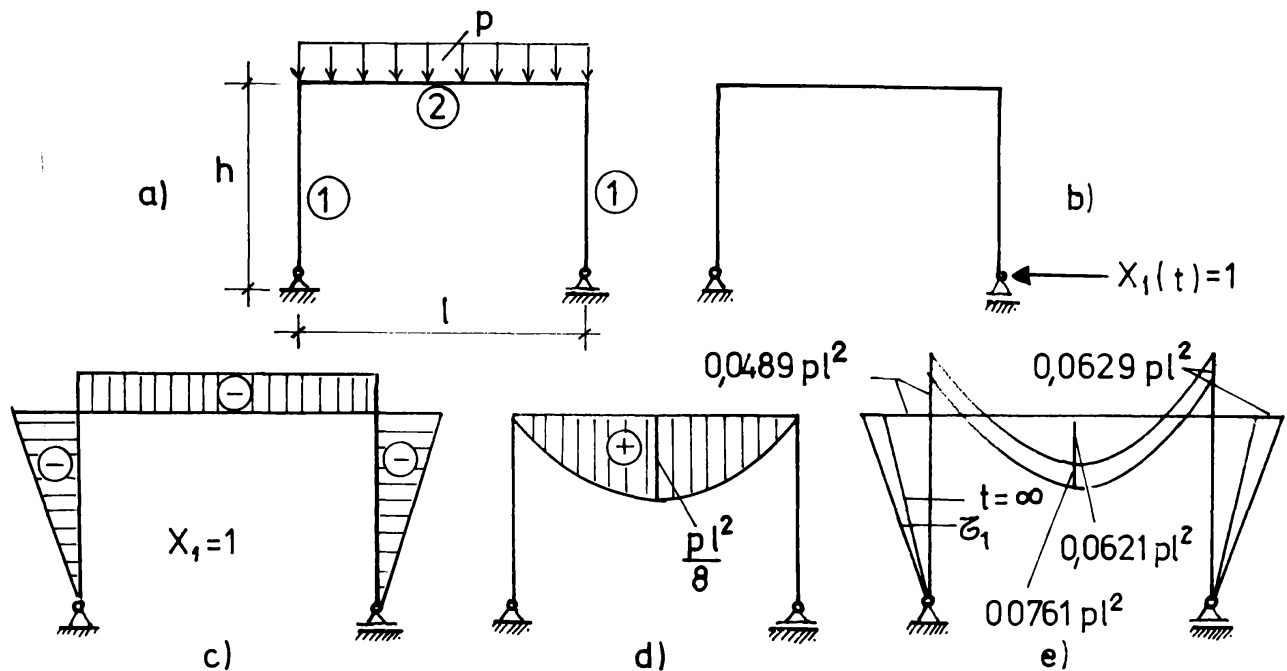


Fig.4.23

de unde:

$$\left(\frac{2}{3} \frac{h^3}{E_1 I_1} + \frac{\ell h^2}{E_2 I_2} \right) X_1 - \frac{p h \ell^3}{12 E_2 I_2} = 0$$

Se obtine astfel

$$X_1 = \frac{p \ell^2}{12} \frac{1}{1 + \frac{2}{3} \beta}$$

unde

$$\beta = \frac{E_2 I_2}{E_1 I_1} \frac{h}{\ell} = \frac{3 \times 10^6 \times 105 \times 10^{-4}}{5 \times 10^6 \times 72 \times 10^{-4}} \frac{4}{12} = 0,486$$

Rezultă astfel necunoscuta inițială X_1

$$X_1 = 0,755 \frac{p \ell^2}{12 h}$$

Pentru determinarea valorii finale a acestei necunoscute se calculează coeficienții \bar{f}_{ij} și \bar{g}_{ij} din relațiile (4.153). Valo- rile coeficienților \bar{x}_1 și \bar{x}_2 rezultă din tabelul 4.1. Considerind că încărcarea grinzii se face la 100 zile de la turnare, iar pentru

stilpi la 30 de zile de la turnare, rezultă $\bar{x}_1 = 0,808$ și $\bar{x}_2 = 0,815$.

Se obține astfel:

$$[\bar{F}_{11}] \cdot \bar{f}_{11} = [2\sigma_{11,1}(1+\bar{x}_1\bar{\varphi}_1) + \sigma_{11,2}(1+\bar{x}_2\bar{\varphi}_2)]x_1 = \frac{\ell h^2}{E_2 I_2} [1+\bar{x}_2\bar{\varphi}_2 + \frac{2}{3}\rho(1+\bar{x}_1\bar{\varphi}_1)]x_1 = \\ = 2,924 \frac{\ell h^2}{E_2 I_2} x_1$$

$$[\bar{G}_{11}] \cdot \bar{g}_{11} = 2\sigma_{11,1}(1-\bar{x}_1)\bar{\varphi}_1 + \sigma_{11,2}(1-\bar{x}_2)\bar{\varphi}_2 = \frac{\ell h^2}{E_2 I_2} [(1-\bar{x}_2)\bar{\varphi}_2 + \frac{2}{3}\rho(1-\bar{x}_1)\bar{\varphi}_1] = \\ = 0,371 \frac{\ell h^2}{E_2 I_2}$$

$$[\bar{D}_{1P}] = \bar{d}_{11} = 2b_{11,1}(1+\bar{\varphi}_1) + b_{11,2}(1+\bar{\varphi}_2) = -2 \frac{h \ell^3}{12 E_2 I_2}$$

Pentru cazul studiat ecuația (4.155) devine:

$$\bar{f}_{11}\bar{F}_1 + \bar{d}_{11} \cdot p + \bar{g}_{11}x_1 = 0$$

și introducind valorile de mai sus:

$$2,924 \frac{\ell h^2}{E_2 I_2} \cdot 0,755 - 2 \frac{p \ell^2}{12 h} \bar{F}_1 - 2 \frac{p h \ell^3}{12 E_2 I_2} + 0,371 \frac{\ell h^2}{E_2 I_2} \cdot 0,755 - \frac{p \ell^2}{12 h} \cdot 0$$

Se obține astfel, după simplificările necesare

$$2,2076\bar{F}_1 - 2 + 0,2801 = 0$$

$$\bar{F}_1 = \frac{1,7199}{2,2076} = 0,779$$

Valoarea finală a lui x_1 ca urmare a efectului curgerii lente diferite a celor două elemente este

$$\bar{x}_1 = x_1(\infty) = x_1 \bar{F}_1 = 0,779 \times 0,755 - \frac{p \ell^2}{12 h} = 0,587 - \frac{p \ell^2}{12 h}$$

împingerea reducându-se cu cca 22,2%.

Un calcul mai exact este efectuat, rezultând în /82/:

$$\bar{x}_1 = 0,575 - \frac{p \ell^2}{12 h}$$

fază de care diferența este numai de 2%. Astfel, se verifică corectitudinea metodei de calcul elaborată în lucrare.

Diagramele de momente în fază inițială și cea finală sunt reprezentate în figura 4.23e. Se constată că momentele din colțurile cadrului scad, pe cind cele din cimp cresc. Astfel rezul-

tă pe reazeme

$$M_B(\zeta_1) = 0,0629 p\ell^2$$

$$\bar{M}_B = 0,0489 p\ell^2$$

iar în cimp

$$M_{max}(\zeta_1) = 0,0621 p\ell^2$$

$$\bar{M}_{max} = 0,0761 p\ell^2$$

Prin urmare momentele în cimp au crescut cu 22% ca urmare a faptului că rigiditatea stîlpilor, avind caracteristica curgerii lente mai mare decît cea a grinzi, se reduce în timp mult mai mult și efectul de încastrare scade.

b) Cadru simplu din figura (4.24a) este de asemenea studiat în /82/ (pag.271) cu următoarele caracteristice.

$$\frac{E_1 A_1 \ell^2}{E_2 I_2} = 49; h \cdot \ell = 7m$$

pentru două cazuri: $\bar{\varphi}_1 = 0$; $\bar{\varphi}_2 = 2$ și $\bar{\varphi}_1 = 2$; $\bar{\varphi}_2 = 0$

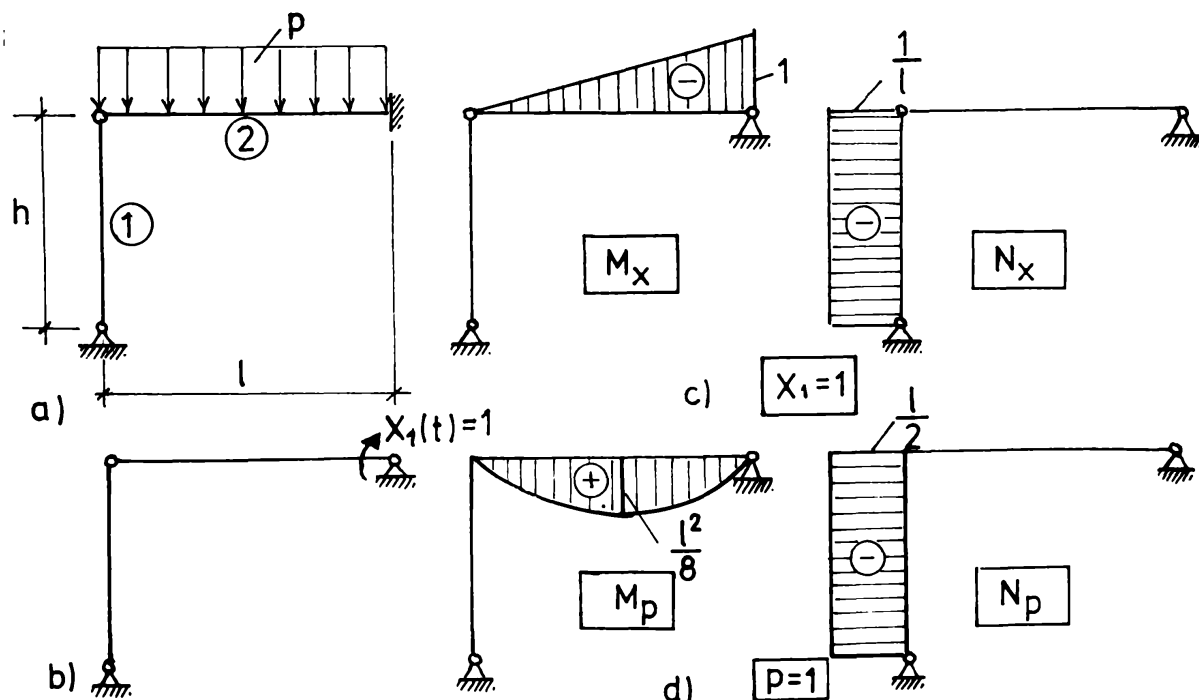


Fig.4.24.

Cadrul este odată static nedeterminat. Alegind drept necunoscută momentul de pe reazemul C (fig.4.24b) rezultă următorii coeficienți:

$$a_{11,1} = \frac{h}{E_1 A_1} \ell^2 ; \quad b_{11,1} = -\frac{h}{2 E_1 A_1}$$

$$a_{11,2} = \frac{\ell}{3 E_2 I_2} ; \quad b_{11,2} = -\frac{\ell^3}{24 E_2 I_2}$$

$$[A_{11}] = a_{11} = a_{11,1} + a_{11,2} = \frac{h}{E_1 A_1} \ell^2 + \frac{\ell}{3 E_2 I_2}$$

$$[B_{1p}] = b_{11} = b_{11,1} + b_{11,2} = -\left(\frac{h}{2 E_1 A_1} + \frac{\ell^3}{24 E_2 I_2}\right)$$

Din ecuația (4.160a) rezultă:

$$a_{11} x_1 + b_{11} p = 0$$

de unde

$$x_1 = \frac{p \ell^2}{8} \frac{12 + \varphi}{3 + \varphi} = 1,17 \frac{p \ell^2}{8}$$

unde

$$\varphi = \frac{E_1 A_1 \ell^2}{E_2 I_2} \frac{\ell}{h} = 49$$

Pentru primul caz în care $\bar{\varphi}_1 = 0$ și $\bar{\varphi}_2 = 2$, se consideră

$\bar{\chi} = 0,8$:

$$\begin{aligned} [\bar{F}_{11}] &= \bar{f}_{11} = [a_{11,1}(1 + \bar{\chi}_1 \bar{\varphi}_1) + a_{11,2}(1 + \bar{\chi}_2 \bar{\varphi}_2)] x_1 = \left[\frac{h}{E_1 A_1 \ell^2} + \frac{\ell}{3 E_2 I_2} (1 + \bar{\chi}_2 \bar{\varphi}_2) \right] x_1 = \\ &= 43,467 \frac{h}{E_1 A_1 \ell^2} x_1 \end{aligned}$$

$$[\bar{G}_{11}] = \bar{g}_{11} = a_{11,1}(1 - \bar{\chi}_1) \bar{\varphi}_1 + a_{11,2}(1 - \bar{\chi}_2) \bar{\varphi}_2 = \frac{\ell}{3 E_2 I_2} 0,2 \cdot 2 - 0,1333 \frac{\ell}{E_2 I_2}$$

$$[\bar{D}_{1p}] = \bar{d}_{11} = b_{11,1}(1 + \bar{\varphi}_1) + b_{11,2}(1 + \bar{\varphi}_2) = -\left(\frac{h}{2 E_1 A_1} + 3 \frac{\ell^3}{24 E_2 I_2} \right) =$$

$$= -6,625 \frac{h}{E_1 A_1}$$

Din (4.160b) se obține ecuația:

$$\bar{f}_{11} \bar{F}_1 + \bar{g}_{11} x_1 + \bar{d}_{11} p = 0$$

și introducind valorile de mai sus:

$$43,467 \frac{h}{E_1 A_1 \ell^2} 1,17 \frac{p \ell^2}{8} \bar{F} - 155 = 0,1333 \times 1,17 \frac{p \ell^2}{8} - 6,625 \frac{p h}{E_1 A_1} = 0$$

$$6,357 \bar{F} + 0,0195 \frac{E_1 A_1 \ell^2}{E_2 I_2} \frac{\ell}{h} - 6,625 = 0; 6,357 \bar{F} + 0,955 - 6,625 = 0$$

$$\bar{F} = \frac{5,67}{6,357} = 0,892$$

Valoarea finală a necunoscutei este

$$X_1 = 0,892 \times 1,17 \frac{p \ell^2}{8} = 1,04 \frac{p \ell^2}{8}$$

Pentru cazul $\bar{\varphi}_1 = 2$, $\bar{\varphi}_2 = 0$ și $\bar{\pi} = 0,8$ se obține:

$$\bar{f}_{11} = 18,933 \frac{h}{E_1 A_1 \ell^2} X_1$$

$$\bar{g}_{11} = 0,4 \frac{h}{E_1 A_1 \ell^2}$$

$$\bar{d}_{11} = -3,542 \frac{h}{E_1 A_1}$$

Similar rezultă ecuația:

$$18,933 \frac{h}{E_1 A_1 \ell^2} 1,17 \frac{p \ell^2}{8} \bar{F} + 0,4 \frac{h}{E_1 A_1 \ell^2} 1,17 \frac{p \ell^2}{8} - 3,542 \frac{p h}{E_1 A_1} = 0$$

$$2,769 \bar{F} + 0,0585 - 3,542 = 0$$

$$\bar{F} = \frac{3,4835}{2,769} = 1,258$$

și valoarea finală a necunoscutei este:

$$\bar{X}_1 = 1,258 \times 1,17 \frac{p \ell^2}{8} = 1,47 \frac{p \ell^2}{8}$$

Compararea rezultatelor obținute cu valorile determinate

în /82/ cu alte metode ne arată următoarele:

Metoda	$\bar{\varphi}_1 = 0; \bar{\varphi}_2 = 2$	$\bar{\varphi}_1 = 2; \bar{\varphi}_2 = 0$
--------	--	--

Trost-Bazant	1,03	1,46
--------------	------	------

Curgere medie	1,01	1,48
---------------	------	------

Dischinger	1,02	1,47
------------	------	------

Metoda propusă în lucrare	1,04	1,47
------------------------------	------	------

Rezultă o foarte bună concordanță cu valorile stabilite în /82/. Se menționează că metoda Trost-Bazant utilizată și în

prezenta lucrare are în /82/ o altă formulare decit cea de fată).

Rezultă că metoda elaborată este corectă.

In figura 4.24e este trasată diagrama de momente pe cadrul. Se constată că, în funcție de caracteristicile curgerii lente, valoriile momentelor pe reazem pot să scadă sau să crească.

Astfel dacă:

$$\bar{\varphi}_1 = 0; \bar{\varphi}_2 = 2; M_C = 1,17 \frac{p\ell^2}{8}; \bar{M}_C = 1,04 \frac{p\ell^2}{8}$$

momentul scăzând cu 12,5%, iar dacă

$$\bar{\varphi}_1 = 2; \bar{\varphi}_2 = 0; M_C = 1,17 \frac{p\ell^2}{8}; \bar{M}_C = 1,47 \frac{p\ell^2}{8}$$

momentul crește cu 25,6%.

In concluzie, cele două exemple de calcul, pentru care există valori stabilite după alte metode, au arătat că metoda elaborată în lucrare este corectă și astfel poate fi folosită la analizarea unor structuri mai complexe.

4.9.3. Metodă practică pentru efectul contracției betonului

La fel ca și în cazul curgerii lente, pentru calculul practic interesează valorile finale ale eforturilor din contracție. În acest sens, introducind relația (4.151) în (4.134) rezultă similar cu (4.152):

$$c_{ij} (\bar{F}_j) = \bar{f}_{ij} \bar{F}_j + \bar{g}_{ij} \bar{X}_{jo} \quad (4.163)$$

în care \bar{f}_{ij} și \bar{g}_{ij} sunt date de (4.153). Rezultă astfel că efectul contracției betonului poate fi determinat rezolvând sistemul de ecuații dat de (4.132)

$$[A_{xx}] \{\bar{X}_o\} + \{\bar{U}_{xc}\} = 0 \quad (4.164a)$$

$$[\bar{F}_{xx}] \{\bar{F}\} + [\bar{G}_{xx}] \{\bar{X}_o\} + \{\bar{U}_{xc}\} = 0 \quad (4.164b)$$

Din prima ecuație rezultă

$$\{\bar{X}_o\} = [A_{xx}]^{-1} \{\bar{U}_{xc}\} \quad (4.165)$$

care reprezintă necunoscutele determinante din contractie, fără să se țină seamă de efectul curgerii lente. Introducind (4.165) în (4.164b) rezultă:

$$\{\bar{F}\} = -[F_{xx}]^{-1}([A_{xx}]^{-1} + 1)\{\bar{U}_{xc}\} \quad (4.166)$$

din care se obține scăderea eforturilor din contractie datorită efectului curgerii lente și prin urmare $\{\bar{F}\} < 1$.

Efortul final rezultă din relația:

$$\{\bar{x}\} = \{\bar{X}_o\}^t \{\bar{F}\} \quad (4.167)$$

Pentru testarea exactității metodei se consideră cadrul din fig. 4.25a, calculat în /82/, care are din contractie deformațiile prezentate în fig. 4.25.

Structura de bază este prezentată în figura 4.25b, iar deformațiile din contractie a structurii de bază, în figura 4.25d. Calculul împingerii orizontale din contractie, fără să se țină seamă de efectul curgerii lente rezultă din ecuația (4.164a):

$$a_{11}\bar{X}_{10} + \bar{u}_{1c} = 0$$

în care a_{11} este determinat în exemplul precedent, iar:

$$\bar{u}_{1c} = -\bar{\varepsilon}_{ct} \ell$$

Rezultă astfel:

$$\bar{X}_{10} = \frac{\bar{\varepsilon}_{ct} \ell}{\frac{2h^3}{3EI_1} + \frac{\ell h^2}{E_2 I_2}} = \bar{\varepsilon}_{ct} \frac{E_2 I_2}{h^2} \frac{1}{1 + \frac{2}{3} \rho} = 0,755 \bar{\varepsilon}_{ct} \frac{E_2 I_2}{h^2}$$

ρ fiind dat în exemplul din paragraful precedent.

Ecuația (4.164b) devine:

$$\bar{f}_{11}\bar{F} + \bar{g}_{11}\bar{X}_{10} + \bar{\mu}_{1c} = 0$$

Folosind calculele din exemplul precedent, se obține:
 $2,924 \frac{\ell h^2}{E_2 I_2} 0,755 \bar{\varepsilon}_{ct} \frac{E_2 I_2}{h^2} \bar{F} + 0,371 \frac{\ell h^2}{E_2 I_2} 0,755 \bar{\varepsilon}_{ct} \frac{E_2 I_2}{h^2} - \bar{\varepsilon}_{ct} = 0$

$$2,2076 \bar{F} + 0,28 - 1,0$$

$$\bar{F} = \frac{0,72}{2,2076} = 0,326$$

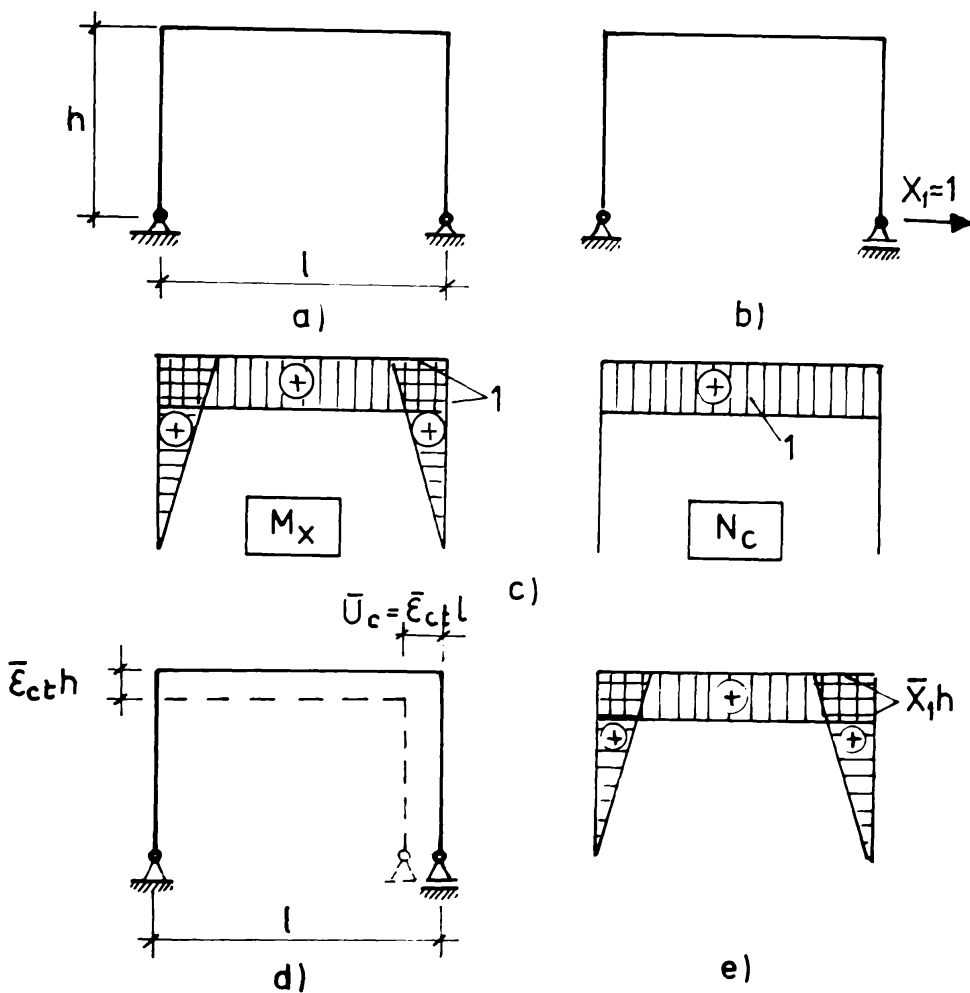


Fig. 4.25.

Calculul mai exact efectuat în /82/ a dat $\bar{F} = 0,33$, de unde rezultă o diferență 1,2%.

Impingerea orizontală finală, ținând seama de contractie și curgere lentă este:

$$\bar{X}_1 = 0,326 \times 0,755 \bar{\varepsilon}_{ct} \frac{E_2 I_2}{h^2} = 0,246 \bar{\varepsilon}_{ct} \frac{E_2 I_2}{h^2}$$

Prin urmare curgerea lentă a redus eforturile din contractie cu 67%.

4.9.4. Metodă practică pentru structuri cu schema statică ce se modifică în timpul execuției

4.9.4.1. Structuri monolite

Similar cu în cazurile precedente, pentru etapa 4 de execuție la timpul $t = \zeta_h$ necunoscutele acestei etape și variația în timp a acestor eforturi va fi determinată din relațiile:

$$[A_{xx}^{(h)}(\zeta_h)]\{X^{(h)}(\zeta_h)\} + [B_{xp}^{(h)}(\zeta_h)]\{P^{(h)}(\zeta_h)\} = 0 \quad (4.168a)$$

$$[F_{xx}^{(h)}(\zeta_h)]\{F^{(h)}(t)\} + [G_{xx}^{(h)}(\zeta_h)]\{X^{(h)}(\zeta_h)\} + [D_{xp}^{(h)}]\{P^{(h)}(\zeta_h)\} = 0 \quad (4.168b)$$

S-a ajuns la aceste relații utilizând pentru funcția $J_k[\dots]$ expresia simplificată a lui Trost-Bazant:

$$J_k[F_j^{(h)}(t)] = 1 + \varphi_k(\zeta_h, \zeta_1) + [F_j^{(h)}(\zeta_h) - 1][1 + x_k(\zeta_h, \zeta_1)\varphi_k(\zeta_h, \zeta_1)] \quad (4.169)$$

care introducă în relația (4.140), dă relația (4.168b), cu notările

$$f_{ij}^{(h)}(\zeta_h) = \left[\sum_k a_{ij,k} [1 + x_k(\zeta_h, \zeta_1)\varphi_k(\zeta_h, \zeta_1)] \right] x_j^{(h)}(\zeta_h) \quad (4.170a)$$

$$g_{ij}^{(h)}(\zeta_h) = \sum_k a_{ij,k} [1 - x_k(\zeta_h, \zeta_1)] \varphi_k(\zeta_h, \zeta_1) \quad (4.170b)$$

$$d_{ij}^{(h)}(\zeta_h) = \sum_k b_{ij,k} [1 + \varphi_k(\zeta_h, \zeta_1)] \quad (4.170c)$$

Matricele din (4.168a) sunt date de (4.139), iar cele din (4.168b) sunt:

$$[F_{xx}^{(h)}(\zeta_h)] = \begin{vmatrix} F_1(\zeta_h) & F_2(\zeta_h) & F_j(\zeta_h) & F_n(\zeta_h) \\ f_{11}^{(h)}(\zeta_h) & f_{12}^{(h)}(\zeta_h) & \cdots & f_{1n}^{(h)}(\zeta_h) \\ f_{i1}^{(h)}(\zeta_h) & f_{i2}^{(h)}(\zeta_h) & \cdots & f_{in}^{(h)}(\zeta_h) \\ f_{n1}^{(h)}(\zeta_h) & f_{n2}^{(h)}(\zeta_h) & \cdots & f_{nn}^{(h)}(\zeta_h) \end{vmatrix} \quad (4.171a)$$

$$\begin{aligned}
 & X_1^{(h)}(\zeta h) - \frac{160}{-} - X_2^{(h)}(\zeta h) \quad X_j^{(h)}(\zeta h) \quad X_n^{(h)}(\zeta h) \\
 & g_{11}^{(h)}(\zeta h) \quad g_{12}^{(h)}(\zeta h) - \cdots - g_{1j}^{(h)}(\zeta h) - \cdots - g_{1n}^{(h)}(\zeta h) \\
 & [Gx^{(h)}x(\zeta h)] = \left| \begin{array}{cccc} g_{i1}^{(h)}(\zeta h) & g_{i2}^{(h)}(\zeta h) & \cdots & g_{ij}^{(h)}(\zeta h) & \cdots & g_{in}^{(h)}(\zeta h) \\ \vdots & \vdots & & \vdots & & \vdots \\ g_{n1}^{(h)}(\zeta h) & g_{n2}^{(h)}(\zeta h) & \cdots & g_{nj}^{(h)}(\zeta h) & \cdots & g_{nn}^{(h)}(\zeta h) \end{array} \right| \quad (4.171b) \\
 & p_1 \quad p_2 \quad p_j \quad p_m \\
 & d_{11}^{(h)}(\zeta h) \quad d_{12}^{(h)}(\zeta h) - \cdots - d_{1j}^{(h)}(\zeta h) - \cdots - d_{1m}^{(h)}(\zeta h) \\
 & [Dxp(\zeta h)] = \left| \begin{array}{cccc} d_{i1}^{(h)}(\zeta h) & d_{i2}^{(h)}(\zeta h) & \cdots & d_{ij}^{(h)}(\zeta h) & \cdots & d_{im}^{(h)}(\zeta h) \\ \vdots & \vdots & & \vdots & & \vdots \\ d_m^{(h)}(\zeta h) & d_{n2}^{(h)}(\zeta h) & \cdots & d_{nj}^{(h)}(\zeta h) & \cdots & d_{nm}^{(h)}(\zeta h) \end{array} \right| \quad (4.171c)
 \end{aligned}$$

Ecuatiile (4.168) pot fi scrise si pentru faza finală, la timpul $t = \infty$.

Exemplul test de calcul se referă la o grindă continuă turnată în două etape, studiat în /82/ și prezentat în fig. 4.26.

Turnarea grinzii 1 se face la timpul ζ_0 iar decofrarea la timpul ζ_1^1 . Turnarea grinzii 2 se face la timpul ζ_1^2 , iar decofrarea ei la timpul ζ_2^2 .

În intervalul (ζ_1^1, ζ_2^2) grinda lucrează ca simplu rezemată, iar în intervalul (ζ_2^2, ∞) ca o grindă continuă.

La timpul $t = \zeta_2^2$, care reprezintă etapa 2-a a realizării grinzii, se determină necunoscutele de pe rezemul E din condiție (4.168a):

Dacă se ține seama că activă este numai încărcarea de pe

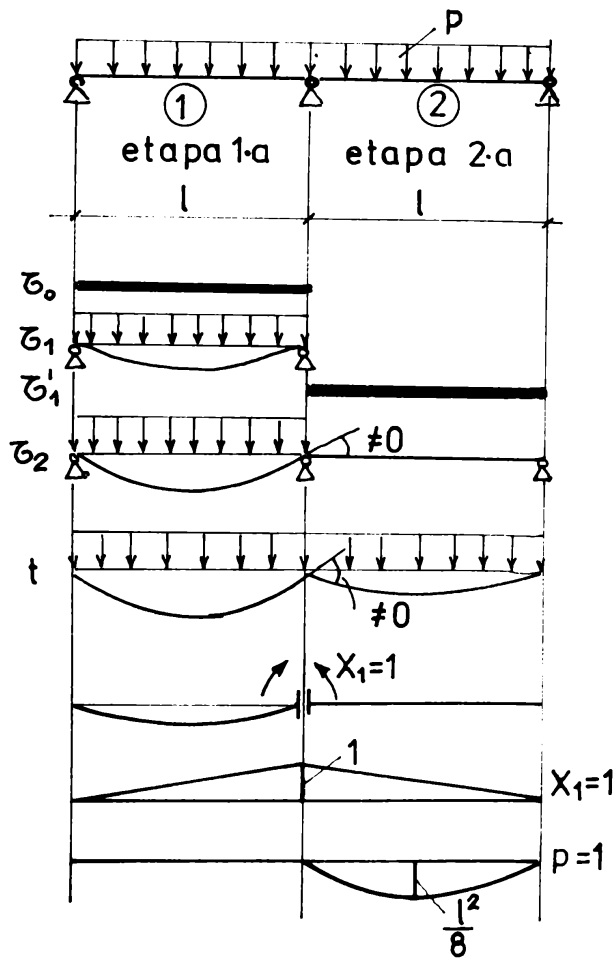


Fig.4.26.

grinda 2, ceea de pe grinda 1 fiind preluată în etapa precedentă, rezultă

$$\frac{2\ell}{3EI} \dot{X}_1^{(2)}(\bar{Z}_2^2) = \frac{\rho\ell^3}{24EI}; \quad X_1^{(2)}(\bar{Z}_2^2) = \frac{\rho\ell^2}{16}$$

După legarea celor două grinzi, variația în timp va fi dată de relația (4.168). Pentru că ne interesează valoarea finală, în aceste ecuații $t = .$

$$\bar{f}_{11} = \frac{\ell}{3EI} (2 + \bar{Z}_1 \bar{\varphi}_1 + \bar{Z}_2 \bar{\varphi}_2) X_1^{(2)}(\bar{Z}_2^2)$$

$$\bar{g}_{11} = \frac{\ell}{3EI} (\bar{\varphi}_1 + \bar{\varphi}_2 - \bar{Z}_1 \bar{\varphi}_1 - \bar{Z}_2 \bar{\varphi}_2)$$

$$\bar{d}_{11} = -\frac{\ell^3}{24EI} (1 + \bar{\varphi}_1 + \bar{\varphi}_2)$$

în care s-a ținut seamă că pentru grinda 1 deplasarea elastică a fost consumată înainte de legarea grinzelor. Rezultă astfel ecuația:

$$\bar{f}_{11} \bar{F}_1^{(2)} + \bar{g}_{11} \bar{X}_1^{(2)} + \bar{d}_{11} p = 0$$

$$\frac{l}{3EI} (2 + \bar{x}_1 \bar{\varphi}_1 + \bar{x}_2 \bar{\varphi}_2) \frac{Pl^2}{16} F_1^{(2)} + \frac{l}{3EI} (\bar{\varphi}_1 + \bar{\varphi}_2 + \bar{x}_1 \bar{\varphi}_1 + \bar{x}_2 \bar{\varphi}_2) \frac{Pl^2}{16} - \frac{Pl^3}{24EI} (1 + \bar{\varphi}_1 + \bar{\varphi}_2) = 0$$

dе unde se obține:

$$\bar{F}_1^{(2)} = 1 + \frac{\bar{\varphi}_1 + \bar{\varphi}_2}{2 + \bar{x}_1 \bar{\varphi}_1 + \bar{x}_2 \bar{\varphi}_2}$$

Pentru exemplul de calcul studiat în /82/ s-a considerat $\bar{\varphi}_1 = 2,12$, $\bar{\varphi}_2 = 2,62$ iar din tabelul 3.1, rezultă $x_1 = 0,82$ și $x_2 = 0,80$.

Se obține astfel:

$$\bar{F}_1^{(2)} = 1 + \frac{2,12 + 2,62}{2 + 0,82 \times 2,12 + 0,80 \times 2,62} = 1,811$$

Valoarea finală a necunoscutei $\bar{X}_1^{(2)}$ rezultă astfel:

$$\bar{X}_1^{(2)} = 1,811 \frac{Pl^2}{16} = 0,905 \frac{Pl^2}{8}$$

În exemplul de calcul efectuat în /82/, folosind o integrare pas cu pas în 4 etape, s-a obținut $\bar{X}_1^{(2)} = 0,91 \frac{Pl^2}{8}$. Prin urmare valoarea determinată mai sus corespunde foarte bine cu cea determinată cu o metodă mai exactă.

4.9.4.2. Structuri prefabricate

Si în cazul structurilor prefabricate se procedează la fel, introducind operatorul $J[\dots]$ dat de Trost-Bazant. Astfel, pentru etapa (h) de execuție se pot folosi ecuațiile (4.168) iar pentru fază finală, se pune $t = \infty$ și se folosesc ecuațiile (4.160).

Rezultă astfel

$$[A_{xx}] \{\bar{x}\} + [B_{xp}] \{p\} = 0 \quad (4.172)$$

$$[F_{xx}] \{\bar{F}\} + [G_{xx}] \{\bar{x}\} + [\bar{D}_{xp}] \{p\} = 0$$

(4.172b)

în care $\left[\bar{A}_{xx}\right] \dots \left[\bar{D}_{xp}\right]$ au semnificațiiile din paragrafele precedente.

La cadrul portal din fig. 4.27 analizat și în exemplul din 4.9.2, dar considerind că a fost turnat monolit în /82/ se studiază și cazul realizării prefabricate.

Toate dimensiunile lui sunt cele din exemplul precedent.

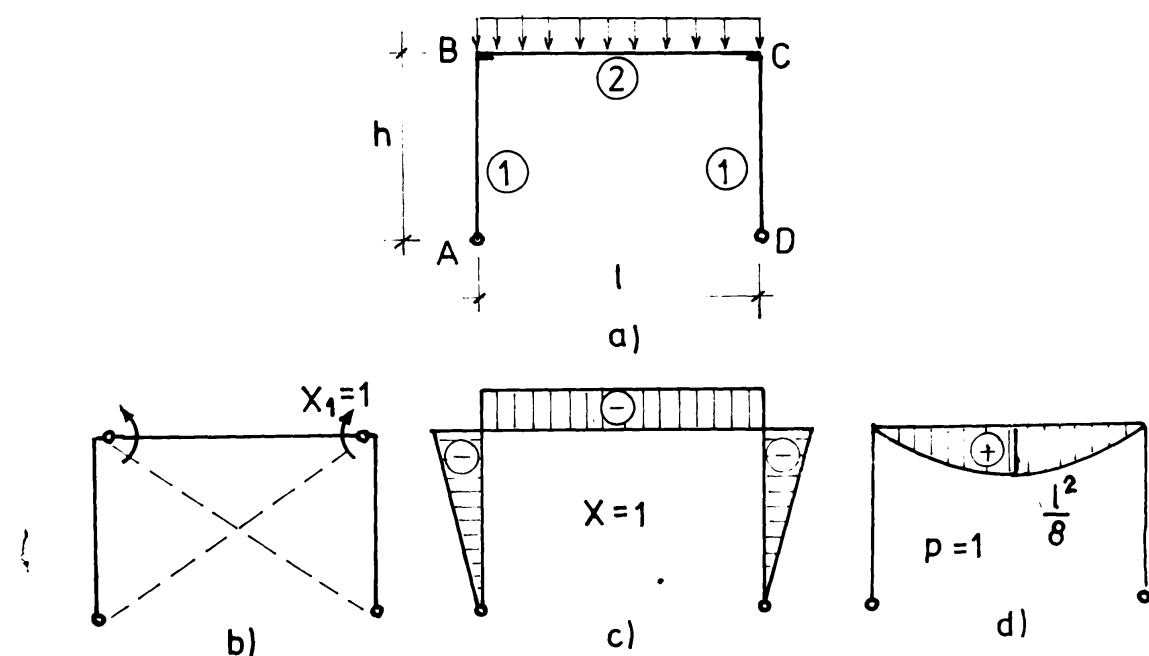


Fig. 4.27.

Stilpii sunt montați la $t = \bar{\tau}_0$, grinda prefabricată la $t = \bar{\tau}_1$, iar monolitizarea se realizează la $t = \bar{\tau}_2$. Drept necunoscute se aleg momentele de încovoiere de pe reazemele B și C. Pentru că sistemul devine mecanism, se introduce o contravîntuire ce nu modifică starea de eforturi din încărcări verticale. Diagramele din $X=1$ și $p=1$ sunt trecute în figura 4.27c, d. Se determină astfel

$$a_{11,1}^{(1)} = \frac{1}{3} \frac{h}{E_1 I_1}; \quad b_{11,1}^{(1)} = 0 \quad a_{11,2}^{(1)} = \frac{\ell}{E_2 I_2}; \quad b_{11,2}^{(1)} = -\frac{\ell^3}{12 E_2 I_2}$$

Din condiția (4.172a) rezultă:

$$\left(\frac{2}{3} \frac{h}{E_1 I_1} + \frac{\ell}{E_2 I_2} \right) \bar{X}_{10}^{(1)} = \frac{P \ell^3}{12 E_2 I_2}$$

de unde

$$\bar{X}_{10}^{(1)} = \frac{P \ell^2}{12} \frac{1}{1 + \frac{2}{3} \xi} = 0,755 \frac{P \ell^2}{12}$$

unde

$$\xi = \frac{E_2 I_2}{E_1 I_1} \frac{h}{\ell} = 0,486$$

Coefficienții din (4.172b) sunt cu valoările din exemplul paragrafului 4.9.2:

$$[\bar{F}_{11}] = \bar{f}_{11} = \frac{\ell}{E_2 I_2} \left[1 + \bar{\epsilon}_2 \bar{\epsilon}_2 + \frac{2}{3} \xi (1 + \bar{\epsilon}_1 \bar{\epsilon}_1) \right] \bar{X}_{10}^{(1)} = 2,924 \frac{\ell}{E_2 I_2} \bar{X}_{10}^{(1)}$$

$$[\bar{G}_{11}] = \bar{g}_{11} = \frac{\ell}{E_2 I_2} \left[1 - \bar{\epsilon}_2 \bar{\epsilon}_2 + \frac{2}{3} \xi (1 - \bar{\epsilon}_1 \bar{\epsilon}_1) \right] = 0,371 \frac{\ell}{E_2 I_2}$$

$$[\bar{D}_{11}] = \bar{d}_{11} = -\frac{\ell^3}{12 E_2 I_2} \bar{\epsilon}_2$$

La calculul coeficientului \bar{d}_{11} s-a luat seama că deformata elastică din încărcare se produce înainte de realizarea monolitizării.

Ecuția (4.172b) devine:

$$\bar{\epsilon}_{11} \bar{\epsilon}_{11}'' + \bar{\epsilon}_{21} \bar{\epsilon}_{21}'' - \bar{\epsilon}_{11} \bar{\epsilon}_{21}'' = 0$$

și introducind valorile de mai sus se obține:

$$2,924 \frac{\ell}{E_2 I_2} \cdot 0,755 \frac{P \ell^2}{12} \bar{\epsilon}_{11}'' - 0,371 \frac{\ell}{E_2 I_2} \cdot 0,755 \frac{P \ell^2}{12} - \frac{P \ell^3}{12 E_2 I_2} = 0$$

- 165 -

In urma simplificărilor necesare rezultă:

$$2,2076 \bar{F}_1^{(1)} + 0,2801 - 1 = 0$$

$$\bar{F}_1^{(1)} = \frac{0,7199}{2,2076} = 0,326$$

In exemplul din /82/, calculat cu o metodă mai exactă,
s-a obținut $\bar{F}_1^{(1)} = 0,33$, ceea ce corespunde unei diferențe de
1,2%.

Capitolul 5

APLICATII. INFLUENTA TEHNOCLOGIEI DE EXECUTIE ASUPRA STARII DE EFORTURI LA STRUCTURILE DE BETON ARMAT

5.1. Introducere

Calculul structurilor de beton armat se face în mod obisnuit în stadiul elastic, în care nu se ține seama de modul de execuție al structurii. Astfel, acest calcul nu are în vedere faptul că elementele structurii au fost executate la tempi diferiți, având module de elasticitate și caracteristici ale curgerii lente diferite. Ca urmare, rapoartele rigidităților dintre elementele structurii sunt altele decât cele determinante printr-un calcul elastic și starea de eforturi va fi diferită. De asemenea, în cazul structurilor prefabricate, în calcule nu se ține seama că la montarea prefabricatelor o parte din greutatea proprie se aplică pe structură în situația că monolitizările nu sunt executate și schema statică din timpul execuției diferă de cea finală. Un calcul elastic poate să țină seama de această schemă statică intermediară, dar nu poate să determine eforturile suplimentare din efectul curgerii lente ce apar pentru încărcarea din fază inițială.

Pentru exemplificarea celor prezentate mai sus și ca aplicații a metodei de calcul simplificate dezvoltată în capitolul precedent, se vor studia cadrul parter cu o deschidere și cadrul parter cu două deschideri egale. La aceste cadre vor fi luate în considerare următoarele tehnologii de execuție:- cadre turnate monolit, dar la care stilpii și grinziile sunt realizate la tempi diferiți; - cadre cu stilpi monolit și grinzi prefabricate uzinate, la care tempii de execuție sunt diferiți, grinda avind, de obicei, o vechime mai mare decât stilpii; - cadre cu

stîlpi și grinzi prefabricate, la care elementele sunt realizate la tempi diferiți; - cadre care se execută în două etape diferite; de exemplu deschiderea a două a unui cadru cu două deschideri se realizează într-o etapă ulterioară.

La fiecare aplicație se vor urmări influențele diferitelor factori pentru a putea trage concluzii practice pentru practica proiectării.

5.2. Cadrul parter cu o deschidere

5.2.1. Stîlpi și grinzi turnate monolit

5.2.1.1. Descrierea tehnologiei de execuție

Pentru cadrul parter cu o singură deschidere (fig.5.1a) se are în vedere următoarea tehnologie de execuție:

- se toarnă monolit stîlpii pînă la nivelul de sub grinda (fig.5.1b);
- se execută cofrarea grinziei și se toarnă grinda (fig.5.1c);
- se montează plăcile prefabricate (fig.5.1d);
- se decofrează grinda (fig.5.1e);
- se execută învelitoarea (fig.5.1f).

Prin urmare, greutatea proprie se aplică cadrului în două etape:

- în momentul decofrării grinziei;
- la tensiunea execuției învelitorii.

Se poate observa din acest exemplu că în ambele situații, vîrstă betonului în momentul încărcării, prin urmare și caracteristicile fizico-mecanice, este diferită la stîlpi față de cea a grinziei. Astfel, trebuie să se ia în considerare efectul neomogenității mecanice a structurii, care va duce la modificarea stării de eforturi față de cea a unei structuri omogene.

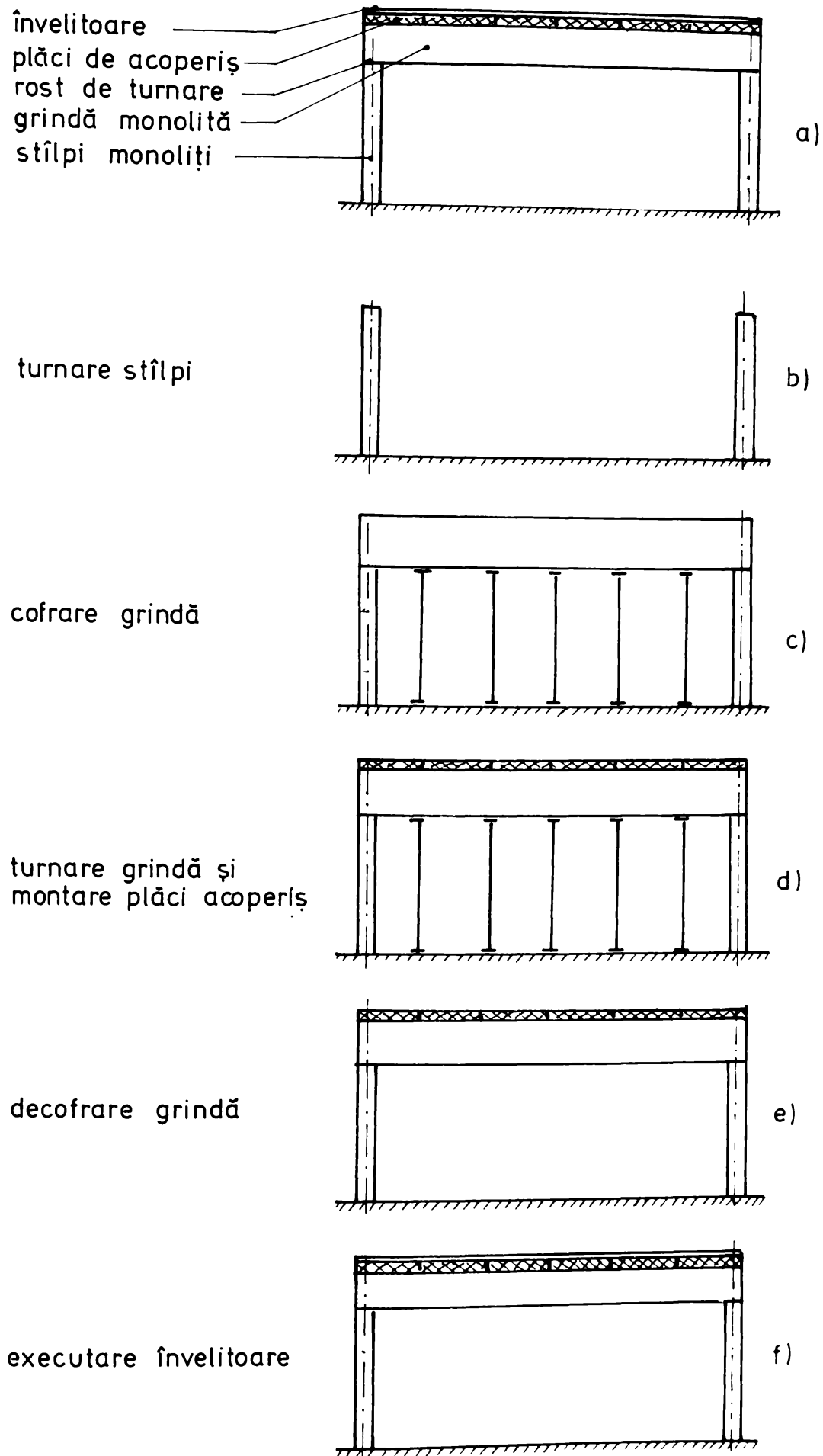


Fig. 5.1

5.2.1.2. Calculul structurii în faza initială ($t=0$)

In faza inițială, la $t=0$, curgerea lentă și contractia betonului nu are nici un efect și prin urmare calculul se face în stadiul elastic. In figura 5.2.b se prezintă structura de bază, în care secțiunările au fost făcute în dreptul separării betoanelor de calități diferite.

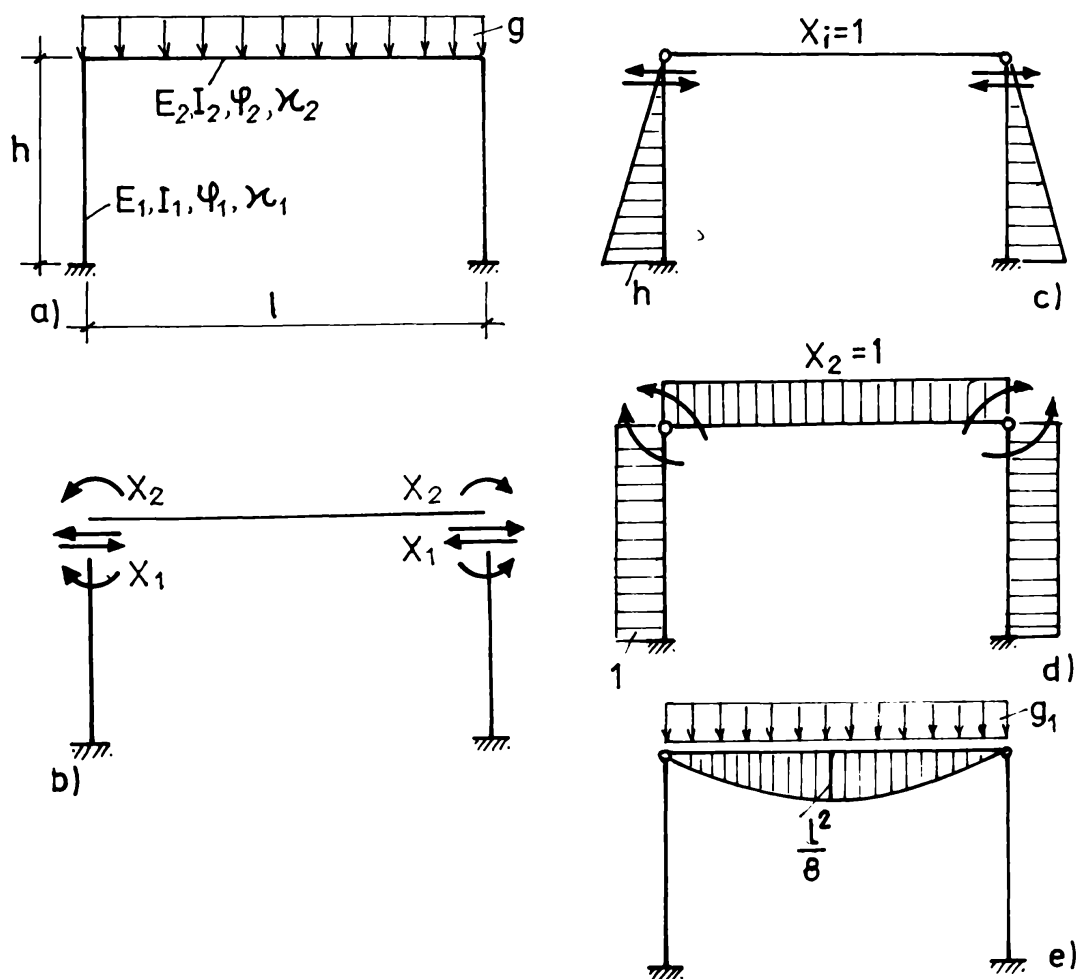


Fig.5.2.

Pentru determinarea necunoscutelelor X_1 , X_2 din faza inițială se folosește sistemul de ecuații (4.160a) în care:

$$- \begin{bmatrix} A_{xx} \\ \end{bmatrix} = \begin{vmatrix} a_{11} & a_{12} \\ a_{21} & a_{22} \end{vmatrix} = \begin{vmatrix} \frac{2h^3}{3E_1I_1} & \frac{h^2}{E_1I_1} \\ \frac{h^2}{E_1I_1} & \frac{\ell}{E_2I_2}(2g+1) \end{vmatrix} \quad (51a)$$

$$\begin{bmatrix} B_{xg} \end{bmatrix} = \begin{vmatrix} b_{11g} \\ b_{21g} \end{vmatrix} = \begin{vmatrix} c \\ \frac{\rho^3}{12E_2I_2} \end{vmatrix} \quad (5.1b)$$

și în care s-a introdus notația:

$$\rho = \frac{E_2 I_2}{E_1 I_1} \frac{h}{t} \quad (5.2)$$

care reprezintă rigiditatea relativă a cadrului.

Se ajunge astfel la sistemul de ecuație:

$$\frac{2h^3}{3E_1I_1}X_1 + \frac{h^2}{E_1I_1}X_2 = 0 \quad (5.3a)$$

$$\frac{h^2}{E_1I_1}X_1 + \frac{l}{E_2I_2}(2\rho+1)X_2 - \frac{gl^3}{12E_2I_2} = 0 \quad (5.3b)$$

din care se obțin valorile necunoscutelor

$$X_1 = -\frac{gl^2}{4h(\rho+2)}; \quad X_2 = \frac{gl^2}{6(\rho+2)} \quad (5.4a,b)$$

Diagrama de eforturi finale este prevăzută în figura

5.3. cu următoarele valori:

$$M_A = \frac{gl^2}{12(\rho+2)}; \quad M_{max} = \frac{gl^2}{24} \frac{3\rho+2}{\rho+2}; \quad M_B = \frac{gl^2}{6(\rho+2)} \quad (5.5a,b,c)$$

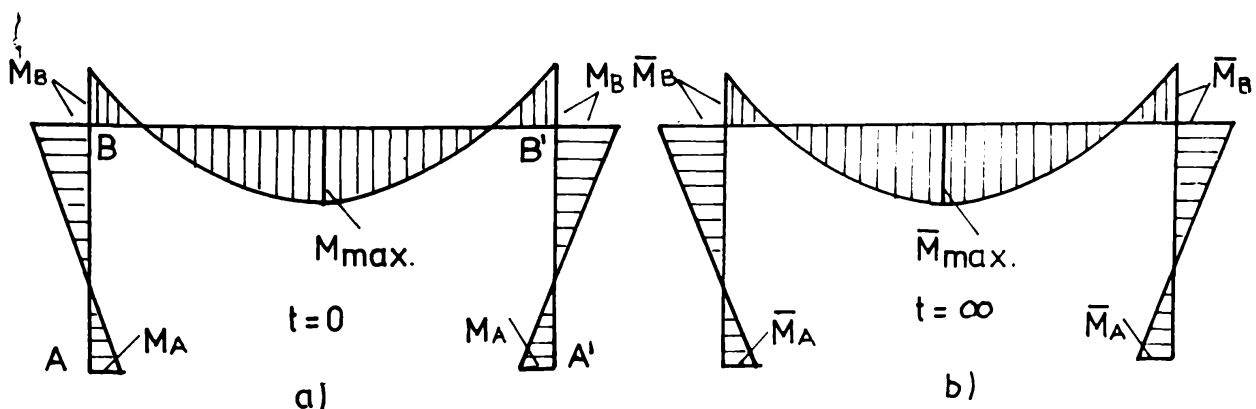


Fig.5.3.

5.2.1.3. Calculul structurii în fază finală ($t=\infty$)

Pentru calculul cadrului în fază finală, după consumarea deformațiilor de curgere lentă, se folosesc ecuațiile (4.16ob), în care:

$$\left| \mathbf{F}_{\mathbf{xx}} \right| = \begin{vmatrix} \frac{2h^3}{3E_1I_1}(1+\bar{x}_1\bar{\varphi}_1)X_1 & \frac{h^2}{E_1I_1}(1+\bar{x}_1\bar{\varphi}_1)X_2 \\ \frac{h^2}{E_1I_1}(1+\bar{x}_1\bar{\varphi}_1)X_1 & \frac{\ell}{E_2I_2}[2g(1+\bar{x}_1\bar{\varphi}_1)+(1+\bar{x}_2\bar{\varphi}_2)]X_2 \end{vmatrix} \quad (5.6a)$$

$$\left| \mathbf{G}_{\mathbf{xx}} \right| = \begin{vmatrix} \frac{2h^3}{3E_1I_1}(1-\bar{x}_1)\bar{\varphi}_1 & \frac{h^2}{E_1I_1}(1-\bar{x}_1)\bar{\varphi}_1 \\ \frac{h^2}{E_1I_1}(1-\bar{x}_1)\bar{\varphi}_1 & \frac{\ell}{E_2I_2}[2g(1-\bar{x}_1)\bar{\varphi}_1+(1-\bar{x}_2)\bar{\varphi}_2] \end{vmatrix} \quad (5.6.b)$$

$$\left| \mathbf{D}_{\mathbf{xg}} \right| = \begin{vmatrix} 0 \\ -\frac{\ell^3}{12E_2I_2}(1+\bar{\varphi}_2) \end{vmatrix} \quad (5.6c)$$

Rezultă astfel sistemul de ecuații:

$$\frac{2h^3}{3E_1I_1}(1+\bar{x}_1\bar{\varphi}_1)X_1\bar{F}_1 + \frac{h^2}{E_1I_1}(1+\bar{x}_1\bar{\varphi}_1)X_2\bar{F}_2 + \frac{2h^3}{3E_1I_1}(1-\bar{x}_1)\bar{\varphi}_1 + \frac{h^2}{E_1I_1}(1-\bar{x}_1)\bar{\varphi}_1 = 0 \quad (5.7a)$$

$$\begin{aligned} \frac{h^2}{E_1I_1}(1+\bar{x}_1\bar{\varphi}_1)X_1\bar{F}_1 + \frac{\ell}{E_2I_2}[2g(1+\bar{x}_1\bar{\varphi}_1)+(1+\bar{x}_2\bar{\varphi}_2)]X_2\bar{F}_2 + \frac{h^2}{E_1I_1}(1-\bar{x}_1)\bar{\varphi}_1X_1 + \\ + \frac{\ell}{E_2I_2}[2g(1-\bar{x}_1)\bar{\varphi}_1+(1-\bar{x}_2)\bar{\varphi}_2]X_2 - \frac{g\ell^3}{12E_2I_2}(1+\bar{\varphi}_2) = 0 \end{aligned} \quad (5.7b)$$

Din rezolvarea sistemului rezultă:

$$\bar{F} = \bar{F}_1 = \bar{F}_2 = \frac{(g+2)(1+\bar{\varphi}_2) - [g(1-\bar{x}_1)\bar{\varphi}_1 + 2(1-\bar{x}_2)\bar{\varphi}_2]}{g(1+\bar{x}_1\bar{\varphi}_1) + 2(1+\bar{x}_2\bar{\varphi}_2)} \quad (5.8)$$

Se constată că dacă structura este omogenă, adică $\bar{\varphi}_1 = \bar{\varphi}_2 = \bar{\varphi}$ și $\bar{x}_1 = \bar{x}_2 = x$, rezultă din (5.8) $\bar{F} = 1$, ceea ce confirmă cele arătate în paragraful 3.2.2 și anume că la structurile omogene starea de eforturi nu se modifică în urma efectului curgerii lente. Coeficientul \bar{F} are valori diferite de 1 numai dacă caracteristicile curgerii lente sunt diferite la barele structurii.

In figura 5.3b este trasată diagrama de momente finale, după consumarea deformațiilor de curgere lentă, în care:

$$\bar{M}_A = \bar{F}M_A ; \quad \bar{M}_B = \bar{F}M_B ; \quad \bar{M}_{max} = \frac{g\ell^2}{8} - \bar{M}_B \quad (5.9a, b, c)$$

Dacă încărcarea totală g se aplică pe structură în

două etape, γ_1 la timpul ζ_1 și γ_2 la timpul ζ_2 , pentru care se obțin valorile $\bar{F}(\zeta_1) \neq \bar{F}(\zeta_2)$, momentele finale vor rezulta din relațiile:

$$\bar{M}_A = \bar{F}(\zeta_1)M_A(\zeta_1) + \bar{F}(\zeta_2)M_A(\zeta_2) \quad (5.10a)$$

$$\bar{M}_B = \bar{F}(\zeta_1)M_B(\zeta_1) + \bar{F}(\zeta_2)M_B(\zeta_2) \quad (5.10b)$$

$$\bar{M}_{\max} = \frac{\gamma l^2}{8} - \bar{M}_B \quad (5.10c)$$

5.2.1.4. Determinarea stării de eforturi

a) Etapele de execuție ale cadrului

Cadrul din figura 5.4a se execută conform desfășurării lucrărilor indicate în figura 5.4b:

- se toarnă stîlpii pînă la nivelul de sub grindă;
- se execută cofrajul grinzi;
- se toarnă grinda la 40 zile de la turnarea stîlpilor;
- se montează plăcile prefabricate;
- se decofrează grinda la 60 zile de la turnarea stîlpilor și la 20 zile de la turnarea grinzi;
- se execută invelitoarea (izolații termice și hidrofuge);
- se termină execuția invelitorii la 100 zile de la turnarea stîlpilor și la 60 zile de la turnarea grinzi.

Prin urmare la încărcarea cadrului se disting două momente semnificative:

- greutatea proprie a grinzi și a plăcilor de acoperiș se transmite structurii cînd stîlpii au o vechime de 60 zile, iar grinda, de 20 zile;
- greutatea invelitorii, ce se transmite structurii continuu de la începerea execuției pînă la terminarea ei, adică de la 60 de zile pînă la 100 zile de la turnarea stîlpilor.

Deoarece este foarte dificil ca în calcule să se considere continuitatea acestei încărcări, se admite ipoteza simplificatoare

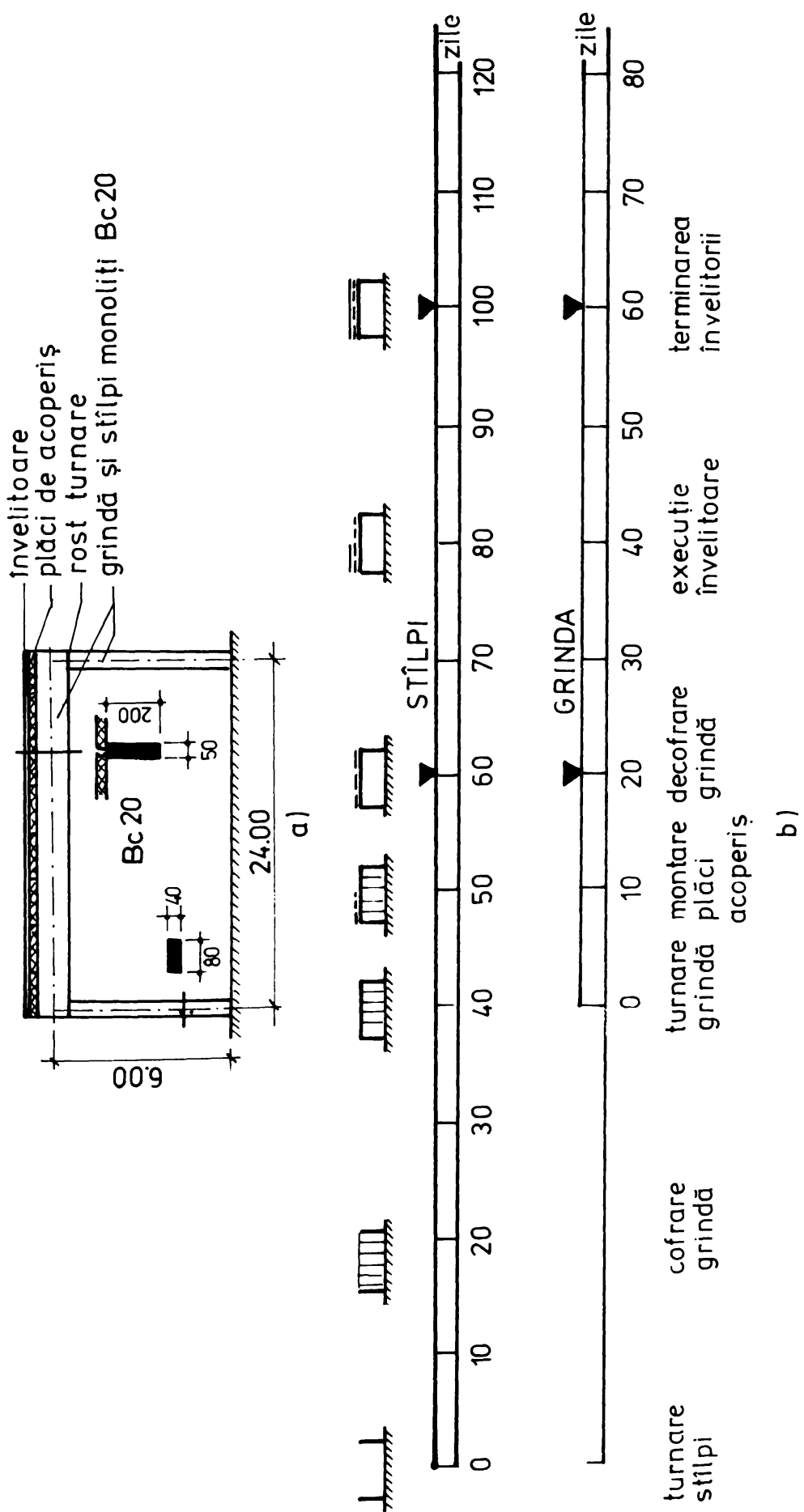


Fig. 5.4

că încărcarea din învelitoare se transmite cadrului în momentul terminării ei.

Pentru exemplul de calcul ce urmează, se consideră că încărcarea din greutatea proprie a grinzi și a plăcilor de acoperiș, reprezintă 75% din încărcarea totală:

$$g = g_1 + g_2 \quad g_1 = 0,75 \text{ g} ; g_2 = 0,25 \text{ g}$$

unde g_1 este încărcarea din greutatea proprie a grinzi și a plăcilor de acoperiș, iar g_2 , încărcarea din învelitoare.

b) Determinarea rigidității relative β

Pentru calculul rigidității relative β , dată de relația (5.2.), se calculează următoarele caracteristici mecanice și geometrice:

- modulii de elasticitate longitudinali se determină din relația (2.6la), în care β_e se obține din figura 2.23, pentru un ciment cu întărire normală:

$$\text{la stîlpi: } E_1(60) = \beta_e(60) \cdot E_0(28) = 1,04 \cdot 240000 = 249000 \text{ daN/cm}^2;$$

$$\text{la grindă: } E_2(20) = \beta_e(20) \cdot E_0(28) = 0,98 \cdot 240000 = 235200 \text{ daN/cm}^2;$$

- momentele de inerție ale stîlpilor și grinzi:

$$I_1 = \frac{50 \times 80^3}{12} \quad 2133333 \text{ cm}^4; \quad I_2 = \frac{50 \times 200^3}{12} \quad 33333333 \text{ cm}^4$$

Rezultă astfel din (5.2)

$$\beta(60,20) = \frac{235200}{249000} \cdot \frac{33333333}{2133333} \cdot \frac{600}{2400} = 3,690$$

Similar se determină rigiditatea relativă pentru cazul încărcării stîlpilor la 100 zile, respectiv a grinzi la 60 zile:
 $\beta(100,60) = 3,870$.

c) Calculul eforturilor în stadiul initial

Pentru cadrul analizat, stadiul initial se compune din două încărcări, una din greutatea proprie a grinzi și a plăcilor de acoperiș, a doua din învelitoare, cu toate că există o diferență

de 40 zile între timpii de execuție.

Folosind relațiile (5.5) se determină următoarele momente de încovoiere (fig.5.3a):

$$M_a = 1,465 \times 10^{-2} g l^2 \quad M_b = 2,929 \times 10^{-2} g l^2 \quad M_{\max} = 9,571 \times 10^{-2} g l^2$$

d) Calaculul caracteristicilor curgerii lente și a coeficientilor de îmbătrînire a betonului, după STAS 10107/0-90

Calculul caracteristicii curgerii lente a betonului se face cu ajutorul metodei date în STAS 10107/0-90, prezentată în paragraful 2.4.2, relația (2.39a). Pentru valoarea finală a caracteristicii curgerii lente, la $t=\infty$ se rezultă:

$$\bar{\varphi}(t_1) = \beta_a(t_1) + 0,4 + \varphi_p [1 - \beta_p(t_1)]$$

în care s-a luat seama că $\alpha = 0,4$;

Calculul coeficientilor de îmbătrînire se face cu ajutorul tabelului 4.1.

Stîlpii sunt încărcați în două etape, la 60 zile respectiv la 100 zile, de la turnare. Rezultă din figura 2.14

$$\frac{R(60)}{R(\infty)} = 0,79 \text{ și prin urmare } \beta_a = 0,8(1-0,79) = 0,168$$

Valoarea lui φ_p rezultă din relația $\varphi_p = \varphi_{p1} \cdot \varphi_{p2}$, în care, pentru umiditatea de 60%

$$\varphi_{p1} = 3 - \frac{60-40}{70-40} (3-2) = 2,33$$

φ_{p2} rezultă din figura 2.11b, pentru grosimea efectivă a stîlpului:

$$\lambda = 1,5 - \frac{70-60}{70-40} (1,5-1) = 1,33; d_{ef} = 1,33 \frac{2 \times 80 \times 50}{2 \times 80 + 2 \times 50} = 41 \text{ cm}$$

Se obține astfel:

$$\varphi_{p2} = 1,40 - \frac{41-40}{60-40} (1,40-1,33) \approx 1,40$$

Valoarea lui φ_p este:

$$\varphi_p = 2,33 \times 1,40 = 3,26$$

Din figura 2.11c, pentru $d_{ef} = 41$ cm rezultă $\beta_p(60) = 0,4$.

Se obține astfel:

$$\bar{\varphi}_1(60) = 0,168 + 0,4 \cdot P_3,26(1-0,4) \approx 2,524$$

Din tabelul 4.1 se determină, prin interpolare $\bar{x}_1(60) = 0,874$

Procedind similar pentru încărcarea la 100 zile de la turnare se obține $\bar{\varphi}_1(100) = 2,240$ și $\bar{x}_1(100) = 0,945$

Grindă este încărcată de asemenea în două etape, la 20 zile, respectiv 60 zile. Se obține, procedind similar ca la stîlpi:

$$\bar{\varphi}_2(20) = 2,903 \quad \bar{\varphi}_2(60) = 2,475$$

$$\bar{x}_2(20) = 0,812 \quad \bar{x}_2(60) = 0,873$$

e) Calculul valorilor \bar{F}

Funcția \bar{F} care ține seamă de modificările eforturilor din structură, ca urmare a efectului curgerii lente, se determină din relația (5.8) pentru cele două etape de încărcare:

$$\bar{F}(60,20) = 1,075 \text{ și } \bar{F}(100,60) = 1,049.$$

f) Valorile finale ale eforturilor din cadrul

Tinând seamă că încărcarea s-a aplicat structurii în două etape, la 60 zile, respectiv la 100 zile de la turnarea stîlpului, pentru care s-au obținut valori \bar{F} diferite, rezultă că momentele finale vor fi calculate cu relațiile (5.10) și (5.5):

$$\bar{M}_A = 1,075 \frac{0,75 \cdot g \cdot l^2}{12(3,69+2)} + 1,049 \frac{0,25 \cdot g \cdot l^2}{12(3,87+2)} = 1,553 \times 10^{-2} g \cdot l^2$$

$$\bar{M}_b = 2\bar{M}_A = 3,105 \times 10^{-2} g \cdot l^2 \quad \bar{M}_{max} = 9,395 \times 10^{-2} g \cdot l^2$$

Diagrama de momente finale este trasată în figura 5.3b. Comparație a valorilor momentelor de încărcare din fază inițială și cea finală este dată în tabelul 5.1

Tabelul 5.1

Comparatie dintre faza initiala si cea finala

Diagrama de momente	Momente de incovoiere	Faza		Diferenta %
		initiala	finala	
	$M_A/g\ell^2 \times 10^{-2}$	1,465	1,533	4,6
	$M_B/g\ell^2 \times 10^{-2}$	2,929	3,105	4,6
	$M_{max}/g\ell^2 \times 10^{-2}$	9,571	9,395	1,8

Se constata ca in faza finala, din cauza neomogenitatii mecanice a cadrului, momentele de incovoiere pe stilpi au crescut cu 4,6% si in camp au scuzut ca 1,8%. Astfel, dimensionarea cadrului trebuie facuta pentru faza finala la stilpi si capetele grinzii si pentru faza initiala, la mijlocul grinzii.

g) Comparatie cu calculul elastic al cadrului

Daca cadrul se calculeaza in stadiul elastic, fara sa se tina seamă de tehnologia de executie si de influența curgerii lente, rezulta, considerind $E_1 = E_2$

$$\delta = \frac{I_2 h}{I_1 l} = \frac{33333333}{2133333} \cdot \frac{600}{2400} = 3,906$$

Momentele de incovoiere rezulta din relatiile (5.5).

Comparatia momentelor de incovoiere pentru calculul elastic, elaborat in lucrarea de fată, este trecuta in tabelul 5.2.

Comparatie fată de calculul elastic

Tabelul 5.2

Diagrama de momente	Momente de incovoiere	Calculul elastic	Calculul viscoelastic	diferenta %
	$\bar{M}_A/g\ell^2 \times 10^{-2}$	1,411	1,533	8,6
	$\bar{M}_B/g\ell^2 \times 10^{-2}$	2,822	3,105	8,6
	$\bar{M}_{max}/g\ell^2 \times 10^{-2}$	9,678	9,395	-2,9

Se constată că momentele pe reazeme sunt mai mari cu 8,6% și cele din cîmp mai mici cu 2,9% față de calculul elastic, ca urmare a efectului vîrstei de încărcare a betonului și a curgerii lente neuniforme pe structură.

5.2.1.5. Comparatie cu diferite norme de calcul

In paragraful precedent determinarea eforturilor s-a făcut cu o caracteristică a curgerii lente $\bar{\Psi}$ calculată pe baza prevederilor din STAS lolo7/o-90. In cele ce urmează se vor determina aceleasi eforturi și pe baza caracteristicii curgerii lente după normele CEB-FIP 76, ACI2o9 și DIN 4227.

a) CEB-FIP76 determină caracteristicile curgerii lente a betonului cu relația (2,22) care este similară cu cea din STAS lolo7/o-90, lipsind însă primul termen $\beta_a(\zeta_1)$. Prin urmare calculul se face similar ca la pct. 5.2.14.d.

Rezultă:

-la stîlp $\bar{\Psi}_1(60) = 2,356$	- la grindă $\bar{\Psi}_2(20) = 2,615$
$\bar{\chi}_1(60) = 0,890$	$\bar{\chi}_2(20) = 0,803$
$\bar{\Psi}_1(100) = 2,128$	$\bar{\Psi}_2(60) = 2,307$
$\bar{\chi}_1(100) = 0,943$	$\bar{\chi}_2(60) = 0,867$

Rezultă din relația (5.8)

$$\bar{F}(60,20) = 1,054; \quad \bar{F}(100,60) = 1,039.$$

Momentele rezultate sunt trecute în tabelul 5.3.

b) ACI 2o9 determină caracteristica curgerii lente cu relația (2.24): $\bar{\Psi}(\zeta_1) = 2,35 \beta_{\zeta_1} \beta_h \beta_d \beta_s \beta_f \beta_{ac}$

unde coeficientii $\beta_{\zeta_1}, \dots, \beta_{ac}$ sunt date de relațiile (2.25).

Pentru încărcarea stîlpului la 60 zile rezultă:

$$\beta_{\zeta_1} = 1,25 \cdot 60^{-0,118} = 0,771$$

Pentru o umiditate de 60% se obține:

$$\beta_h = 1,27 - 0,0007 \cdot 60 = 1,228$$

La dimensiunile stîlpului $d > 38$ cm și cu raportul

$$\frac{V}{\Delta} = \frac{4000}{260} = 15,38$$

$$\beta_d = \frac{2}{3}(1+1,13e^{-0,212 \times 15,38}) = 1,21$$

Pentru o consistență a betonului proaspăt, măsurată prin tasare, de 10 mm, se obține:

$$\beta_s = 0,82 + 0,00264 \times 10 = 0,846$$

Cu un conținut de 3% de agregate fine se calculează:

$$\beta_f = 0,88 + 0,0024 \times 30 = 0,952$$

La un conținut de aer în beton de 2% se obține:

$$\beta_{ac} = 0,46 + 0,09 \cdot 2 = 0,64 < 1 \rightarrow \beta_{ac} = 1$$

Se determină astfel:

$$\bar{\varphi}_1(60) = 2,35 \times 0,77 \times 1,228 \times 1,21 \times 0,846 \times 0,952 \times 1 = 2,168$$

Pentru această valoare se obține: $\bar{\chi}_1(60) = 0,847$

Procedind similar se determină: $\bar{\varphi}(100) = 2,042$; $\bar{\chi}_1(100) = 0,942$

Pentru grindă, folosind aceleasi relații, se obțin valori-le:

$$\bar{\varphi}_2(20) = 2,320 \quad \bar{\varphi}_2(60) = 2,037$$

$$\bar{\chi}_2(20) = 0,827 \quad \bar{\chi}_2(60) = 0,857$$

Cu ajutorul relației (5.8) se calculează

$$\bar{F}(60,20) = 1,034 ; \quad \bar{F}(100,60) = 0,999$$

Valorile momentelor finale sunt trecute în tabelul 5.3.

DIN 4227, determină caracteristica curgerii lente din relația (2.28), care pentru $t = \infty$ și ținând seama că nu avem descrieriri, poate fi scrisă sub forma:

$$\bar{\varphi}(\zeta_1) = 0,4 + \varphi_p [\bar{\beta}_p - \beta_p(\zeta_1)]$$

în care

$\varphi_p = 2,4$, din tabelul 2.3, pentru umiditatea de 60%. Pentru o grosime efectivă, cu $\beta_{ef} = 1,2$ determinat din tabelul 2.3 rezultă:

$$d_{ef} = 1,2 \times \frac{24000}{260} = 36,9 \text{ cm}$$

Din figura 2.13b, pentru un ciment cu întărire normală, rezultă: $\bar{\beta}_p = 1,42$; $\bar{\beta}_p(60) = 0,74$

Se obține astfel:

$$\bar{\varphi}_1(60) = 0,4 + 2,4(1,42 - 0,74) = 2,032$$

Cu ajutorul tabelului 4.1 se determină $\bar{\chi}_1 = 0,846$

Procedind similar se obține pentru stîlpi $\bar{\varphi}_1(100) = 1,648$
 $\bar{\chi}_2(100) = 0,936$

și pentru grindă

$$\bar{\varphi}_2(20) = 2,536 \quad \bar{\varphi}_2(60) = 2,056$$

$$\bar{\chi}_2(20) = 0,800 \quad \bar{\chi}_2(60) = 0,846$$

Se obțin astfel din relația (5.8):

$$\bar{F}(60,20) = 1,115; \quad \bar{F}(100,40) = 1,103$$

Eforturile obținute sunt trecute în tabelul 5.3

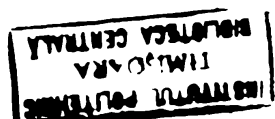
Tabelul 5.3.

Momente de încovoiere cu $\bar{\varphi}$ determine

după diferite norme

Diagrama de momente	Momente de încovoiere	STAS lolo7/o-90	CEB-FIP 76	ACI 209	DIN 4227
	$\bar{M}_A/g\ell^2 \times 10^{-2}$	1,465	1,340	1,461	1,621
	$\bar{M}_B/g\ell^2 \times 10^{-2}$	2,929	2,680	2,922	3,242
	$\bar{M}_{max}/g\ell^2 \times 10^{-2}$	9,571	9,820	9,578	9,258

Din examinarea valorilor din tabel rezultă că la momentele de pe stîlpi cele mai mici valori se obțin pentru $\bar{\varphi}$ calculate după normele CEB-FIP 76, și cele mai mari, după DIN 4227. Valorile calculate după STAS lolo7/o-90 se încadrează între valorile determine cu ajutorul celorlalte norme.



5.2.1.6. Comparatie cu metoda modulului redus

In paragraful 4.3.3.1 s-a arătat că un calcul simplu se poate face considerind un modul redus dat de relația (4.22).

Pentru $t=\infty$, aceasta devine:

$$\tilde{E}_r(\zeta_1) = \frac{E_o(\zeta_1)}{1 + \bar{\varphi}(\zeta_1)}$$

Introducind această relație în expresia rigidității relative (5.2) se determină:

$$\beta_r = \frac{\frac{E_{20}}{1 + \bar{\varphi}_2}}{\frac{E_{10}}{1 + \bar{\varphi}_1}} \frac{I_2}{I_1} \frac{h}{l} = \frac{1 + \bar{\varphi}_1}{1 + \bar{\varphi}_2} \beta$$

Se obține astfel:

$$\beta_r(60,20) = \frac{1 + 2,524}{1 + 2,903} \cdot 3,690 = 3,332$$

$$\beta_r(100,60) = \frac{1 + 2,240}{1 + 2,475} \cdot 3,870 = 3,608$$

Se obțin astfel momentele:

$$\bar{M}_A = \frac{0,75g\ell^2}{12(3,332+2)} + \frac{0,25g\ell^2}{12(3,608+2)} = 1,543 \cdot 10^{-2} g\ell^2$$

$$\bar{M}_B = 2\bar{M}_A = 3,086 \cdot 10^{-2} \cdot g\ell^2$$

$$M_{max} = 9,414 \times 10^{-2} g\ell^2$$

O comparație a momentelor obținute cu modulul redus și a valorilor mai exacte determinate în lucrare este cea din tabelul 5.4.

Tabelul 5.4.

Comparatie cu metoda modului redus

Diagrama de momente	Momente de încovoiere	Metoda din lucrare	Metoda modul redus	diferență
	$\bar{M}_A/g\ell^2 \cdot 10^{-2}$	1,465	1,543	-5,3
	$\bar{M}_B/g\ell^2 \cdot 10^{-2}$	2,929	3,086	-5,3
	$\bar{M}_{max}/g\ell^2 \cdot 10^{-2}$	9,571	9,414	+1,6

Se constată că metoda modulului redus, care nu ține seamă de îmbătrînirea betonului, nu dă diferențe mari față de calculul mai exact efectuat în lucrare. Astfel, în cazul structurilor monolite, la care turnarea elementelor componente se face în diferite etape, poate fi luată în considerare și metoda simplă a modului redus.

5.2.1.7 Influența vîrstei betonului din stîlpi și grinzi asupra stării de eforturi.

În exemplul din paragraful 5.2.1.4 s-a considerat că între vîrstele betonului din stîlpi și grindă există o diferență de 40 zile. Procedînd similar și pentru alte diferențe, au rezultat valorile din tabelul 5.5 și figura 5.5.

Tabelul 5.5.

Momente de încovoiere în funcție de vîrstă
betonului din stîlpi și grinzi

Diferență de vîrstă	\bar{M}_A $gl^2 \times 10^{-2}$	\bar{M}_B $gl^2 \times 10^{-2}$	\bar{M}_{max} $gl^2 \times 10^{-2}$
0	1,387	2,774	9,726
20	1,503	3,006	9,494
40	1,558	3,116	9,384
60	1,608	3,216	9,284
80	1,638	3,276	9,224
180	1,869	3,738	8,762
480	1,949	3,898	8,602

Se constată că cu cât diferența dintre vîrstă betonului din stîlpi și grinda crește, cresc momentele de reazem și scad momentele din cîmp. Diferențele față de un calcul elastic care

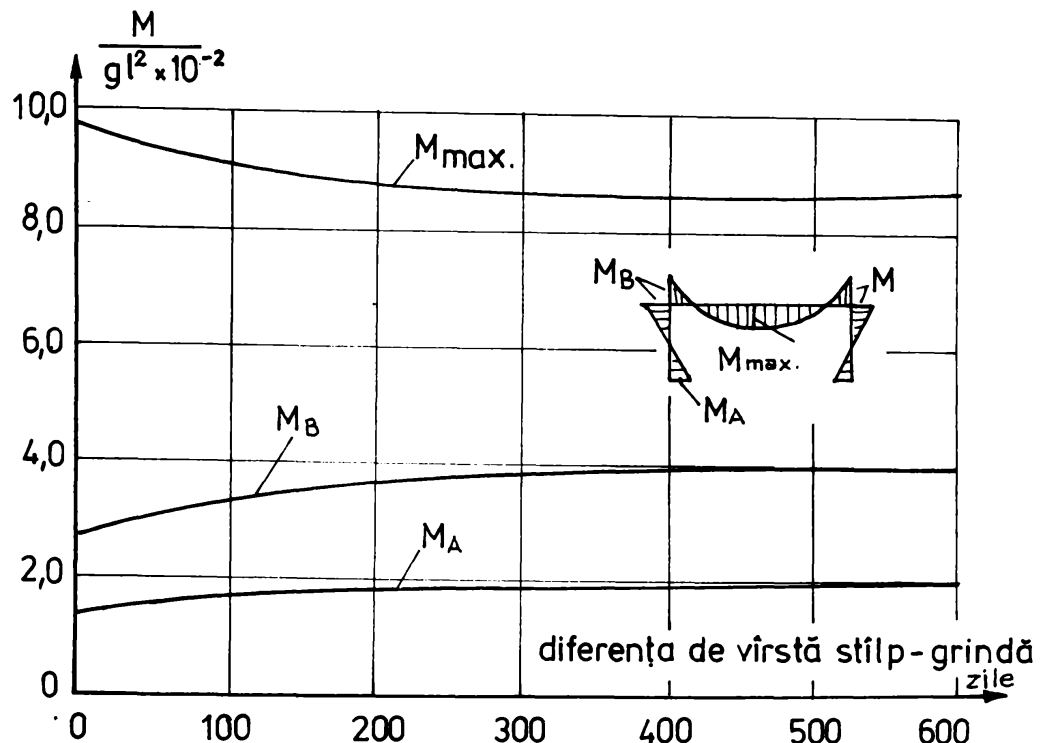


Fig. 5.5.

nu ține asemă de acest aspect pot ajunge pînă la 38,1%. Astfel, colțurile cadrelor la care există posibilitatea ca să fie diferențe între timpii de turnare ai stîlpilor și grinzilor, trebuie să fie armati suplimentar pentru a putea prelua creșterile momentelor de încovoiere.

5.2.2. Stîlpi monoliti, grindă prefabricată

5.2.2.1. Descrierea tehnologiei de execuție:

Pentru același cadru (fig.5.6a) ca cel din paragraful precedent, dar cu grinda executată prefabricat în atelier de prefabricate, se are în vedere următoarea tehnologie de execuție:

- se execută grinda prefabricată într-un atelier de prefabricate (fig.5.6b);
- se toarnă stîlpii (fig.5.6c);
- se montează grinda prefabricată (fig.5.6d);

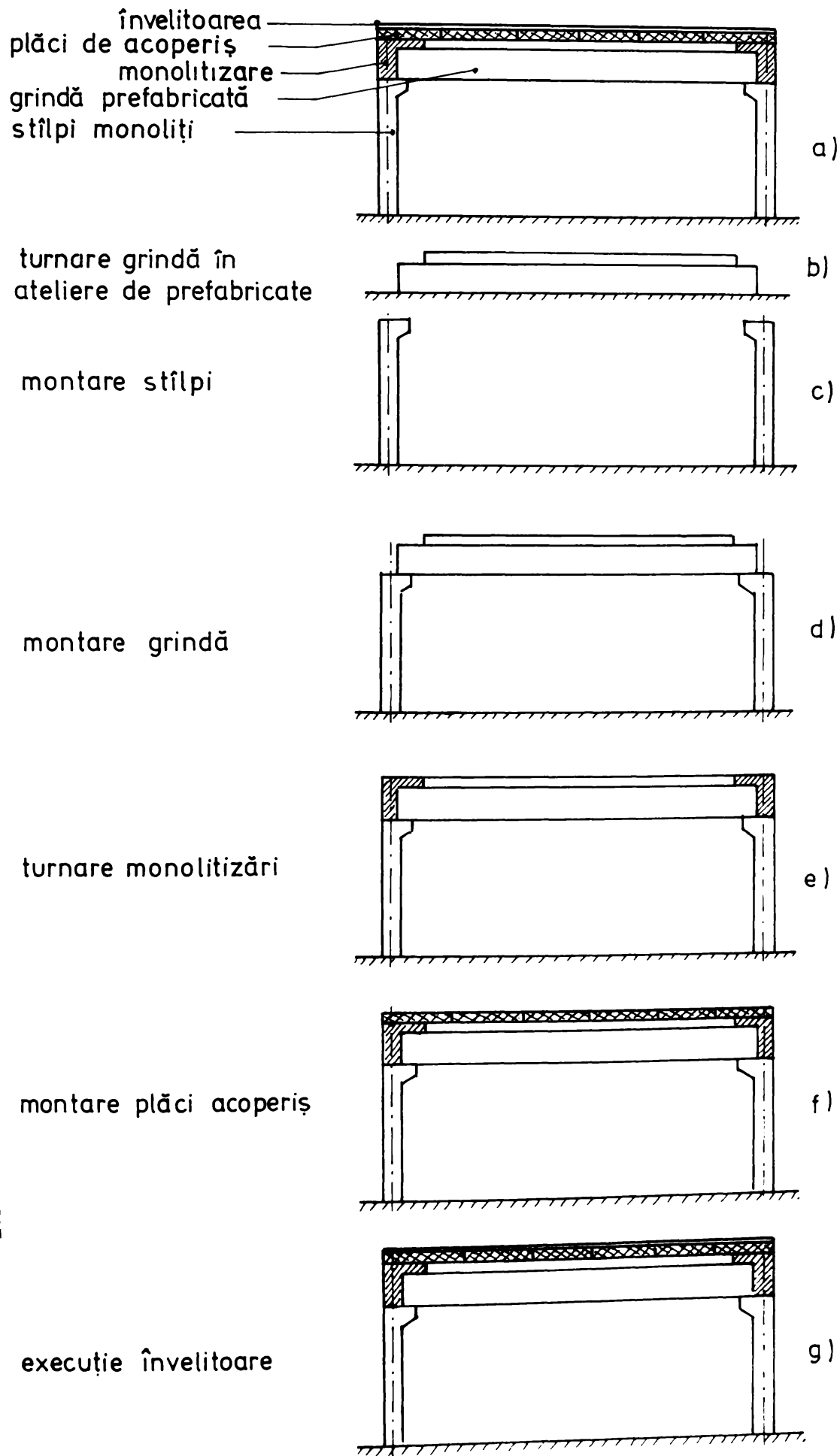


Fig. 5.6

- se toarnă monolitizarea dintre stîlpi și grinda (fig. 5.6e);
- se montează plăcile de acoperiș (fig.5.6f);
- se execută invelitoarea (izolație termică și hidrofugă (fig.5.6g).

Din cauza că grinda și stîlpii se realizează la tempi diferiți, va exista o neomogenitate mecanică a barelor cadrului.

In plus, din cauza că grinda este prefabricată, schema statică a cadrului se schimbă în timpul execuției. Astfel, pentru încărcarea din greutate proprie, grinda este simplu rezemată pe stîlpi. In cazul încărcării din plăcile de acoperiș, există două situații distincte:

- dacă plăcile se montează imediat după turnarea monolitizării, structura nu este încă un cadru din cauza că betonul din noduri nu este întărit, grinda lucrând tot ca una simplu rezemată;

- dacă plăcile se montează după întărirea betonului din monolitizări, grinda va fi încastrată parțial în stîlpi și greutatea plăcilor de acoperiș va fi preluată printr-un efect de cadru.

Greutatea învelitorii se preia de structură atunci cînd ea este deja un cadru, prin întărirea monolitizării.

5.2.2.2. Calculul structurii în faza inițială ($t=0$)

In faza inițială, pentru încărcările g_1 , grinda este simplu rezemată (fig.5.7a) și diagrama de moment este cea din figura 5.7b. Pentru încărcările g_2 , care se aplică structurii după o perioadă relativ scurtă, aşa încît poate fi considerată tot în faza inițială, momentele pot fi calculate cu relațiile

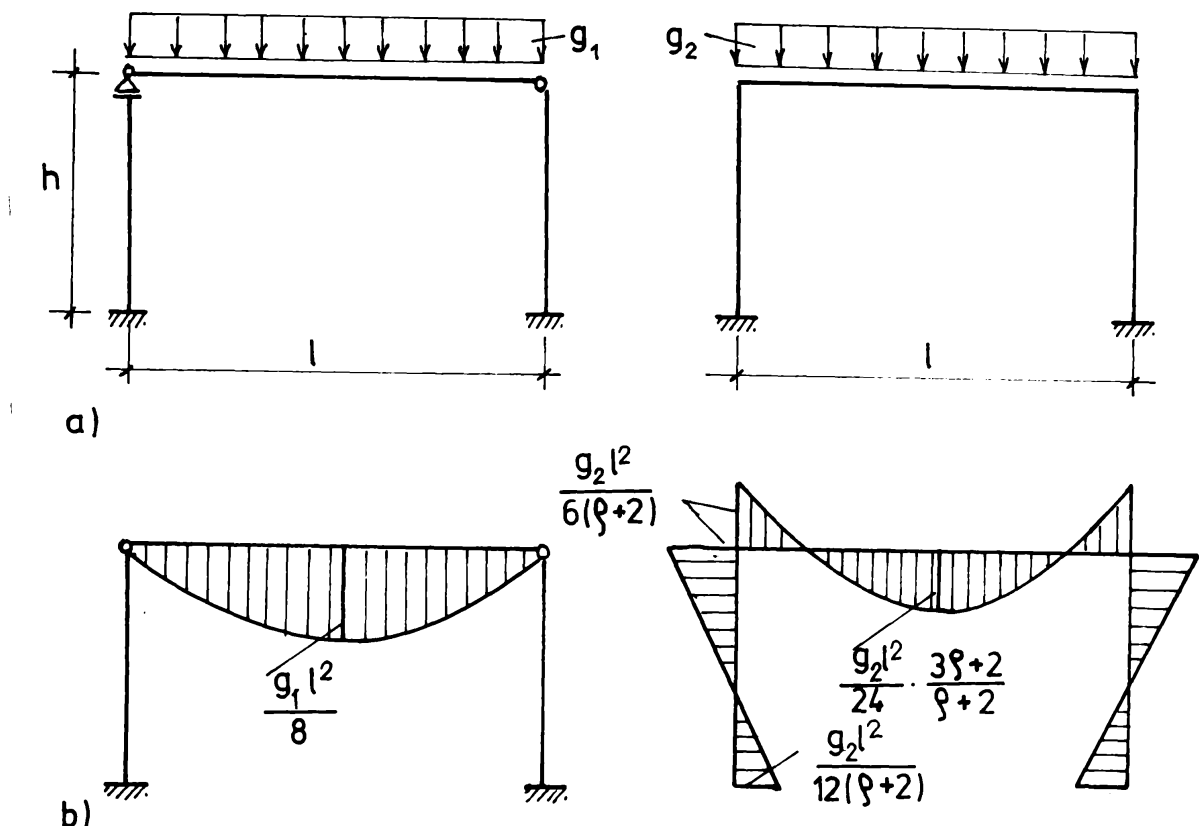


Fig.5.7.

(5.5), pentru că monolitizarea s-a întărit și structura lucrează ca un cadru.

Rezultă astfel momentele de încovoiere în faza inițială:

$$M_A = 0 + \frac{g_2 l^2}{12(\beta+2)} \quad M_B = 2M_A \quad (5.11a,b)$$

$$M_{\max} = \frac{g_1 l^2}{8} + \frac{g_2 l^2}{24} \cdot \frac{3\beta+2}{\beta+2} \quad (5.11c)$$

5.2.2.3. Calculul structurii în faza finală ($t=\infty$)

Pentru faza finală, după consumarea deformațiilor de curgere lentă, se utilizează procedeul descris în paragrafele 4.8.2 și 4.9.4.2. Schema statică de bază este cea din figura 5.8.

Spre deosebire de exemplul precedent cu stâlpi și grindă monolită, la care nu există schimbare de schema statică în timpul execuției, în acest caz structura va lucra după două scheme statice diferite:

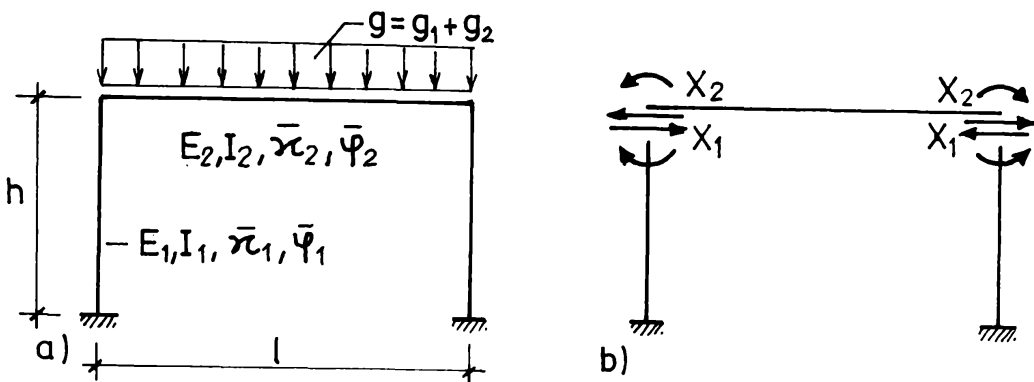


Fig.5.8.

- pentru încărcarea g_1 , pînă la întărirea monolitizării, ca o structură static determinată, iar după întărirea monolitizării, ca una static nedeterminată;
- pentru încărcarea g_2 , ca structură static nedeterminată.

Astfel, rezultatele obținute în paragraful precedent §.2.1.3 sunt valabile numai pentru încărcarea g_2 .

Pentru încărcarea g_1 trebuie să se țină seamă de modificarea schemei statice în timpul execuției. Diferența față de exemplul precedent constă în faptul că necunoscutele X_1 și X_2 din figura 5.8.b sunt nule la începutul încărcării, din cauza că grinda este simplu rezemată. După întărirea monolitizării, din cauza deformațiilor de curgere lentă din grindă, se produc forțele de legătură dintre grindă și stilpi și astfel X_1 și X_2 au valori semnificative. Ele nu pot însă atinge valorile calculate ca la structura static nedeterminată, pentru că o parte din deformații, în special cele elastice, au fost consumate înainte de întărirea monolitizării. Astfel, funcțiile \bar{F}_1 și \bar{F}_2 care arată modificările în timp ale eforturilor din structură, vor determina și variația acestor eforturi în urma schimbării schemei statice în timpul execuției.

$$\frac{2h^3}{3E_1I_1}(1+\bar{\alpha}_1\bar{\varphi}_1)X_1\bar{F}_1 + \frac{h^2}{E_1I_1}(1+\bar{\alpha}_1\bar{\varphi}_1)X_2\bar{F}_2 + \frac{2}{3}\frac{h^3}{E_1I_1}(1-\bar{\alpha}_1)\bar{\varphi}_1X_1 + \frac{h^2}{E_1I_1}(1-\bar{\alpha}_1)\bar{\varphi}_1X_2 = 0 \quad (5.12a)$$

$$\begin{aligned} & \frac{h^2}{E_1I_1}(1+\bar{\alpha}_1\bar{\varphi}_1)X_1\bar{F}_1 + \frac{\ell}{E_2I_2}[2\beta(1+\bar{\alpha}_1\bar{\varphi}_1)+(1+\bar{\alpha}_2\bar{\varphi}_2)]X_2\bar{F}_2 + \frac{h^2}{E_1I_1}(1-\bar{\alpha}_1)\bar{\varphi}_1X_1 + \\ & + \frac{\ell}{E_2I_2}[2\beta(1-\bar{\alpha}_1)\bar{\varphi}_1+(1-\bar{\alpha}_2)\bar{\varphi}_2]X_2 - \frac{g_1\ell^3}{12E_2I_2}\bar{\varphi}_2 = 0 \end{aligned} \quad (5.12b)$$

Rezolvînd acest sistem, se obține:

$$\bar{F} = \bar{F}_1 = \bar{F}_2 = \frac{(8+2)\bar{\varphi}_2 - [8(1-\bar{\alpha}_1)\bar{\varphi}_1 + 2(1-\bar{\alpha}_2)\bar{\varphi}_2]}{8(1+\bar{\alpha}_1\bar{\varphi}_1) + 2(1+\bar{\alpha}_2\bar{\varphi}_2)} \quad (5.13)$$

Se constată că \bar{F} din relația (5.13) este similară cu cea dată de relația (5.8), diferența constînd numai în înlocuirea termenului $(1 + \bar{\varphi}_2)$ cu $\bar{\varphi}_2$. Această diferență se dătoarește faptului că deformațiile elastice s-au consumat în faza cînd structura era static determinată.

Momentele de încovoiere rezultă din relațiile (5.10) și diagrama de momente este redată în figura 5.9 .

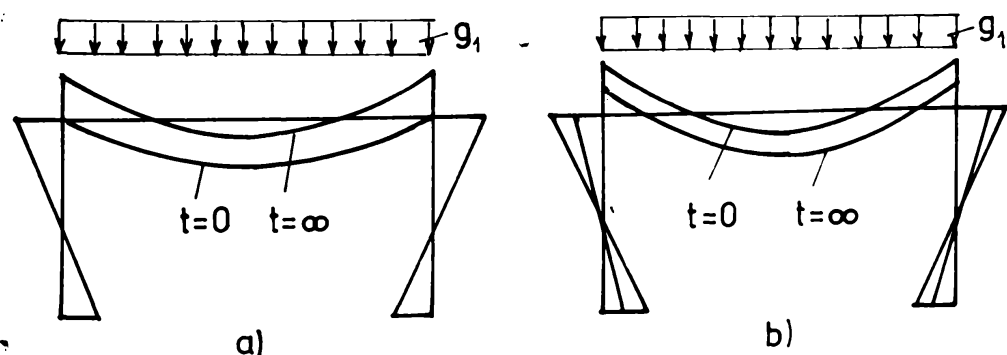


Fig.5.9.

5.2.2.4. Determinarea stării de eforturi.

a) Etapele de execuție ale cadrului

Cadrul din figura 5.10a se execută conform desfășurării prezentate în figura 5.10b:

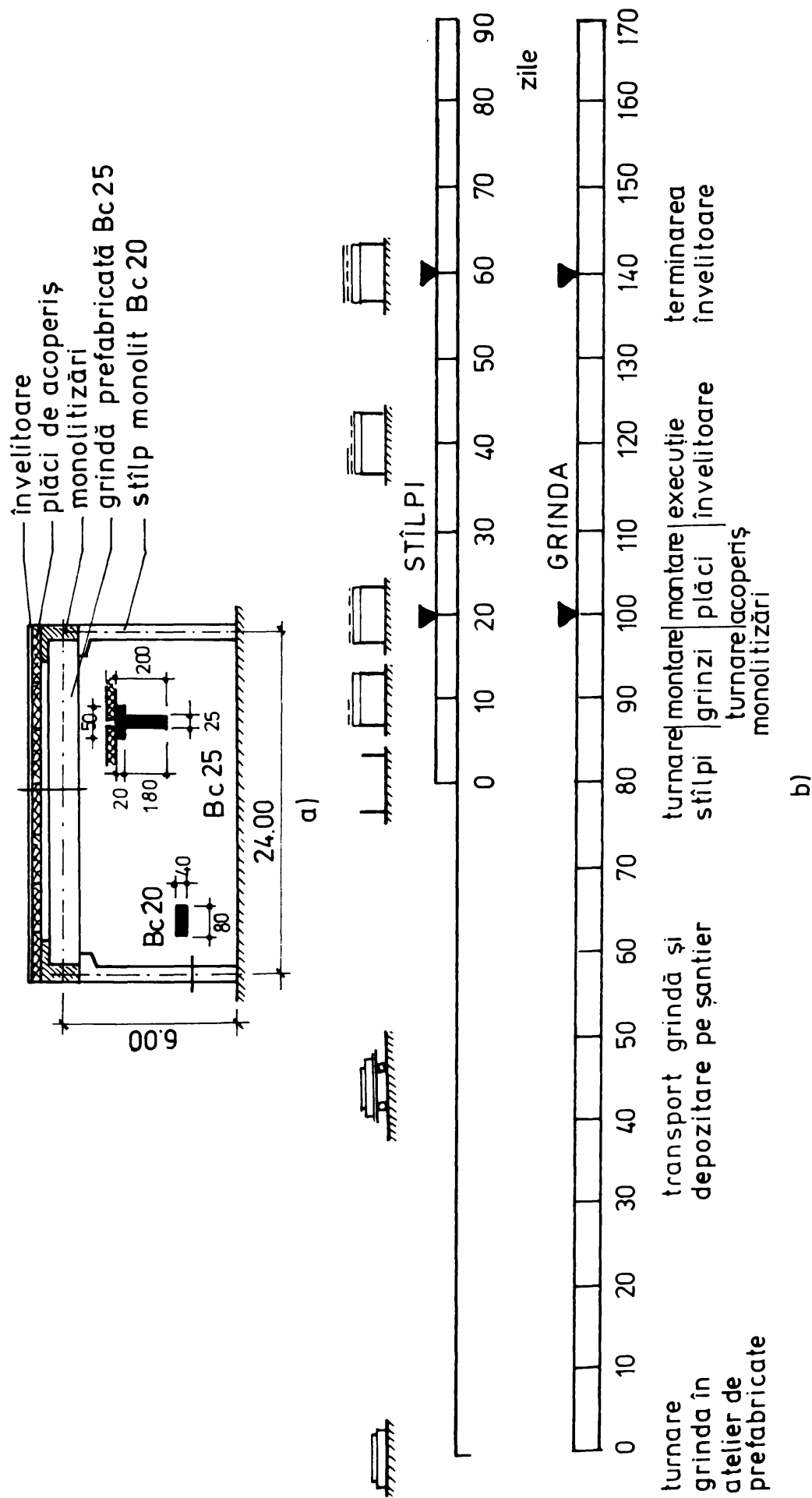


Fig. 5.10

- se toarnă grinda într-un atelier de prefabricate și se transportă, după întărire în depozitul de prefabricate al șantierului;

- se toarnă stîlpul după 80 zile de la turnarea grinzi;
- în timp de 20 zile de la turnarea stîlpului, se montează grinda prefabricată, se toarnă monolitizarea și se montează plăcile de acoperiș; se consideră că structura este încărcată în momentul terminării montării a acoperișului cind monolitizarea nu este încă întărîtă.

Rezultă astfel că stîlpii sunt încărcăți la 20 de la turnare și grinda la 100 zile de la realizarea ei în atelierul de prefabricate;

- în perioada următoare se execută învelitoarea, operație care durează 40 zile; rezultă că a doua fază a încărcării structurii, se produce la 60 zile de la turnarea stîlpilor și la 140 zile de la realizarea grinzi.

Similar ca și în exemplul precedent, se consideră că greutatea proprie a grinzi și a plăcilor de acoperiș reprezintă 75% din încărcarea totală, iar cea din învelitoare, 25%.

b) Determinarea rigidității relative

Rigiditatea relativă a cadrului se determină cu relația (5.2). Procedind similar ca în paragraful 5.2.1.4, se obțin:

$$\begin{aligned} &\text{- la stîlpi } E_1(20) = 235.200 \text{ daN/cm}^2 && (B_c^{20}) \\ &E_1(60) = 249.600 \text{ daN/cm}^2 \end{aligned}$$

$$\begin{aligned} &\text{- la grinda } E_2(100) = 283500 \text{ daN/cm}^2 && (B_c^{25}) \\ &E_2(140) = 286200 \text{ daN/cm}^2 \end{aligned}$$

Momentele de inerție rezultă:

$$I_1 = 2133333 \text{ cm}^4; \quad I_2 = 16666667 \text{ cm}^4$$

Rezultă rigiditățile relative din relația (5.2):

$$\beta(20,100) = 2,35; \quad \beta(60,140) = 2,24$$

c) Calculul momentelor în fază inițială ($t=0$)

Calculul momentelor în fază inițială se face cu relațiile (5.11). Rezultă astfel:

$$M_A = 0,491 \times 10^{-2} \text{ } gl^2$$

$$M_B = 0,982 \times 10^{-2} \text{ } gl^2$$

$$M_{\max} = 11,518 \times 10^{-2} \text{ } gl^2$$

d) Calculul caracteristicilor curgerii lente și a coeeficientilor de îmbătrînire după STAS 10107/0-90

Procedînd similar ca în exemplul precedent rezultă:

- stîlpi $\bar{\Psi}_1(20) = 3,000$ grindă $\bar{\Psi}_2(100) = 2,280$

$$\bar{\kappa}_1(20) = 0,817 \quad \bar{\kappa}_2(100) = 0,946$$

$$\bar{\Psi}_1(60) = 2,524 \quad \bar{\Psi}_2(140) = 1,980$$

$$\bar{\kappa}_1(60) = 0,874 \quad \bar{\kappa}_2(140) = 1,980$$

e) Calculul valorilor \bar{F}

Calculul funcției $\bar{F}(\zeta_1)$ corespunzătoare încărcării g'_1 se face cu relația (5.13), iar determinarea funcției $\bar{F}(\zeta_2)$ corespunzătoare încărcării g'_2 , cu relația (5.8). Se obțin astfel:

$$\bar{F}(20,100) = 0,580 ; \quad \bar{F}(60,140) = 0,906$$

f) Valorile finale ale eforturilor din cadrul

Valorile finale ale eforturilor se determină cu relațiile (5.10), ținînd seama și de schimbarea schemei statice în timpul execuției. Se determină astfel:

$$\bar{M}_A = \left[0,75 \frac{1}{12(2,35+2)} + 0,580 + 0,25 \frac{1}{12(2,24+2)} \cdot 0,906 \right] gl^2 = 1,279 \times 10^{-2} \text{ } gl^2$$

$$\bar{M}_B = 2\bar{M}_A = 2,557 \times 10^{-2} \text{ } gl^2 \quad M_{\max} = 9,943 \times 10^{-2} \text{ } gl^2$$

Diagrama de momente finale este cea din figura 5.3b.

O comparație a momentelor din fază inițială și cea finală este făcută în tabelul 5.6 și figura 5.11.

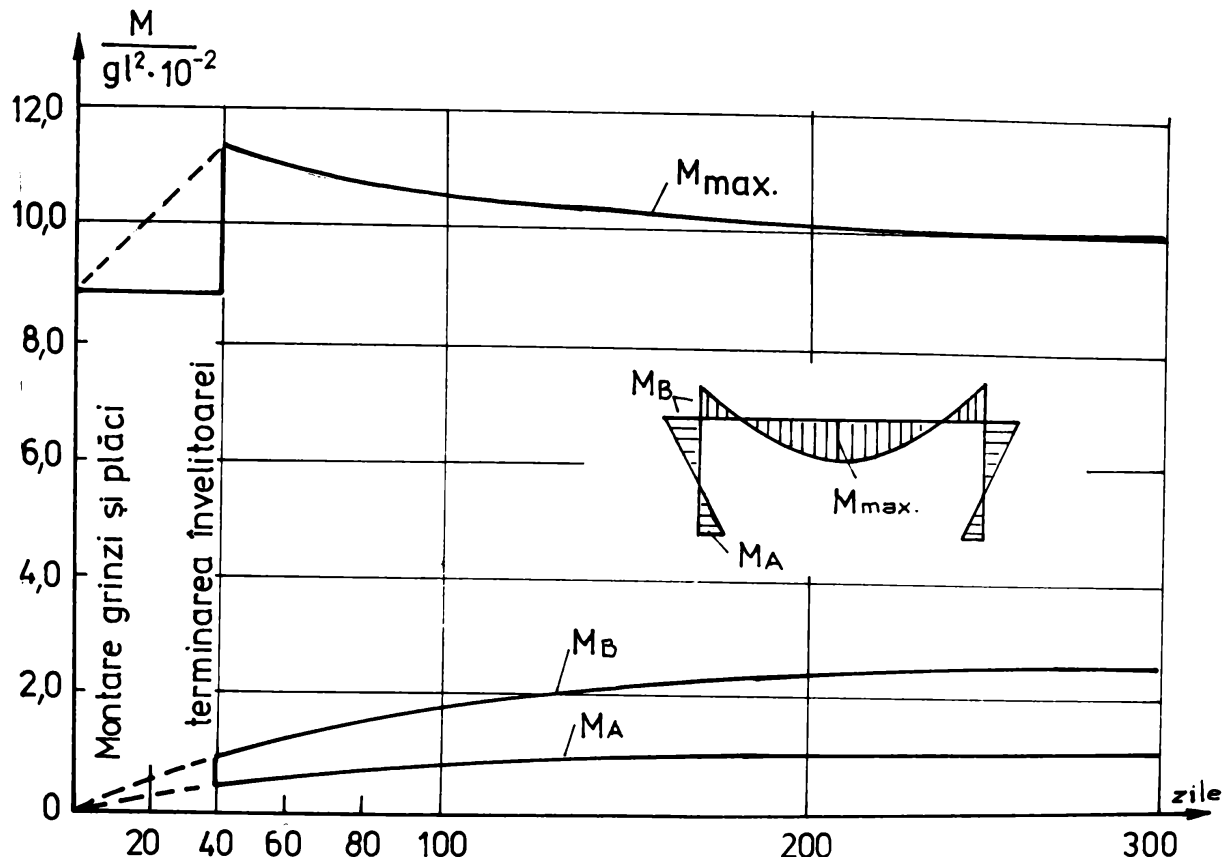


Fig. 5.11.

Tabelul 5.6

Comparație între momentele din faza inițială și faza finală

Diagrama de momente	Momente de încovoiere	Faza		Diferențe %
		inițială	finală	
M_B	$M_A / gl^2 \times 10^{-2}$	0,491	1,279	160
	$M_B / gl^2 \times 10^{-2}$	0,982	2,557	160
	$M_{max} / gl^2 \times 10^{-2}$	11,518	9,943	-13,7

Din compararea valorilor din tabel rezultă că momentele din stîlpii și capetele grinzi cresc în timp cu 160%, iar momentul maxim din cîmp scade cu 13,7%. Rezultă astfel că stîlpii și capetele grinzi trebuie dimensionate în faza finală, iar mijlocul grinzi în faza inițială.

g) Comparatie cu calculul elastic al cadrului

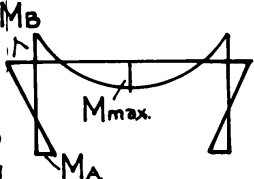
Calculul static elastic al structurii se poate face în două ipoteze:

- nu se ține seamă că structura a fost executată în etape și se consideră că întreaga încărcare este preluată prin efect de cadră (ipoteza I);
- se ține seamă că g_1 este preluată de grină ca fiind simplu rezemată și g_2 , ca efect de cadră (ipoteza II).

Rezultă valorile din tabelul 5.7 (calculate pentru un $\gamma = 2,197$ care corespunde calculului elastic).

Tabelul 5.7

Comparatie față de calculul elastic

Diagramă	Momente	Calculul elastic		Calcul vîsco- elastic	Diferențe %	
		ipoteza I	ipoteza II		ip. I	ip. II
	$M_A/g\ell^2xlo^{-2}$	1,965	0,497	1,279	34,6	-163
	$M_B/g\ell^2xlo^{-2}$	3,971	0,993	2,557	34,6	-163
	$M_{max}/g\ell^2xlo^{-2}$	8,529	11,507	9,943	-16,6	13,6

Se constată diferențe mari față de calculul elastic.

Aștept, dacă se efectuează un calcul de cadră, fără să se țină seamă de modul de execuție momentele reale din cimp sunt mai mari cu 16,6%. Dacă se ține seamă de etapele de execuție, momentele reale din stâlpi sunt cu 163% mai mari.

5.2.2.5. Influența vîrstei betonului în stâlpi și grinzi

În exemplul precedent s-a considerat că între vîrstele betonului din grină și stâlpi există o diferență de 100 zile. Pentru alte diferențe, valorile momentelor de încovoiere pe cadră sunt prezentate în tabelul 5.8 și figura 5.12.

Tabelul 5.8.

Diferențe dintre vîrstă betonului din grindă și stîlp.

Diferențe vîrstă beton grindă-stîlp	$\frac{M_A}{gl^2 \times 10^{-2}}$	$\frac{M_B}{gl^2 \times 10^{-2}}$	$\frac{M_{max}}{gl^2 \times 10^{-2}}$
40	1,341	2,681	9,819
60	1,293	2,585	9,915
80	1,237	2,475	10,025
100	1,187	2,373	10,127
120	1,163	2,327	10,173
180	1,079	2,159	10,341
480	0,831	1,661	10,839

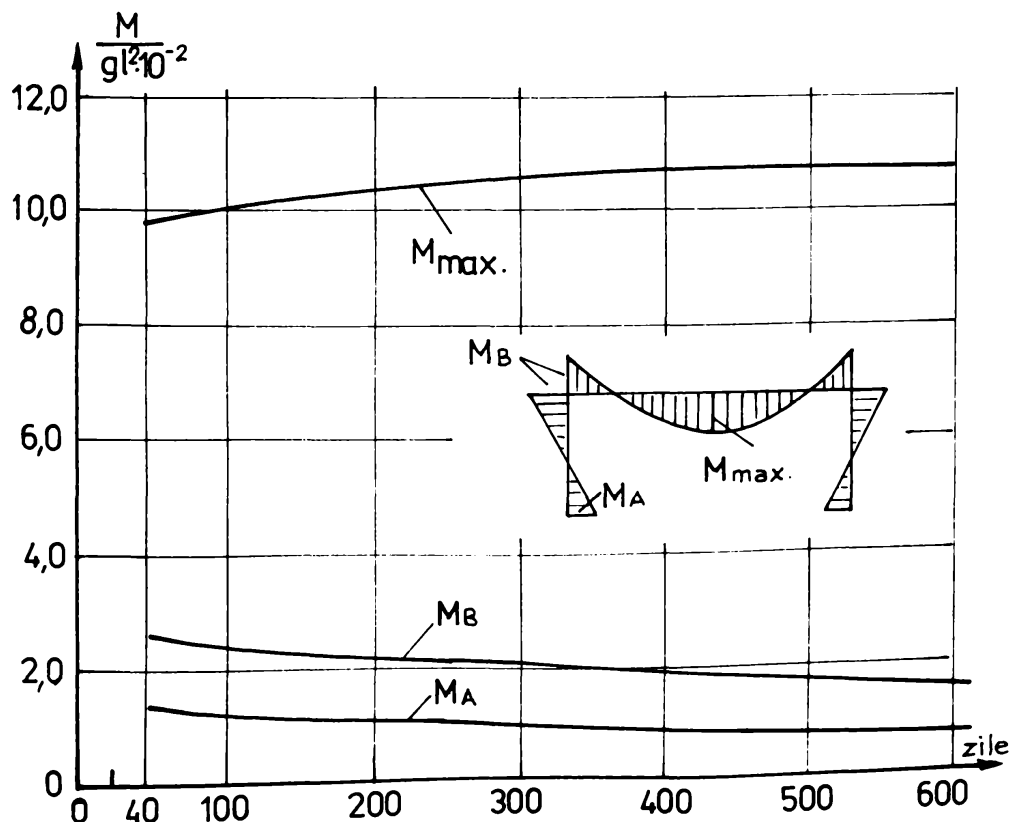


Fig.5.12

Se constată că pe măsură ce diferența de vîrstă a betonului din grindă și stîlpi crește, rigiditatea stîlpului în raport cu cea a grinzelor scade și prin urmare momentele din stîlpi scad. În același timp, momentele din grindă cresc.

5.2.3 Stîlpi și grindă prefabricată

5.2.3.1. Descrierea tehnologiei de execuție

Pentru același cadru (fig.5.13a) ca cel din exemplele precedente, se consideră că stîlpii și grinzelor sunt prefabricate, realizate în ateliere de prefabricate. Tehnologia de execuție este următoarea:

- execuțarea grinzelor și stîlpilor în ateliere de prefabricate (fig.5.13b);
- montarea stîlpilor (fig.5.13c);
- montarea grinzelor (fig.5.13d);
- turnare monolitizare (fig.5.13e);
- montare plăci acoperiș (fig.5.13f);
- execuție invelitoare (fig.5.13g).

Se constată că între exemplul precedent, cel al stîlpilor monoliti și grindă prefabricată nu există diferențe esențiale, în comportarea structurii în timpul montajului și în exploatare. Diferențe există numai în ceea ce privește raportul dintre vîrstă betonului din stîlpi sau grindă. În funcție de modul de execuție, stîlpii pot fi mai vechi decât grinda, sau invers, grinda poate avea o vechime mai mare decât stîlpii. În cele ce urmează, păstrând date din exemplele precedente, se studiază influența vîrstei betonului din grindă și stîlpi asupra stării de eforturi.

5.2.3.2. Influența vîrstei betonului în stîlpi și grinzi

Pentru a analiza influența diferențelor de vîrstă ale betonului din stîlpi și grindă s-au considerat cazurile din tabelul 5.7; păstrîndu-se constantă odată vîrsta la încărcare a stîlpului

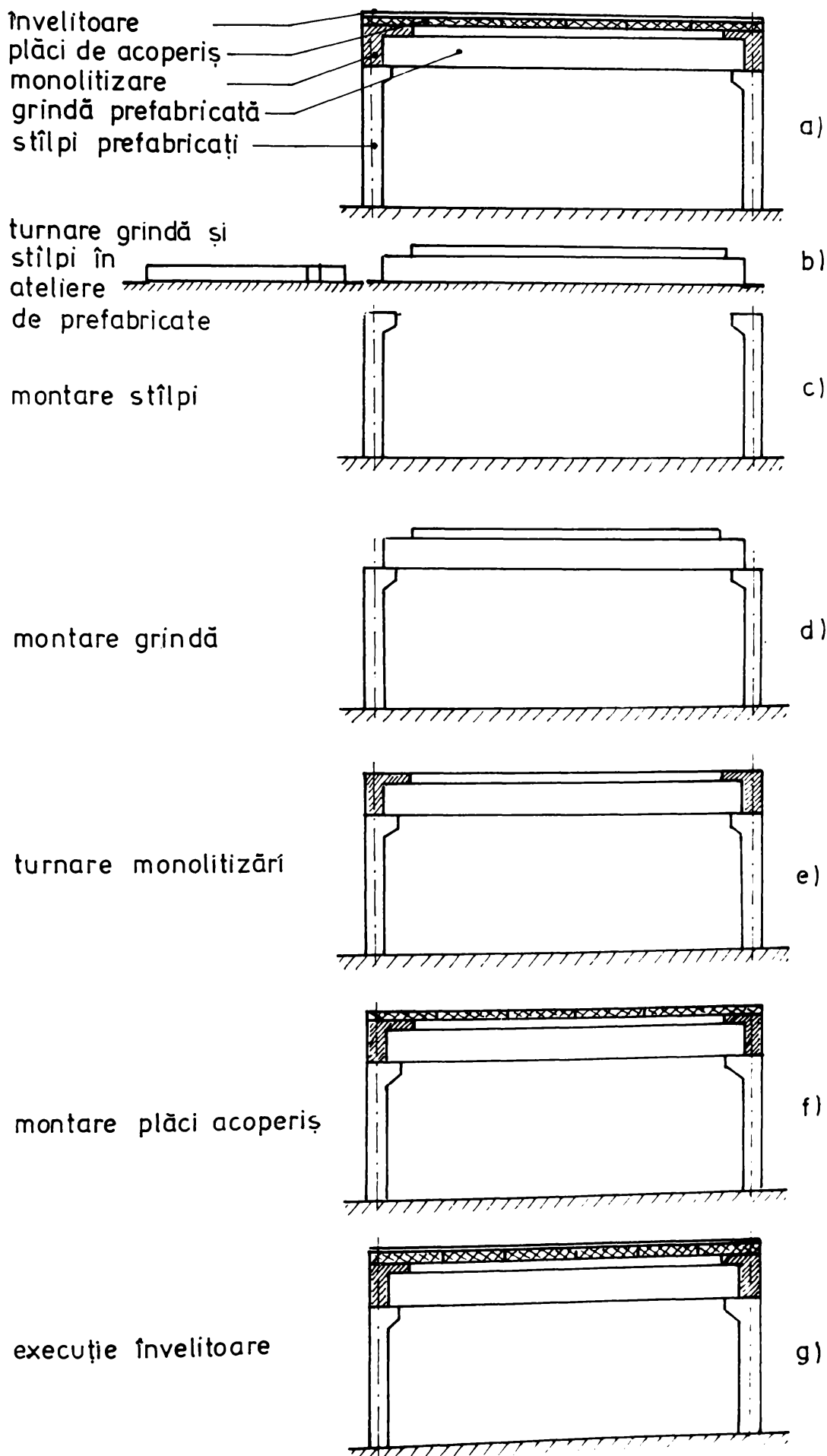


Fig. 5.13

și variabilă cea a grinzi (cazul I) și apoi constantă vîrstă grinzii și variabilă cea a stîlpului (cazul II). Variatările eforturilor în funcție de diferența de vîrstă sunt prezentate în figura 5.14.

Tabelul 5.7'

Cazul	Vîrstă la prima încărcare		$\frac{M_A}{g l^2 x_{lo}^{-2}}$	$\frac{M_B}{g l^2 x_{lo}^{-2}}$	$\frac{M_{max}}{g l^2 x_{lo}^{-2}}$
	stîlp	grindă			
I	60	40	1,385	2,770	9,730
	60	60	1,264	2,528	9,972
	60	80	1,217	2,453	10,067
	60	100	1,171	2,341	10,159
	60	200	1,013	2,027	10,473
	60	500	0,791	1,581	10,919
II	40	60	1,230	2,460	10,040
	60	60	1,264	2,528	9,972
	80	60	1,334	2,668	9,832
	100	60	1,361	2,723	9,777
	200	60	1,472	2,944	9,556
	500	60	1,641	3,281	9,219

Să se constată că în primul caz, cînd betonul din grindă are o vîrstă mai mare decît cea din stîlpi, momentele de pe stîlp scad și crește momentul maxim de pe grindă. Tendința este contrară în cazul doi, cînd stîlpii au vîrste mai mari decît cele ale grinzi.

Explicația acestor variații rezultă din modificările în timp a rigidității relative între stîlpi și grindă.

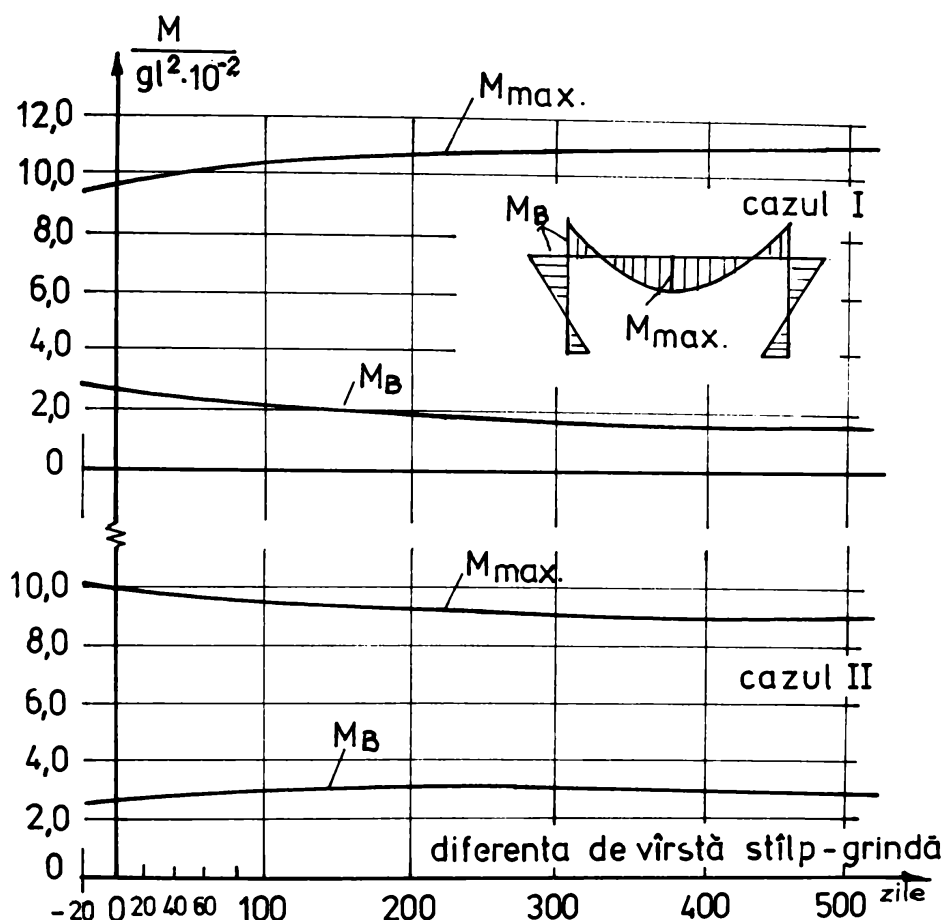


Fig.5.14.

5.2.4. Stîlpii de beton și grindă metalică

In ultimul timp la hale cu deschideri mari se utilizează din ce în ce mai mult soluții în care stîlpii, având solicitări principale de compresiune, sunt realizăți din beton armat, iar grinziile, fiind încovioiate, se realizează din oțel. Astfel structura este neomogenă, stîlpii având deformații de curgere lentă, pe cind grinda nu. Tehnologia de execuție este similară cu cea prezentată în paragraful 5.2.3. Deosebirea față de grinda prefabricată de beton constă în faptul că sudura care leagă stîlpii de grindă este activă imediat după terminarea ei și structura lucrează ca un cadru și pentru încărcarea din greutatea plăcilor de acoperiș. Pentru studiul stării de eforturi din cadru se poate folosi relația (5.8) dar în care se consideră $\bar{\Psi}_2 = \bar{Y}C_2 = 0$, pentru că grinda

metalică nu are curgere lentă. Rezultă astfel:

$$\bar{F} = \bar{F}_1 = \bar{F}_2 = \frac{s + 2 - \beta(1 - \bar{\epsilon}_1)\bar{\varphi}_1}{\beta(1 + \bar{\epsilon}_1\bar{\varphi}_1)} \quad (5.8)$$

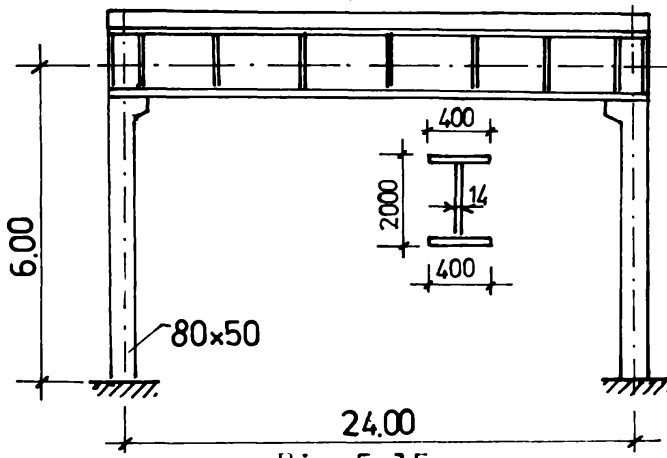


Fig. 5.15.

Pentru exemplul de hală din figura 5.15, la care stîlpii sunt încărcati la 20 zile de la turnare, iar învelitoarea se execută la 40 zile de la terminarea montării plăcilor de acoperiș se obțin următoarele valori, determinate ca în exemplele precedente

- la stîlpi: $E_1(20) = 264600 \text{ daN/cm}^2$ (B_c25)

$E_1(60) = 278100 \text{ daN/cm}^2$; $I_1 = 2133333 \text{ cm}^4$

- la grindă $E_2 = 2100000 \text{ daN/cm}^2$; $I_2 = 2.446.606 \text{ cm}^4$

Rezultă

$$\beta(20) = 2,275; \quad \beta(60) = 2,165$$

Caracteristicile curgerii lente pentru stîlpi sunt:

$$\bar{\varphi}_1(20) = 3,00 \quad \bar{\varphi}_1(60) = 2,524$$

$$\bar{\epsilon}_1(20) = 0,817 \quad \bar{\epsilon}_1(60) = 0,874$$

$$\text{Rezultă astfel } \bar{F}(20) = 0,385, \bar{F}(60) = 0,365$$

Se obțin eforturile din tabelul 5.8 și figura 5.16

Tabelul 5.8.

Comparația momentelor de încovoiere

Diagrama	Momente de încov. M_A , M_B , M_{max}	Calculul elastic	Calculul viscoelastice		Diferență %
			faza inițială	faza finală	
		$M_A/gl^2 \times 10^{-2}$	1,949	1,949	1,270 -34,8
		$M_B/gl^2 \times 10^{-2}$	3,899	3,899	2,539 -34,8
		$M_{max}/gl^2 \times 10^{-2}$	8,601	8,601	9,961 +15,8

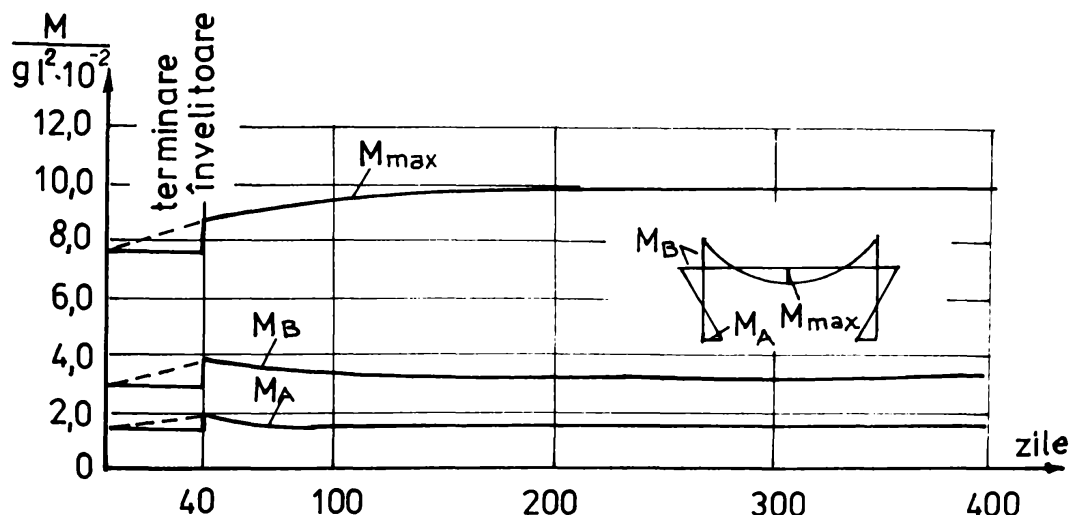


Fig.5.16.

Se constată că momentele de pe stîlp scad în timp, ce urmare a efectului curgerii lente, ce reduce rigiditatea aparentă a stîlpilor. În schimb, crește momentul de încovoiere în grindă.

Se observă că modificările eforturilor sunt mai mari decât cele pentru grinziile de beton armat, pentru că grinda metalică nu are curgere lentă. Se știe din paragraful 3.2.1 că la structurile omogene la care toate barele au aceeași caracteristică a curgerii lente, starea de eforturi nu a fost modificată. Cea mai mare modificare se produce la structurile la care neomogenitatea este maximă, ceea ce explică rezultatele obținute pentru cazul stîlpilor de beton armat și grinziilor metalice.

5.2.5. Influenta contractiei

5.2.5.1. Contractia impiedicata a grinzi

La cadrul analizat, efectul contractiei este de scurtare a stîlpilor și a grinzi (fig.5.17). Pentru că deplasările pe verticală ale stîlpilor sunt libere, acestea nu vor produce eforturi

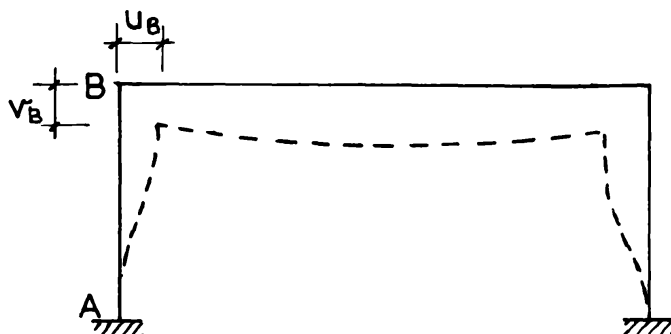


Fig.5.17.

în structură. În schimb scurtarea grinzi este împiedicată de rigiditatea la încovoiere a stîlpilor. Rezultă astfel, din cauza încastrării elastice a grinzi în stîlpi, o deformată de forma celei din figura 5.17; apar momente de încovoiere atît în grindă cît și în stîlpi.

5.2.5.2. Determinarea stării de eforturi

Pentru rezolvarea problemei contractiei se folosesc ecuațiile (4.164).

Necunoscutele $\{\bar{X}_0\}$, care se calculează din efectul contractiei fără să se ține seamă de curgerea lentă a betonului, rezultă din sistemul de ecuații (4.164a). Folosind valorile determinate în paragraful 5.2.1.2 se obține:

$$\frac{2h^3}{3E_1I_1} \bar{X}_{10} + \frac{h^2}{E_1I_1} \bar{X}_{20} - \bar{\varepsilon}_{ct} \frac{l}{2} = 0 \quad (5.15a)$$

$$\frac{h^2}{E_1I_1} \bar{X}_{10} + \frac{l}{E_2I_2} (2\beta+1) \bar{X}_{20} = 0 \quad (5.15.b)$$

Rezolvînd sistemul de ecuații rezultă:

$$\bar{x}_{10} = \frac{3E_1 I_1 l}{2h^3} \bar{\epsilon}_{ct} \frac{2\beta+1}{\beta+2} ; \quad \bar{x}_{20} = -\frac{E_1 I_1 l}{2h^2} \bar{\epsilon}_{ct} \frac{3\beta}{\beta+2} \quad (5.16a,b)$$

Dacă se ține seamă de efectul curgerii lente a betonului, funcțiiile \bar{F} se obțin din sistemul de ecuații (4.164b). Folosind valorile determinate în 5.2.1.2, se obține:

$$\begin{aligned} & \frac{2h^3}{3E_1 I_1} (1 + \bar{\epsilon}_1 \bar{\varphi}_1) \bar{X}_{10} \bar{F}_1^c + \frac{h^2}{E_1 I_1} (1 + \bar{\epsilon}_1 \bar{\varphi}_1) \bar{X}_{20} \bar{F}_2^c + \frac{2h^3}{3E_1 I_1} (1 - \bar{\epsilon}_1) \bar{\varphi}_1 \bar{X}_{10} + \\ & + \frac{h^2}{E_1 I_1} (1 - \bar{\epsilon}_1) \bar{\varphi}_1 \bar{X}_{20} - \bar{\epsilon}_{ct} \frac{l}{2} = 0 \end{aligned} \quad (5.17a)$$

$$\begin{aligned} & \frac{h^2}{E_1 I_1} (1 + \bar{\epsilon}_1 \bar{\varphi}_1) \bar{X}_{10} \bar{F}_1^c + \frac{l}{E_2 I_2} [2\beta(1 + \bar{\epsilon}_1 \bar{\varphi}_1) + (1 + \bar{\epsilon}_2 \bar{\varphi}_2)] \bar{X}_{20} \bar{F}_2^c + \\ & + \frac{h^2}{E_1 I_1} (1 - \bar{\epsilon}_1) \bar{\varphi}_1 \bar{X}_{10} + \frac{1}{E_2 I_2} [2\beta(1 - \bar{\epsilon}_1) \bar{\varphi}_1 + (1 - \bar{\epsilon}_2) \bar{\varphi}_2] \bar{X}_{20} = 0 \end{aligned} \quad (5.17b)$$

Rezolvînd sistemul de ecuații rezultă:

$$\bar{F}_1^c = \frac{\beta+2}{2(2\beta+1)} \left[\frac{1 - (1 - \bar{\epsilon}_1) \bar{\varphi}_1}{1 + \bar{\epsilon}_1 \bar{\varphi}_1} + \frac{3\beta}{\beta+2} \bar{F}_2^c \right] \quad (5.18a)$$

$$\bar{F}_2^c = \frac{[1 - (1 - \bar{\epsilon}_1) \bar{\varphi}_1](1 + \beta) + 2[(1 - \bar{\epsilon}_1) \bar{\varphi}_1 - (1 - \bar{\epsilon}_2) \bar{\varphi}_2]}{\beta(1 + \bar{\epsilon}_1 \bar{\varphi}_1) + 2(1 + \bar{\epsilon}_2 \bar{\varphi}_2)} \quad (5.18b)$$

Aceste funcții reprezintă reducerea necunoscutelor \bar{X}_{10} și \bar{X}_{20} ca urmare a efectului curgerii lente a betonului. Rezultă astfel necunoscutele, determinate pentru $t = \infty$

$$\bar{x}_1 = \bar{x}_{10} \cdot \bar{F}_1^c ; \quad \bar{x}_2 = \bar{x}_{20} \bar{F}_2^c \quad (5.19a,b)$$

Cu ajutorul acestor necunoscute se vor putea calcula eforturile din structură.

5.2.5.3. Comparatie între efectele contractiei la o structură monolită și la una cu grindă pre-fabricată.

Efectele contractiei betonului vor fi determinate pentru cazurile studiate în paragrafele 5.2.1.4 (fig.5.4a) și 5.2.2.3 (fig.5.10a).

a) Calculul deformațiilor din contractie

Calculul deformațiilor din contractie se face după STAS 1007/o-90, care este identic cu cel din CEB-FIP-76, prezentat în

paragraful 2.5.1b. Deformația specifică se determină cu relația (2.47), care pentru $t=\infty$ devine, ținând seamă că $\beta_c(\infty)=1$:

$$\bar{\epsilon}_{ct} = \epsilon_c [1 - \beta_c(\zeta_0)]$$

In această relație, timpul ζ_0 corespunde momentului în care grinda este legată în structură, după ce a încetat însă întreținerea prin udare a grinziei.

Grindă monolită

Deformația specifică este $\epsilon_c = \epsilon_{c1} \epsilon_{c2}$, unde ϵ_{c1} , se determină pentru exterior și este: $\epsilon_{c1} = 0,25 \text{ mm/m} = 0,25 \times 10^{-3}$. ϵ_{c2} se determină din diagrama din figura 2.19a pentru grosimea efectivă $d_{ef} = 59,1 \text{ cm}$, determină la punctul 5.2.1.4 și este $\epsilon_{c2} = 0,78$. Considerind că încetarea întreținerii prin udare a grinziei, corespunde cu decofrarea grinziei, $\zeta_0 = 0$, se obține $\beta_c(0) = 0$. Rezultă astfel deformăția specifică de contractie.

$$\bar{\epsilon}_{ct} = 0,25 \times 0,78 \times 10^{-3} = 1,95 \times 10^{-4}$$

Grindă prefabricată

Calculul similar ca în cazul grinziei monolite, dar cu o grosime efectivă de 32,5 cm și ținând seamă că timp de 100 zile grinda s-a deformat liber din contractie, pentru că n-a fost legată în structură, rezultă din figura 2.19b, $\beta_c(100) = 0,33$. Se obține astfel: $\epsilon_c = 0,25 \times 10^{-3} \times 0,84 = 2,1 \times 10^{-4}$

$$\bar{\epsilon}_{ct} = 2,1 \times 10^{-4} (1 - 0,33) = 1,407 \times 10^{-4}$$

b) Determinarea funcțiilor \bar{F}_1^c și \bar{F}_2^c

Pentru cazul grinziei monolite, pentru care din paragraful 5.2.1.4 d rezultă $\bar{\varphi}_1 = 2,524$; $\bar{x}_1 = 0,874$; $\bar{\varphi}_2 = 2,903$; $\bar{x}_2 = 0,812$

Din figura 2.23, pentru $t = \infty$, rezultă $\beta_e = 1,083$ și astfel

$$\bar{E}_1 = \bar{E}_2 = E(\infty) = 1,083 \times 240.000 = 259.920 \text{ daN/cm}^2$$

$$\bar{\delta} = \frac{\bar{E}_2 \cdot I_2}{\bar{E}_1 I_1} \frac{h}{l} = 3,906$$

Se obține din relațiile (5.18): $\bar{F}_1^c = 0,195$; $\bar{F}_2^c = 0,186$

Necunoscutele \bar{x}_1 , \bar{x}_2 rezultă din relațiile (5.16) și (5.19).

$$\bar{x}_1 = 269 \text{ daN}; \quad \bar{x}_2 = 1330 \text{ daNm}$$

Diagrama de momente este cea din figura 5.18a

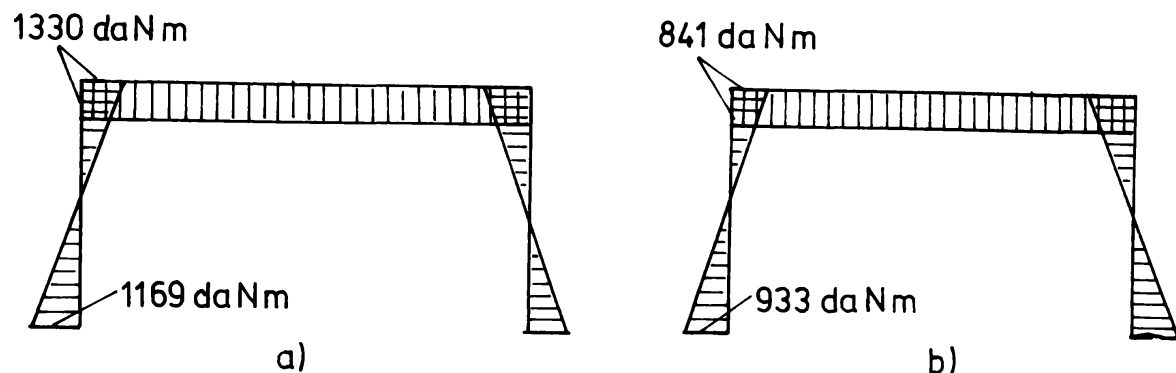


Fig.5.18

In cazul grinzelii prefabricate, pentru care din paragraful 5.2.2.3.c rezultă: $\bar{\psi}_1 = 3,00$; $\bar{\pi}_1 = 0,817$; $\bar{\psi}_2 = 2,280$; $\bar{\pi}_2 = 0,946$.

Din figura 2.23, pentru $t = \infty$ se obține $\beta_e = 1,083$ și astfel: $E_1 = 259920 \text{ daN/cm}^2$ și $E_2 = 292410 \text{ daN/cm}^2$. Rezultă $\beta = 2,197$ și din relațiile 5.18, $\bar{F}_1^c = 0,177$ și $\bar{F}_2^c = 0,206$.

Necunoscutele \bar{x}_1 , \bar{x}_2 , rezultă din relațiile (5.16) și (5.19): $\bar{x}_1 = 296 \text{ daN}$ $\bar{x}_2 = 841 \text{ daN/m}$.

Diagrama de momente este prezentată în figura 5.18b.

Comparând momentele de încovoiere obținute în cele două variante de realizare, grindă monolitică sau prefabricată, se constată că momentele sunt mult mai mici în cazul ultim, din cauza că o parte din deformarea de contractie s-a consumat liber, cind grinda nu era legată în structură.

Se observă de asemenea că efectul curgerii lente asupra stării de eforturi este foarte mare, pentru că, prin

funcțiile \bar{F}^c , reducerea rezultată este de cca 80%.

Pentru a avea o imagine asupra importanței momentelor de încovoiere din contracție, se compară momentele obținute cu cele determinate din greutatea proprie, considerind $g=3000 \text{ daN/m}$ se obține $M_{Bg} = 53660 \text{ daNm}$.

Comparând această valoare cu cea obținută din contracție de 1330 daNm , se constată că la cadrul cu o deschidere efectul contracției este redus.

5.3. Cadru parter cu două deschideri

5.3.1. Stilpi și grinzi turnate monolit

5.3.1.1. Tehnologia de execuție

Presupunând că decofrarea celor două deschideri (fig. 5.19) se face în același timp, sau la tempi ce nu diferă foarte mult, tehnologia de execuție este similară cu cea descrisă în

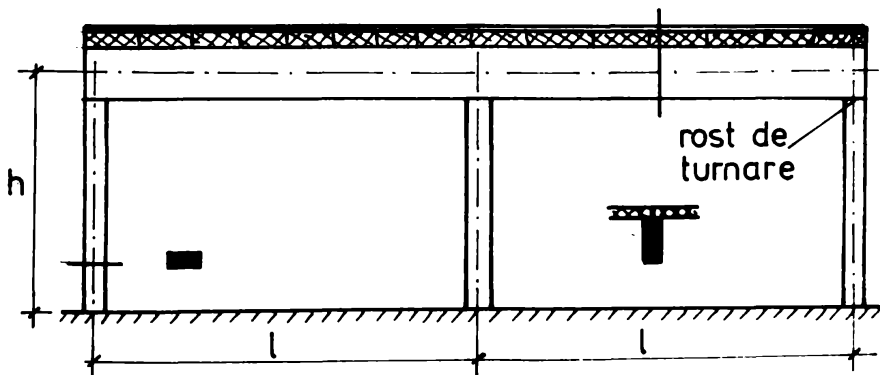


Fig.5.19

paragraful 5.2.1.1 pentru cadrul cu o deschidere.

5.3.1.2. Calculul structurii în fază inițială ($t=0$)

În fază inițială, calculul statistic se face în stadiul elastic. Schema statică de bază este cea din figura 5.2ob. Se constată că secțiunile pentru evidențierea necunoscutelor au fost alese în dreptul separării betoanelor cu calități diferite. Cadrul este static nedeterminat de 6 ori, dar ținând seamă de simetrie, sunt semnificative numai trei necunoscute, X_1 , X_2 și X_3 .

Procedind similar ca în cazul cadrului cu o deschidere, se obțin matricele:

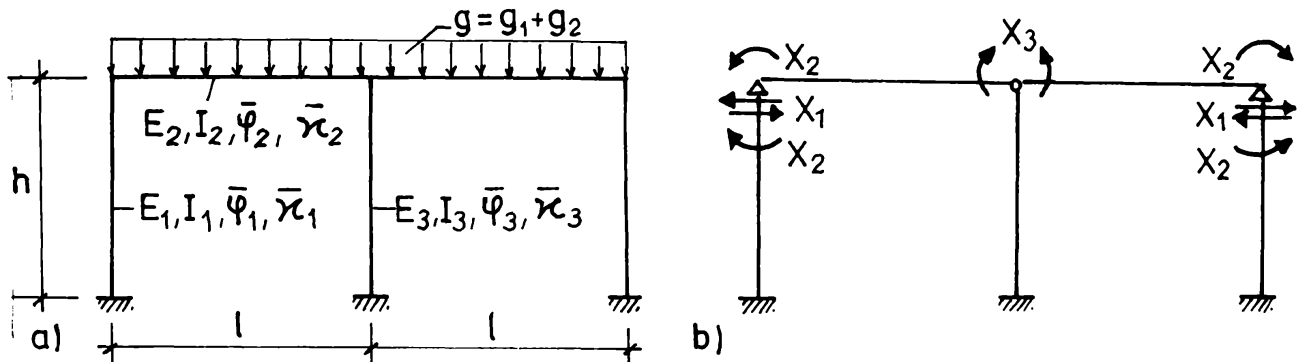


Fig. 5.20

$$[A_{xx}] = \begin{vmatrix} \frac{2h^3}{3E_1I_1} & \frac{h^2}{E_1I_1} & 0 \\ \frac{h^2}{E_1I_1} & \frac{2\ell}{3E_2I_2}(3\beta+1) & \frac{\ell}{3E_2I_2} \\ 0 & \frac{\ell}{3E_2I_2} & \frac{2\ell}{3E_2I_2} \end{vmatrix} \quad (5.20a)$$

$$[B_{xp}] = \begin{vmatrix} 0 \\ \frac{\ell^3}{12E_2I_2} \\ -\frac{\ell^3}{12E_2I_2} \end{vmatrix} \quad (5.20b)$$

și rezolvînd sistemul de ecuații (4.160a) rezultă

$$x_1 = -\frac{g\ell^2}{8h(\beta+1)}; \quad x_2 = \frac{g\ell^2}{12(\beta+1)}; \quad x_3 = \frac{g\ell^2(3\beta+2)}{24(\beta+1)} \quad (5.21. a.b.c)$$

unde β este dat de relația (5.2).

Determinarea momentelor de încovoiere se face cu rela-

țiile:

$$M_A = \frac{g\ell^2}{24(\beta+1)} \quad M_B = x_2 = \frac{g\ell^2}{12(\beta+1)} \quad (5.22.a,b)$$

$$M_C = x_3 = \frac{g\ell^2(3\beta+2)}{24(\beta+1)} \quad M_{max} = \frac{g\ell^2}{128} \left(\frac{3\beta+4}{\beta+1} \right)^2 - M_B \quad (5.22c,d)$$

Diagramele de momente sunt cele din figure 5.21a.

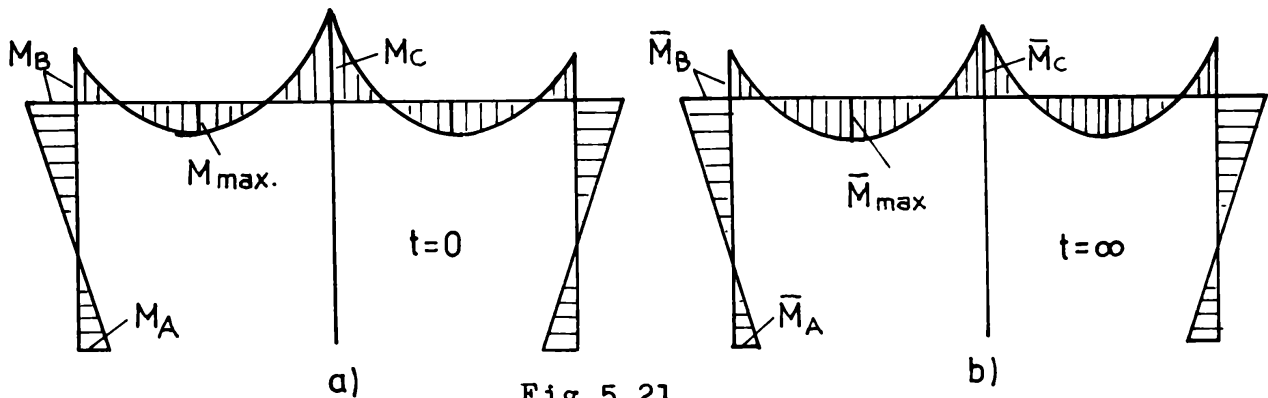


Fig. 5.21.

5.3.1.3. Calculul structurii în fază finală ($t=\infty$)

Determinarea eforturilor se face cu ajutorul necunoscutelor $\bar{X} = X \cdot \bar{F}$, în care funcția \bar{F} se determină din sistemul de ecuații (4.16ob), unde:

$$[\bar{F}_{xx}] = \begin{vmatrix} \frac{2h^3}{3E_1I_1}(1+\bar{x}_1\bar{\varphi}_1)x_1 & \frac{h^2}{E_1I_1}(1+\bar{x}_1\bar{\varphi}_1)x_2 & 0 \\ \frac{h^2}{E_1I_1}(1+\bar{x}_1\bar{\varphi}_1)x_1 & \frac{2\ell}{3E_2I_2}[3\bar{\rho}(1+\bar{x}_1\bar{\varphi}_1)+(1+\bar{x}_2\bar{\varphi}_2)]x_2 & \frac{\ell}{3E_2I_2}(1+\bar{x}_2\bar{\varphi}_2)x_3 \\ 0 & \frac{\ell}{3E_2I_2}(1+\bar{x}_2\bar{\varphi}_2)x_2 & \frac{2\ell}{3E_2I_2}(1+\bar{x}_2\bar{\varphi}_2)x_3 \end{vmatrix} \quad (5.23a)$$

$$[\bar{G}_{xx}] = \begin{vmatrix} \frac{2h^3}{3E_1I_1}(1-\bar{x}_1)\bar{\varphi} & \frac{h^2}{E_1I_1}(1-\bar{x}_1)\bar{\varphi}_1 & 0 \\ \frac{h^2}{E_1I_1}(1-\bar{x}_1)\bar{\varphi} & \frac{2\ell}{3E_2I_2}[3\bar{\rho}(1-\bar{x}_1)\bar{\varphi}_1+(1-\bar{x}_2)\bar{\varphi}_2] & \frac{\ell}{3E_2I_2}(1-\bar{x}_2)\bar{\varphi}_2 \\ 0 & \frac{\ell}{3E_2I_2}(1-\bar{x}_2)\bar{\varphi}_2 & \frac{2\ell}{3E_2I_2}(1-\bar{x}_2)\bar{\varphi}_2 \end{vmatrix} \quad (5.23b)$$

$$[\bar{D}_{xp}] = \begin{vmatrix} 0 \\ -\frac{\ell^3}{12E_2I_2}(1+\bar{\varphi}_2) \\ -\frac{\ell^3}{12E_2I_2}(1+\bar{\varphi}_2) \end{vmatrix} \quad (5.23c)$$

Rezolvînd sistemul de ecuații, se obține:

$$\bar{F}_1 = \bar{F}_2 = \frac{(\beta+1)(1+\bar{F}_2) - [\beta(1-\bar{x}_1)\bar{\varphi}_1 + (1-\bar{x}_2)\bar{\varphi}_2]}{\beta(1+\bar{x}_1\bar{\varphi}_1) + (1+\bar{x}_2\bar{\varphi}_2)} \quad (5.24a.b)$$

$$\bar{F}_3 = \frac{3(\beta+1) - \bar{F}_2}{3\beta+2} \quad (5.24c).$$

Corectitudinea relațiilor (5.24) se verifică pentru cazul structurii omogene $\bar{\varphi}_1 = \bar{\varphi}_2 = \bar{\varphi}$, $\bar{x}_1 = \bar{x}_2 = \bar{x}$, pentru care se obține $\bar{F}_1 = \bar{F}_2 = \bar{F}_3 = 1$, și deci, conform principiului corespondenței, enunțat în paragraful 3.2.2, starea de eforturi din structură nu se modifică în timp.

Calculul momentelor din cadrul se face cu relațiile:

$$\bar{M}_A = x_1 \bar{F}_1 \cdot h + x_2 \bar{F}_2 = \frac{g\ell^2}{24(\beta+1)} \cdot \bar{F}_2 \quad (5.25a)$$

$$\bar{M}_B = x_2 \bar{F}_2 = \frac{g\ell^2}{12(\beta+1)} \cdot \bar{F}_2 \quad (5.25b)$$

$$\bar{M}_C = x_3 \bar{F}_3 = \frac{g\ell^2(3\beta+2)}{24(\beta+1)} \bar{F}_3 \quad (5.25c)$$

$$\bar{M}_{max} = \frac{g\ell^2}{128} \left[\frac{\beta(4-\bar{F}_3)+4-\frac{2}{3}(\bar{F}_3-\bar{F}_2)}{\beta+1} \right]^2 - \bar{M}_B \quad (5.25d)$$

în care s-au folosit relațiile (5.22).

Diagrama de eforturi este prezentată în figura 5.21b.

Dacă încărcarea se aplică în două etape diferite,

g_1 la timpul \bar{t}_1 și g_2 la timpul \bar{t}_2 , momentele finale pot fi calculate de relațiile:

$$\bar{M}_A = \bar{F}_2(\bar{t}_1) M_A(\bar{t}_1) + \bar{F}_2(\bar{t}_2) M_A(\bar{t}_2) \quad (5.26a)$$

$$\bar{M}_B = \bar{F}_2(\bar{t}_1) M_B(\bar{t}_1) + \bar{F}_2(\bar{t}_2) M_B(\bar{t}_2) \quad (5.26b)$$

$$\bar{M}_C = \bar{F}_3(\bar{t}_1) M_C(\bar{t}_1) + \bar{F}_3(\bar{t}_2) M_C(\bar{t}_2) \quad (5.26c)$$

5.3.1.4. Determinarea stării de eforturi

a) Etapele de execuție

Cadrul cu două deschideri din figura 5.22a se execută conform desfășurării lucrărilor indicate în figura 5.22b.

Se constată că pentru preluarea greutății proprie de către structură sunt semnificative două momente:

- decofrarea grinzi, cind structura preia greutatea proprie a grinzi și a plăcilor ; vîrsta betonului în acel moment este de 60 zile în stilpi și 20 zile în grinzi;

- terminarea execuției invelitorii, cind vîrsta betonului în stilpi este de 100 zile, iar în grinzi de 60 zile.

Si în acest caz se consideră că prima încărcare reprezintă 75% din încărcarea totală.

b) Determinarea rigidității relative

Procedind similar ca în paragraful 5.2.1.4b se obține:

$$\beta(60,20) = 2,513 \quad ; \quad \beta(100,60) = 2,641$$

c) Calculul eforturilor în fază initială

Folosind relațiile (5.26) se obțin momentele de încovoiere:

$M_A = 1,175 \times 10^{-2} g\ell^2$	$M_C = 11,324 \times 10^{-2} g\ell^2$
$M_B = 2,350 \times 10^{-2} g\ell^2$	$M_{max} = 8,368 \times 10^{-2} g\ell^2$

d) Calculul caracteristicilor curgerii lente și a coeficientilor de fimbătrînire, după STAS 10107/•-90

Procedind ca pentru cadrul cu o singură deschidere, se obțin valorile:

- la stilpi: $\bar{\Psi}_1(60) = 2,480$	la grindă: $\bar{\Psi}_2(20) = 3,201$
$\bar{\chi}_1(60) = 0,873$	$\bar{\chi}_2(20) = 0,817$
$\bar{\Psi}_1(100) = 2,190$	$\bar{\Psi}_2(60) = 2,512$
$\bar{\chi}_1(100) = 0,944$	$\bar{\chi}_2(60) = 0,837$

e) Calculul valorilor \bar{F}

Cu ajutorul relațiilor (5.24) se determină valorile \bar{F} :

$$\bar{F}_1(60,20) = \bar{F}_2(60,20) = 1,120; \bar{F}_3(60,20) = 0,987$$

$$\bar{F}_1(100,60) = \bar{F}_2(100,60) = 1,076; \bar{F}_3(100,60) = 0,992$$

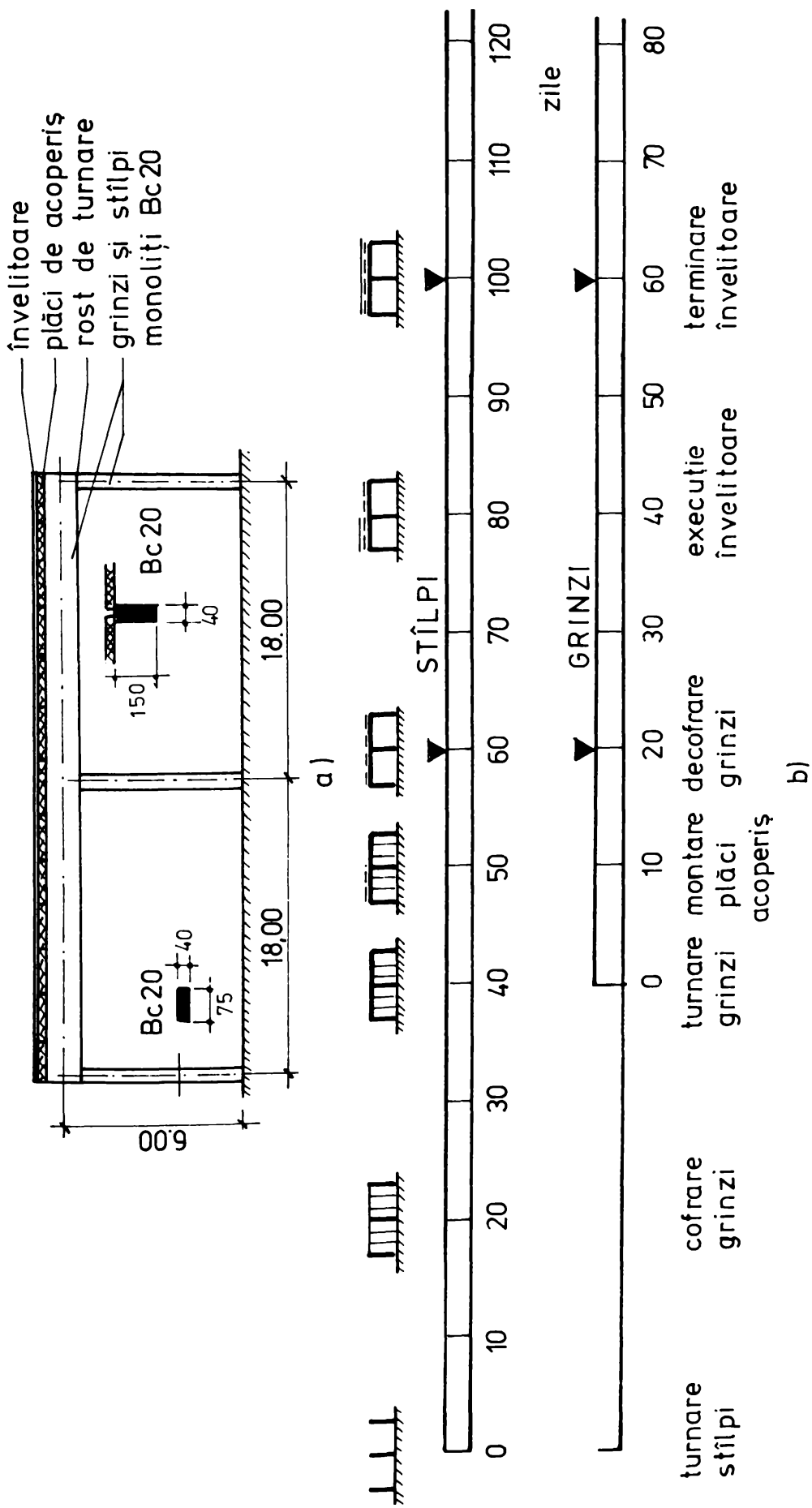


Fig. 5.22

f) Valorile finale ale eforturilor din cadrul

Dacă se ține seamă că încărcarea a fost realizată în două etape (greutatea proprie a grinzelor și a plăcilor de acoperiș, respectiv învelitoarea), rezultă următoarele momente de încovoiere, determinate cu relațiile (5.26):

$$M_A = 1,304 \times 10^{-2} g\ell^2$$

$$M_c = 11,191 \times 10^{-2} g\ell^2$$

$$M_B = 2,608 \times 10^{-2} g\ell^2$$

$$M_{\max} = 5,969 \times 10^{-2} g\ell^2$$

Diagrama de momente este cea din figura 5.21b.

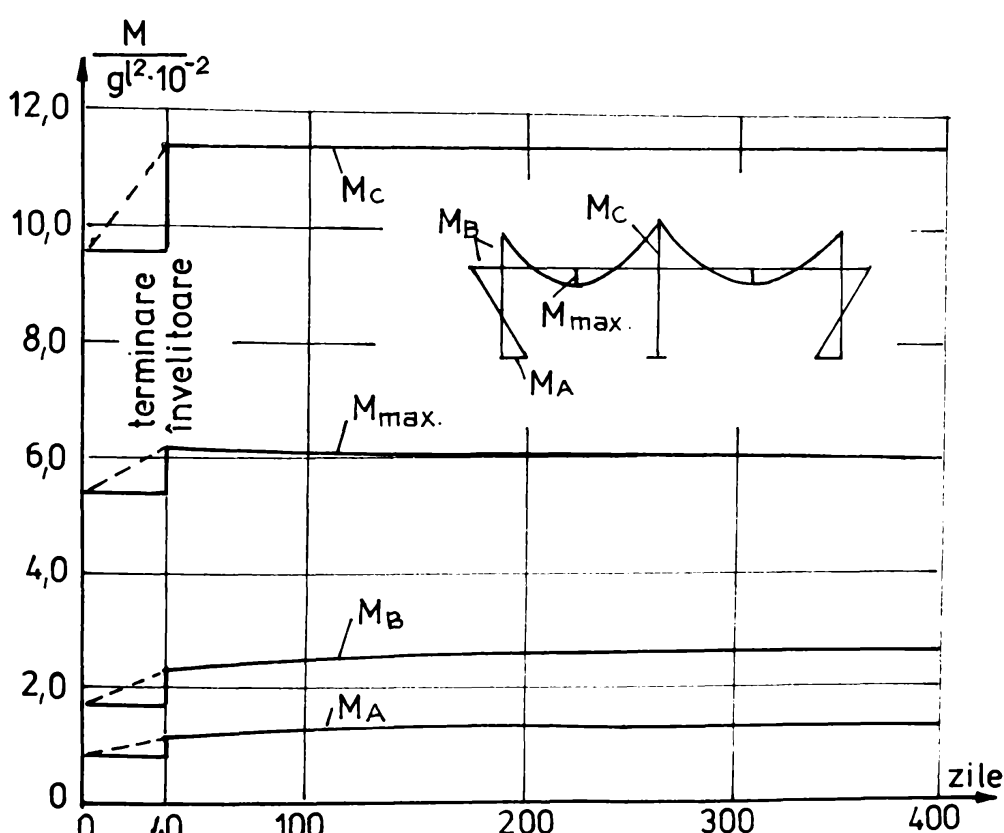


Fig.5.23.

O comparație a valorilor determinate în fază inițială și cea finală este cea din tabelul 5.9 și figura 5.23.

Se constată că variația în timp a momentelor de încovoiere este mai mică decât în cazul cadrului cu o singură deschidere, din cauza că pe rezemul C nu se produce o redistribuire a eforturilor, structura fiind simetrică. Singura redistribuire se

produce în colțul B și reazemul A, unde momentele cresc cu 11%. Modificarea momentului maxim din cimp este nesemnificativă.

Tabelul 5.9

Variatia eforturilor

Diagrama	Momente	Faza initială $t=0$	Faza finală $t=\infty$	Diferență %
	$M_A/g\ell^2 \cdot 10^{-2}$	1,175	1,304	11
	$M_B/g\ell^2 \cdot 10^{-2}$	2,350	2,608	11
	$M_C/g\ell^2 \cdot 10^{-2}$	11,324	11,191	-1,2
	$M_{max}/g\ell^2 \cdot 10^{-2}$	6,066	5,969	-1,6

g) Comparatie cu calculul elastic al cadrului

Dacă se calculează eforturile din relațiile (5.22) cu $\beta = 2,667$, fără să se țină seamă de vîrstă betonului la încărcare și de efectul curgerii lente a betonului rezultă valorile din tabelul 5.10.

Tabelul 5.10

Comparatie față de momentele elastice

Diagrama	Momente	Calculul vîs-coelastic	Calcul elastic	Diferențe față de faza faza iniț. finală
		fază Fază iniț. finală		
	$M_A/g\ell^2 \cdot 10^{-2}$	1,175	1,304	1,136 +3,4 14,8
	$M_B/g\ell^2 \cdot 10^{-2}$	2,350	2,608	2,272 +3,4 14,8
	$M_C/g\ell^2 \cdot 10^{-2}$	11,324	11,191	11,364 -0,3 -1,5
	$M_{max}/g\ell^2 \cdot 10^{-2}$	6,066	5,969	6,096 -0,5 2,1

Se constată diferențele calculului elastic față de faza initială sunt mici. În schimb, momentele din faza finală în colțurile B ale cadrului cresc cu 14,8% față de momentele determinate în stadiul elastic, creștere ce nu poate fi neglijată. Momentele de pe reazemul C și din cimp nu se modifică semnificativ.

5.3.2. Stîlpi monoliti, grinzi prefabricate

5.3.2.1. Descrierea tehnologiei de execuție

Tehnologia de execuție este similară cu cea descrisă în paragraful 5.2.2.1 pentru cadrul cu o singură deschidere. În exemplul ce urmează se consideră că plăcile prefabricate ale acoperișului se montează înainte de întărirea betonului din monolitizări.

5.3.2.2. Calculul structurii în faza initială ($t=0$)

În faza inițială, pentru încărările din greutatea proprie a grinzelor și a plăcilor de acoperiș g_1 , grinzelile lucrează ca și simplu rezemate (fig.5.24). Pentru încărcarea din învelitoare

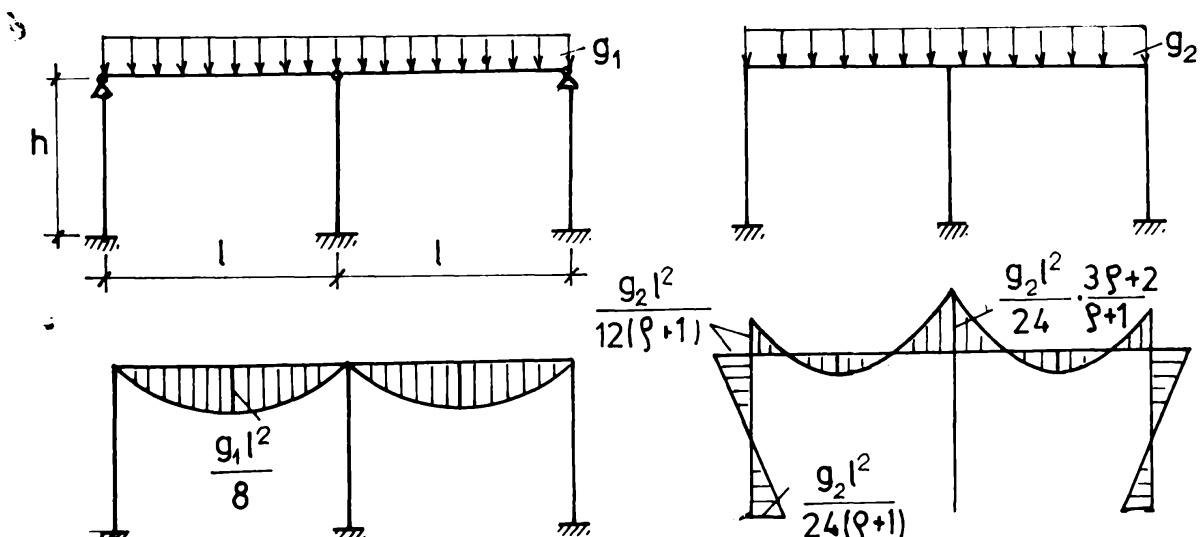


Fig.24.

g_2 care se aplică după ce monolitizarea s-a întărit, structura lucrează ca un cadru. Deoarece intervalul de timp între aplicarea celor două încărăriri g_1 și g_2 nu este mare, ambele faze fac parte din faza inițială.

Momentele de încovoiere din faza inițială sunt:

$$M_A = 0 + \frac{g_2 l^2}{24(g+1)} ; \quad M_B = 2M_A \quad (5.27a,b)$$

$$M_C = 0 + \frac{g_2 l^2}{24} \cdot \frac{3g+2}{g+1} \quad (5.27c)$$

5.3.2.3. Calculul structurii în faza finală ($t=\infty$)

Pentru rezolvarea acestui caz se face apel la ecuațiile (4.172), în care $[F_{xx}]$ și $[G_{xx}]$ sunt date de relațiile (5.23a,b), iar

$$[\bar{D}_{xp}] = \begin{vmatrix} 0 \\ -\frac{l^3}{12E_2I_2}\varphi_2 \\ -\frac{l^3}{12E_2I_2}\varphi_2 \end{vmatrix} \quad (5.28)$$

În relația (5.28) în comparație cu (5.23c), s-a înlocuit $1 + \bar{\Psi}_2$ cu $\bar{\Psi}_2$, înindu-se seamă că deformațiile elastice din încărcarea g_1 se produc în situația în care grinziile sunt simplu rezemate.

Rezolvînd sistemul de ecuații rezultă:

$$\bar{F}_1 = \bar{F}_2 = \frac{(\beta+1)\left(1 + \frac{1-\bar{x}_2}{1+\bar{x}_2\bar{\varphi}_2}\right) - [\beta(1-\bar{x}_1)\bar{\varphi}_1 + (1-\bar{x}_2)\bar{\varphi}_2]}{\beta(1+\bar{x}_1\bar{\varphi}_1) + (1+\bar{x}_2\bar{\varphi}_2)} \quad (5.29a,b)$$

$$\bar{F}_3 = \frac{3(\beta+1)\frac{\bar{x}_2\bar{\varphi}_2}{1+\bar{x}_2\bar{\varphi}_2} - \bar{F}_2}{3\beta+2} \quad (5.29c)$$

Diagrama momentelor de încovoiere din încărcarea g_1 este dată în figura 5.25. Se constată că după ce monolitizarea s-a

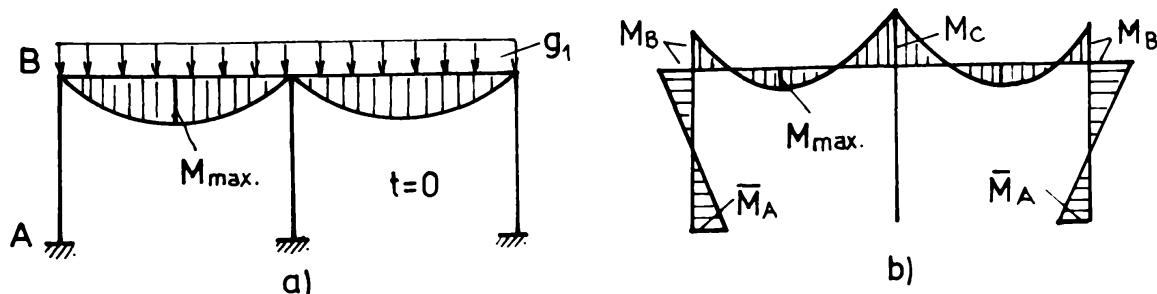


Fig.5.25.

întărit, deformațiile de curgere lentă va duce la producerea unor momente de încovoiere pe reazeme și în stîlpi. Valorile acestor momente vor fi mai mici decât cele determinate dintr-un calcul elastic.

Pentru încărcarea g_2 , care se aplică după ce monolitizarea s-a întărit, structura lucrează ca un cadru cu neomogenitate mecanică și pot fi folosite relațiile (5.24) pentru determinarea valorilor \bar{F} .

Rezultă astfel momentele din faza finală pot fi calculate cu relațiile (5.26).

5.3.2.4. Determinarea stării de eforturi

a) Etapele de execuție

Cadrul din figura 5.26a se execută după desfășurarea lucrărilor indicată în figura 5.26b.

Se constată că în faza cînd se montează plăcile de acoperiș betonul din monolitizări nu este încă întărit și structura lucrează cu cele două grinzi de acoperiș ca și grinzi simplu rezemate. Prin urmare încărcarea din g_1 se produce cînd vîrstele betonului din stîlpi și grinzi sunt de 20 zile, respectiv 100 zile.

La terminarea executării învelitorii betonul din monolitizări este întărit și structura lucrează ca un cadru. Vîrstele betonului la încărcarea g_2 sunt de 60 zile la stîlpi și 140 zile la grinzi.

b) Determinarea rigidității relative β

Cu ajutorul relației (5.2) se obține similar ca în exemplele precedente:

$$\beta(20,100) = 5,21; \quad \beta(60,140) = 5,003$$

c) Calculul eforturilor în faza initială

Folosind relațiile (5.27) se obține:

$$M_A = 0,173 g\ell^2 x 10^{-2} \quad M_C = 2,951 g\ell^2 x 10^{-2}$$

$$M_B = 0,346 g\ell^2 x 10^{-2} \quad M_{max} = 11,503 g\ell^2 x 10^{-2}$$

d) Calculul caracteristicilor curgerii lente și a coeficientilor de îmbătrînire

Procedînd ca în exemplele precedente, rezultă:

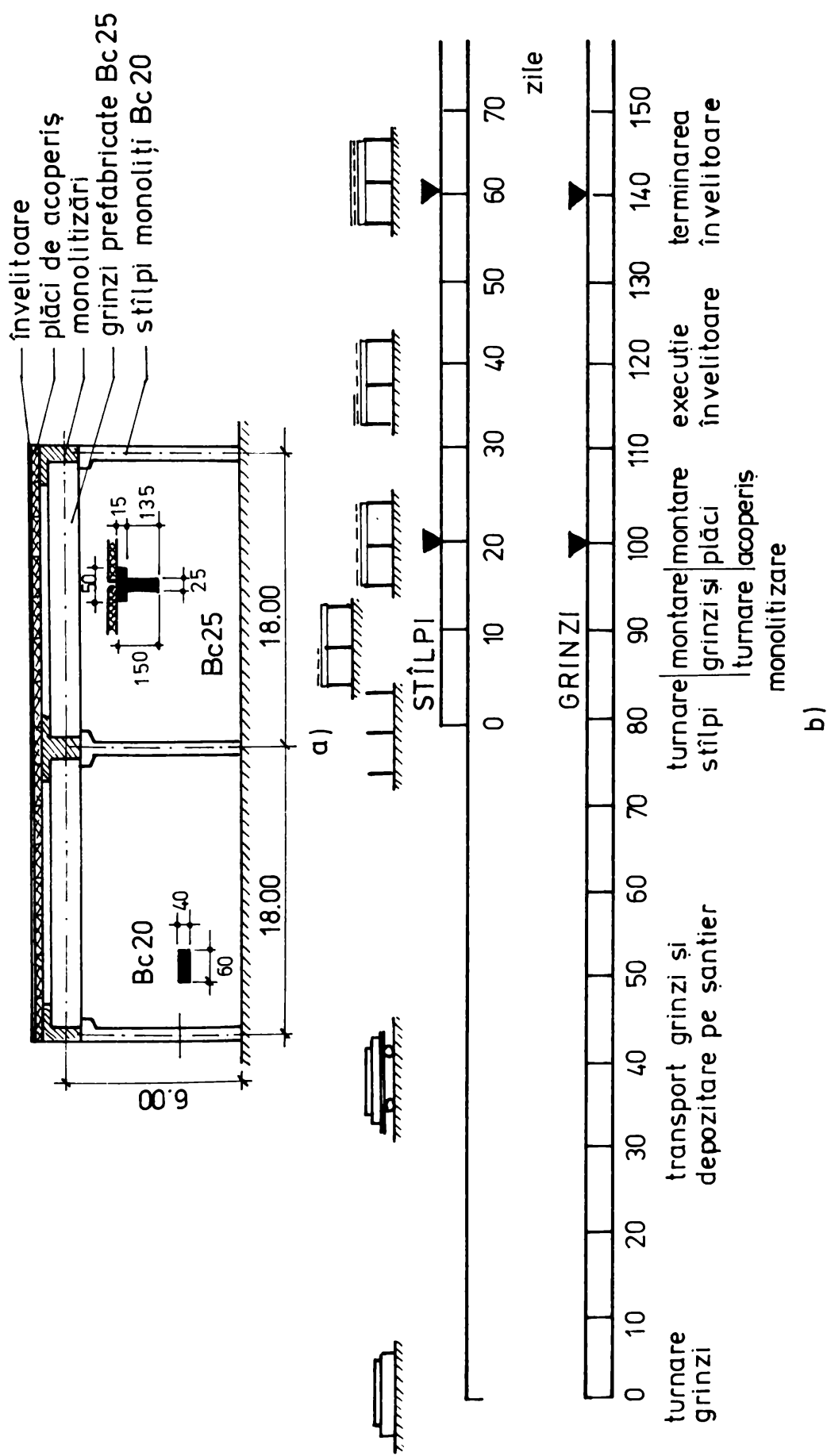


Fig. 5.26

- stîrpi $\bar{\varphi}_1(20) = 3,080$

$\bar{\chi}_1(20) = 0,820$

$\bar{\varphi}_1(60) = 2,506$

$\bar{\chi}_1(60) = 0,837$

- grinzi: $\bar{\varphi}_2(100) = 2,250$

$\bar{\chi}_2(100) = 0,945$

$\bar{\varphi}_2(140) = 2,120$

$\bar{\chi}_2(140) = 0,946$

e) Calculul valorilor \bar{F}

Pentru încărcarea g_1 , la care structura în fază inițială lucrează cu grinda simplu rezemată, funcțiile \bar{F} se determină din relațiile (5.29):

$$\bar{F}_1(20,100) = \bar{F}_2(20,100) = 0,527; \bar{F}_3(20,100) = 0,689$$

Pentru încărcarea g_2 , la care structura lucrează ca un cadru cu două deschideri, funcțiile \bar{F} se determină cu relațiile (5.24):

$$\bar{F}_1(60,140) = \bar{F}_2(60,140) = 0,896; \bar{F}_3(60,140) = 1,006$$

f) Valorile finale ale eforturilor din cadrul

Folosind relațiile (5.26) rezultă momentele finale pe cadrul:

$$M_A = 0,421 \times 10^{-2} gl^2$$

$$M_C = 9,082 \times 10^{-2} gl^2$$

$$M_B = 0,841 \times 10^{-2} gl^2$$

$$M_{\max} = 7,888 \times 10^{-2} gl^2$$

O comparație a valorilor finale cu cele inițiale este făcută în tabelul 5.11. Variația acestor eforturi rezultă din figura 5.27.

Tabelul 5.11

Valori inițiale și finale ale momentelor

Diagrama	Momente	Faze		Diferențe %
		inițială	finală	
	$M_A / gl^2 \times 10^{-2}$	0,173	0,421	143
	$M_B / gl^2 \times 10^{-2}$	0,346	0,841	143
	$M_C / gl^2 \times 10^{-2}$	2,951	9,082	208
	$M_{\max} / gl^2 \times 10^{-2}$	11,503	7,888	-31,4

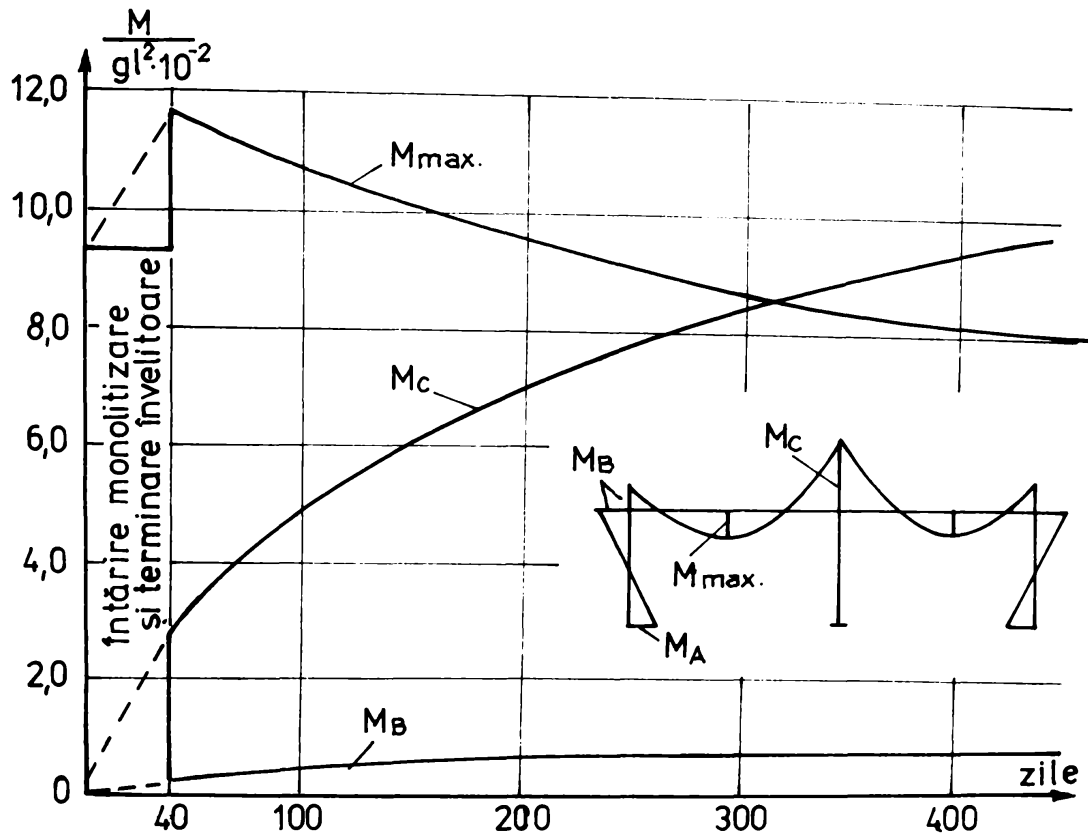


Fig.5.27.

Se constată că momentele pe reazeme și colțuri cresc în timp, pe cind momentele din cîmp scad. Astfel, dimensionarea cîmpului trebuie făcută la fază inițială, iar dimensionarea stîlpilor și reazemelor grinzi, la fază finală.

g) Comparatie cu calculul elastic al structurii

Dacă nu se ține seama de vîrsta betonului în momentul încărcării ($E_1=E_2$), rigiditatea relativă va fi $\beta=4,862$.

Dacă nu se ține seama de modul de execuție al structurii, momentele de încovoiere pot fi calculate cu relațiile (5.22). Rezultă:

$$M_A = 0,711 \times 10^{-2} g l^2$$

$$M_C = 11,789 \times 10^{-2} g l^2$$

$$M_B = 1,422 \times 10^{-2} g l^2$$

$$M_{max} = 6,431 \times 10^{-2} g l^2$$

O comparație a valorilor obținute în calculul viscoelastic și elastic rezultă din tabelul 5.12.

Comparație cu calculul elastic

Tabelul 5.12

Diagrama	Momentul	<u>Calculul elastic</u>		Calculul elastic	Diferențe %
		Faza inițială	Faza finală		
	$M_A / gl^2 x 10^{-2}$	0,173	0,421	0,711	69
	$M_B / gl^2 x 10^{-2}$	0,346	0,841	1,422	69
	$M_C / gl^2 x 10^{-2}$	2,951	9,082	11,789	30
	$M_{max} / gl^2 x 10^{-2}$	11,503	7,888	6,431	-44

Se constată că folosirea calculului elastic a dus la obținerea unor momente acoperitoare pe stâlpi și pe reazemele grinzi, dar momente mult mai mici decât cele reale în cîmpurile grinzi.

5.4. Cadrul parter cu două deschideri, executat monolit în două etape

5.4.1. Tehnologia de execuție

Cadrul cu două deschideri din figura 5.28 se execută

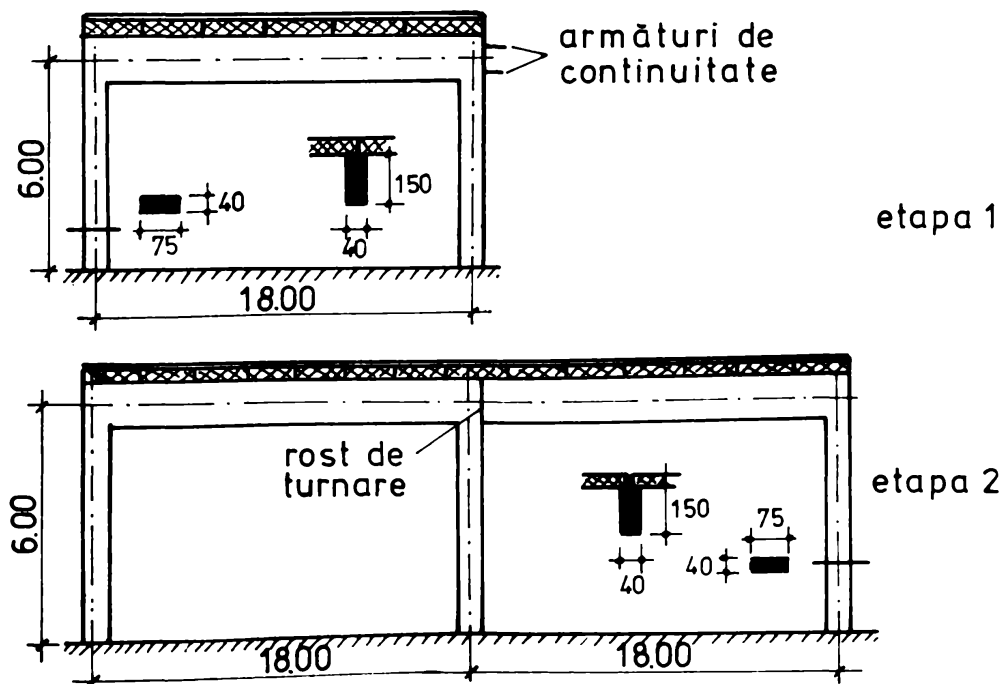


Fig.5.28

monolit în două etape:

- în prima etapă se execută numai prima deschidere; turnarea se face monolit, realizându-se la același timp și stîlpii și grinda;

- în etapa două, după o perioadă mai îndelungată (în aplicația ce urmează la 1000 zile de la prima etapă), se extinde construcția prin realizarea celei de a doua deschideri, prin turnare monolitică, la același timp și stîlpul și grinda.

In cele ce urmează se va studia influența curgerii lente asupra stării de eforturi din execuția în două etape a cadrului. De aceea nu se mai ține seamă de execuția la tempi diferenți a planșeului de acoperiș și a invelitorii (așa cum s-a făcut în exemplele precedente), ci se va considera că încărcarea se aplică după terminarea invelitorii. Deoarece aplicarea încărcării la cadrul din prima etapă se face la un timp îndelungat de la realizarea lui, această simplificare în calcule nu poate duce la diferențe semnificative față de valorile reale.

O altă simplificare admisă în calcule se referă la modulii de elasticitate. Din figura 2.23 se observă că pentru betoane ce depășesc vîrstă de 28 zile, variația modulelor de elasticitate în funcție de timpul de încărcare este mică. De aceea se admite că modulii de elasticitate sunt aceeași pentru întreaga structură.

5.4.2. Calculul structurii în faza inițială ($t=61=0$)

In faza inițială, la $t=0$, structura lucrează cu un cadru cu o singură deschidere, pentru care sunt valabile relațiile stabilite în paragraful 5.2.1. Pentru că stîlpii și grinda au fost executate la același timp, $E_1=E_2$, și astfel $\beta=2,667$. Pentru această valoare din relațiile (5.5) rezultă momentele (fig.5.29a) din tabelul 5.13.

Tabelul 5.13

Comparatia momentelor

Diagrama de momente	$M/g l^2 \times 10^{-2}$	Faza initială $t=\bar{t}_1=0$	Etapa două $t=\bar{t}_2$	Faza finală
		M_A	1,785	1,901
		M_B	3,563	3,252
		M_{C1}	3,563	7,603
		M_{C2}	-	6,525
		M_{C3}	3,563	0,567
		M_D	1,785	0,271
		M_E	-	2,718
		M_F	-	1,086
		M_{max1}	8,937	7,168
		M_{max2}	-	7,954
				6,677
				7,069

5.4.3. Calculul structurii în etapa două de execuție

($t=\bar{t}_2$)

Așa cum s-a arătat în paragraful 4.8.1.2, pentru structurile monolite executate în mai multe etape se folosește împărțirea structurii în substructuri, evidențiindu-se, prin secțiuni, necunoscutele care separă părțile structurii ce se execută în etape diferite. Pentru aplicația din acest paragraf cele două substructuri și necunoscutele aferente sunt prezentate în figura 5.30.

Calculul necunoscutelor X_1 și X_2 se face cu ajutorul ecuațiilor (4.168a). Tinând seama de principiul corespondenței enunțat în paragraful 3.2.2, eforturile din cadrul 1 nu se schimbă în intervalul de timp $(0.. \bar{t}_2)$, pentru că structura este omogenă

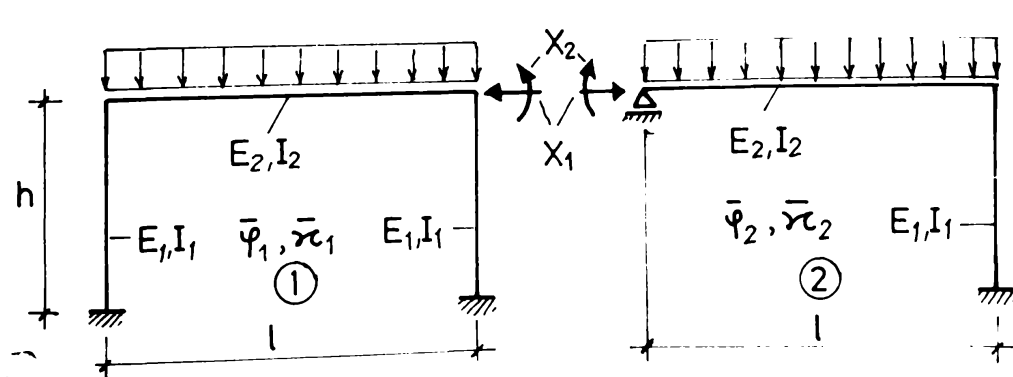
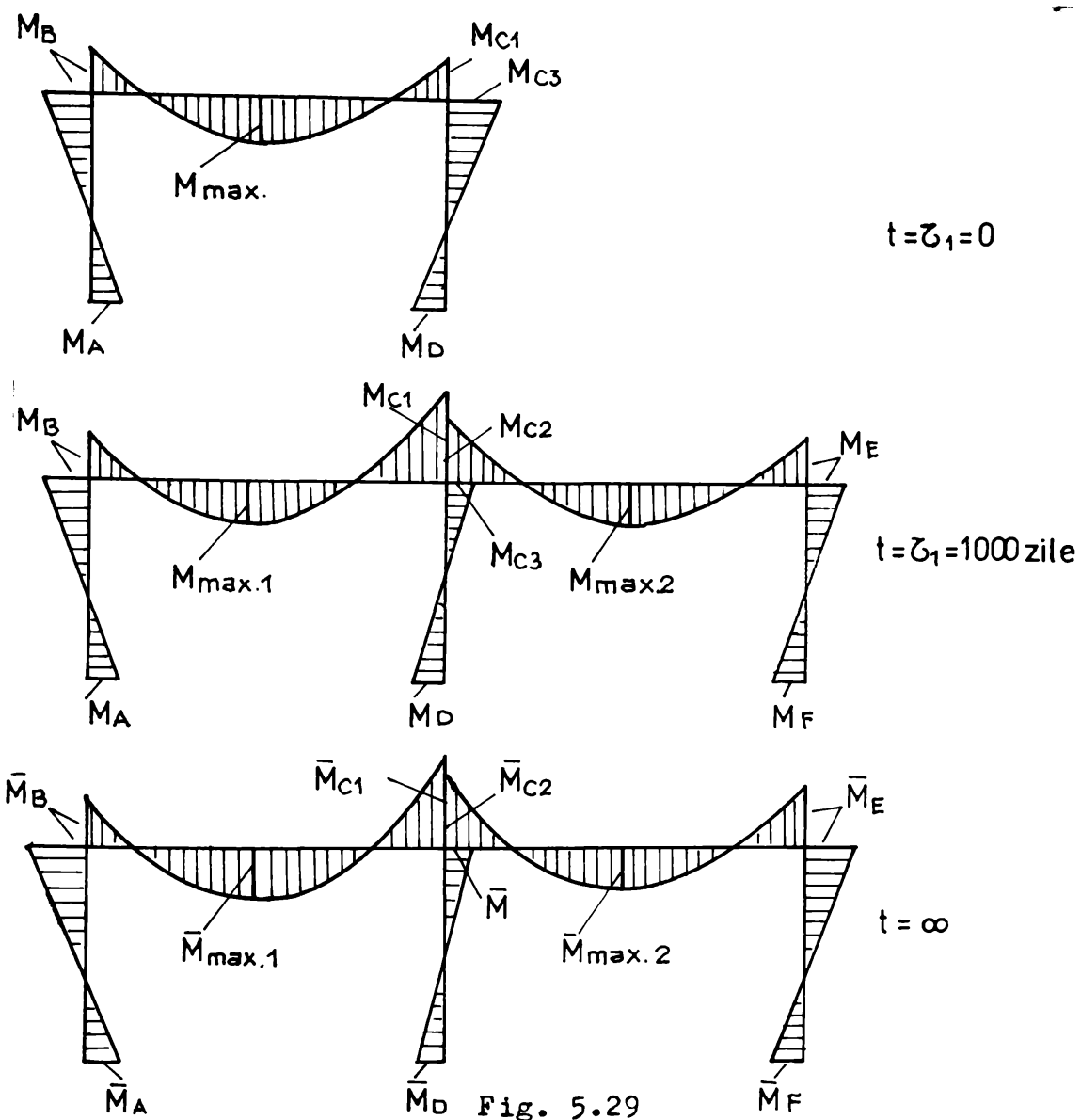


Fig. 5.30

(stîlpii și grinza au fost turnate la acelaș timp). Folosind diagramele de momente pentru cadrele simple 1 și 2, date în /105/, se determină matricele:

$$\left[A_{xx}(\zeta_2) \right] = \begin{vmatrix} 42,706 \times 10^{-2} \frac{h^2 l}{E_2 I_2} & -3,486 \times 10^{-2} \frac{h l}{E_2 I_2} \\ -3,486 \times 10^{-2} \frac{h l}{E_2 I_2} & 54,537 \times 10^{-2} \frac{l}{E_2 I_2} \end{vmatrix}$$

$$\left[B_{xp}(\zeta_2) \right] = \begin{vmatrix} -1,852 \frac{g l^3 h}{E_2 I_2} \\ 3,691 \frac{g l^3}{E_2 I_2} \end{vmatrix}$$

In calculul lui $B_{xp}(\zeta_2)$ s-a ținut seamă că deformațiile din încărcare pe cadrul 1 sunt consumate de etapa 1-a de execuție.

Rezolvînd sistemul de ecuații, rezultă necunoscutele:

$$x_1 = 3,8037 \times 10^{-2} \frac{gl^2}{h}, \quad x_2 = -6,5247 \times 10^{-2} \frac{gl^2}{h}$$

Suprapunînd eforturile din fiecare substructură cu cele din necunoscute, rezultă diagrama de momente din figura 5.29b și tabelul 5.13.

5.4.4. Calculul structurii în etapa finală ($t=\infty$)

Pentru calculul caracteristicilor curgerii lente și a coeficientului de îmbătrînire se consideră că încărcarea celor două substructuri se face la 1000 zile de la realizarea primei și la 60 de zile pentru a doua. Rezultă, folosind valorile date în STAS 1007/o-90 /104/:

Substructura 1

Substructura 2

$$\bar{\varphi}_1(1000) = 1,064$$

$$\bar{\varphi}_2(60) = 2,504$$

$$\bar{\chi}_1(1000) = 0,979$$

$$\bar{\chi}_2(60) = 0,874$$

Se observă că stîlpii și grinzele fiind turnate la

același timp, aceste valori sunt valabile pentru întreaga sub-structură 1, respectiv 2.

Pentru determinarea valorilor finale \bar{F} se utilizează sistemul de ecuații (4.168b).

Se obține astfel matricele:

$$\begin{bmatrix} \bar{F}_{xx} \end{bmatrix} = \begin{vmatrix} 4,6088 \times 10^{-2} \frac{gl^3 h}{E_2 I_2} & 1,0184 \times 10^{-2} \frac{gl^3 h}{E_2 I_2} \\ -0,5936 \times 10^{-2} \frac{gl^3}{E_2 I_2} & -9,6896 \times 10^{-2} \frac{gl^3}{E_2 I_2} \end{vmatrix}$$

$$\begin{bmatrix} \bar{G}_{xx} \end{bmatrix} = \begin{vmatrix} 9,6368 \times 10^{-2} \frac{h^2 l}{E_2 I_2} & -2,251 \times 10^{-2} \frac{h l}{E_2 I_2} \\ -2,251 \times 10^{-2} \frac{h l}{E_2 I_2} & 10,712 \times 10^{-2} \frac{l}{E_2 I_2} \end{vmatrix}$$

$$\begin{bmatrix} \bar{D}_{xp} \end{bmatrix} = \begin{vmatrix} -6,489 \times 10^{-2} \frac{gl^3 h}{E_2 I_2} \\ 14,1648 \times 10^{-2} \frac{gl^3}{E_2 I_2} \end{vmatrix}$$

In determinarea valoarei lui $[\bar{D}_{xp}]$ s-a ținut seama că deformata elastică a cadrului 1 s-a consumat în etapa 1-a, prin înlocuirea factorului $(1 + \bar{\psi}_1)$ din relația (4.17oc) cu factorul ψ_1 .

Rezultă valorile $\bar{F}_1 = 1,005$ și $\bar{F}_2 = 1,319$, din care se calculează valorile finale ale necunoscutelor

$$\bar{x}_1 = 3,8227 \times 10^{-2} \frac{gl^2}{h} ; \bar{x}_2 = -8,6061 \times 10^{-2} \frac{gl^2}{h}$$

Se constată că necunoscuta \bar{x}_1 se modifică puțin în timp.

În schimb \bar{x}_2 , care reprezintă momentul de legătură între cele două substructuri, crește cu 31,9% ca urmare a efectului curgerii lente.

Valorile finale sunt trecute în tabelul 5.13 și în figura 5.29c. Variatia în timp a celor mai importante momente

este prezentată în figura 5.31. Se constată modificări importante a stării de eforturi în cadrul, de care trebuie să se țină seamă la dimensionare. Creșterile cele mai semnificative sunt

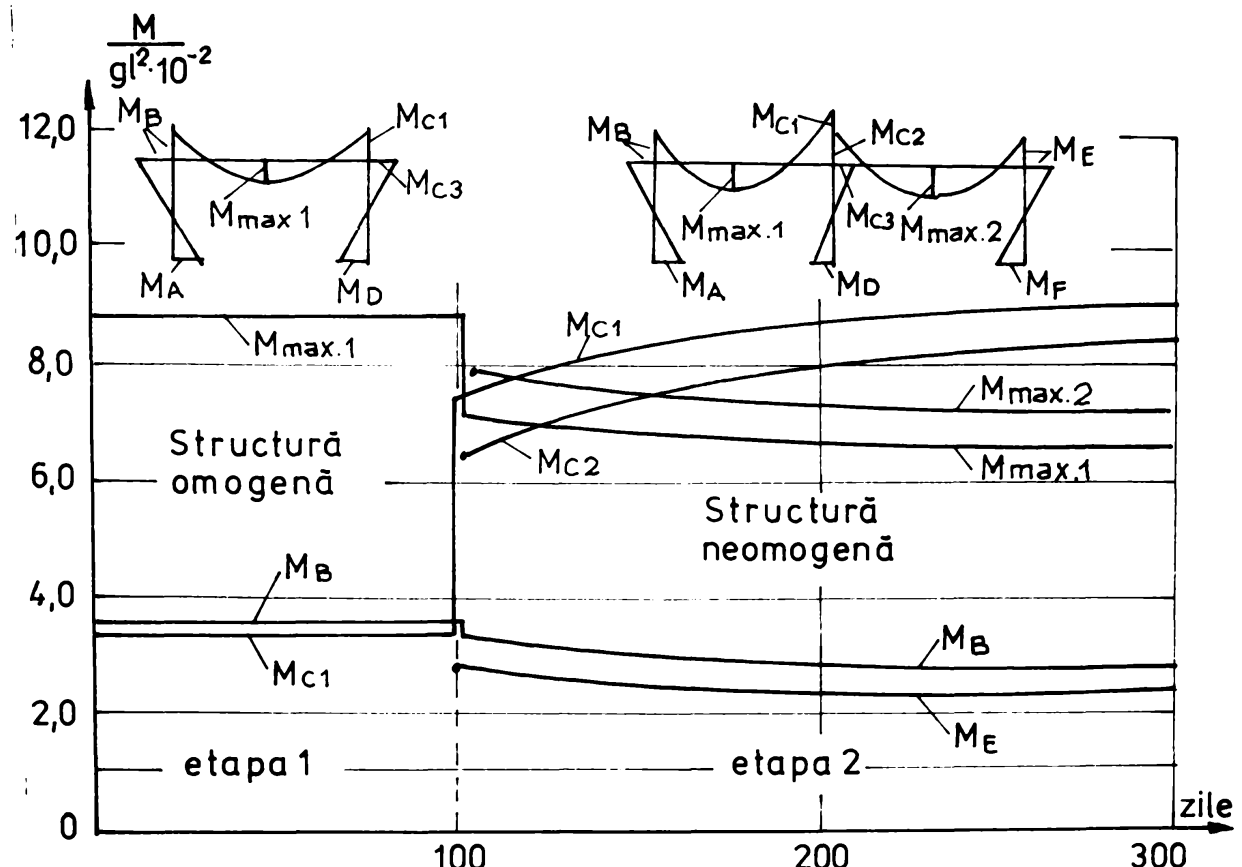


Fig.5.31.

cele ale momentelor de pe reazemul C, care cresc cu 27,8%, respectiv 31,9% față de cele corespunzătoare etapei a doua de execuție.

Din figura 5.31 rezultă de asemenea un aspect important: atât timp cât structura are omogenă, eforturile au rămas constante în timp. Prin realizarea celei de a doua deschideri, structura devine neomogenă și din cauza curgerii lente se produce o redistribuire a eforturilor, care variază în timp.

5.4.5. Comparatie cu structura executată într-o singură etapă

In cazul că structura s-ar fi executat într-o singură etapă, momentele nu s-ar fi schimbat în timp, structura fiind

omogenă. În această situație calculul structurii se poate face cu metodele clasice ale calculului/elastic.

Dacă se calculează cadrul fără să se țină seamă de etapele de execuție, se pot folosi relațiile (5.25) din care rezultă momentele din tabelul 5.14.

Tabelul 5.14

$M/g^2 x l_0^{-2}$	Cadrul executat într-o singură etapă	Cadrul executat în două etape	
	$\bar{G}_2=1000$	$t=\infty$	
M_A	1,136	1,901	1,622
M_B	2,272	3,252	2,871
M_{C1}	11,364	7,603	9,173
M_{C2}	11,364	6,525	8,606
M_{C3}	-	1,078	0,567
M_D	-	0,271	0,104
M_E	2,272	2,718	2,611
M_F	1,136	1,086	1,212
M_{max1}	6,096	7,168	6,677
M_{max2}	6,096	7,954	7,069

Dacă se compară valorile momentelor pentru cadrul executat într-o singură etapă cu cele obținute folosind metoda dezvoltată în lucrare ce permite să se țină seamă de execuția în două etape a structurii, se constată diferențe mari, în special la momentele de pe reazemele centrale. Astfel, dacă structura s-ar fi executat într-o singură etapă, momentele ar fi cu 23,9%, respectiv 32% mai mari decât cele corespunzătoare execuției în două etape. În schimb cresc momentele în cimp cu 23,4%, respectiv 13,8% față de execuția într-o singură etapă.

Capitolul 6

CONCLUZII

6.1. Aspecte principale urmărite în lucrare

Din examinarea literaturii de specialitate și a rezultatelor obținute în lucrare, pentru structurile din bare de beton armat sunt semnificative următoarele aspecte:

- cunoașterea calitativă a efectelor curgerii lente și contracției la aceste structuri și a principalilor factori care influențează aceste efecte;
- determinarea cât mai exactă a deformățiilor de curgere lentă și contracție în funcție de parametrii care guvernează fenomenul;
- dezvoltarea unor metode analitice sau numerice capabile să descrie evoluția în timp a stării de eforturi și deformații;
- analiza cantitativă a efectelor curgerii lente și contracției pe aplicații concrete, care să poată furniza date practice privind importanța acestor efecte.

Lucrarea de față a urmărit cu consecvență aceste aspecte. Concluziile studiilor efectuate sunt prezentate în cele ce urmează.

6.2. Principalele efecte ale curgerii lente și contracției betonului

Cea mai mare problemă a studiului efectelor curgerii lente și contracției la structuri din bare este legată, așa cum s-a arătat în capitolul 1, de dificultatea urmăririi și verificării experimentale. De aceea intuiția inginerășă este deosebit de importantă și în lucrare s-a insistat mult asupra înțelegерii acestor efecte și a precizării factorilor care pot influența calitativ și cantitativ fenomenul.

- S-a pornit în primul rînd de la enunțarea cunoscutului principiu al corespondenței (vezi capitolul 3) care arată că la structurile omogene (cu aceleasi caracteristici fizico-mecanice pentru toate elementele) starea de eforturi nu se modifică în timp în cazul unor acțiuni directe (cum sunt cele gravitaționale). Prin urmare, modificările se pot produce numai la elementele și structurile neomogene și în lucrare s-au arătat care sunt principalele cauze care introduc neomogenități: armarea elementelor cu bare metalice ce nu au deformații viscoase, turnarea diferitelor părți ale structurii în mai multe etape, realizarea structurilor din elemente monolite și prefabricate, utilizarea unor betoane de vîrstă diferite, structuri mixte stilpi de beton armat și grinzi metalice etc. Ca urmare a acestor neomogenități, elementele structurii și modifică rigiditățile relative (raportul rigidității elementelor alăturate) și se produce o redistribuire a eforturilor pe structură.

Al doilea aspect important avut în vedere este cel al modificării schemei statice în timpul execuției. Astfel, structurile monolite sunt executate în etape diferite și există situații intermediare în care schema statică diferă mult de cea finală. La structurile prefabricate, la montarea elementelor, grinziile lucrează la o parte din încărcarea verticală ca și grinzi simplu rezemate. Transformarea în cadre propriu-zise se face numai după întărirea monolitizării. Deformațiile de curgere lentă, care se produc în principal în faza când structura lucrează ca un cadru, tind să modifice starea de eforturi, apropiind-o de cea corespunzătoare schemei statice finale. Dar, din cauza că o parte din deformații s-au produs într-o altă schemă statică, valorile finale nu le pot ajunge pe cele ale schemei statice finale, producindu-se astfel o redistribuție a eforturilor pe structură.

Alt aspect avut în vedere este cel legat de efectul contractiei impiedicate a betonului. La structurile din bare se introduc eforturi numai din contracția impiedicată a grinziilor, pentru că la stîlpi contracția este liberă. Problema acestor contracții impiedicate este legată de efectul curgerii lente, care reduce substanțial mărimea eforturilor și prin urmare are un efect de relaxare.

Toate aceste aspecte prezentate mai sus au un caracter calitativ. Problema pusă în lucrare este cea de a putea stăpini și cantitativ aceste efecte. Pentru aceasta trebuie precizate celelalte aspecte arătate în paragraful 6.1 și care vor fi detaliate în cele ce urmează.

6.3. Calculul deformațiilor de curgere lentă și contractie

Deoarece determinarea deformațiilor de curgere lentă și contracție se face în laborator pe epruvete de dimensiuni mici, există un mare număr de lucrări publicate și se poate spune că la ora actuală se stăpinesc destul de bine determinarea mărimiilor caracteristice pentru curgerea lentă și contracția betonului. Datorită atingerii acestui stadiu în cercetare, există și un număr mare de coduri, în continuă perfecționare. În lucrare se analizează continutul principalelor coduri existente pe plan mondial. Prin prezentarea, pentru fiecare, atât a normelor mai vechi cât și a celor noi, s-a urmărit și evoluția perfecționării normelor în urma cercetărilor efectuate. Codurile analizate în lucrare sunt: CEB-FIP70 și CEB-FIP-76; ACI 435 și ACI 209; DIN 1045 și DIN 4227; BPEL 83; STAS 8000/67, STAS 10107/o-76 și STAS 10107/o-90.

În lucrare se analizează amănunțit factorii care sunt luati în considerare de fiecare normă și se compară valorile caracteristicii curgerii lente în funcție de vîrstă betonului la încarcare după diferitele norme. A fost ales pentru comparație acest parametru, fiind cel mai important pentru analiza efectelor

structurale ale curgerii lente.

Diferențele destul de mari între prevederile diferitelor norme arată că încă nu există o unanimitate de vederi în această problemă. Prescripțiile românești se incadrează bine între celelalte coduri.

O altă problemă căreia i s-a dat importanță este cea a variației în timp a deformărilor din curgere lentă și contractie. S-au analizat principalele propuneri existente în literatură.

De asemenea s-au studiat și prevederile existente în literatură privind determinarea modulului de elasticitate longitudinal și în special, variația lui în timp.

Toate aceste analize au avut drept scop precizarea unor valori de calcul cu care să fie analizate structurile din aplicațiile practice. Având în vedere poziția bună a normelor românești în contextul celorlalte norme, s-a decis utilizarea acestora.

6.4. Dezvoltarea unei metode de calcul pentru estimarea efectelor curgerii lente și contractiei betonului

Din examinarea literaturii de specialitate a rezultat că pentru structurile din bare din beton armat nu există metode cu caracter general capabile să estimeze efectele curgerii lente și contractiei betonului asupra stării de eforturi. Puținele rezultate obținute se referă la cazuri particulare, la care s-au aplicat metode specifice structurii analizate. De aceea în lucrarea de față s-a dezvoltat o metodă generală de calcul, capabilă să rezolve orice tip de structură din bare.

Deoarece pentru dezvoltarea acestei metode generale a fost necesară utilizarea unor relații tensiuni-deformații și eforturi-deplasări, s-au analizat principalele formulări existente în literatură, atât cele analitice cât și cele numerice.

Pentru calculul deformațiilor, a fost generalizat principiul lucrului mecanic virtual, cunoscut în calculul structurilor elastice, la cazul structurilor cu proprietăți viscoelastice.

Decarece există posibilitatea generalizării, pentru materiale viscoelastice, atât a metodei eforturilor, cât și a metodei deplasărilor, s-a făcut o analiză a opțiunii optime. A rezultat că în prezent generalizarea metodei eforturilor este cea mai indicată.

Pentru o scriere cât mai concisă, s-a utilizat formularea matriceală, stabilindu-se ecuațiile de compatibilitate.

Acum, pentru cazul materialelor viscoelastice, sunt ecuații integrale sau diferențiale. Pentru o formulare practică a acestor ecuații, s-a introdus operatorul $J[\dots]$, folosit pînă în prezent numai la calculul plăcilor curbe subțiri.

Ecuatiile de compatibilitate au fost determinate pentru două tipuri de structuri:

- cu schema statică ca nu se modifică: structuri monolite la care efectul curgerii lente se manifestă prin diferențele proprietăților fizico-mecanice ale elementelor structurii;

- cu schema statică ce se modifică în timpul executiei: la structuri monolite prin execuție în etape, la structuri prefabricate, prin montări de grinzi simplu rezemate și monolitizări ulterioare ale nodurilor, la structuri mixte beton-otel, prin proprietăți fizico-mecanice diferite.

Prin utilizarea procedeului de separare a variabilelor, ecuațiile de compatibilitate au fost exprimate în raport cu funcții $F_j(t)$, care depind numai de timpul t , care descriu variația în timp a necunoscutelelor de bază și cu ajutorul cărora pot să fie determinate variațiile în timp ale eforturilor din structură.

Pentru rezolvarea acestor ecuații de compatibilitate pot fi utilizate metode analitice exacte, aproximative sau metode numerice. Din analiza efectuată în lucrare a rezultat că pentru structurile din bare de beton armat cea mai indicată formulare este cea dată de metoda modulului redus modificat elaborată de Trost-Bazant.

Folosind această metodă, s-au rescris ecuațiile de compatibilitate pentru toate cazurile analizate, ajungîndu-se la o formulare practică pentru proiectare, prin înlocuirea ecuațiilor de compatibilitate analitice cu ecuații algebrice ce pot fi rezolvate cu metodele cunoscute. Astfel problema studiului stării de eforturi la structurile din bare de beton armat s-a redus la rezolvarea a două sisteme de ecuații algebrice, unul pentru faza inițială și al doilea, pentru faza finală.

Exactitatea metodei dezvoltată în lucrare a fost verificată cu ajutorul unor cazuri particulare, prezentate în literatura de specialitate, care au fost rezolvate cu alte metode, considerate mai exacte. Diferențele rezultate au fost foarte mici, ceea ce dă incredere în corectitudinea ipotezelor folosite și a dezvoltării matematice utilizate.

6.5. Aspecte practice pentru proiectare

Metoda elaborată în lucrare a fost aplicată la două tipuri simple de structuri, un cadru cu o singură deschidere și un cadru cu două deschideri. Au fost luate în considerare mai multe variante de tehnologii de execuție, precum și execuția structurii cu două deschideri în două etape diferite. Rezultatele obținute pot fi rezumate în felul următor:

- a) La structurile monolite, la care diferențele elemente se execută la tempi diferiți , caracteristicile

curgerii lente sunt diferite; din cauza neomogenității există o redistribuire în timp a eforturilor, care poate să ajungă pînă la 40%. Cele mai afectate zone ale structurii sunt colțurile cadrului, unde modificarea în timp a rigidităților este cea mai semnificativă. Aceste modificări au reprezensiuni asupra momentelor din cîmp mai mari la cadrul cu o singură deschidere și mai mici la cel cu două deschideri. Calculele comparative au arătat că la aceste structuri metoda modulului redus poate da rezultate bune, pentru că modificările stării de eforturi nu sunt foarte mari. De asemenea, aplicațiile studiate au arătat că, cu cît diferențele dintre vîrstele betoanelor sunt mai mari, efectul de redistribuire a eforturilor este mai important. De aceea, dacă în proiectare se prevede prosibilitatea îngeruperii execuției pentru o perioadă mai îndelungată, trebuie luate măsuri de armare suplimentară a zonelor în care eforturile pot crește în timp.

b) La structurile cu elemente prefabricate, la care schema statică se modifică în timpul execuției, diferențele față de calculul elastic obisnuit în proiectare sunt foarte mari. Aplicarea metodei elaborate în lucrare a arătat că nici un procedeu de calcul elastic, care prin schimbarea schemelor statice ține seamă de tehnologia de execuție, nu ne poate da o imagine corectă a stării de eforturi din structură, pentru că nu țin seamă de deformațiile de curgere lentă. Se constată că momentele ce se produc în monolitizări din cauza deformațiilor de curgere lentă, și care cresc în timp, nu pot atinge valorile obținute pentru calculul structurii ca un cadru, deoarece deformațiile elastice și o parte din cele de curgere lentă s-au consumat în situația în care grinda lucra ca una simplu rezemată. De aceea momentele din cîmp sunt mai mari decât cele determinate dintr-un calcul de cadru. În plus, dacă stilpii sunt turnați monolit iar grinda

este prefabricată și realizată într-un atelier de prefabricare, diferența între vîrstele betoanelor din cele două tipuri de elemente este mare și astfel neomogenitatea fizico-mecanică a structurii este importantă. Cea mai mare redistribuție a eforturilor se obține la structurile mixte cu stîlpi de beton armat și grinzi metalice, din cauza neomogenității maxime posibile: elemente cu proprietăți viscoelastice importante (stîlpii) legate de elemente fără deformații viscoase (grinzi metalice).

c) La structurile ce se execută în mai multe etape, de exemplu prin extinderi, se produc concomitent două efecte care duc la schimbări importante ale stării de eforturi: schimbarea schemei statice și introducerea unei neomogenități fizico-mecanice importante. Calculul elastic ne poate oferi două variante pentru starea de eforturi. În prima, se ține seamă că structura s-a executat în două etape, suprapunindu-se peste eforturile existente în structura veche cele rezultate din structura nouă. În a doua, se calculează structura după schema finală, fără să se țină seamă de etapele de execuție. Folosirea metodei elaborate în lucrare la cadrul cu două deschideri care se execută în două etape diferite a arătat că nici una din variantele oferite de calcul elastic nu corespunde situației reale a stării de eforturi din structură.

x
x x

In încheiere, trebuie să arătăm că metoda dezvoltată în lucrare permite elaborarea unui program de calcul cu care pot fi analizate structuri mai complexe decât cele examineate în prezentă lucrare. De asemenea este utilă și dezvoltarea metodei deplasărilor pentru structurile viscoelastice, ținându-se seamă că majoritatea programelor pentru calculul structurilor elastice

folosesc această metodă. Aceasta ar necesita reformularea metodei Trost-Bazant pentru a o putea utiliza în metoda deplasărilor. Într-o etapă viitoare ar fi necesar să se țină seamă și de efectul fisurării diferitelor părți ale elementelor, care în mod cert influențează efectul curgerii lete și contractiei betonului.

BIBLIOGRAFIE

A) ARTICOLE SI CARTI

1. Acker P.: Le point de connaissances sur le fluage du béton. Interprétation des mesures, modélisation pour le calcul, débouchés sur la Réglementation. Annales de l'ITBTP, nr.455, p.89-97.
2. Adey R.A.; Brebbia C.A.; Efficient method for solution of viscoelastic problems. J.of Eng.Mech.Div., vol 99, EM6, 1973, p.1119-1127.
3. Agent R.: Considerații de sinteză privind influența curgerii lente a betonului asupra solicitărilor în structuri-le de beton armat. Construcții nr.5, 1977 p.3...9.
4. Agent R.: Sisteme reticulare nedeterminate. Editura tehnica 1970.
5. Alexandrovski S.V.: Raschet betonnykh i jelezobetonnykh konstruk- tii na temperaturnii i vladnostonie vozdeistvia, s ucetom polzuchestii. Stroizdat, Moskova, 1966.
6. Anastasescu D.: Efectul deformațiilor de durată în calculul cadrelor spațiale de beton armat pe reazeme elastice. A III-a conferință de betoane Cluj, 1970.
7. Anastasescu D.: Calculul cadrelor spațiale de beton armat pe reazeme deplasabile. Teză de doctorat, Inst.poli- tehnic Timișoara, 1972.
8. Anastasescu D.: Considerații asupra efectului deformațiilor de lungă durată în calculul spațial de conclucrare dintre suprastructură, fundație și terenul de fundare. A IV-a Conferință de fundații, Timișoara, 1975.
9. Arutiunian N.H.: Nekotorie voprosi teorii polzuchestii. GITL, Moskova 1952.
10. Avram C.: Grinzi continue. Editura tehnica, 1965.
11. Avram C.: Curs de beton armat, p.l. Litografie Timișoara 1957.
12. Avram C., Făcăoară I., Filimon I., Mirsu C., Tertea I.: Rezistențele și deformațiile betonului. Editura tehnica 1971.

- B2. -

13. Avram C., Făcăoaru I., Filimon I., Mîrșu O., Tertea I.: Concrete Strength and Strains. Elvesier, Amsterdam, 1981.
14. Avram C., Bota V.: Structuri compuse oțel-beton și beton pre-comprimat - beton armat. Editura Tehnică, 1975.
15. Avram C., Anastasescu D.: Structuri spațiale. Editura Academiei RSR, 1978.
16. Avram C., Anastasescu D.: Space structures. Elvesier, Amsterdam, 1984.
17. Bazant Z.P.: Prediction of concrete creep effects using age-adjusted effective modulus methods. Journal ACI, aprilie 1972, p.212-216.
18. Bazant Z.P., Najjar L.J.: Comparasion of approximate linear methods for concrete creep. Journal of Structural Division, ST9, 1973, p.1951...1873.
19. Bazant Z.P., Thonguthai W.: Optimization chek of certain recent practical formulations for concrete creep. Materials and Structures. RILEM, nr.50, 1976, p.91-98.
20. Bazant Z.P., Asghari A.A.: Constitutive law for nonlinear creep of concrete. J. of Eng.Mech.Div., vol.103, EM1, 1977, p.113-124.
21. Bota C.: Conlucrarea arcelor și cadrelor din beton armat cu terenul de fundatie considerind dezvoltarea simultană a deformațiilor elastice și vîscos-plastice. Teză de doctorat, Inst.pol.Cluj, 1973.
22. Busemann R.: Spannungsumlagerungen infolge von Kriechen und Schwinden in Verbundkonstruktionen ausforgespannten Fertigteilen und Ortbeton. Beton und Stahlbetonbau, vol.58, nr.6, 1963.
23. Chamecki S.: Calcul des tassements progressifs des fundations en tenant compte de l'interaction des structures et du sol. Annales de l'ITBTP, nr.261, 1969.
24. Chaussin R.: Le fluage du béton: généralités. Annales de l'ITBTP, nr.455, 1987.

25. Constantinescu D.: Efectele structurale ale curgerii lente a betonului. Editura Academiei RSR, 1985.
26. Constantinescu D.: Curgerea lentă a betonului. Institutul de Constructii București, 1972.
27. Constantinescu D.: Asupra legii fizice a betonului în domeniul curgerii lente liniare. Studii și cercetări de mecanică aplicată. Nr.1, 1974, p.191-217.
28. Constantinescu D., Illston J.M.: Direct methods of analysis the structural effects of linear creep of ageing concrete. Materials and Structures. RILEM, nr.42, 1974, p.295-401.
29. Constantinescu D., Illston J.M.: Direct solutions to problems of time-dependent induced stresses in restrained concrete. Materials and structures. RILEM, no.43, 1975 p.11-17.
30. Constantinescu D.: Efectele structurale ale curgerii lente a betonului. Construcții, nr. 6, 1978, p.44-49.
31. Constantinescu D., Illston J.M., Efectul Flexibilității asupra capacitatei portante a stălpilor de beton armat. Construcții nr.12, 1979, p.14-22.
32. Coquillant G.: Le point des connaissances sur le fluage du beton. Mesures fondamentales sur éprouvettes. Annales de l'ITBTP, nr. 455, 1987.
33. Courbon J.: L'influence du fluage linéaire sur l'équilibre des systèmes hyperstatiques en béton précontraint. Annales de ITBTP nr.242, 1968 p.327-353.
34. Creus G.J.: Viscoelasticity- Basic Theory and Applications to Concrete Structures. Springer-Verlag, Berlin, 1986.
35. Dimel E.: Der Einfluss des Betonkriechens auf Setzungswänderungen. Beton und Stahlbetonbau, vol.60, nr.6, 1965.
36. Dimy M.: Fluage des structures en beton précompris. Le point sur les expérimentations faites par L.C.P.C depuis 15 ans. Annales de l'ITBTP, nr.455, 1987, p.119-136.
37. Dischinger F.: Untersuchungen über die Knicksicherheit die elastische Verformung und des Kriechen des Betons bei Bögenbrücken. Bauingenieur 1937 nr.33/34, p.487-520, nr.35/36, p.539-552, 38/40 p. 595-621.

38. Dischinger F.: Elastische und plastische Verformungen der Eisenbetontragwerke und insbesondere der Bogenbrücken. Bauingenieur, 1939, nr.5/6, p.53-63. nr.21/22, p. 286-294, nr.31/32, p.426-437, nr.47/48, p.563-572.
39. Dreux G., Gorisse F.: Contribution à l'étude du fluage et du retour de fluage. Annales de l'ITBTP, nr.377, 1979.
40. Dumitrescu D., Popescu A.: Beton precomprimat. Ed.Acad. Bucureşti, 1987.
41. England G.L., Illston J.M.: Methods of computing stress in concrete from a history of measured strain. Civil Eng. and Public Works Review, 1965, p.2-8.
42. England G.L.: Numerical creep analysis applied to concrete structures. Journal ACI, iunie 1967, p.311.
43. Ferraro Maia A.C., Grelat A., Fouré S.: Analyse non-linéaire des ossatures en béton armé ou précontraint compte tenu du retrait, du fluage et de la relaxation. Annales de l'ITBTP, febr.1983.
44. Filimon L.: Curs de beton armat, vol.I, II. Institutul politehnic Timișoara, 1971.
45. Filimon I., Deutsch I.: Curs de beton armat și beton precomprimat, vol.1,2, Inst.pol.Timișoara. 1984.
46. Fintel M., Khan F.: Effecte of column creep and shrinkage in tall structures. Journal ACI, dec.1969, p.957-967.
47. Fouré B., Nung Z.T.: Redistribution des efforts due au fluage du béton dans une poutre précontrainte à deux travées. Étude expérimentale. Annales de l'ITBTP. nr.461, 1988.
48. Flügge W.: Viscoelasticity, Springer Verlag, 1975.
49. Gamble B.R., Jordaan I.J.: A direct method of viscoelastic analysis for ageing concrete. Materials and structures, RILEM, nr. 43, 1974, p.37-43.
50. Ghali A., Dilger W., Neville A.M.: Time-dependent forces induced by settlement of supports in continuous reinforced beams. Journal ACI.nov.1969, p.907-915.
51. Gheorghiu A.; Statica construcțiilor, vol.I. II. III. Editura tehnica. 1960, 1965, 1980.

52. Gheorghiu A.: Conceptii moderne în calculul structurilor. Editura tehnică, 1975
53. Giencu V.: Plăci curbe subțiri de beton armat. Probleme speciale de calcul. Editura Academiei RSR, 1978.
54. Giencu V.: Thin Reinforced Concrete Shells. Special Analysis Problems. John Wiley, Chichester, 1979.
55. Giencu V., Ivan M. : Instabilitatea structurilor din plăci curbe subțiri. Editura Academiei RSR, 1978.
56. Habel A.: Zwängungsspannungen nicht vergespannter statisch unbestimmter Beton und Stahlbetontragwerke. Die Bautechnik, nr.6, 1961, p.186-190.
57. Hennat D.I.: Creep and creep recovery of concrete subjected to multiaxial compressive stress. Journal ACI, mai, 1969, p.391-394.
58. Illston J.M.: Components of creep in mature concrete. Journal ACI, martie 1968, p.219-227.
59. Illston J.M., England G.L.: Creep and shrinkage of concrete and their influence on structural behaviour. A review of methods of analysis. The structural Engineer, iulie, 1970, p.283-292.
60. Ivan M. : Statica construcțiilor. Structuri static determinante. Institutul politehnic Timișoara, 1973.
61. Ivan M. : Statica construcțiilor. Structuri static nedeterminate. Institutul politehnic Timișoara, 1976.
62. Ivan M., Vulpe A., Bănuț V.: Statica, stabilitatea și dinamica construcțiilor. Editura didactică și pedagogică, 1982.
63. Jaeger O.C., Newstrad G.N.: Introducere în teoria transformării Laplace. Editura tehnică, 1971.
64. Kerdina K., Warner R.F.: Einfluss des Kriechens auf die Ausbiegung schlanker Stahlbetonstützen. Deutscher Ausschuss für Stahlbeton. Heft 250, 1975.
65. Livgiț I.D.: Rascet jelenzabetonnikh Konstrukcij s ucetom vlijanija usadki i polzuchesti beton. Izd. Viščia Scola, Kiev, 1976.
66. Lau M.: Le point des connaissances sur le fluage du béton. Calcul des effets structuraux. Annales de l'ITBTP, nr.455, 1987, p.98-117.
67. Mayer H.: Der Berechnung der Durchbiegung von Stahlbetonbauteilen. Deutscher Ausschuss für Stahlbeton, nr.194, 1967.

68. Mîrău O., Friedrich R.: Construcții industriale speciale de beton armat. Editura didactică și pedagogică, 1975.
69. Mîrău O., Friedrich R.: Construcții din beton armat. Editura didactică și pedagogică, 1980.
70. Mela F.: Analisi in faze viscoelastice lineare di struttura non omogenee lungo il proprio asse. Studi e ricerche nr.9, 1987, p.9-33.
71. Munteanu I.: Calculul static al structurilor. Editura Facla, 1976.
72. Munteanu I.: Structuri pentru construcții vol.I, 1983, vol.II 1984. Editura Academiei.
73. Munteanu I.: Calculul structurilor spațiale în formulare matricială. Editura Facla, 1973.
74. Neville A.M.: Proprietățile betonului (traducere din l. engleză) Editura tehnică, 1979.
75. Neville A.M.: Creep of concrete-facts and problems in design. Buletinul șt.al Inst.Censtr.București, nr.2, 1973.
76. Nicula I., Onet T.: Beton armat. Editura Didactică și Pedagogică, 1982.
77. Nielsen F.N.: Kriechen und Relaxation des Betons. Beton und Stahlbetonbau vol.65, nr.11, 1970.
78. Nowacki W.: Théorie du fluage. Eyrolles, Paris, 1965.
79. Rühle H.: Zur Theorie statische unbestimmter Verbundsysteme aus Stahlbetonfertigteilen und Orbeton bei Berücksichtigung der Eigenspannungen aus Kriechen und Schwinden. Beton und Stahlbetonbau, nr.7, 1955.
80. Rühle H.: Über den Einfluss des Kriechens auf die Schubspannungen im Betonverbundkonstruktionen. Bauplannung und Bautechnik, nr.2, p.94-102. Nr.5, p.199-204, nr.6 p.249-251.
81. Rüsch H., Jungwirth D., Hilsdorf H.: Kritische Sichtung der Verfahren zur Berücksichtigung der Einflüsse von Kriechen und Schwinden des Betons auf das Verhalten der Tragwerke. Beton und Stahlbetonbau, 1973, H.3. p.49-60, H.4, p.76-86, H.6, p.152-158.
82. Rüsch H., Jungwirth D., Hilsdorf H.: Creep and Shrinkage. Their Effect the Behaviour of Concrete Structures. Springer Verlag, New York, 1983.

83. Rüsch H., Mayer H.: Die zeitliche Entwicklung der Durchbiegung von ausgeführten Stahlbeton - Traggliedern. Beton und Stahlbetonbau, vol.59 nr.16, 1964.
84. Rusu O., Gall T.: Probleme moderne ale rezistenței materialelor. Editura tehnica, 1970.
85. Schade D.: Alterungsbeiwerte für Kriechen von Beton nach den Spannbetonrichtlinien. Beton und Stahlbetonbau, vol. 72, nr.5, 1977.
86. Tertea I.: Contribuții la studiul rigidității de durată a elementelor încorespunzătoare de beton armat. Teză de dizertație, 1961, Institutul politehnic Timișoara.
87. Tertea I.: Betonul precomprimat. Inst. politehnic Cluj-Napoca, 1979.
88. Trest H.: Auswirkungen des Superpositionsprinzips auf Kriech und Relaxations Probleme bei Beton und Spannbeton. Beton und Stahlbetonbau. H.10, p.23e-238, H.11, p. 261-268, 1967.
89. Trest H., Mainz B.: Zur Auswirkung von zwängungen im Spannbetontragwerke. Beton und Stahlbetonbau, vol.65, nr.8, 1970.
90. Trest H.: Spannungs- Dehnungs- Gesetz eines viscoelastischen Festkörpers wie Beton und Füllerungen für Stabtragwerke aus Stahlbeton und Spannbeton, vol.16, nr.6, 1966. Beton
91. Tudor F.D.: Contribuții la studiul comportării diafragmelor din beton sub efectul deformărilor împădurătoare. Teză de doctorat, Institutul politehnic Timișoara, 1981.
92. Vaicum A.: Studiul reologic al corpurilor solide. Editura Academiei, 1978.
93. Wagner O.: Das Kriechen unbewehrtem Betons. Deutscher Ausschuss für Stahlbeton, H.131, 1958.
94. Zerna W., Trest H.: Rheologische Beschreibungen des Werkstoffes Beton. Beton und Stahlbetonbau vol.62, nr.7, 1967.

B. NORME, MANUALE

95. ACI 435 : Deflections of prestressed concrete members, 1963.
96. ACI Committee 209 : Prediction of creep, shrinkage and temperature effects in concrete structure. ACI SP27, 1978.
97. BPEL 83 : Règles techniques de conception et de calcul des ouvrages en béton précontraint, suivant la méthode des états limités, 1983.

98. CEB-FIP 7e: Recommandations Internationale pour le calcul et l'executie des ouvrages du béton, 197e.
99. CEB-FIP 76: Code modèl CEB-FIP pour les structures en Beton, 1976.
100. DIN 1045: Beton und Stahlbeton-Bemessung und Ausführung, 1972.
101. DIN 4227: Spannbeton, Richtlinien für Bemessung und Ausführung, 1979.
102. STAS 8000/67: Calculul elementelor de beton, beton armat și beton precomprimat.
103. STAS 10107/e-76: Calculul și alcătuirea elementelor din beton, beton armat și beton precomprimat.
104. STAS 10107/e-9e (proiect) : Construcții civile și industriale. Calculul și alcătuirea elementelor din beton, beton armat și beton precomprimat.
105. x x x : Manual pentru calculul construcțiilor. Editura tehnică,